

第Ⅲ編 資料編

目次

第Ⅲ編 資料編

第1章 既に明らかとなっている断層等を震源とする地震	Ⅲ-1
1 地震動等の予測	Ⅲ-1
(1) 地震動	Ⅲ-1
(2) 液状化	Ⅲ-16
(3) 土砂災害	Ⅲ-34
(4) 津波	Ⅲ-77
2 被害の想定	Ⅲ-102
(1) 揺れによる建物被害	Ⅲ-102
(2) 液状化による建物被害	Ⅲ-109
(3) 津波による建物被害	Ⅲ-116
(4) ライフライン被害	Ⅲ-120
(5) その他の被害	Ⅲ-151
第2章 どこでも起こりうる直下の地震	Ⅲ-170
1 地震動等の予測	Ⅲ-170
(1) 地震動	Ⅲ-170
(2) 液状化	Ⅲ-183
(3) 土砂災害	Ⅲ-196
2 被害の想定	Ⅲ-233
(1) 揺れによる建物被害	Ⅲ-233
(2) 液状化による被害	Ⅲ-246

第III編 資料編

第III編は、地震動等の予測や被害想定の結果のうち、結果を把握する上で地図として面的な分布を整理することが効果的な事項を対象に図面集として整理した。

第1章 既に明らかとなっている断層等を震源とする地震

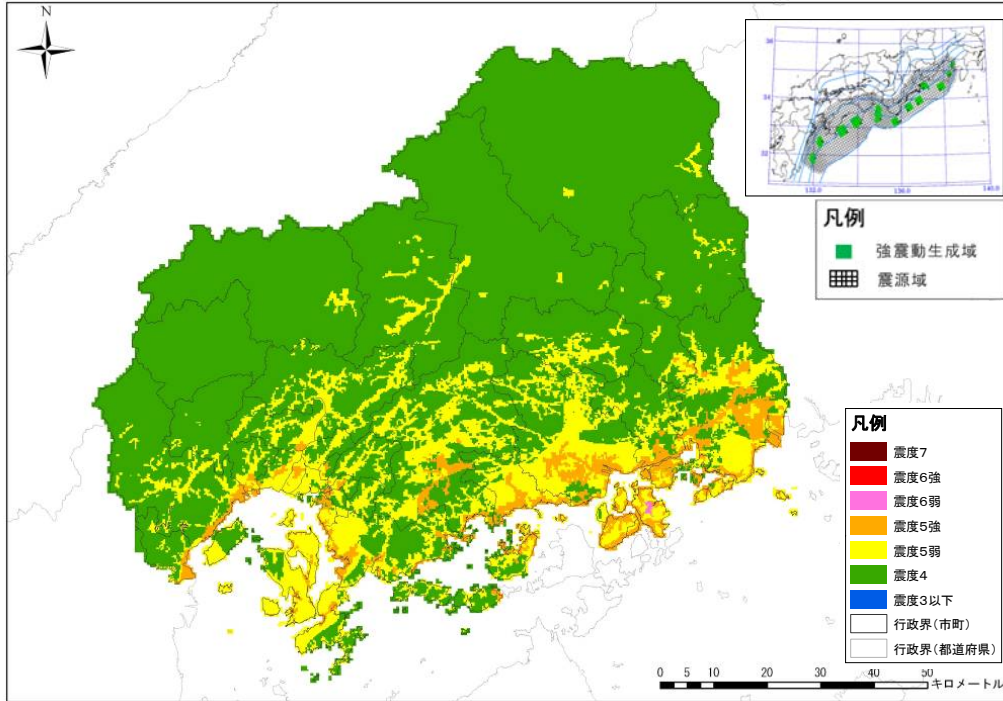
1 地震動等の予測

(1) 地震動

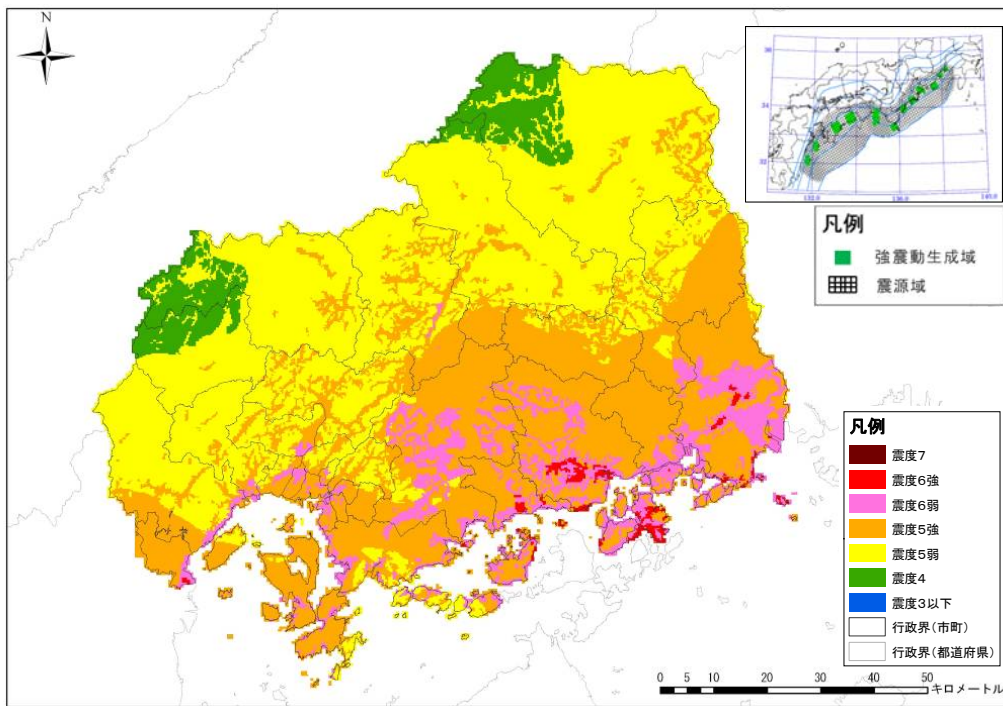
想定地震の震度分布を250mメッシュで示す。

南海トラフ巨大地震については、内閣府の「南海トラフの巨大地震モデル検討会」が示した「基本ケース」、「陸側ケース」、「東側ケース」、「西側ケース」の4つの強震断層モデルと、これを補完するための「経験的手法」及びこれらの震度の最大値の「重ね合わせ」の各ケースの震度を示す。

南海トラフ巨大地震以外の地震では、想定断層の両端に破壊開始点を設定した2ケースの震度を示す。

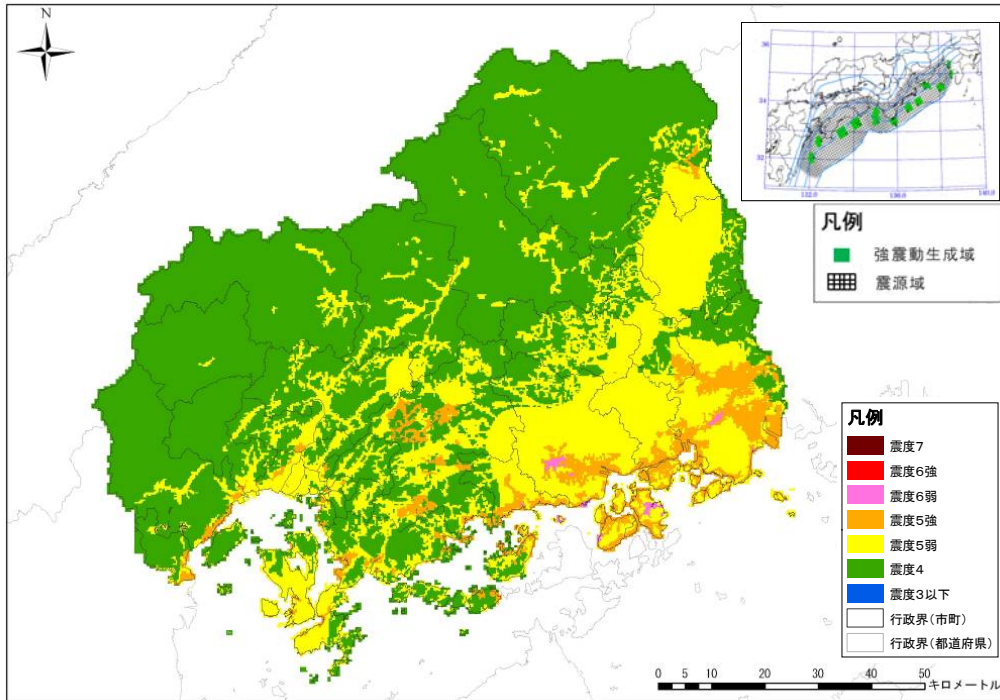


南海トラフ巨大地震（基本ケース）

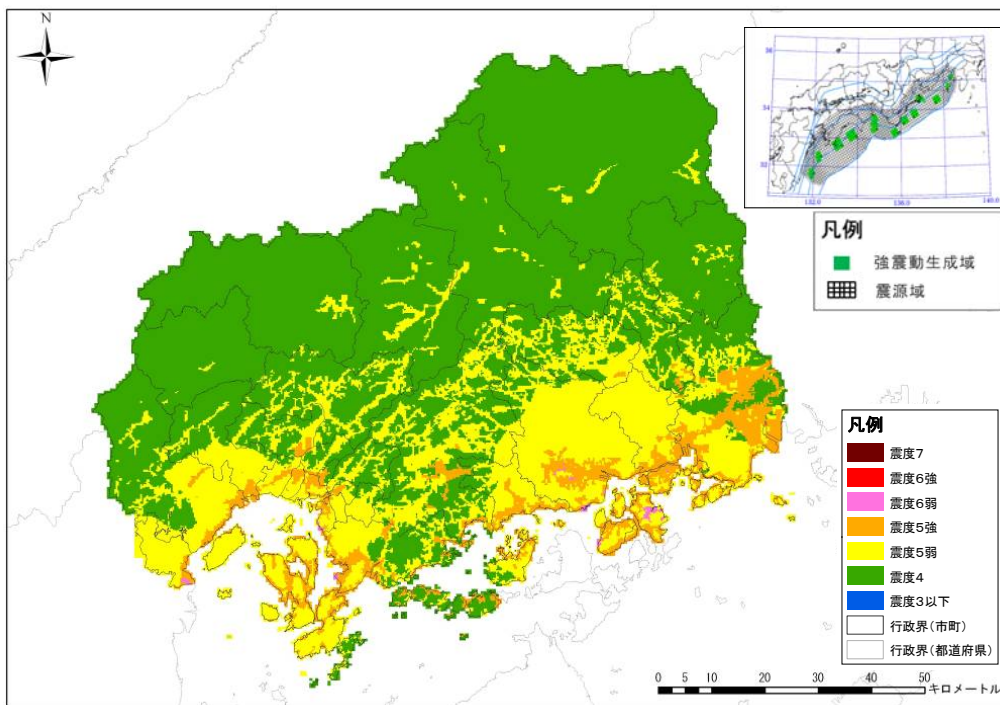


南海トラフ巨大地震（陸側ケース）

図Ⅲ. 1. 1-1(1) 震度分布

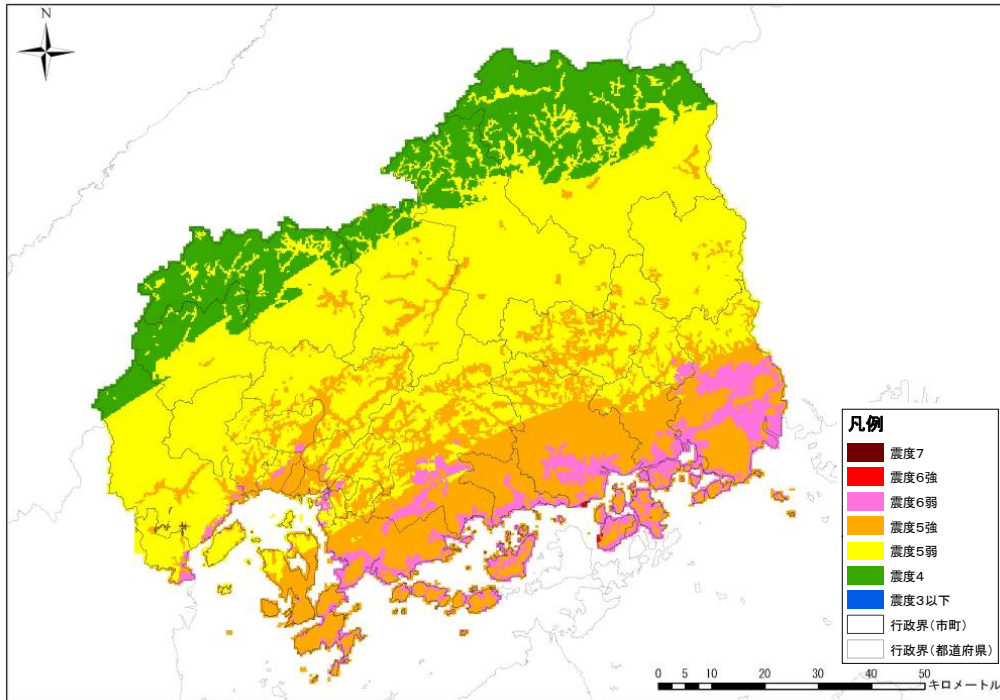


南海トラフ巨大地震（東側ケース）

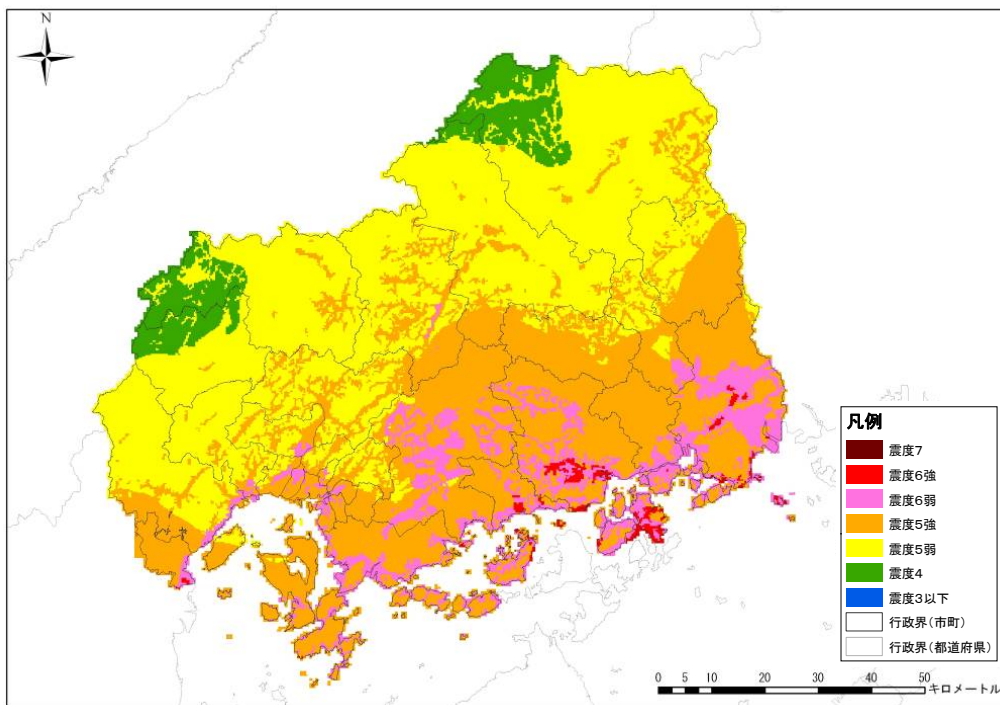


南海トラフ巨大地震（西側ケース）

図Ⅲ. 1. 1-1(2) 震度分布

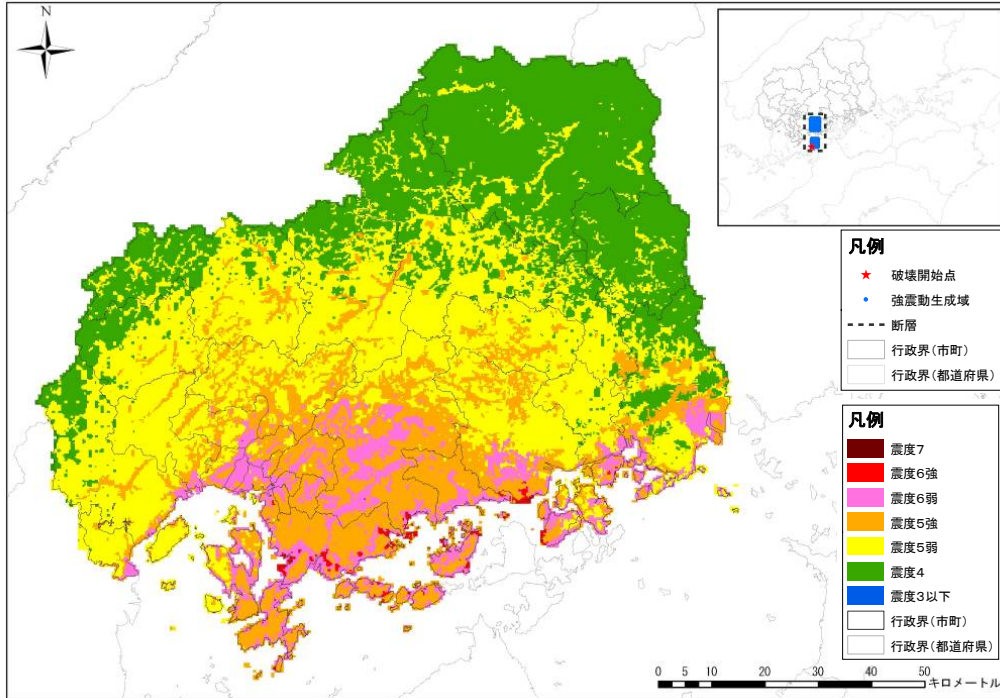


南海トラフ巨大地震（経験的手法）

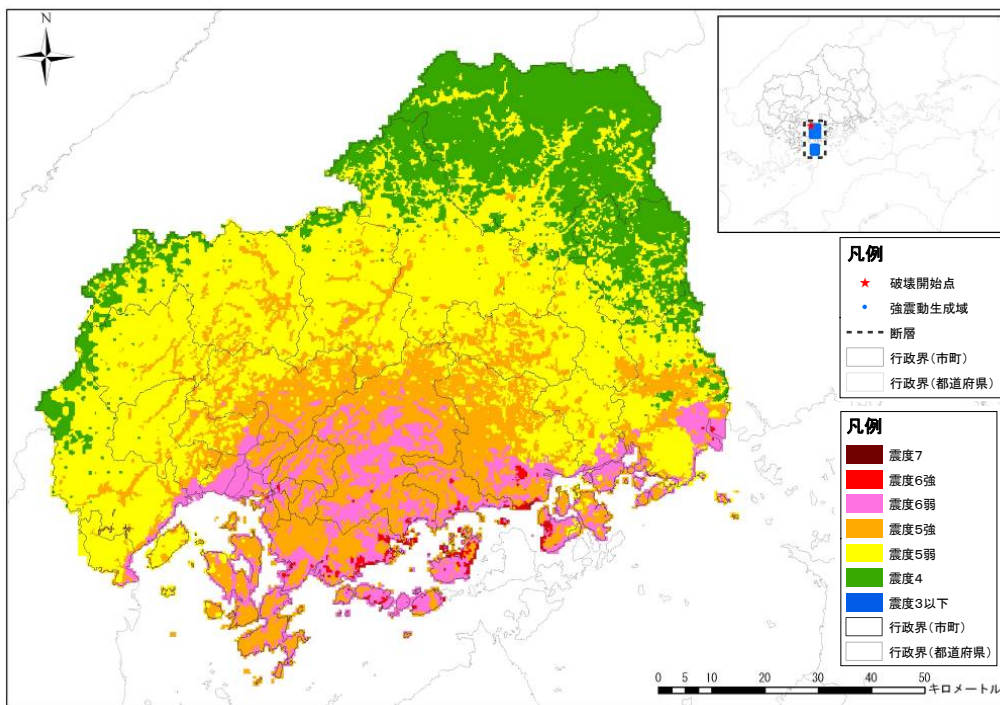


南海トラフ巨大地震（重ね合わせ）

図Ⅲ. 1. 1-1(3) 震度分布

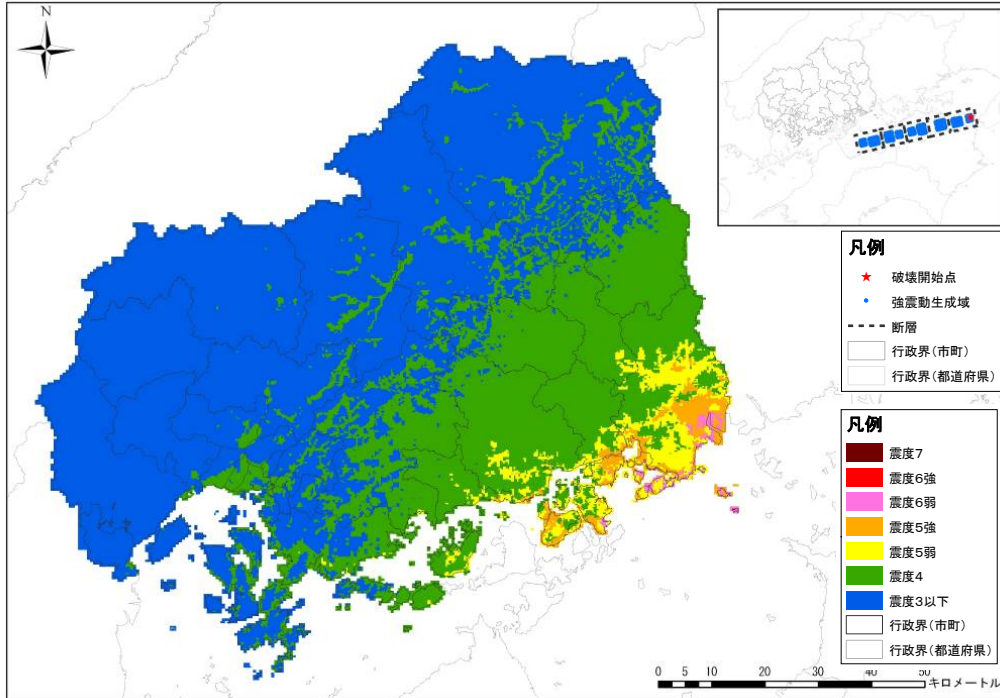


安芸灘～伊予灘～豊後水道の地震（南から破壊）

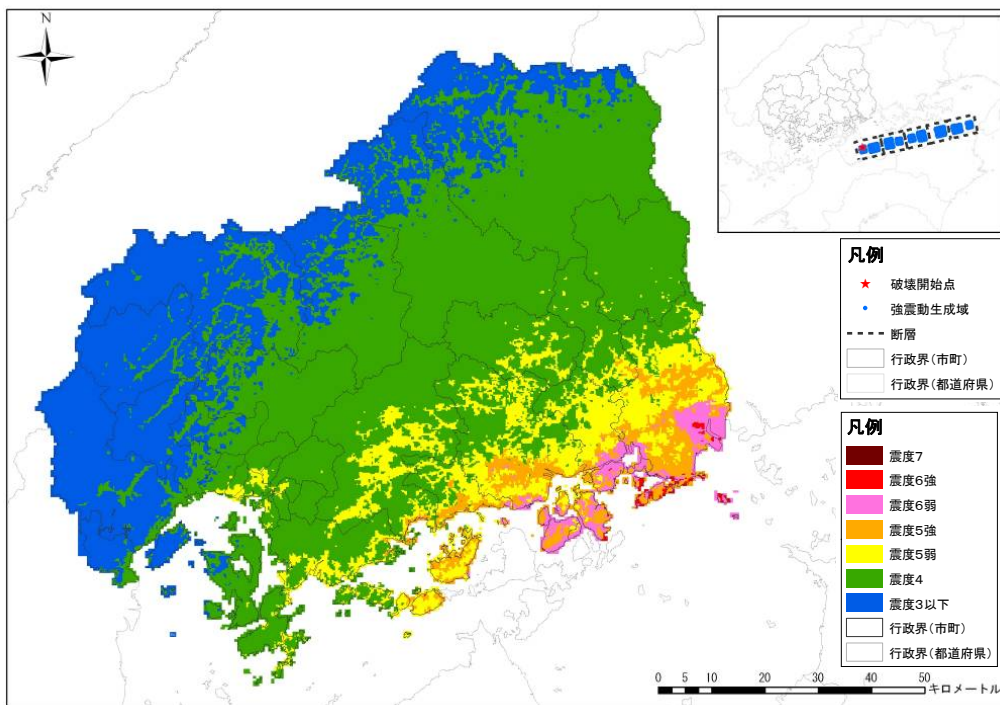


安芸灘～伊予灘～豊後水道の地震（北から破壊）

図Ⅲ. 1. 1-1(4) 震度分布

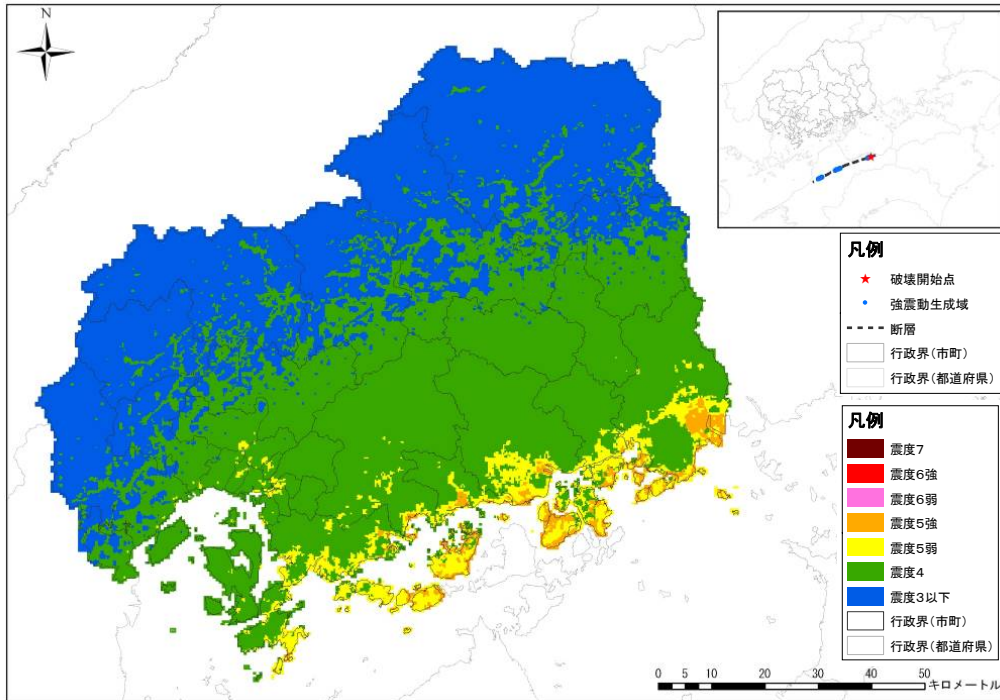


讃岐山脈南縁－石鎚山脈北縁東部の地震（東から破壊）

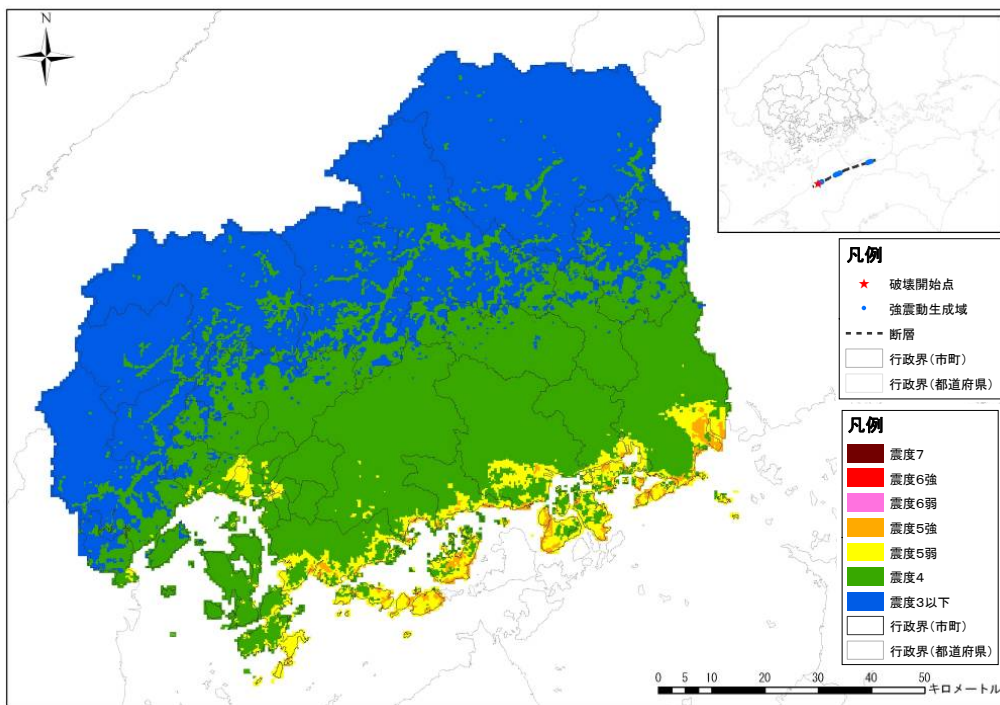


讃岐山脈南縁－石鎚山脈北縁東部の地震（西から破壊）

図Ⅲ. 1. 1-1(5) 震度分布

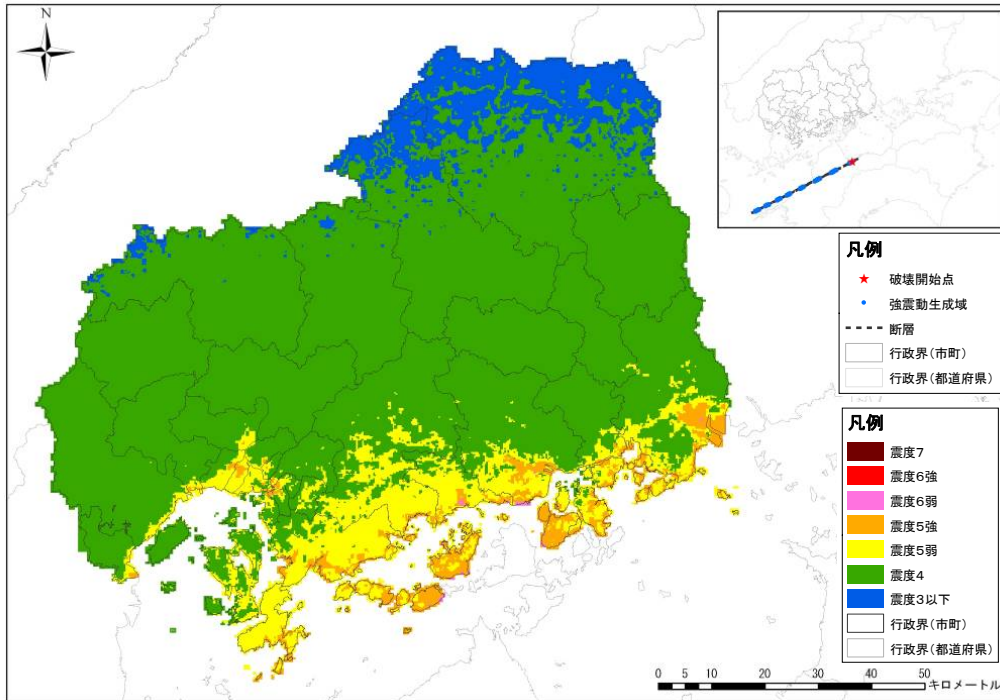


石鎚山脈北縁の地震（東から破壊）

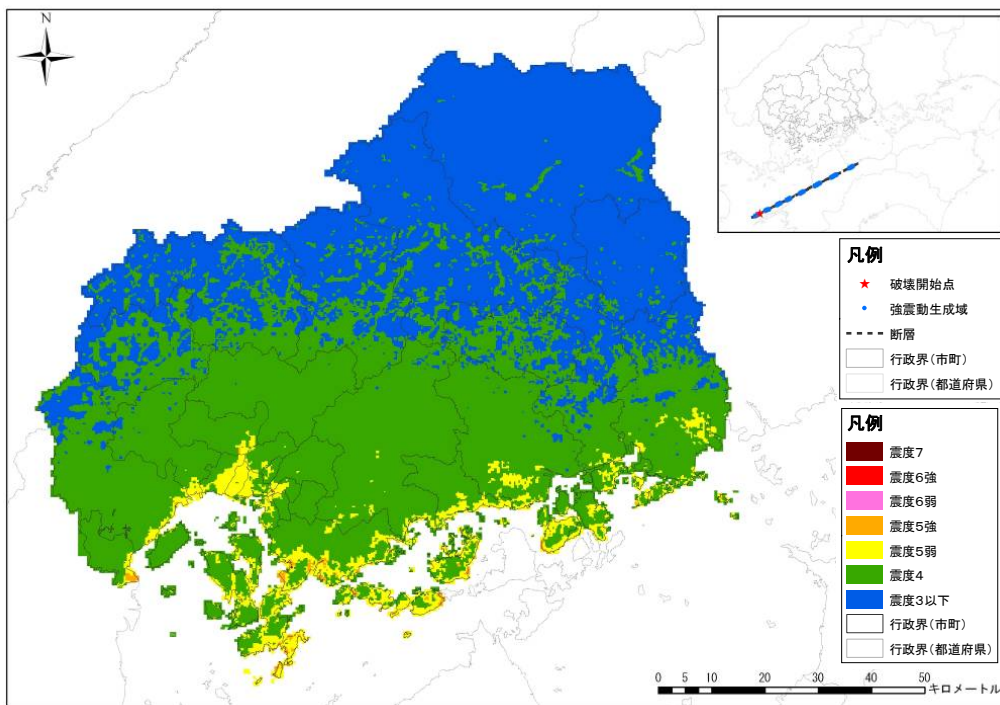


石鎚山脈北縁の地震（西から破壊）

図Ⅲ. 1. 1-1(6) 震度分布

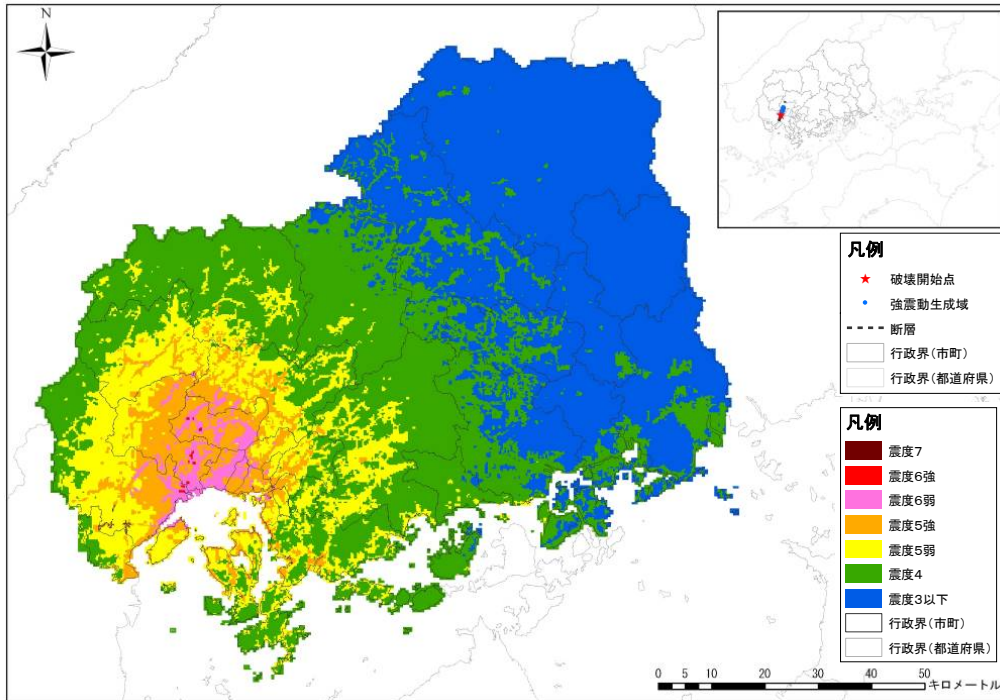


石鎚山脈北縁西部－伊予灘の地震（東から破壊）

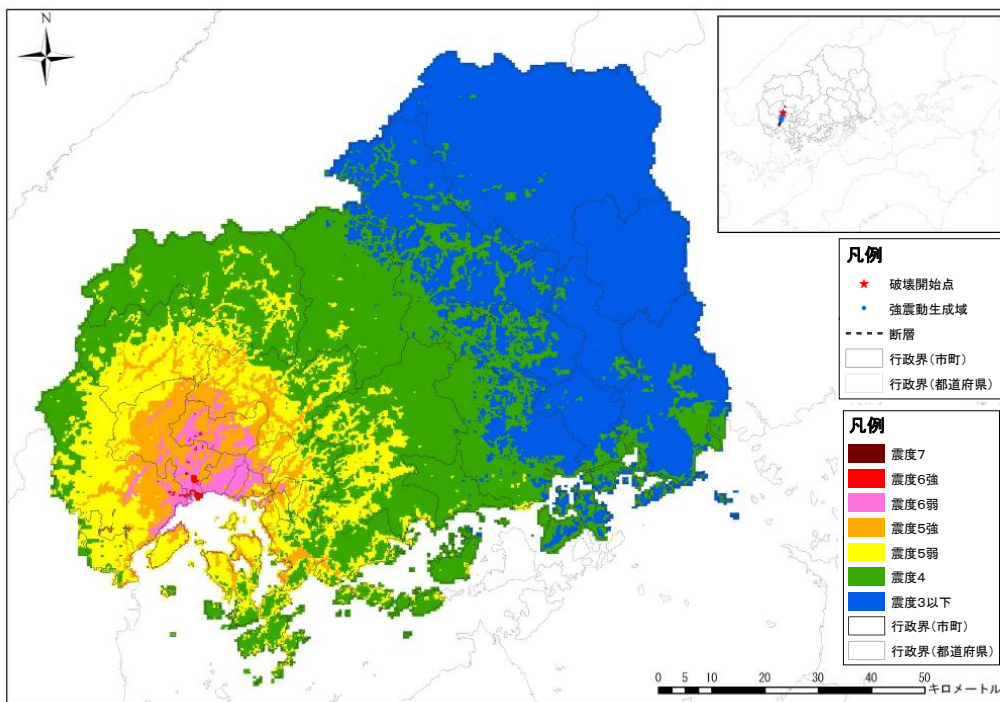


石鎚山脈北縁西部－伊予灘の地震（西から破壊）

図Ⅲ. 1. 1-1(7) 震度分布

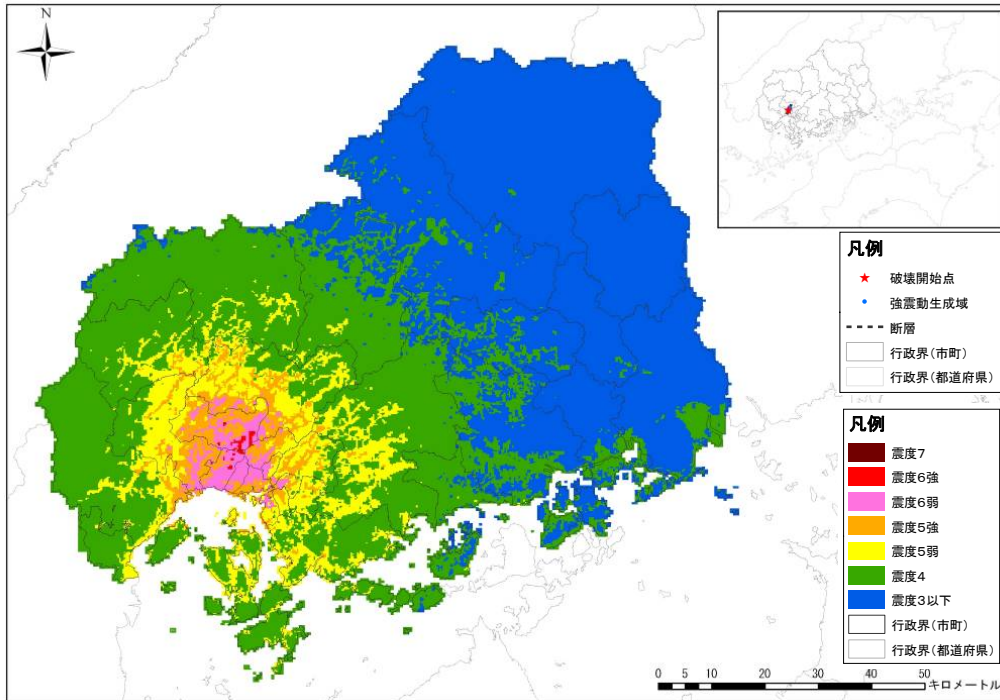


五日市断層の地震（南から破壊）

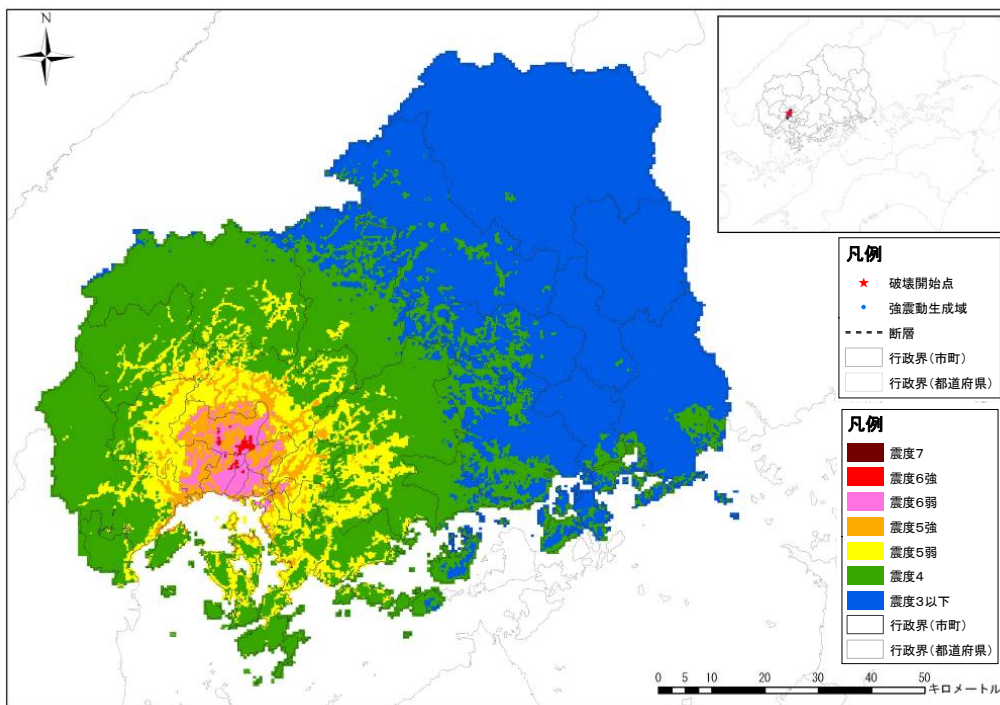


五日市断層の地震（北から破壊）

図Ⅲ. 1. 1-1(8) 震度分布

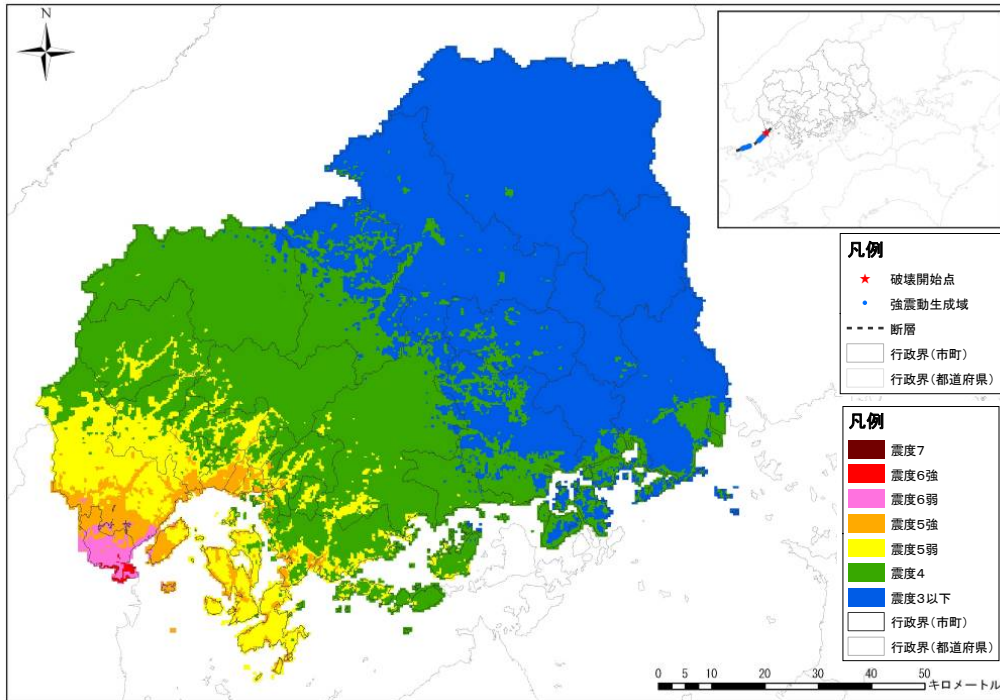


己斐－広島西縁断層帯の地震（M6.5）（南から破壊）

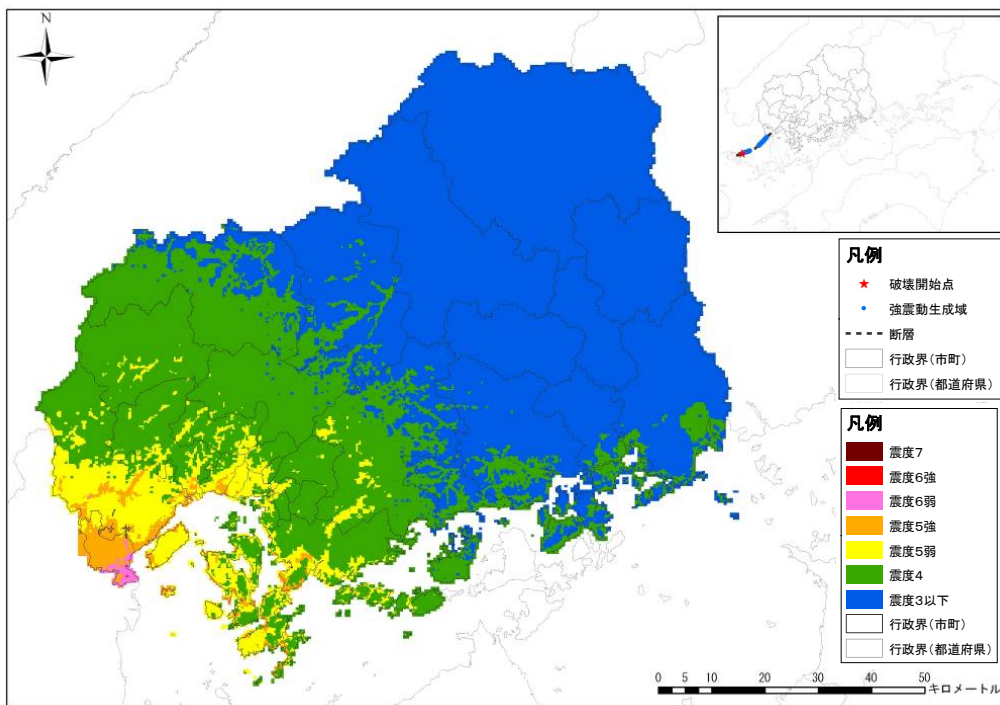


己斐－広島西縁断層帯の地震（M6.5）（北から破壊）

図Ⅲ. 1. 1-1 (9) 震度分布

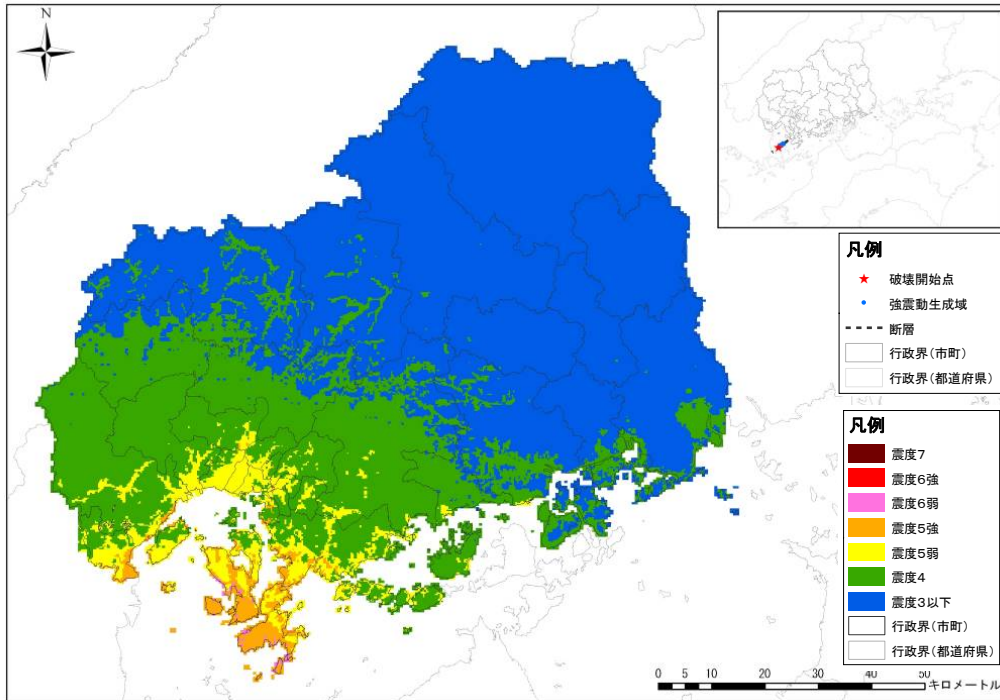


岩国断層帯の地震（東から破壊）

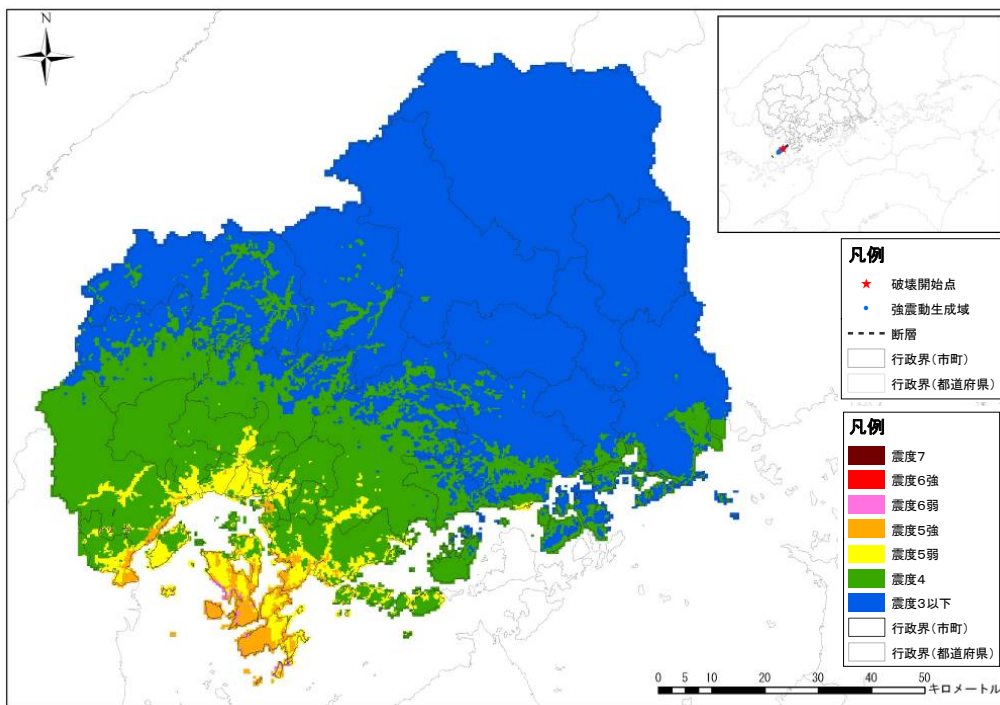


岩国断層帯の地震（西から破壊）

図Ⅲ. 1. 1-1(10) 震度分布

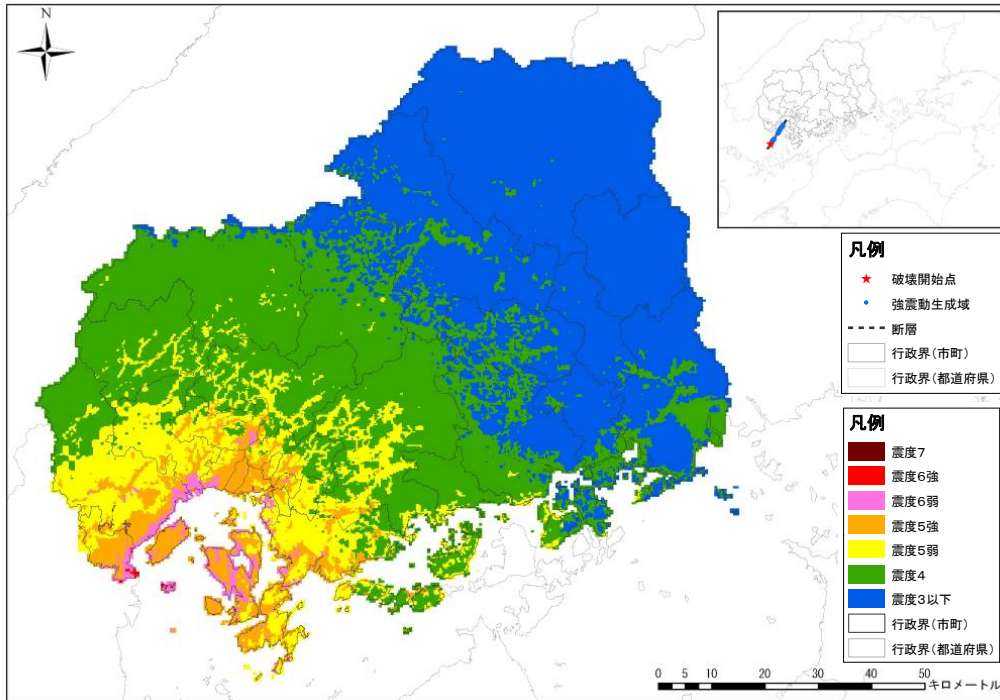


安芸灘断層群（主部）の地震（南から破壊）

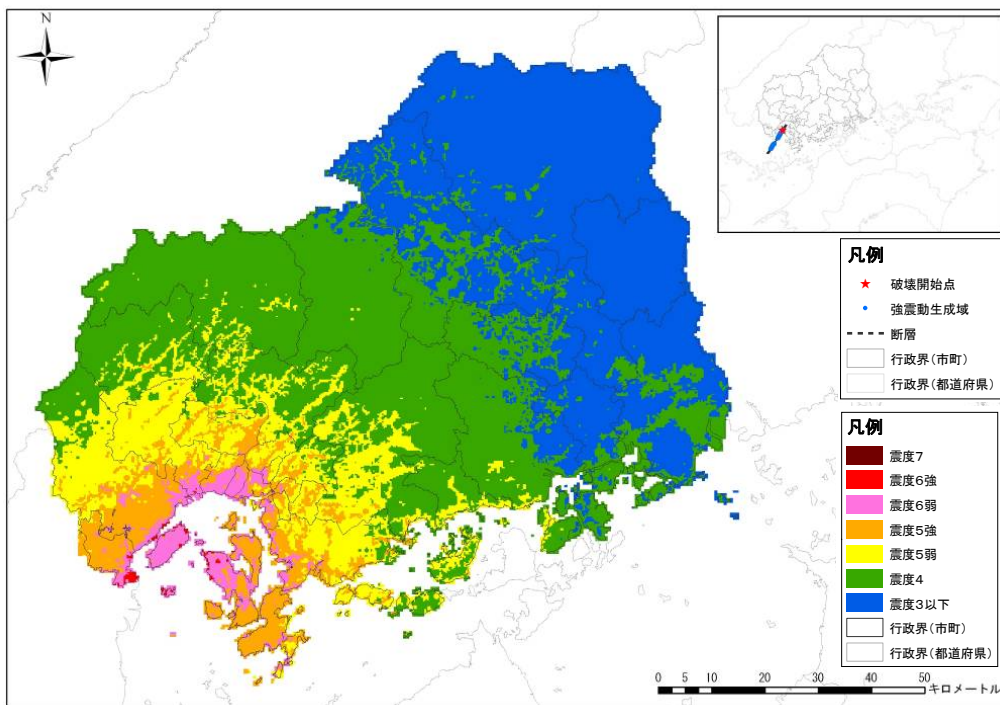


安芸灘断層群（主部）の地震（北から破壊）

図Ⅲ.1.1-1(11) 震度分布

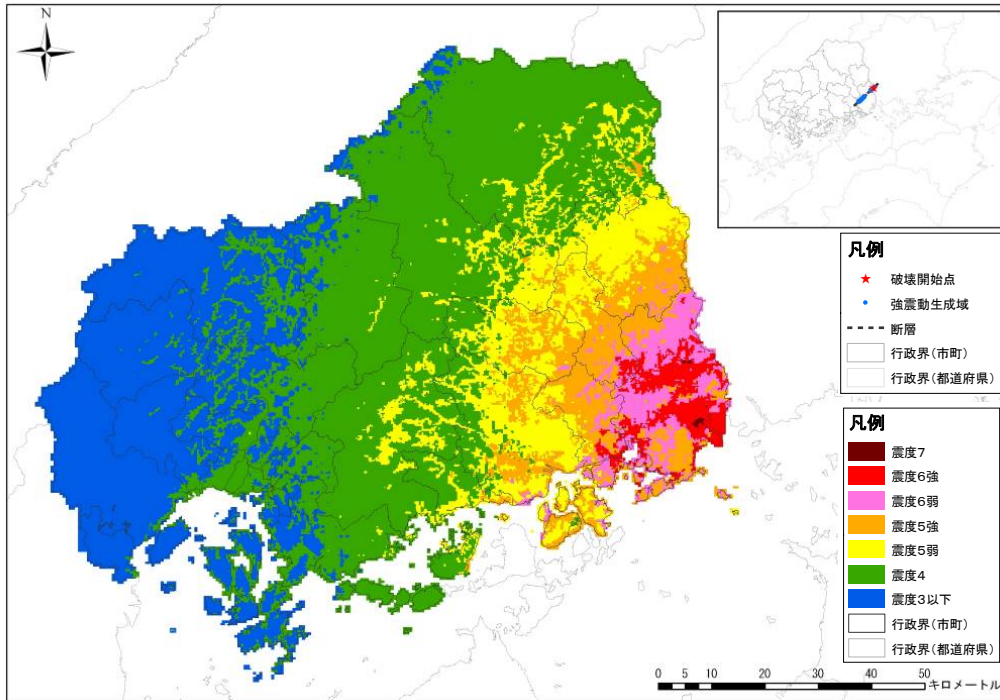


安芸灘断層群（広島湾－岩国沖断層帯）の地震（南から破壊）

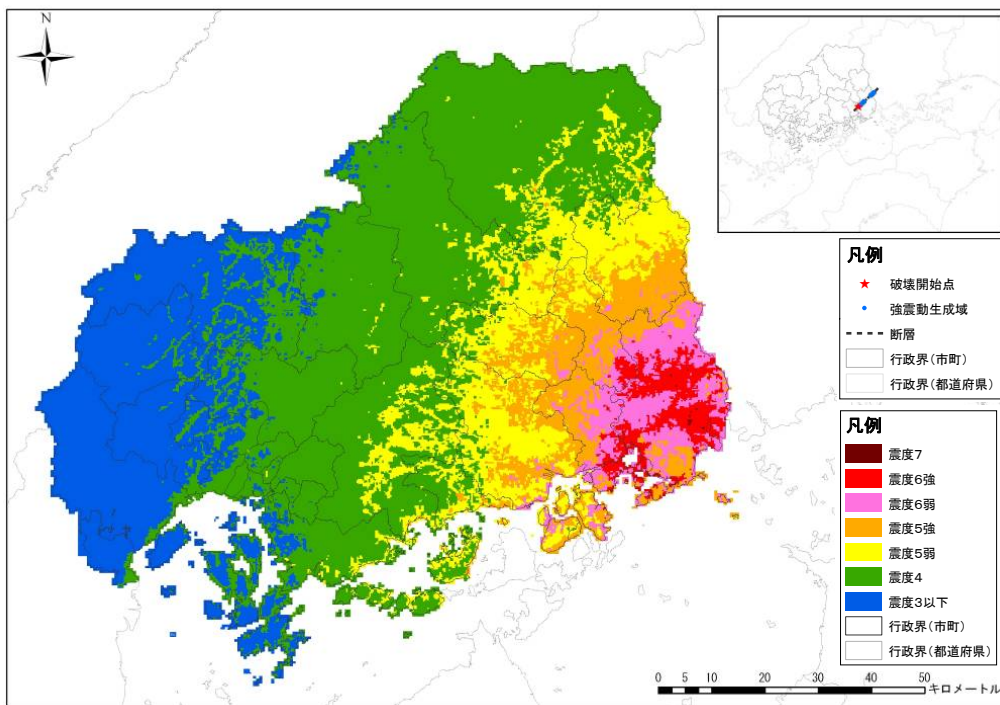


安芸灘断層群（広島湾－岩国沖断層帯）の地震（北から破壊）

図Ⅲ. 1. 1-1(12) 震度分布

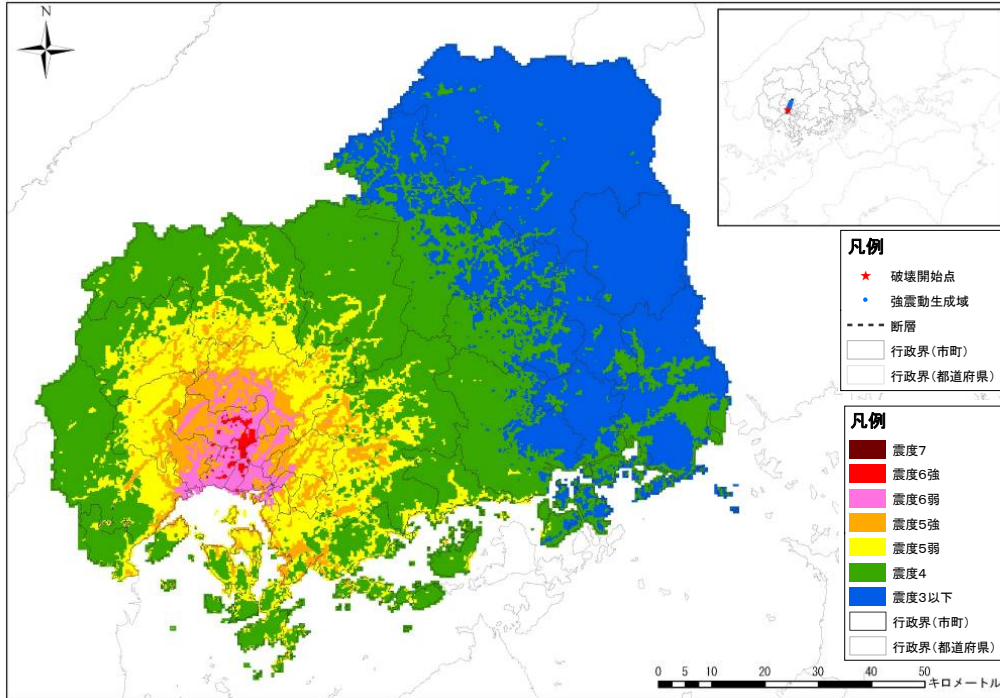


長者ヶ原断層－芳井断層の地震（東から破壊）

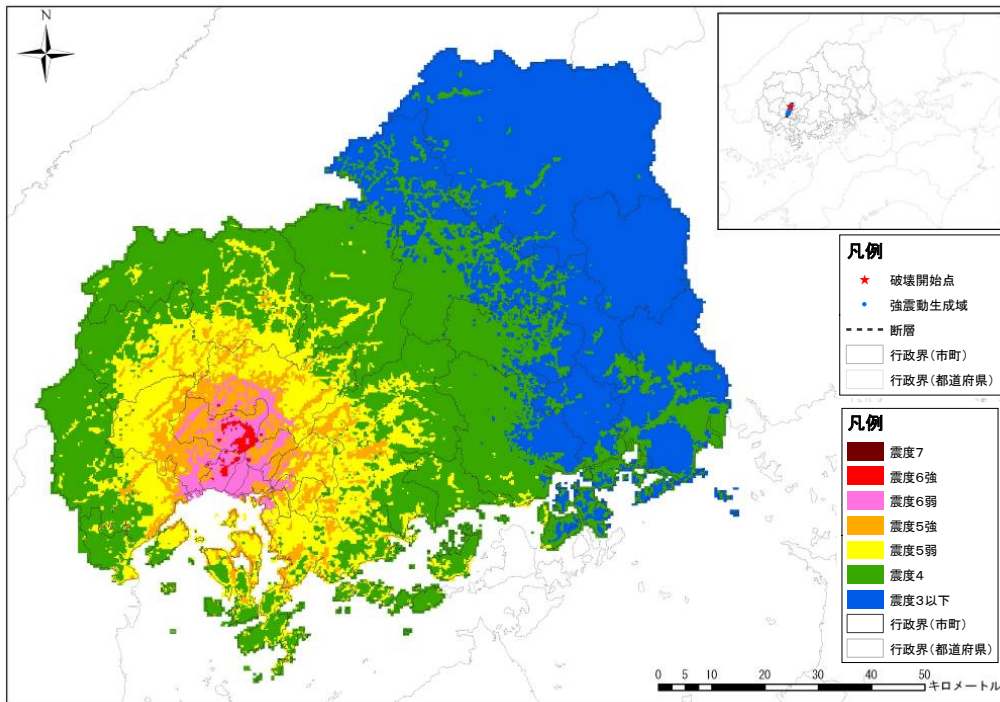


長者ヶ原断層－芳井断層の地震（西から破壊）

図Ⅲ. 1. 1-1(13) 震度分布



(参考) 己斐-広島西縁断層帯の地震 (M6.9) の地震 (南から破壊)



(参考) 己斐-広島西縁断層帯の地震 (M6.9) の地震 (北から破壊)

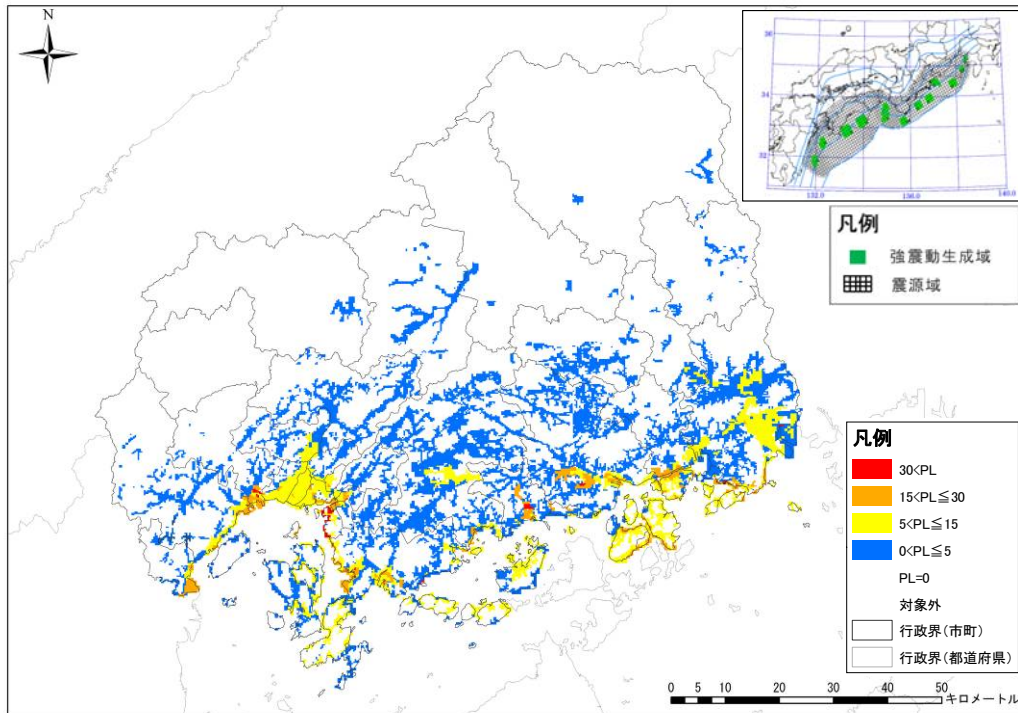
図Ⅲ.1.1-1(14) 震度分布

(2) 液状化

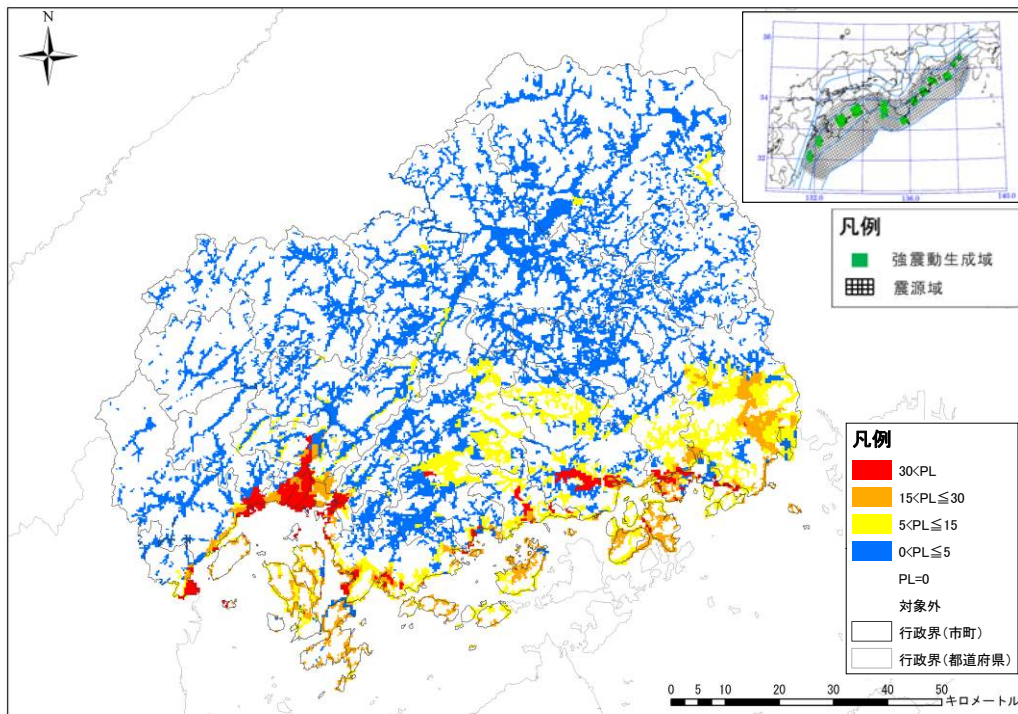
想定地震の液状化危険度分布を 250m メッシュで示す。

南海トラフ巨大地震については、内閣府の「南海トラフの巨大地震モデル検討会」が示した「基本ケース」、「陸側ケース」、「東側ケース」、「西側ケース」の 4 つの強震断層モデルと、これを補完するための「経験的手法」及びこれらの震度の最大値の「重ね合わせ」の各ケースの PL 値及び沈下量を示す。

南海トラフ巨大地震以外の地震では、想定断層の両端に破壊開始点を設定した 2 ケースの PL 値を示す。

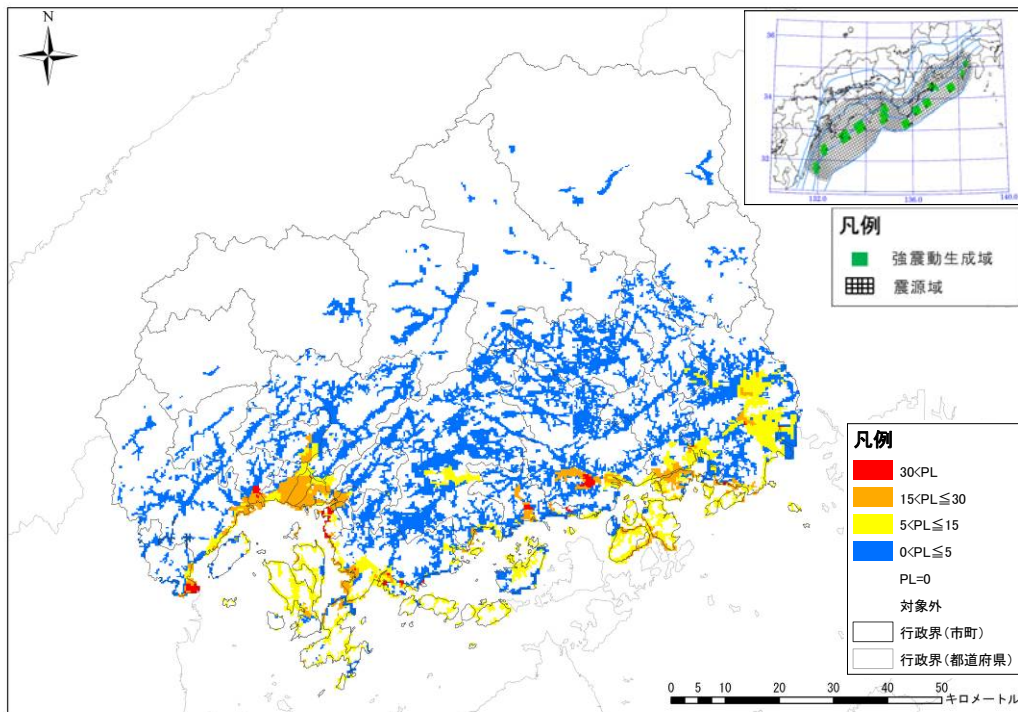
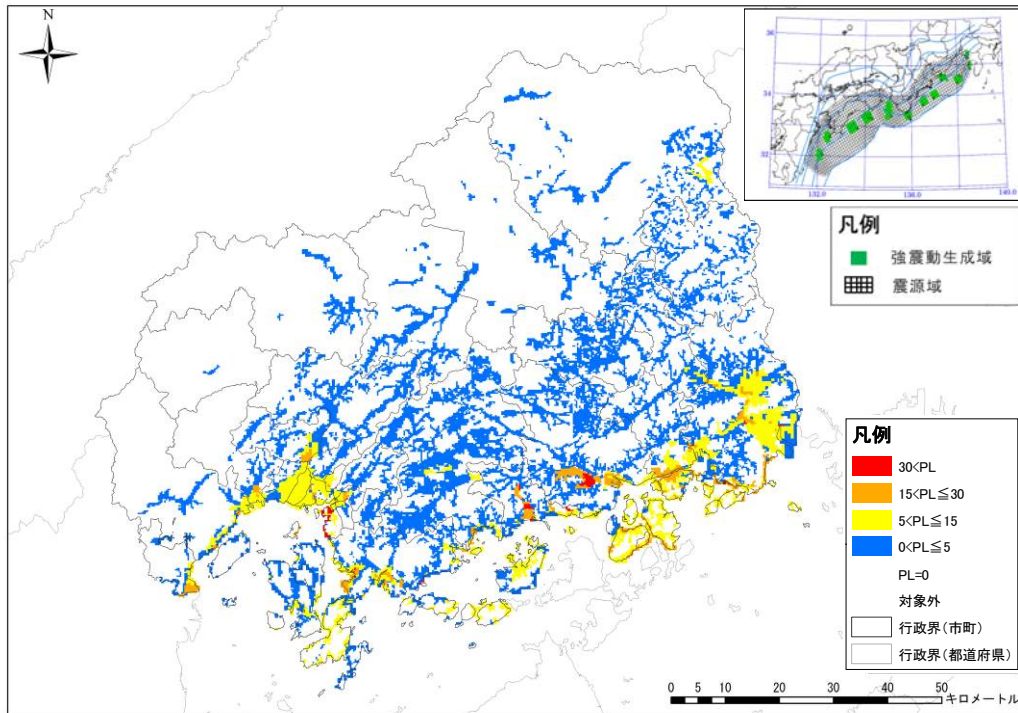


南海トラフ巨大地震（基本ケース）

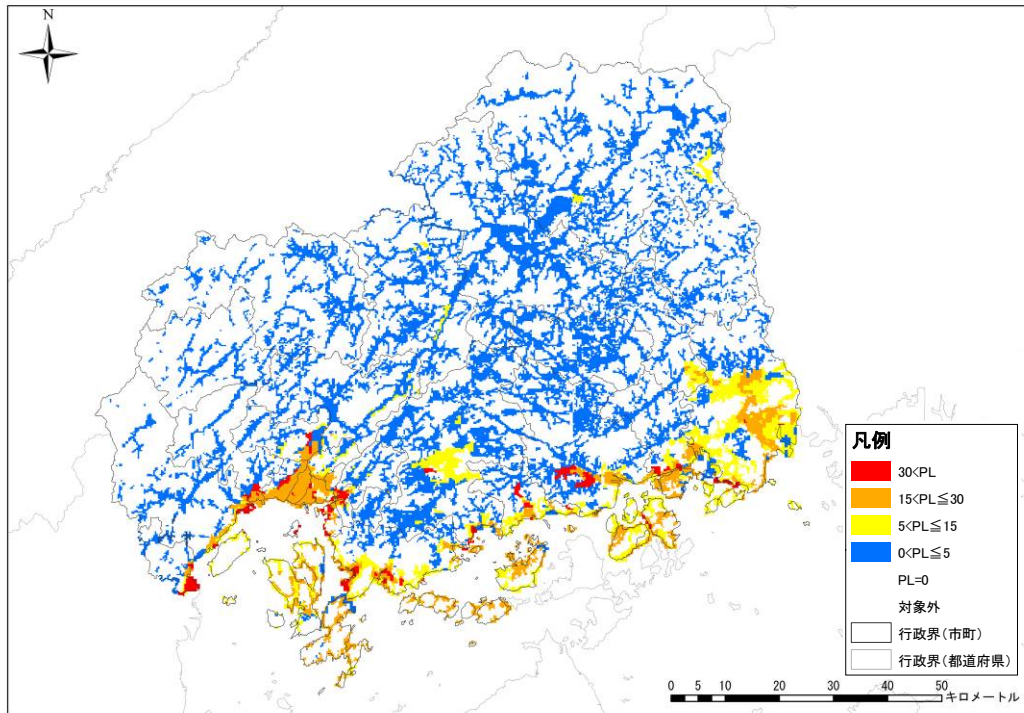


南海トラフ巨大地震（陸側ケース）

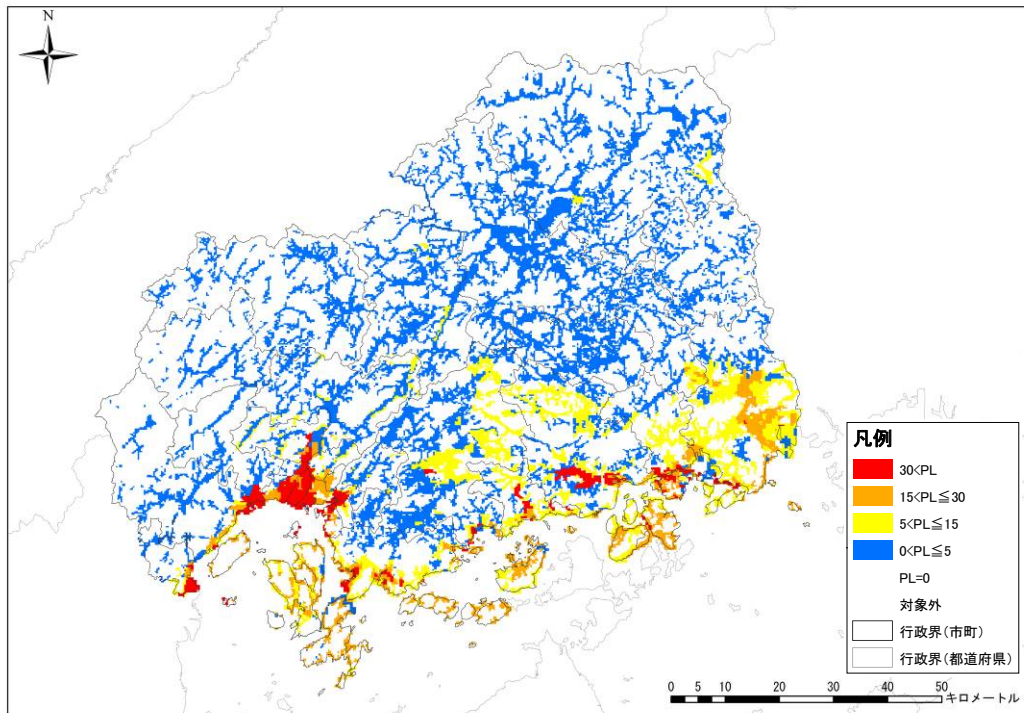
図Ⅲ.1.1-2(1) 液状化危険度分布 (PL 値)



南海トラフ巨大地震（西側ケース）
 図Ⅲ.1.1-2(2) 液状化危険度分布（PL 値）

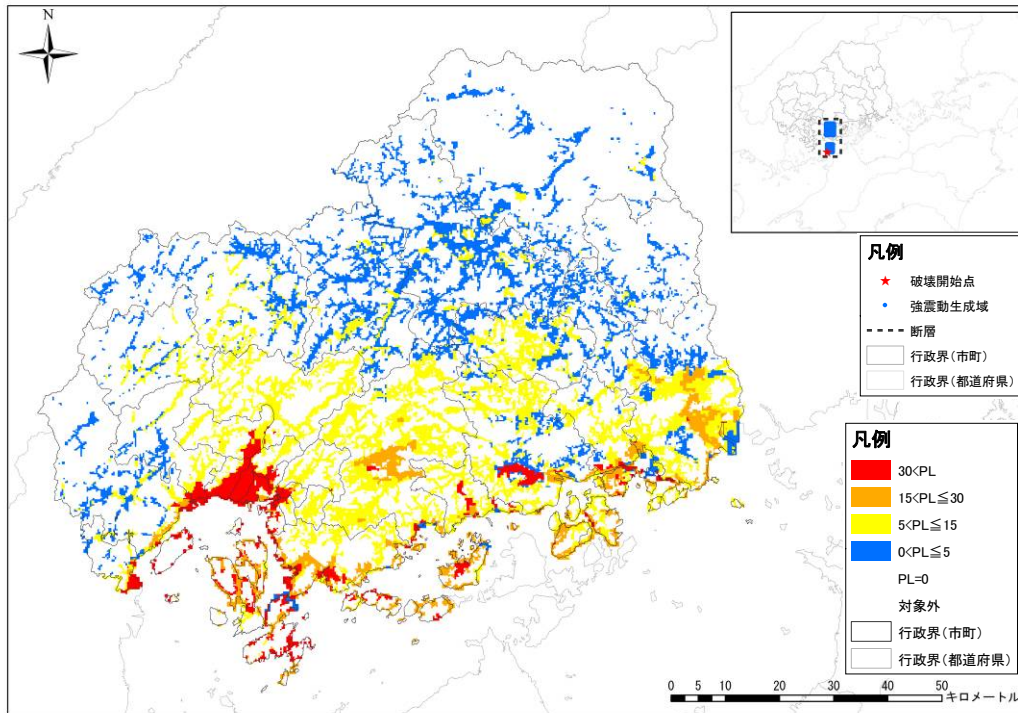


南海トラフ巨大地震（経験的手法）

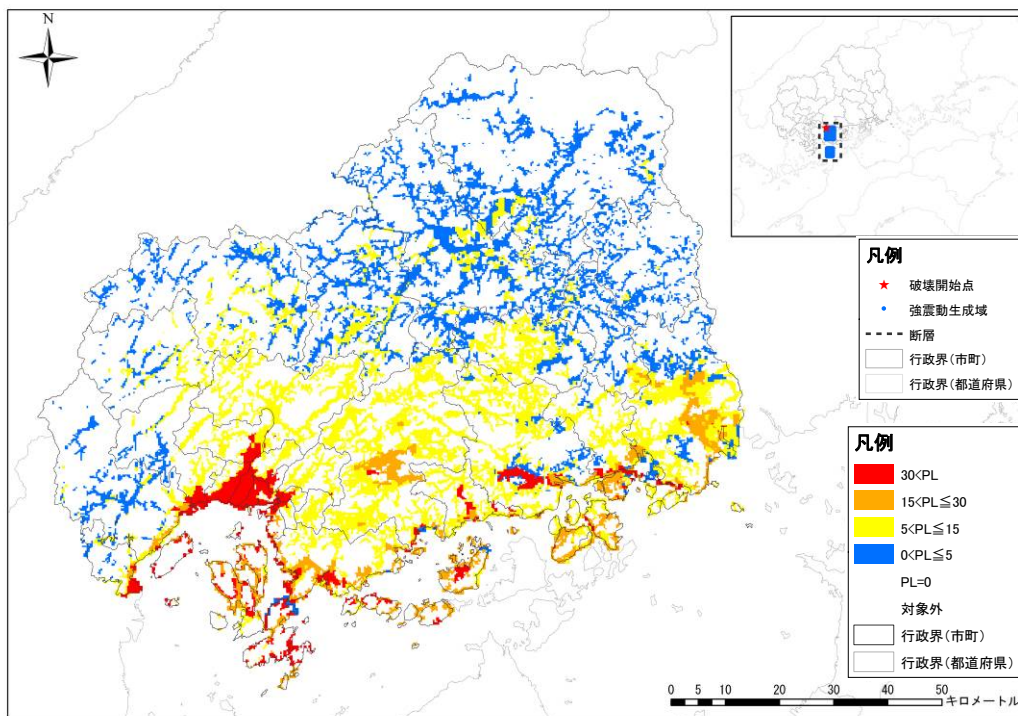


南海トラフ巨大地震（重ね合わせ）

図Ⅲ. 1. 1-2(3) 液状化危険度分布 (PL 値)

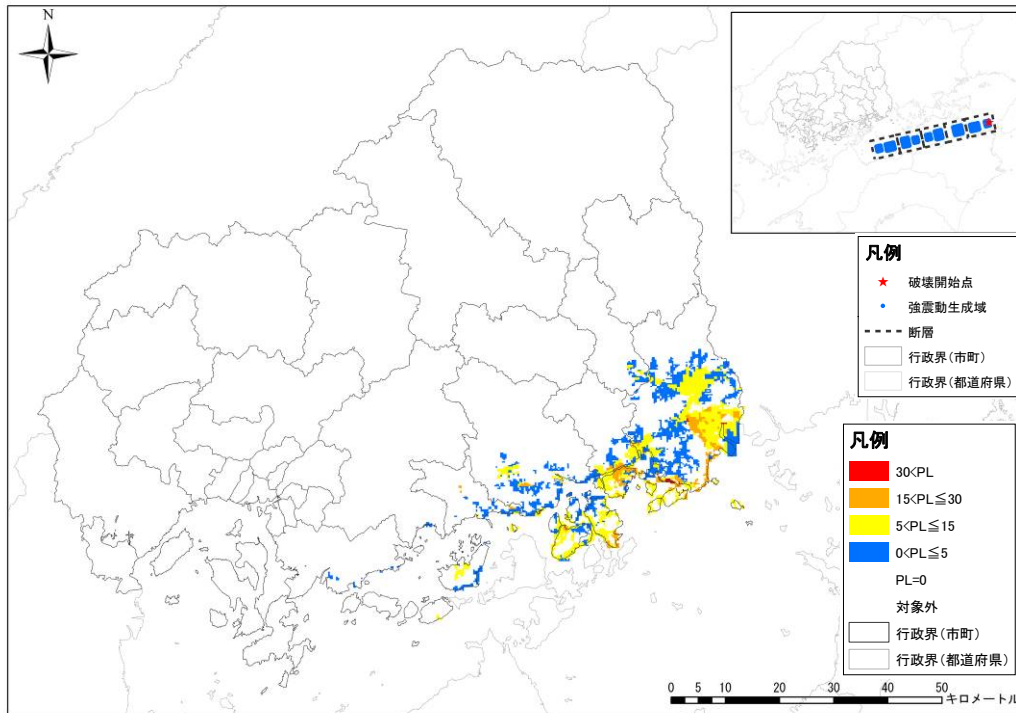


安芸灘～伊予灘～豊後水道の地震（南から破壊）

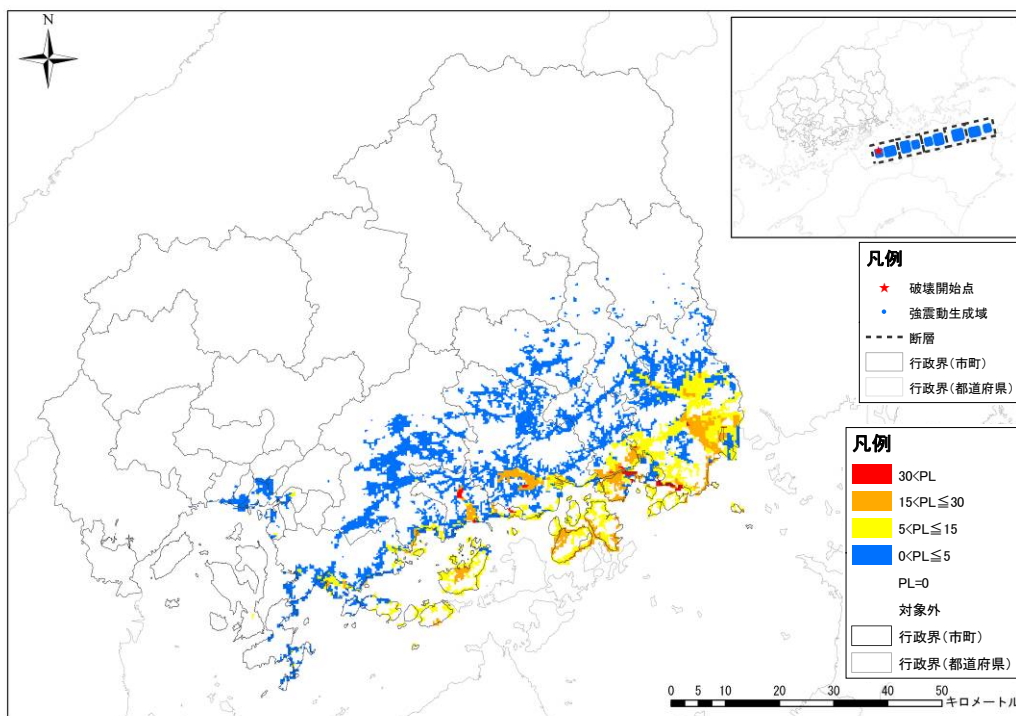


安芸灘～伊予灘～豊後水道の地震（北から破壊）

図Ⅲ. 1. 1-2(4) 液状化危険度分布 (PL 値)

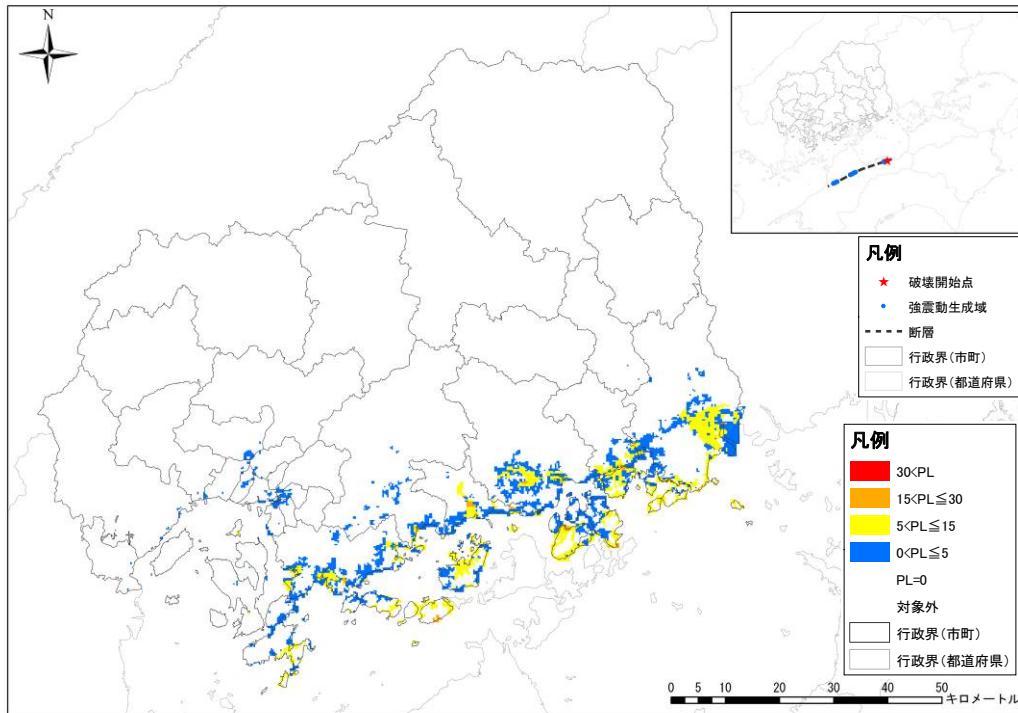


讃岐山脈南縁－石鎚山脈北縁東部の地震（東から破壊）

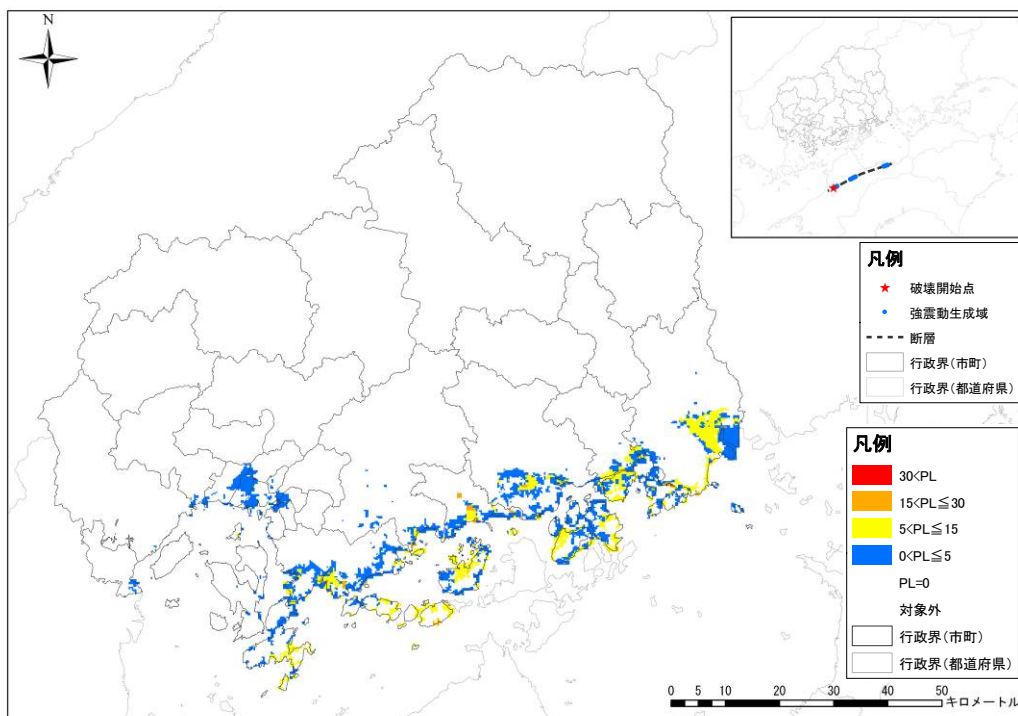


讃岐山脈南縁－石鎚山脈北縁東部の地震（西から破壊）

図Ⅲ. 1. 1-2(5) 液状化危険度分布 (PL 値)

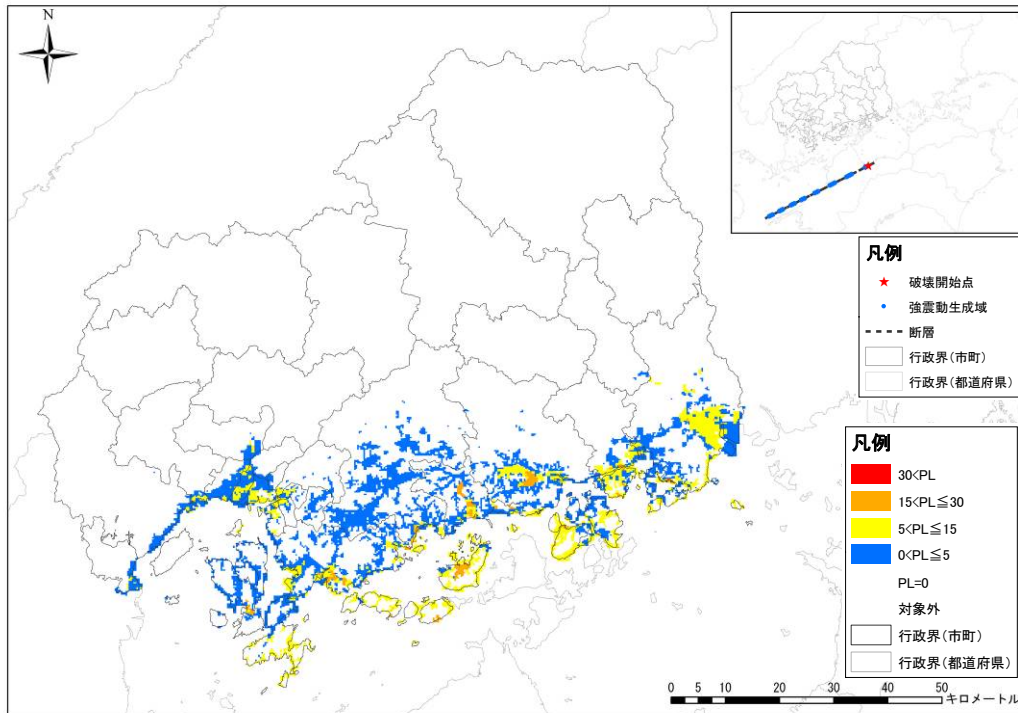


石鎚山脈北縁の地震（東から破壊）

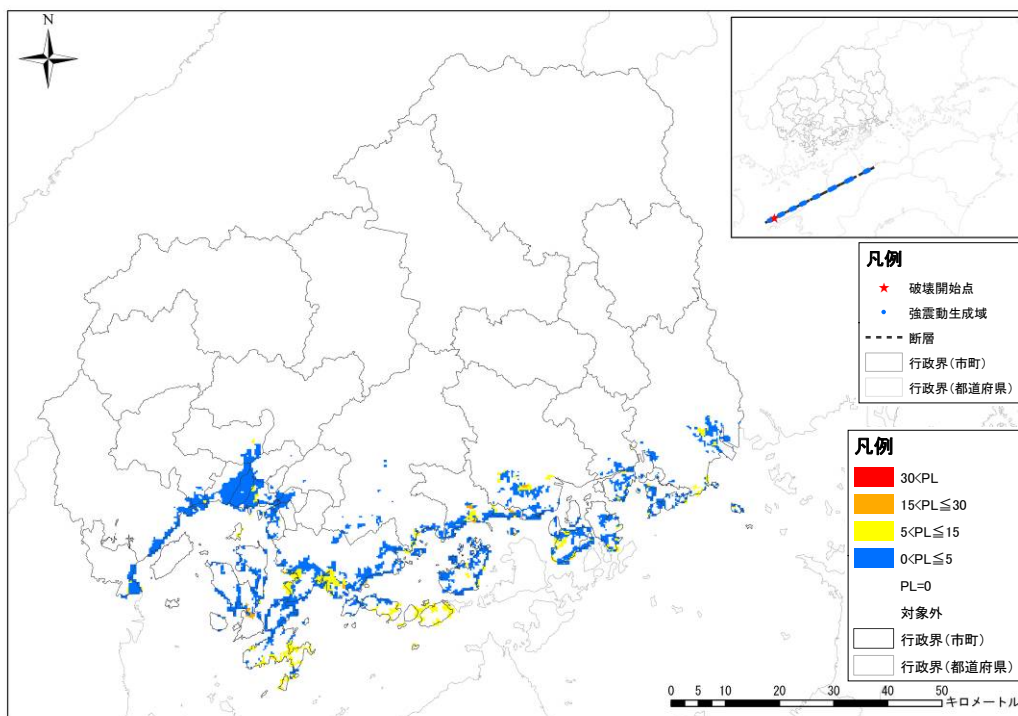


石鎚山脈北縁の地震（西から破壊）

図Ⅲ. 1. 1-2(6) 液状化危険度分布 (PL 値)

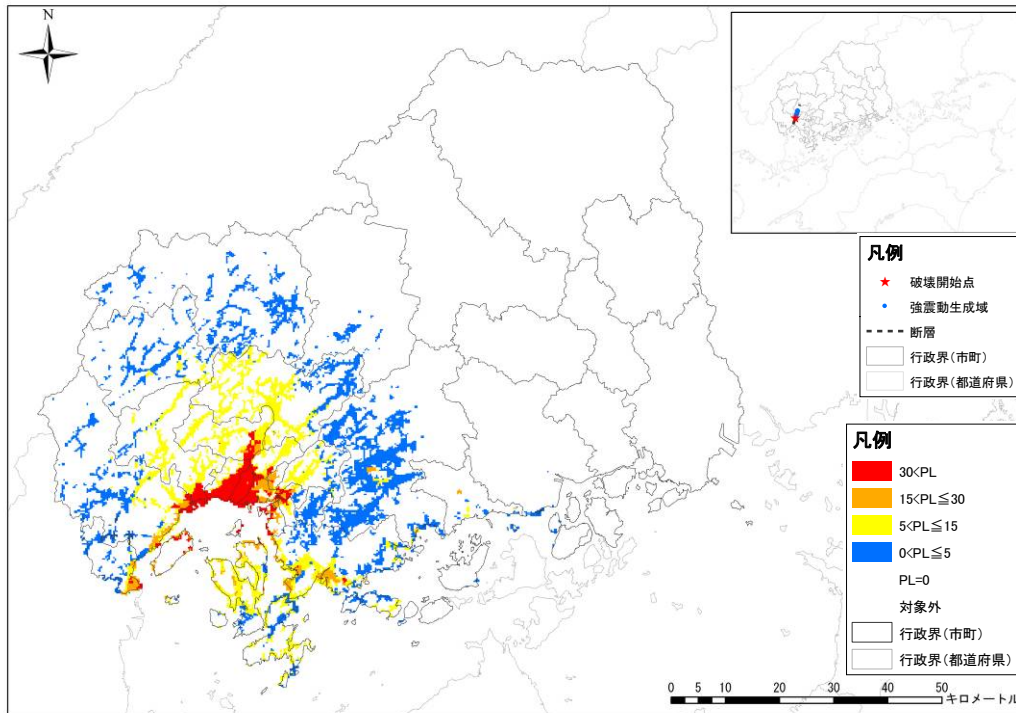


石鎚山脈北縁西部－伊予灘の地震（東から破壊）

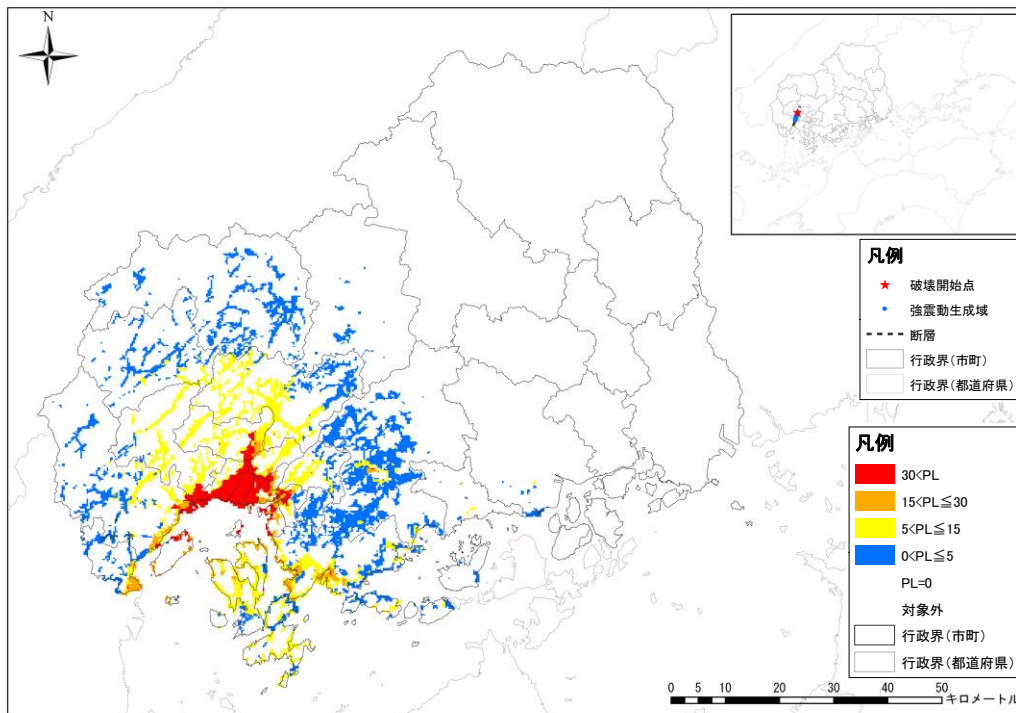


石鎚山脈北縁西部－伊予灘の地震（西から破壊）

図Ⅲ. 1. 1-2(7) 液状化危険度分布 (PL 値)

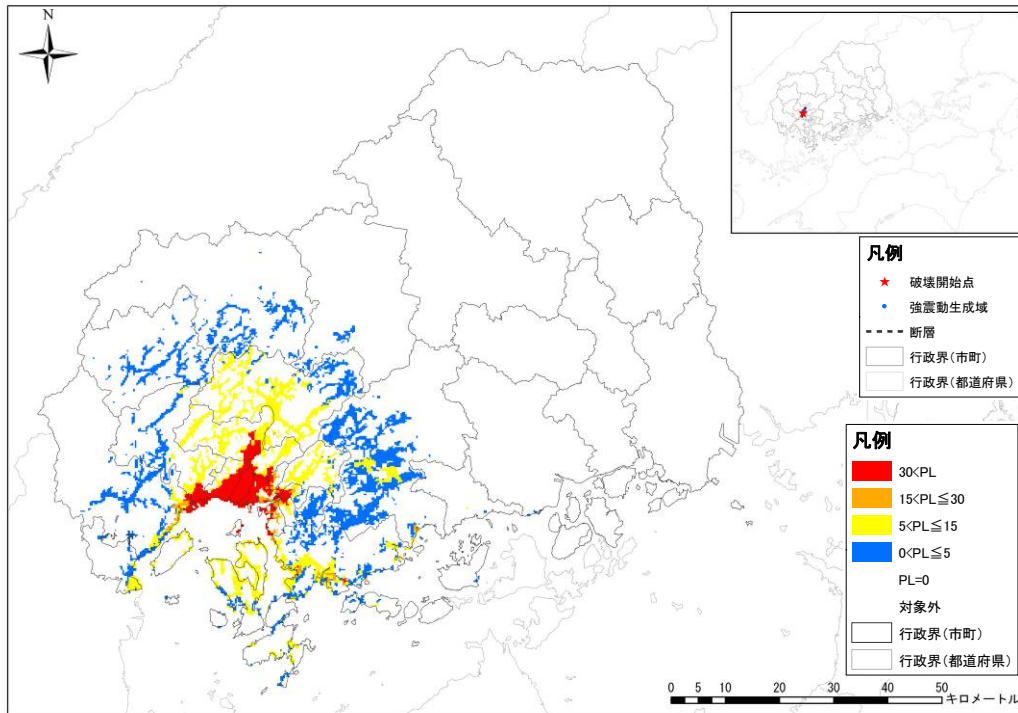


五日市断層の地震（南から破壊）

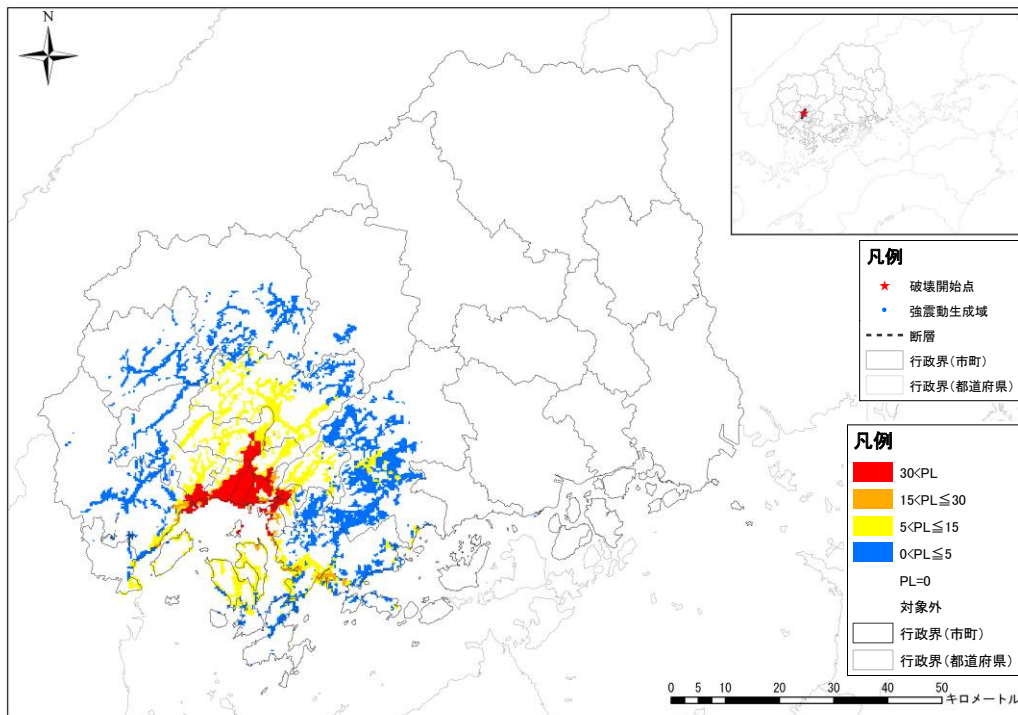


五日市断層の地震（北から破壊）

図Ⅲ. 1. 1-2(8) 液状化危険度分布 (PL 値)

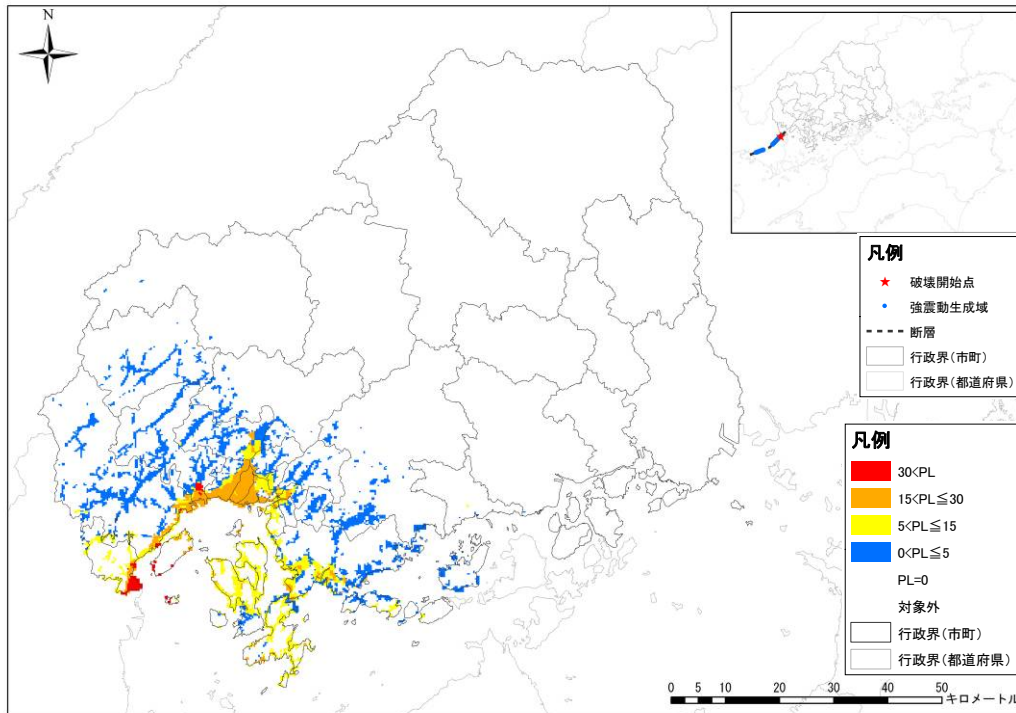


己斐－広島西縁断層帯 (M6.5) の地震 (南から破壊)

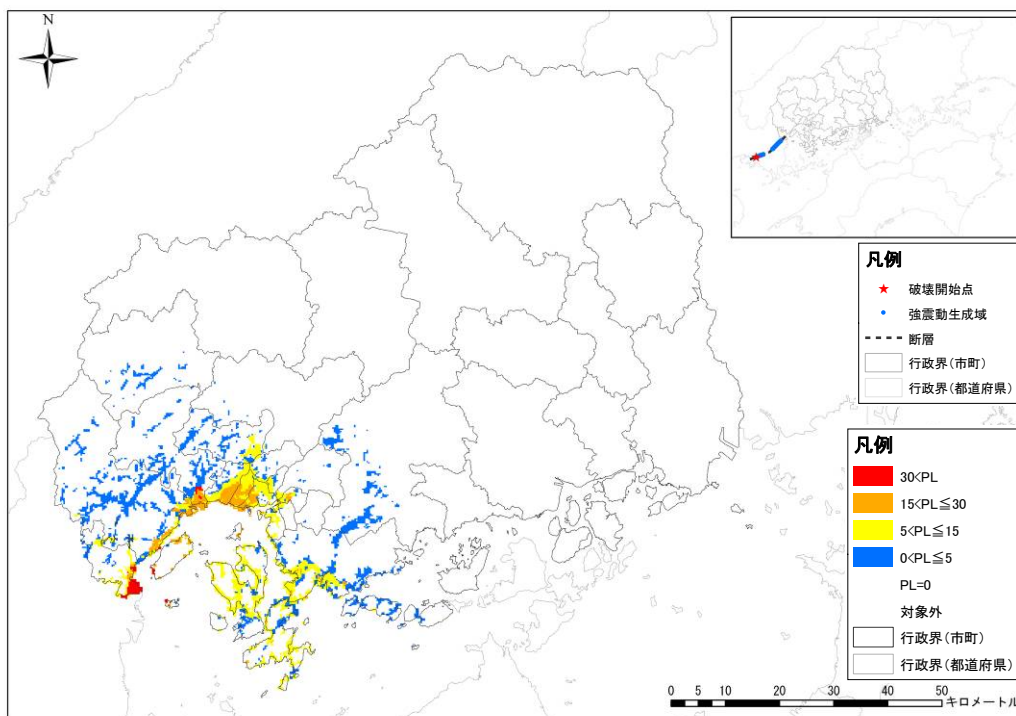


己斐－広島西縁断層帯 (M6.5) の地震 (北から破壊)

図Ⅲ. 1. 1-2(9) 液状化危険度分布 (PL 値)

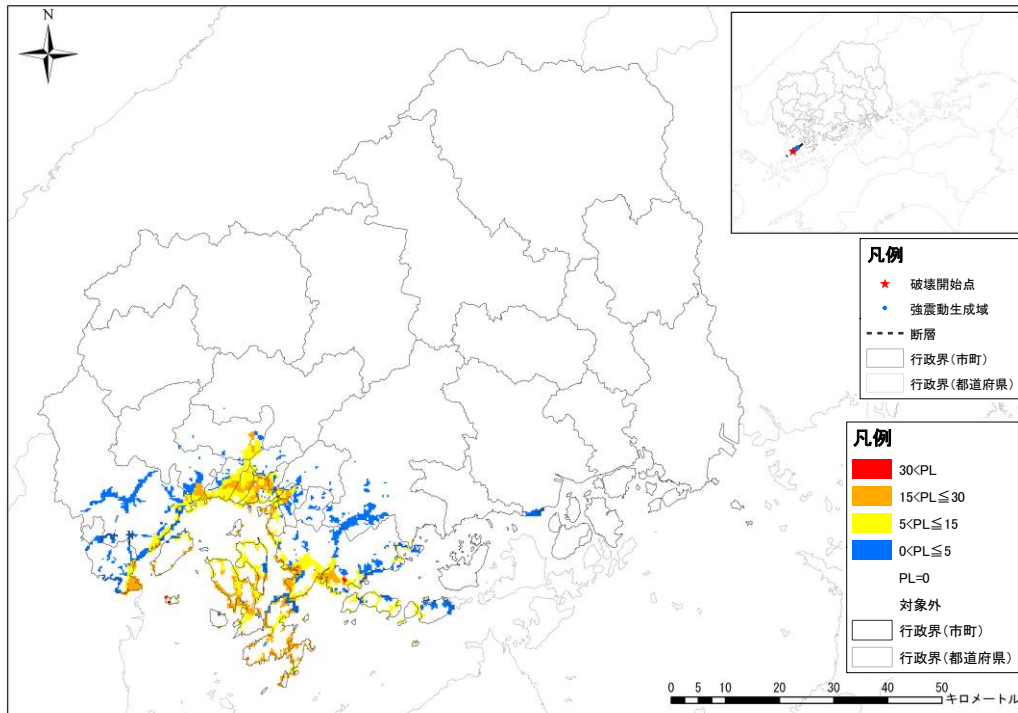


岩国断層帯の地震（東から破壊）

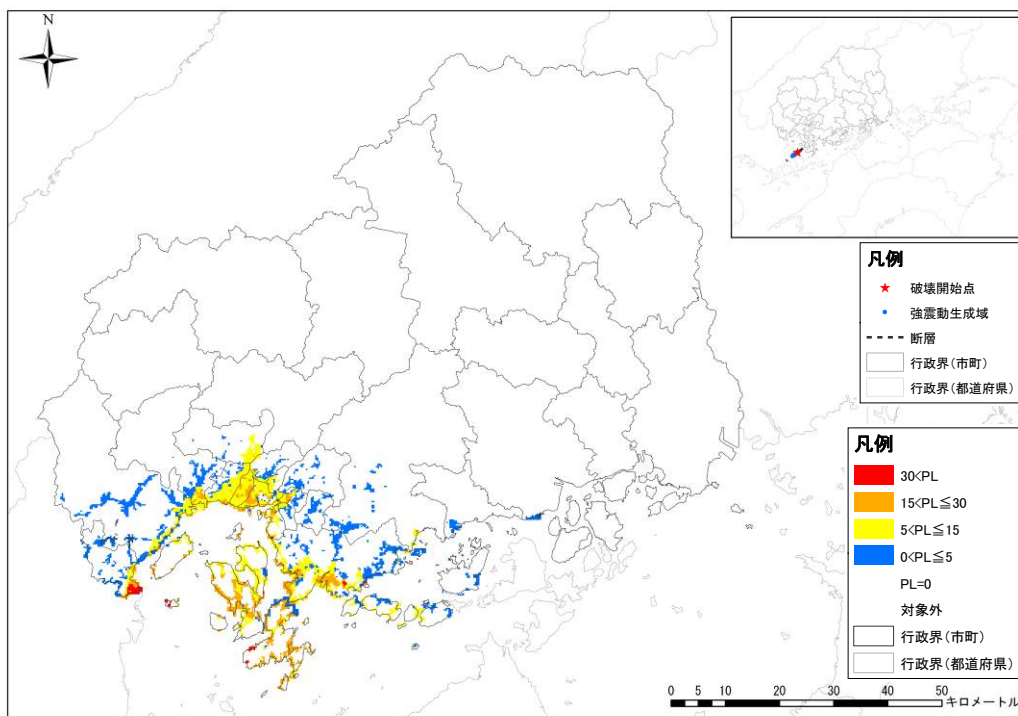


岩国断層帯の地震（西から破壊）

図Ⅲ. 1. 1-2(10) 液状化危険度分布 (PL 値)

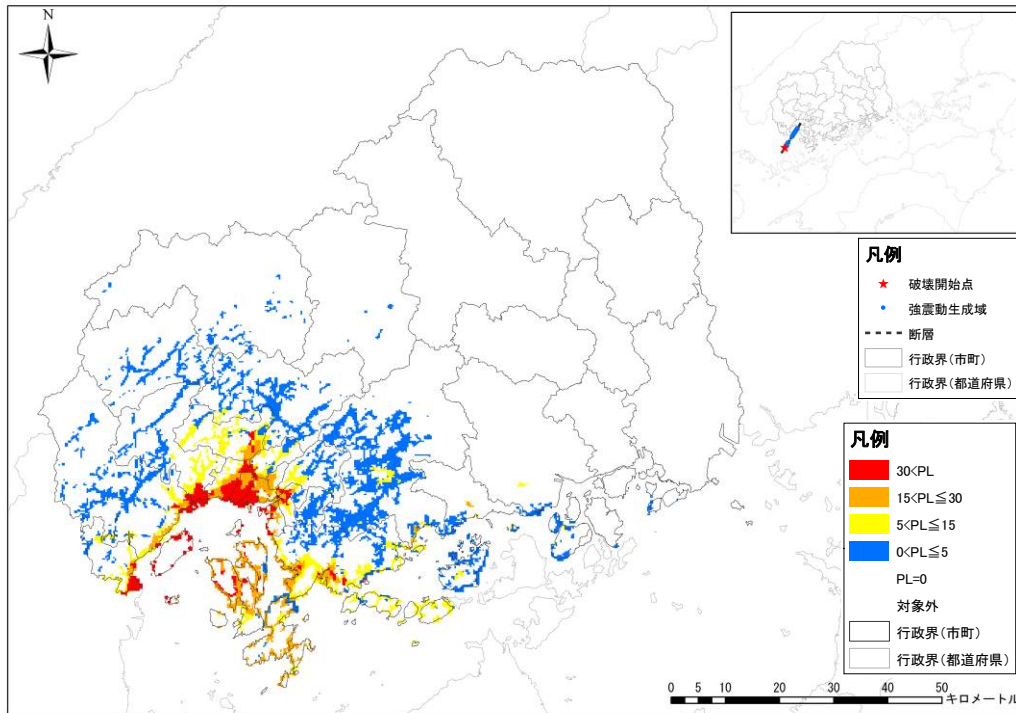


安芸灘断層群（主部）の地震（南から破壊）

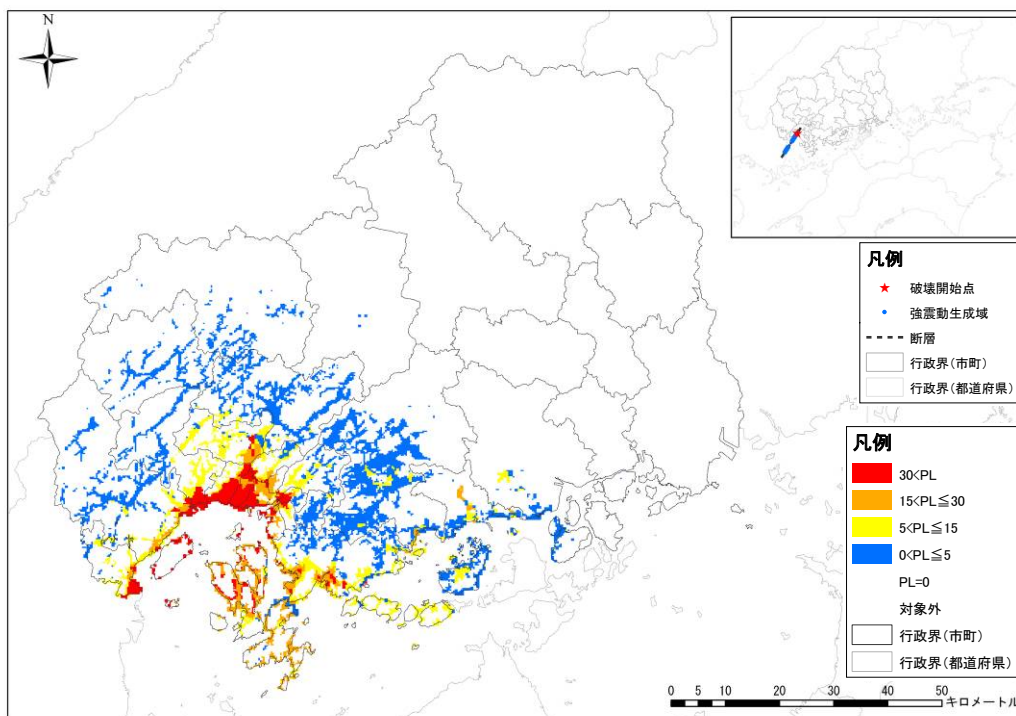


安芸灘断層群（主部）の地震（北から破壊）

図Ⅲ. 1. 1-2(11) 液状化危険度分布 (PL 値)

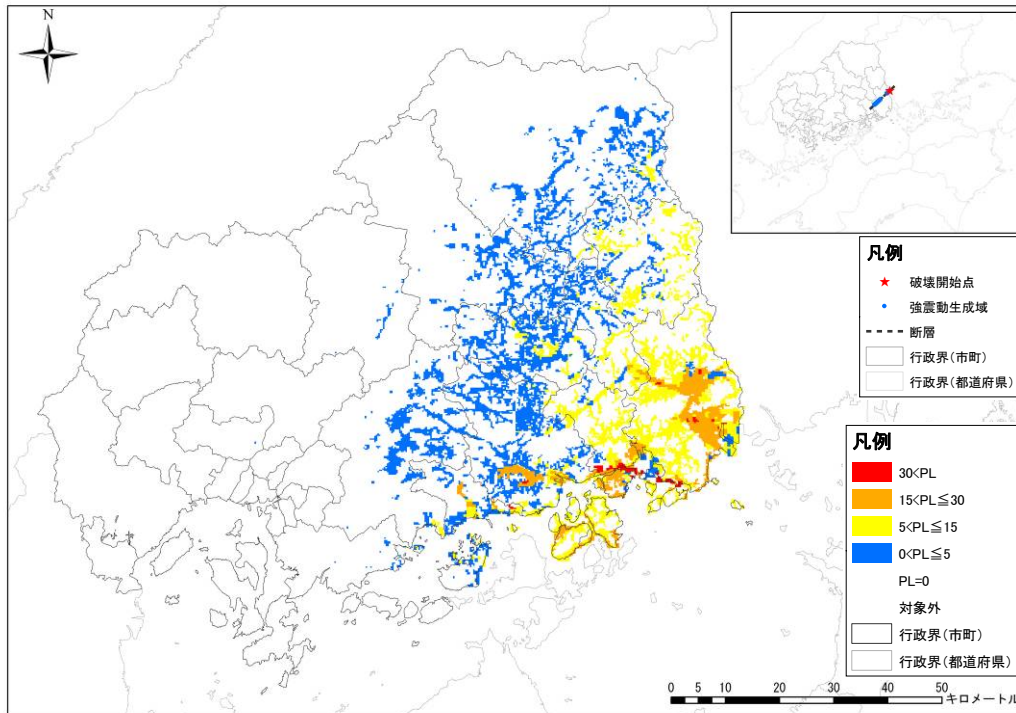


安芸灘断層群（広島湾－岩国沖断層帯）の地震（南から破壊）

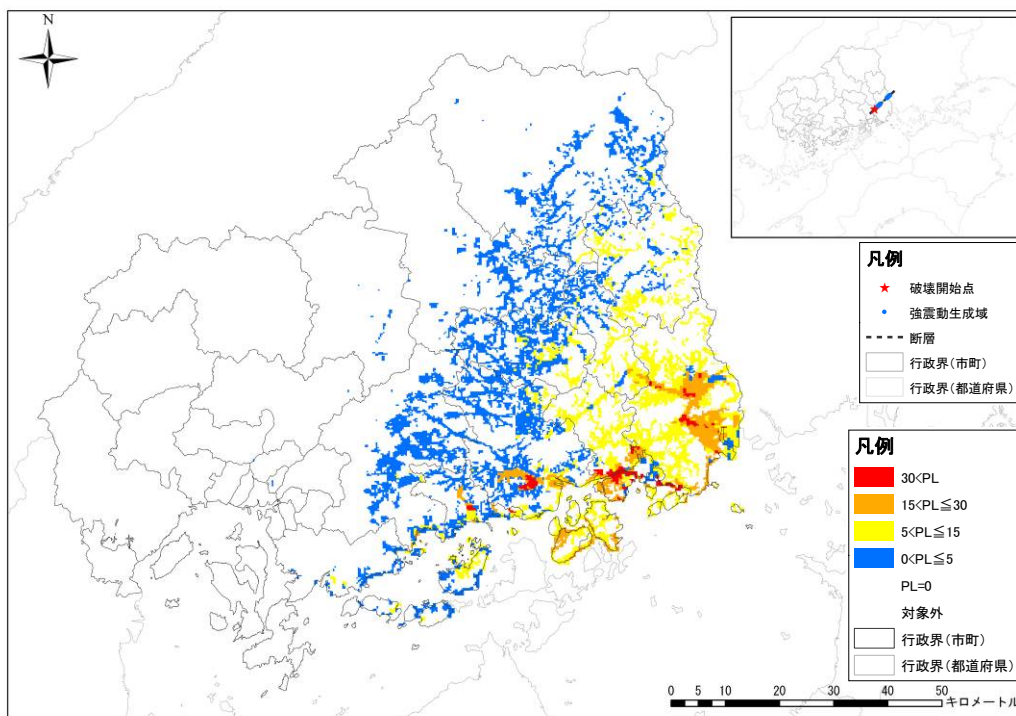


安芸灘断層群（広島湾－岩国沖断層帯）の地震（北から破壊）

図Ⅲ. 1. 1-2(12) 液状化危険度分布 (PL 値)

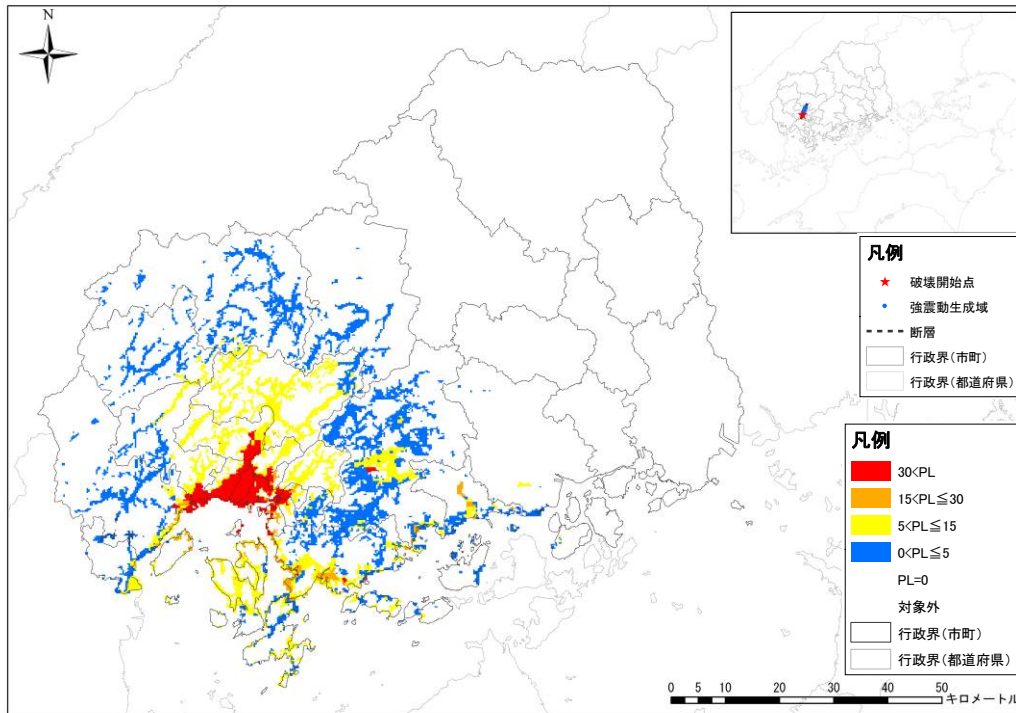


長者ヶ原断層－芳井断層の地震（東から破壊）

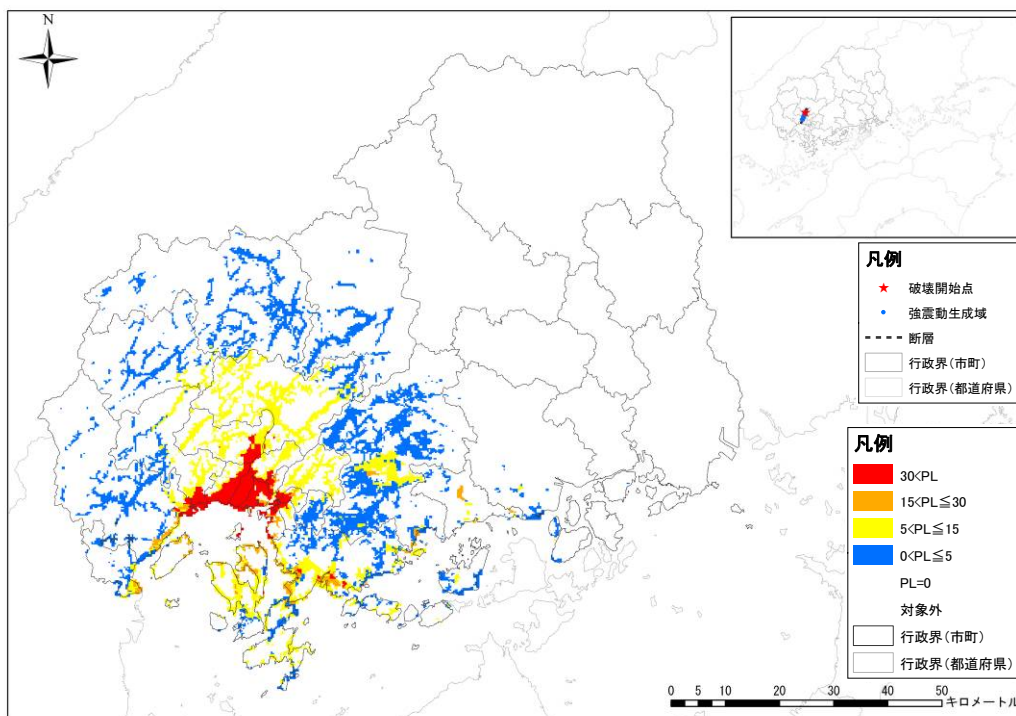


長者ヶ原断層－芳井断層の地震（西から破壊）

図Ⅲ. 1. 1-2(13) 液状化危険度分布 (PL 値)

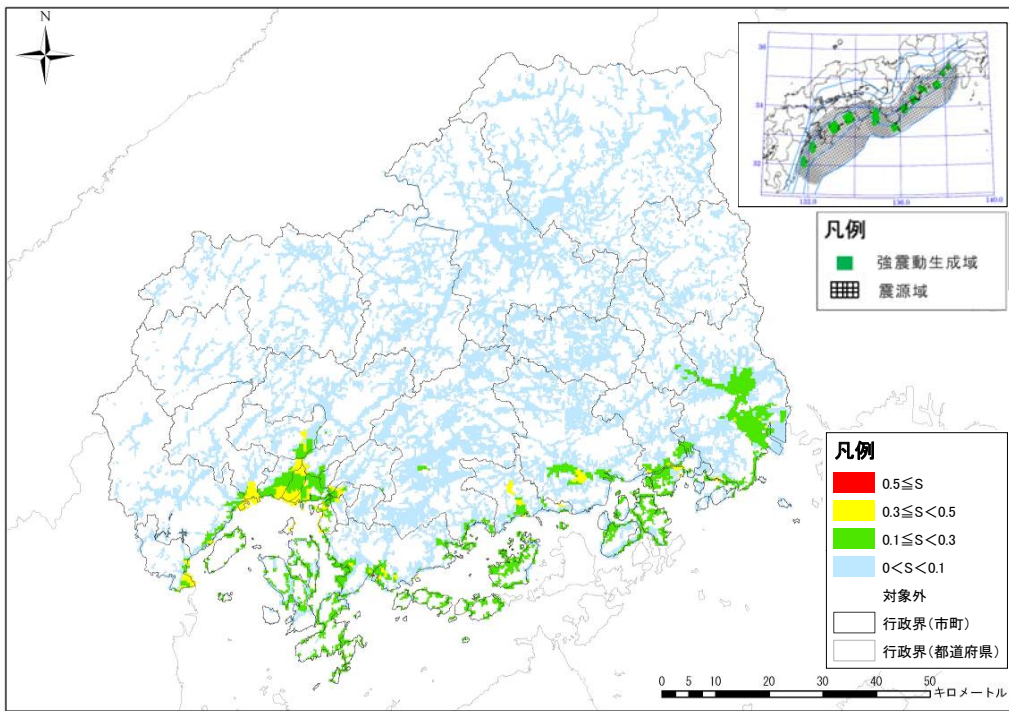
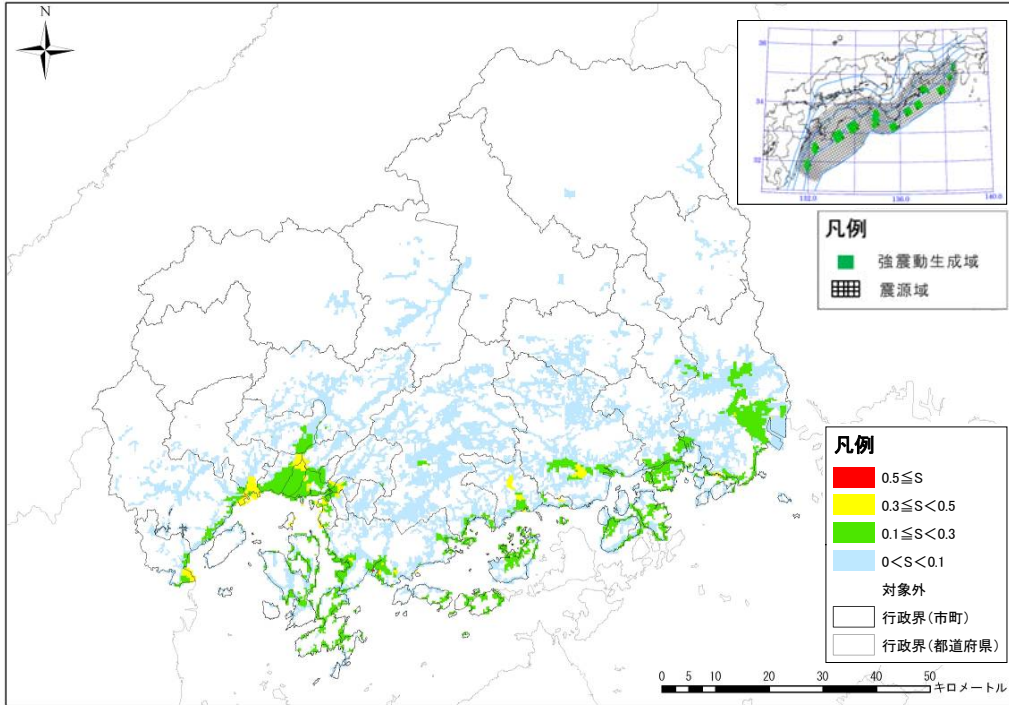


(参考) 己斐-広島西縁断層帯 (M6.9) の地震 (南から破壊)

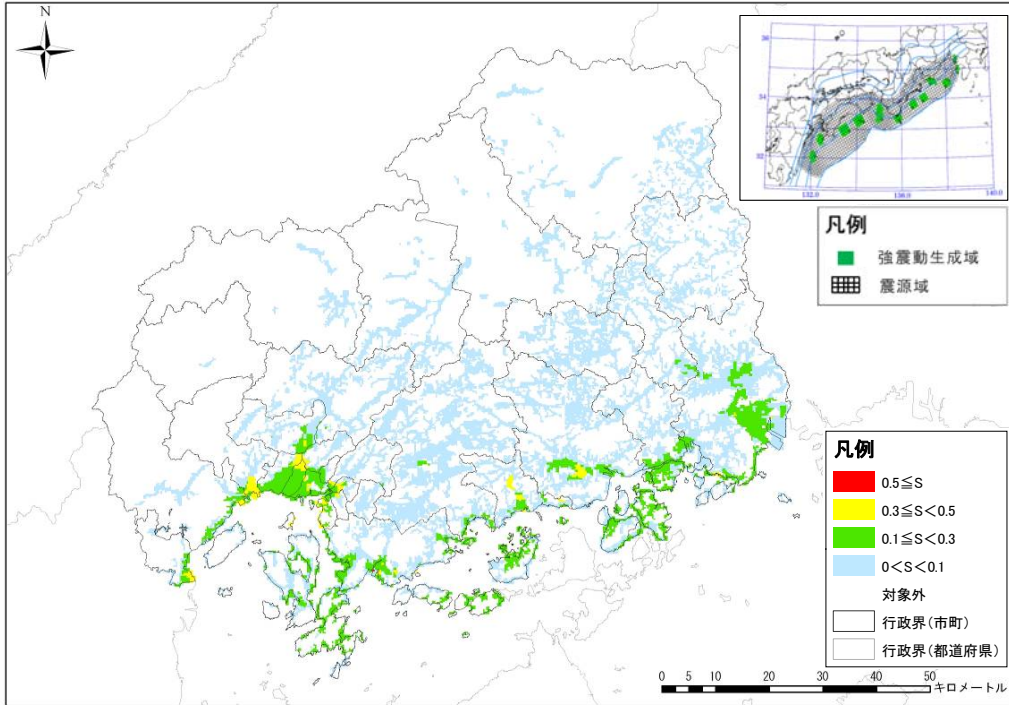


(参考) 己斐-広島西縁断層帯 (M6.9) の地震 (北から破壊)

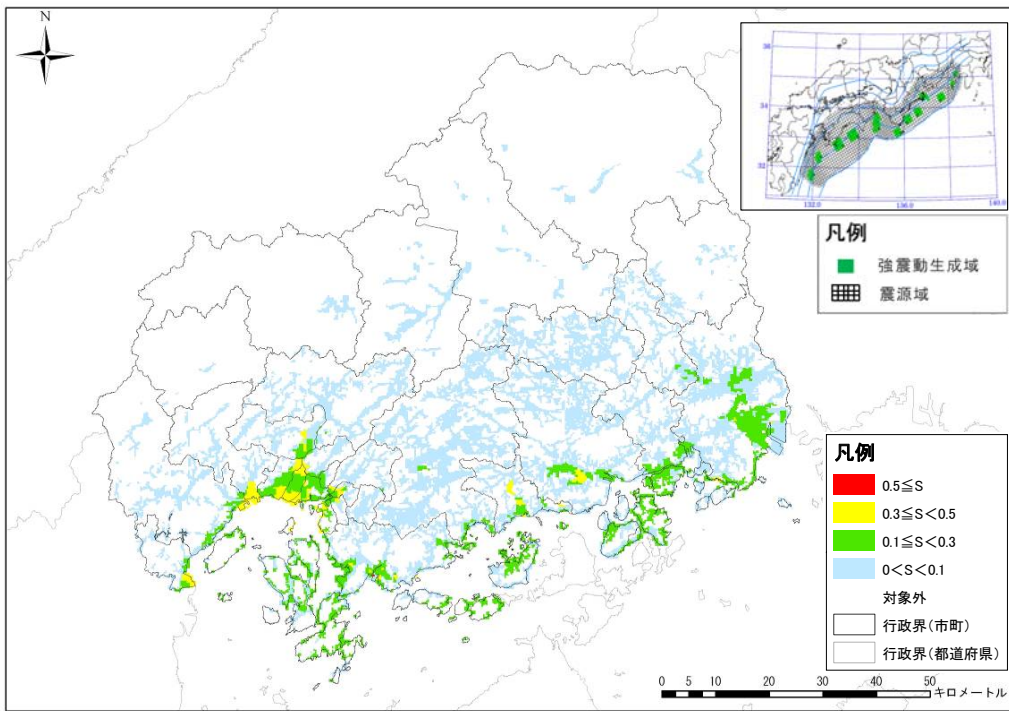
図Ⅲ. 1. 1-2(14) 液状化危険度分布 (PL 値)



図Ⅲ.1.1-3(1) 液状化危険度分布（沈下量）

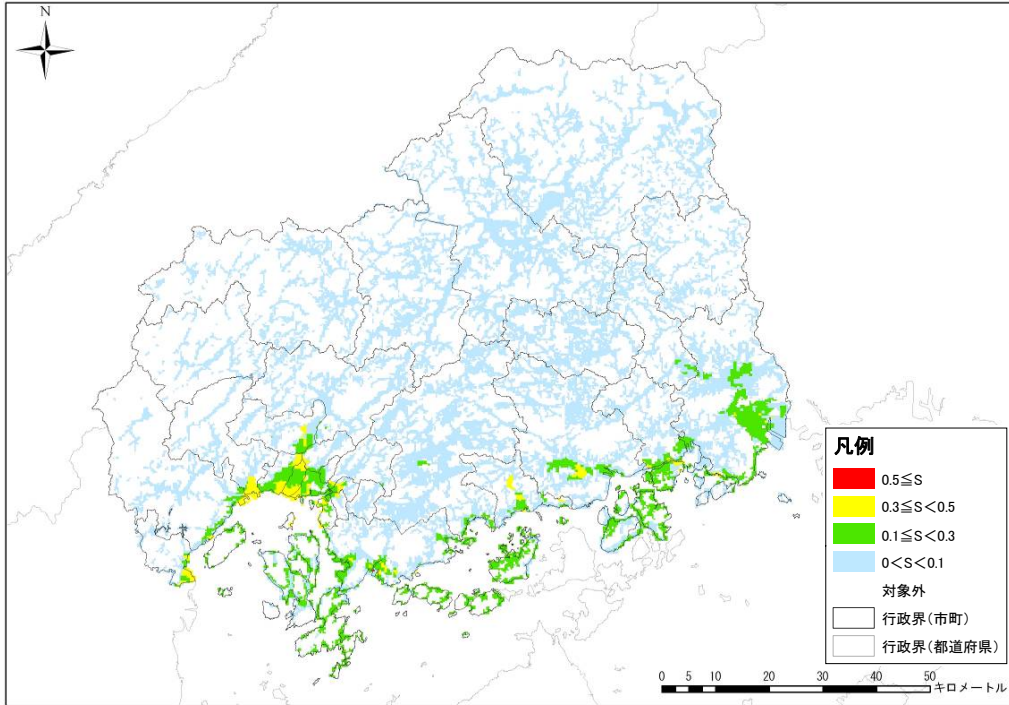


南海トラフ巨大地震（東側ケース）

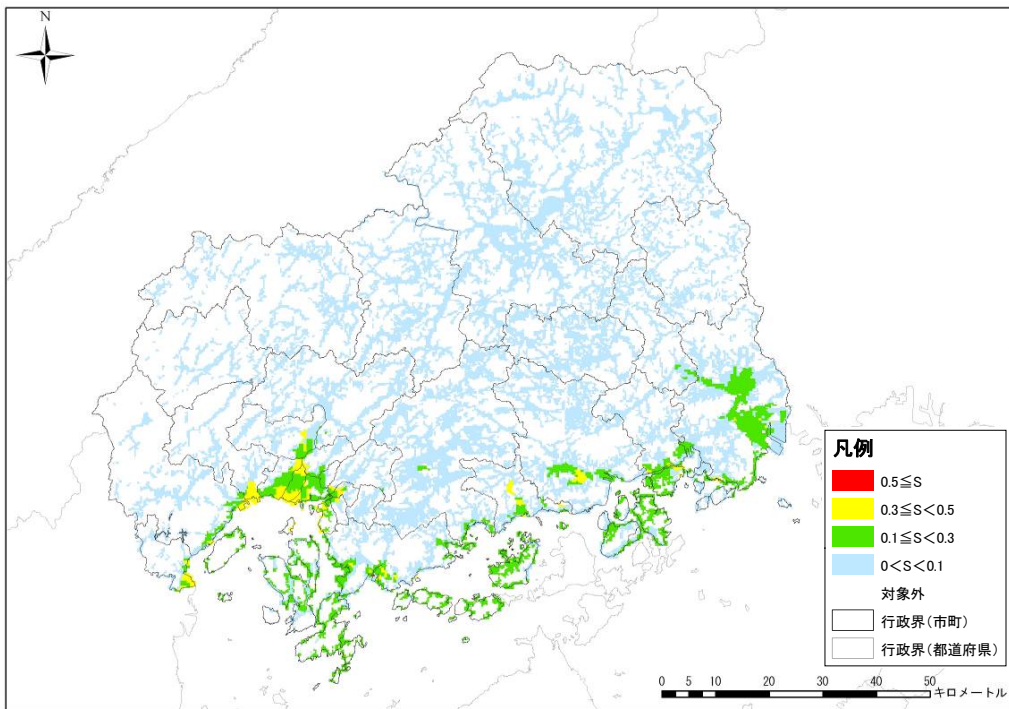


南海トラフ巨大地震（西側ケース）

図Ⅲ.1.1-3(2) 液状化危険度分布（沈下量）



南海トラフ巨大地震（経験的手法）



南海トラフ巨大地震（重ね合わせ）

図Ⅲ.1.1-3(3) 液状化危険度分布（沈下量）

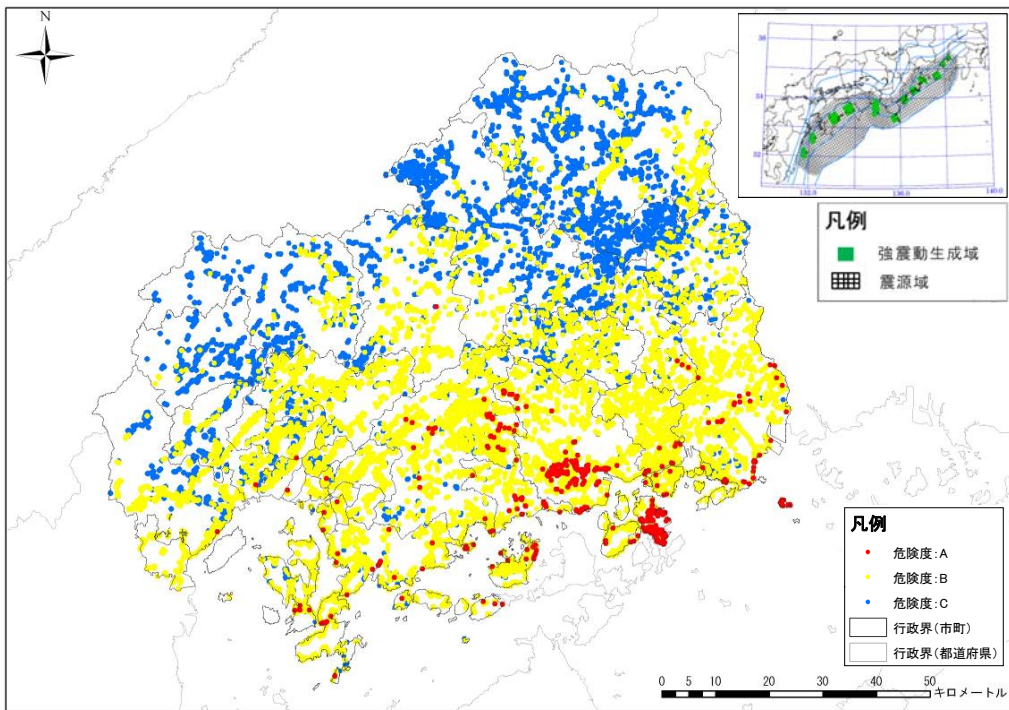
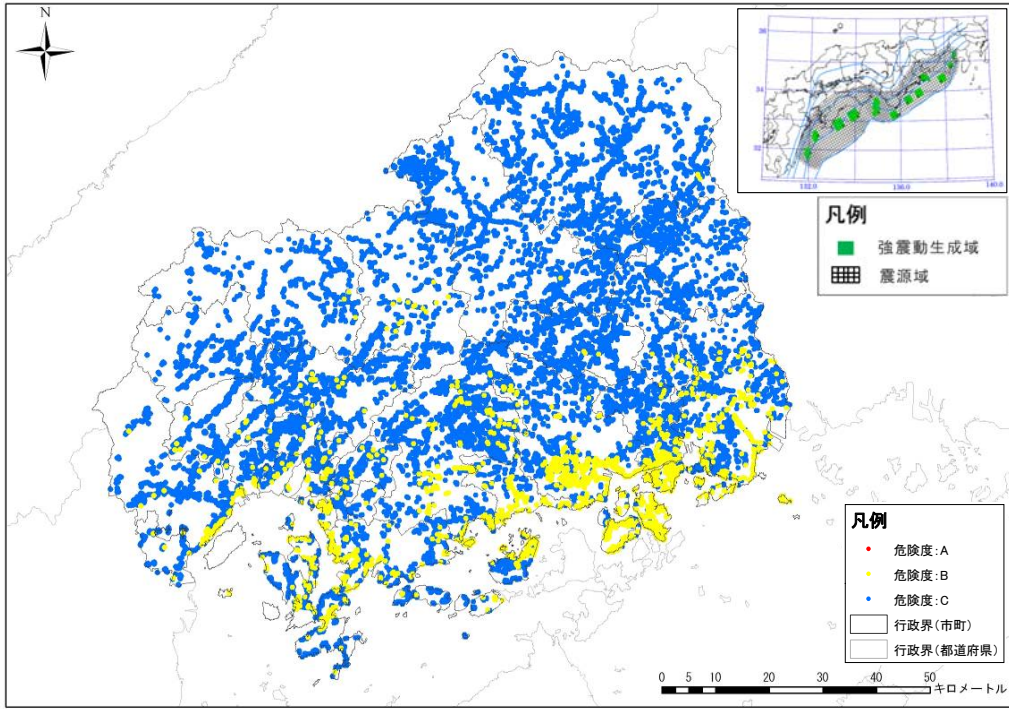
(3) 土砂災害

想定地震による土砂災害発生危険度分布を、危険箇所別に土砂災害危険度ランクで示す。表示した土砂災害危険箇所等は、急傾斜崩壊危険箇所、地すべり危険箇所、山腹崩壊危険地区である。

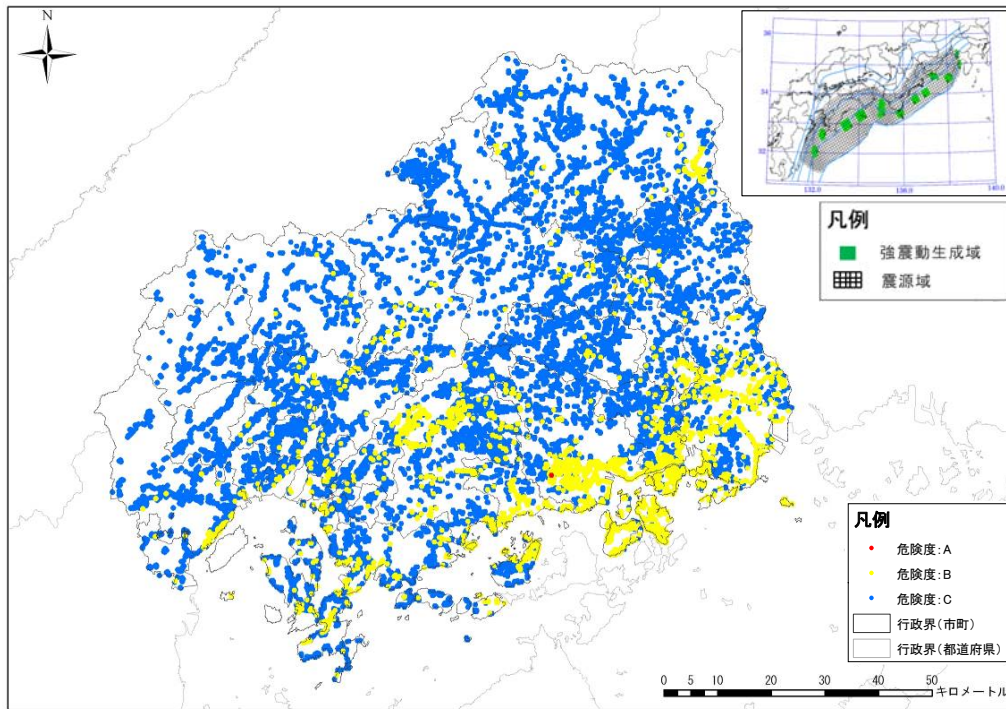
南海トラフ巨大地震については、内閣府の「南海トラフの巨大地震モデル検討会」が示した「基本ケース」、「陸側ケース」、「東側ケース」、「西側ケース」の4つの強震断層モデルと、これを補完するための「経験的手法」及びこれらの震度の最大値の「重ね合わせ」の各ケースの土砂災害危険度ランクを示す。

南海トラフ巨大地震以外の地震では、想定断層の両端に破壊開始点を設定した2ケースの土砂災害発生危険度を示す。

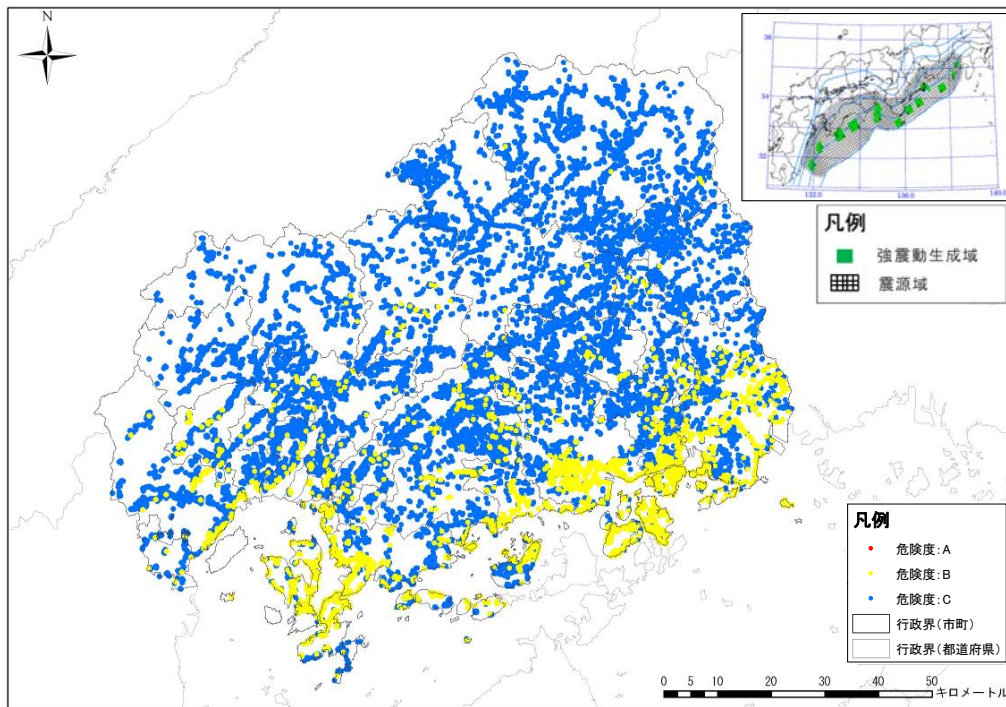
ア 急傾斜地崩壊危険箇所



図Ⅲ. 1. 1-4(1) 急傾斜地崩壊危険箇所の危険度ランク

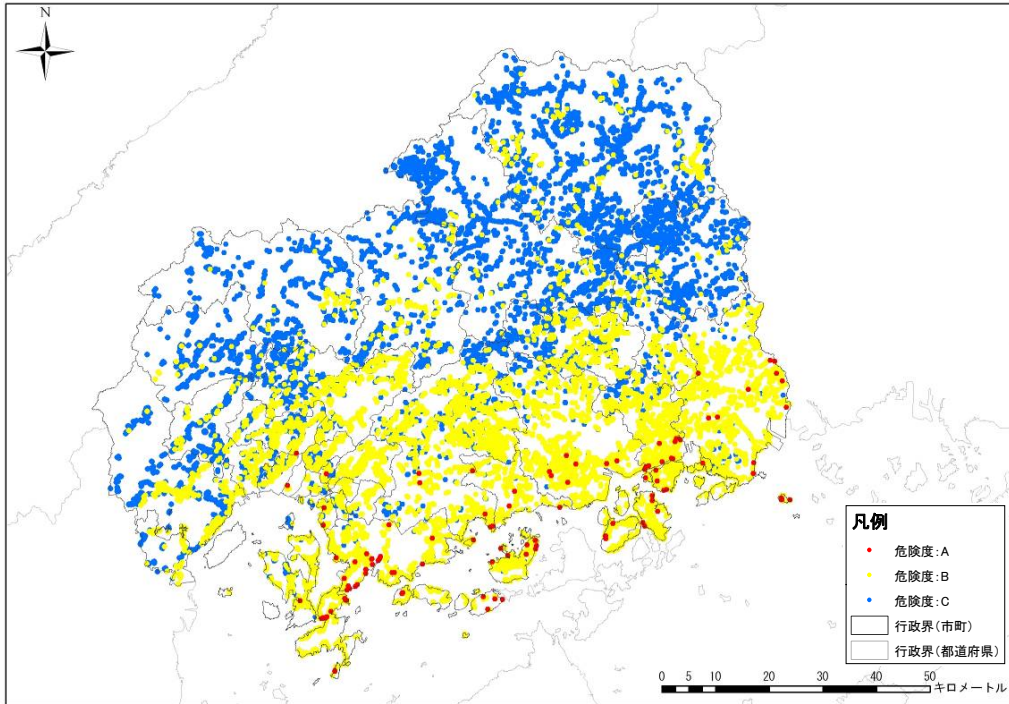


南海トラフ巨大地震（東側ケース）

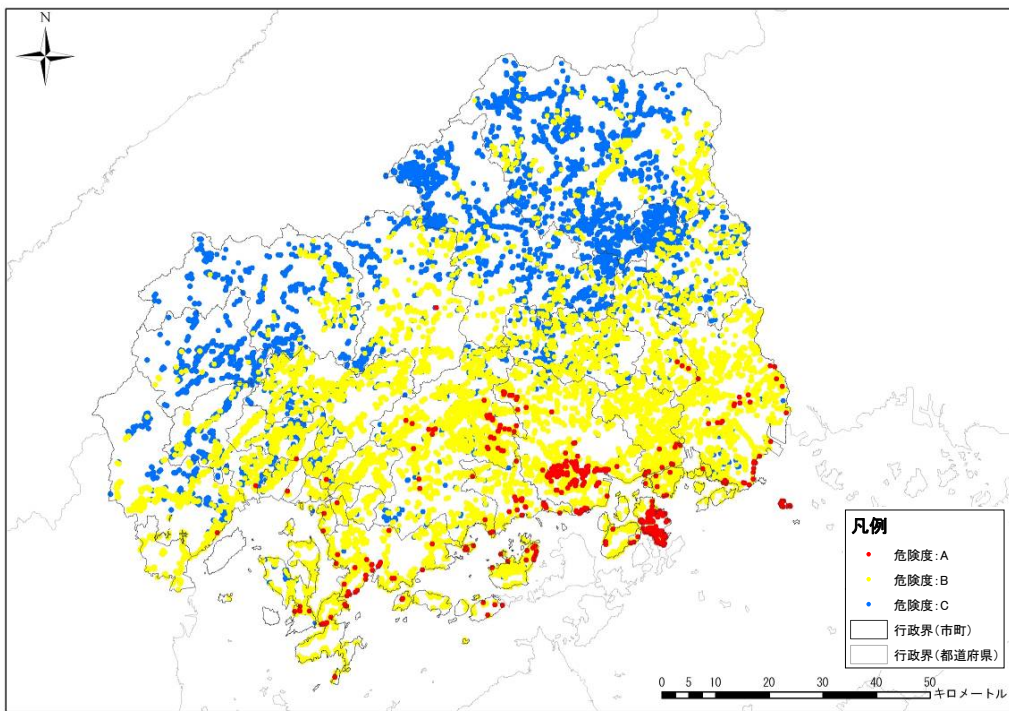


南海トラフ巨大地震（西側ケース）

図Ⅲ. 1. 1-4(2) 急傾斜地崩壊危険箇所の危険度ランク

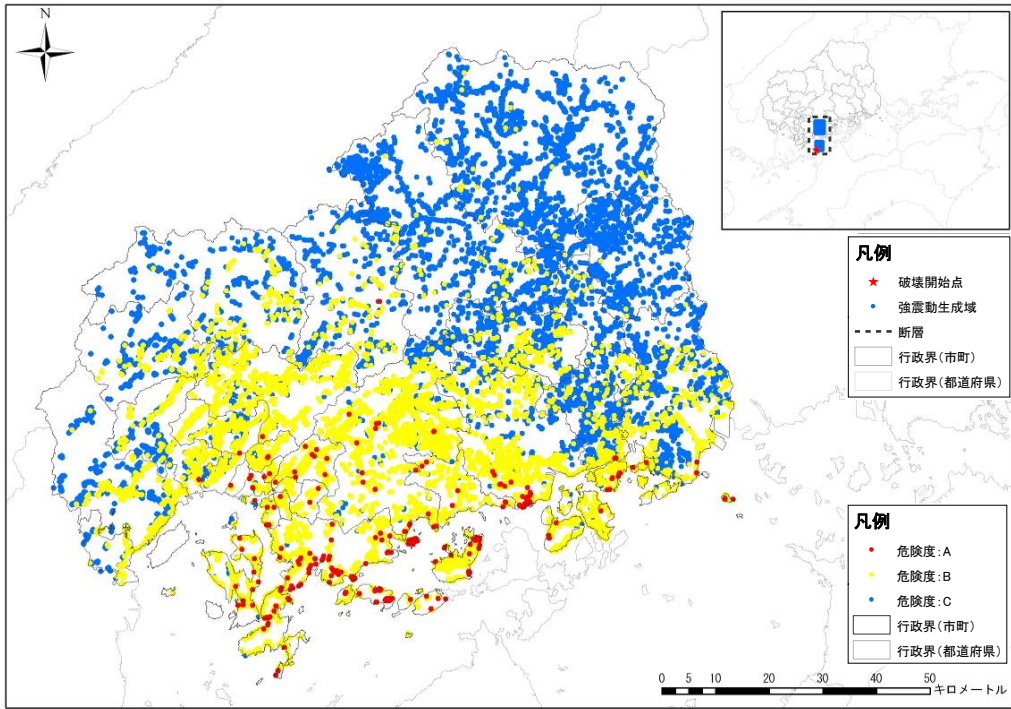


南海トラフ巨大地震（経験的手法）

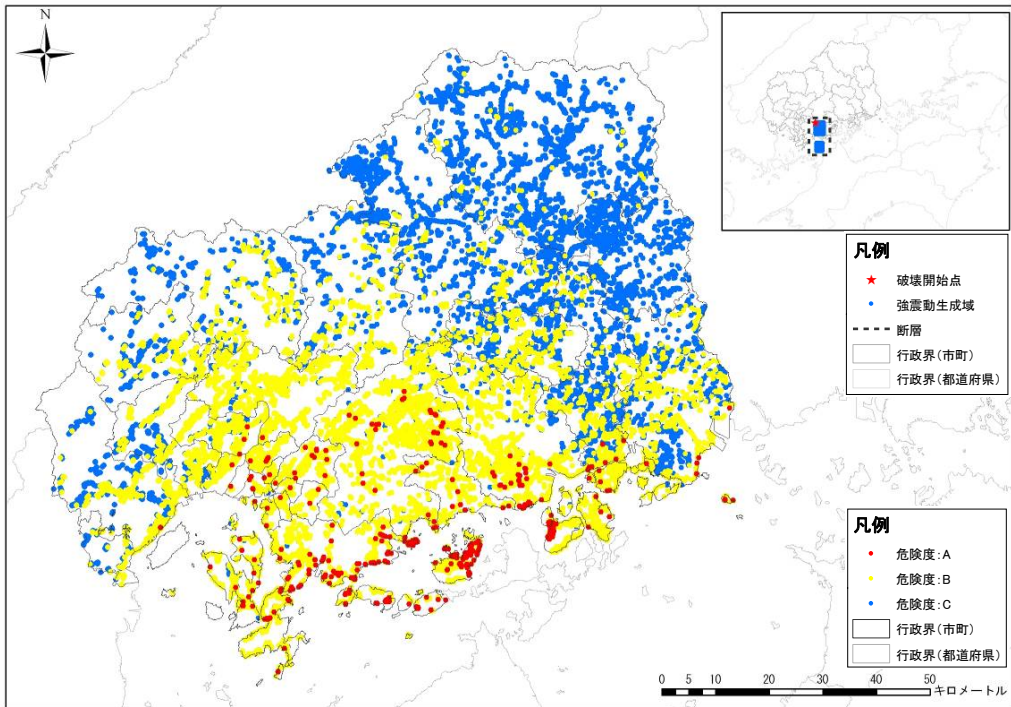


南海トラフ巨大地震（重ね合わせ）

図Ⅲ.1.1-4(3) 急傾斜地崩壊危険箇所の危険度ランク

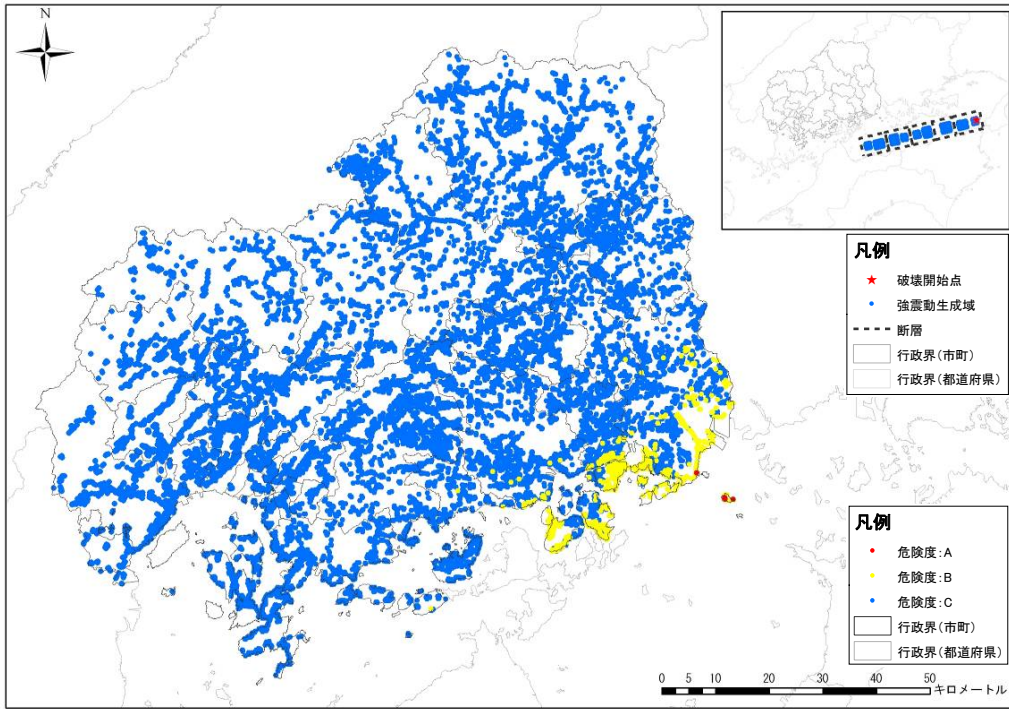


安芸灘～伊予灘～豊後水道の地震（南から破壊）

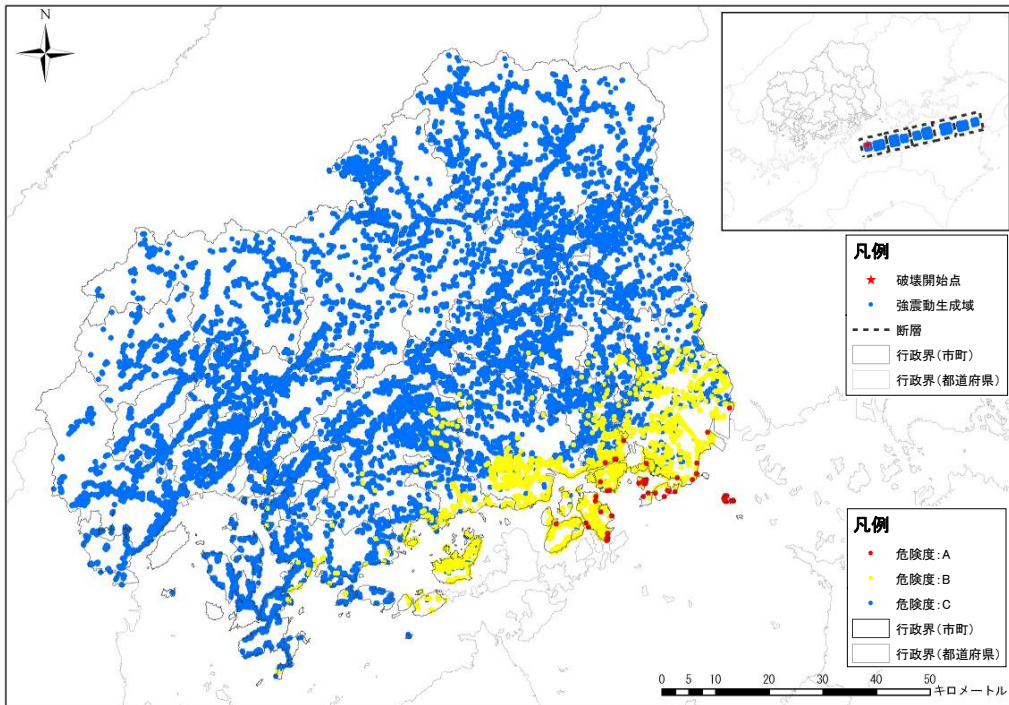


安芸灘～伊予灘～豊後水道の地震（北から破壊）

図Ⅲ. 1. 1-4(4) 急傾斜地崩壊危険箇所の危険度ランク

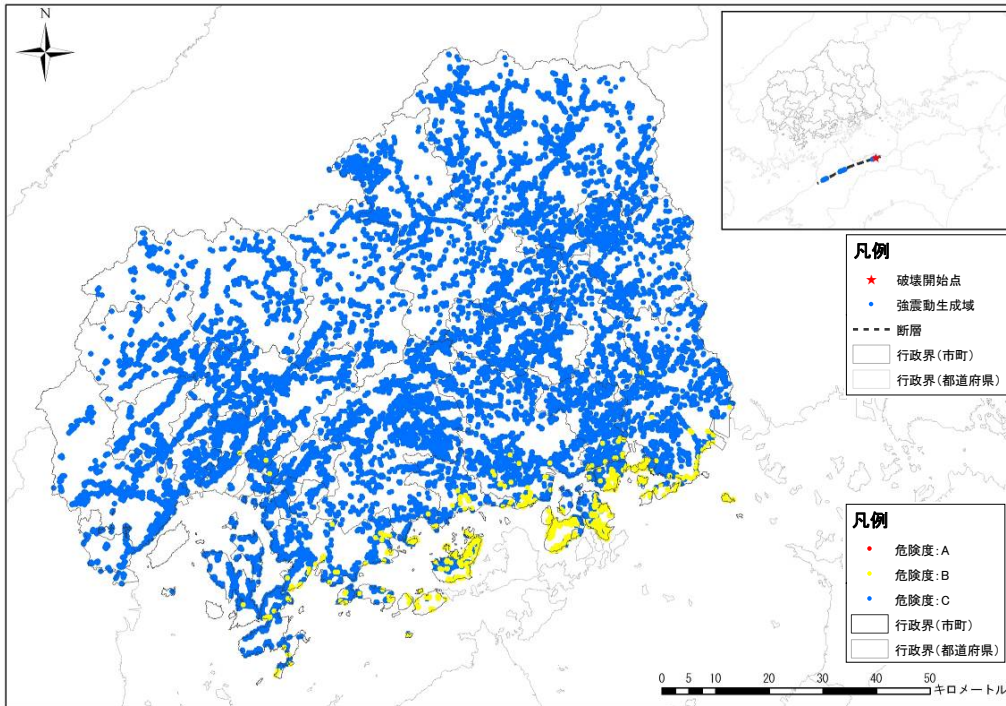


讃岐山脈南縁－石鎚山脈北縁東部の地震（東から破壊）

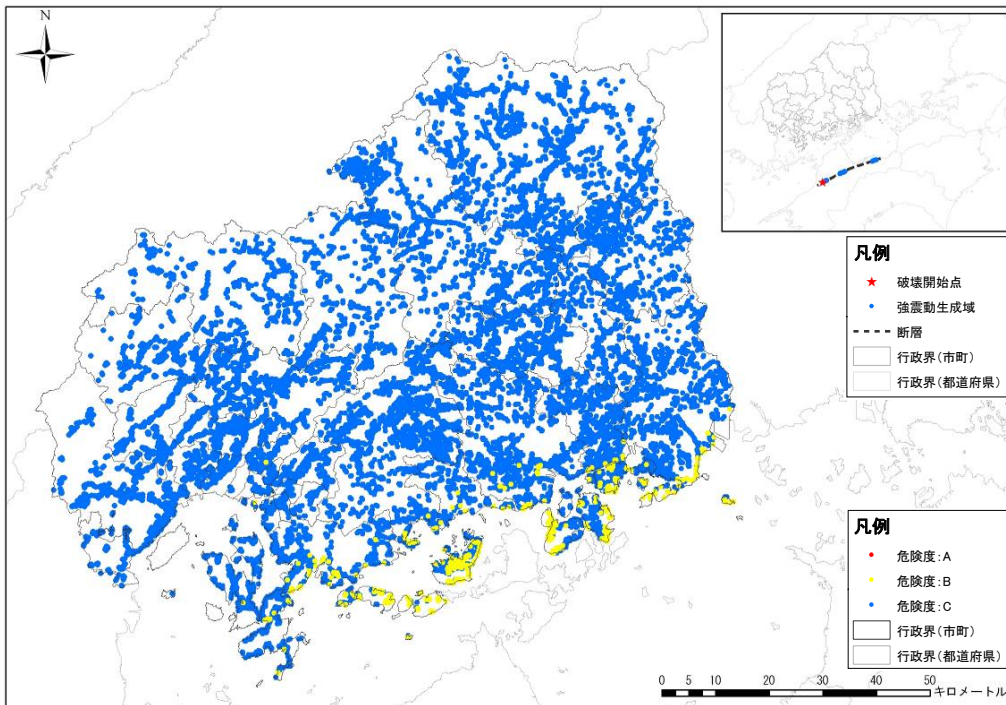


讃岐山脈南縁－石鎚山脈北縁東部の地震（西から破壊）

図Ⅲ. 1. 1-4(5) 急傾斜地崩壊危険箇所の危険度ランク

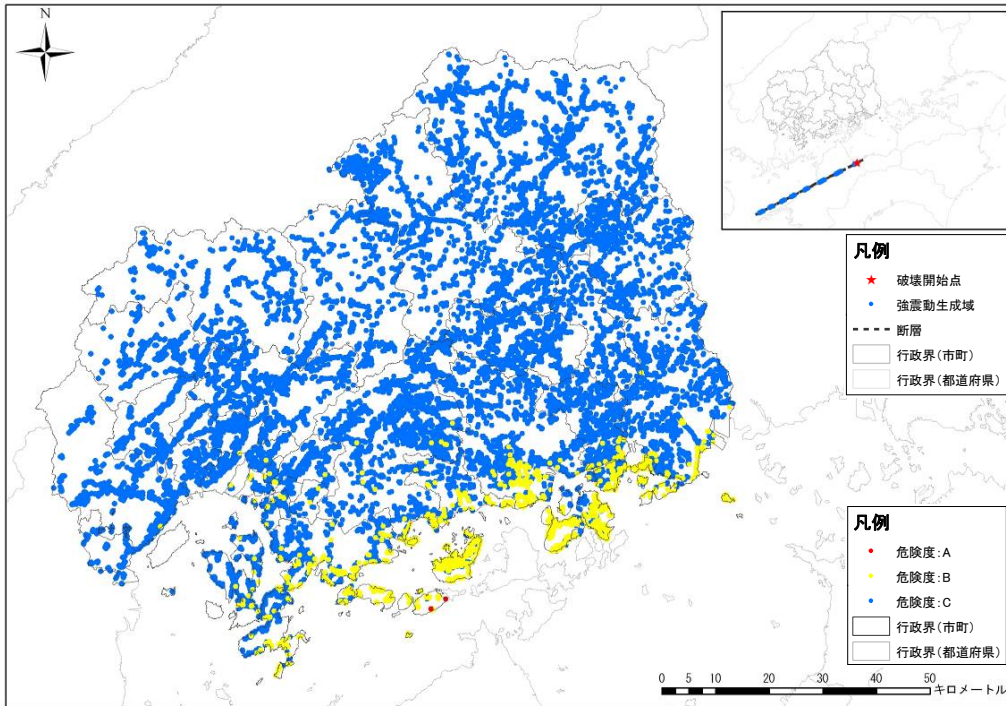


石鎚山脈北縁の地震（東から破壊）

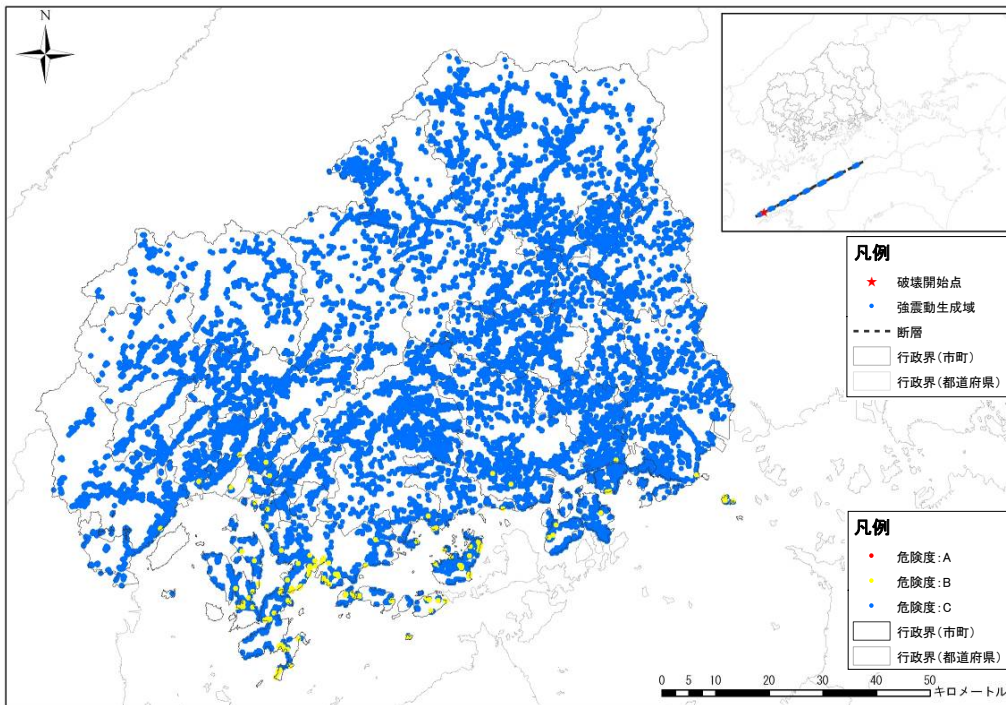


石鎚山脈北縁の地震（西から破壊）

図Ⅲ. 1. 1-4(6) 急傾斜地崩壊危険箇所の危険度ランク

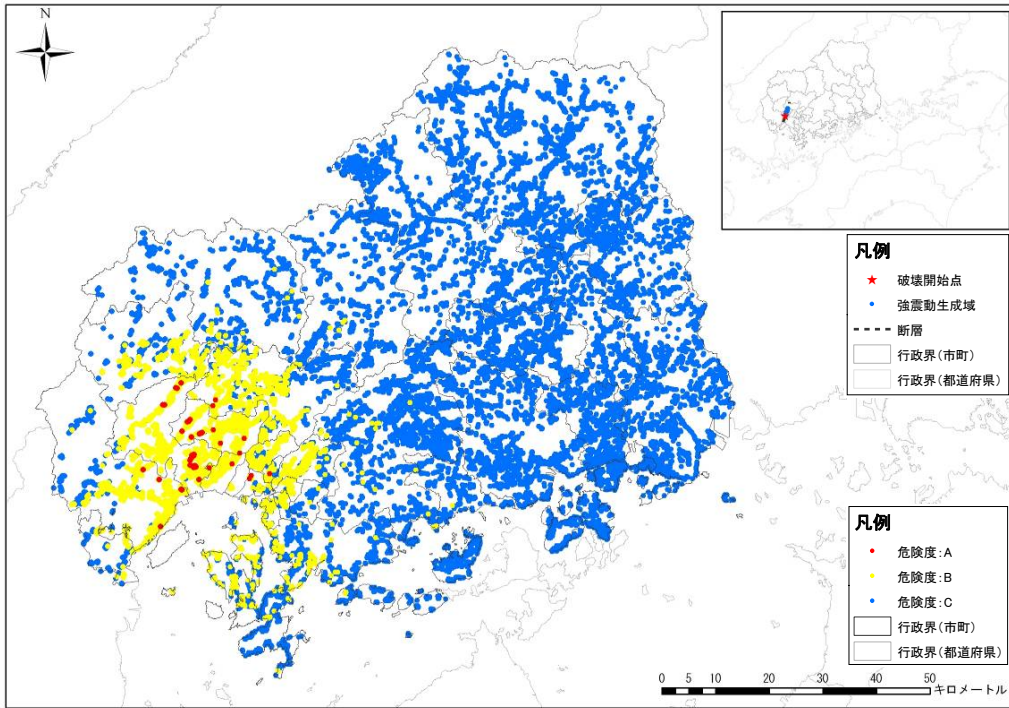


石鎚山脈北縁西部－伊予灘の地震（東から破壊）

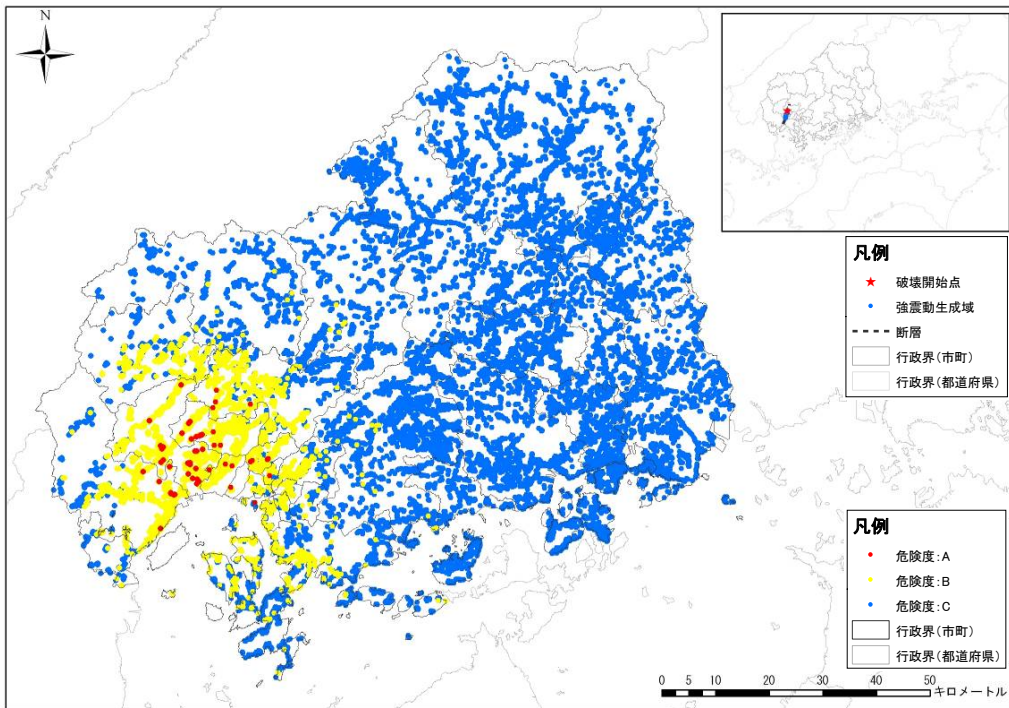


石鎚山脈北縁西部－伊予灘の地震（西から破壊）

図Ⅲ. 1. 1-4(7) 急傾斜地崩壊危険箇所の危険度ランク

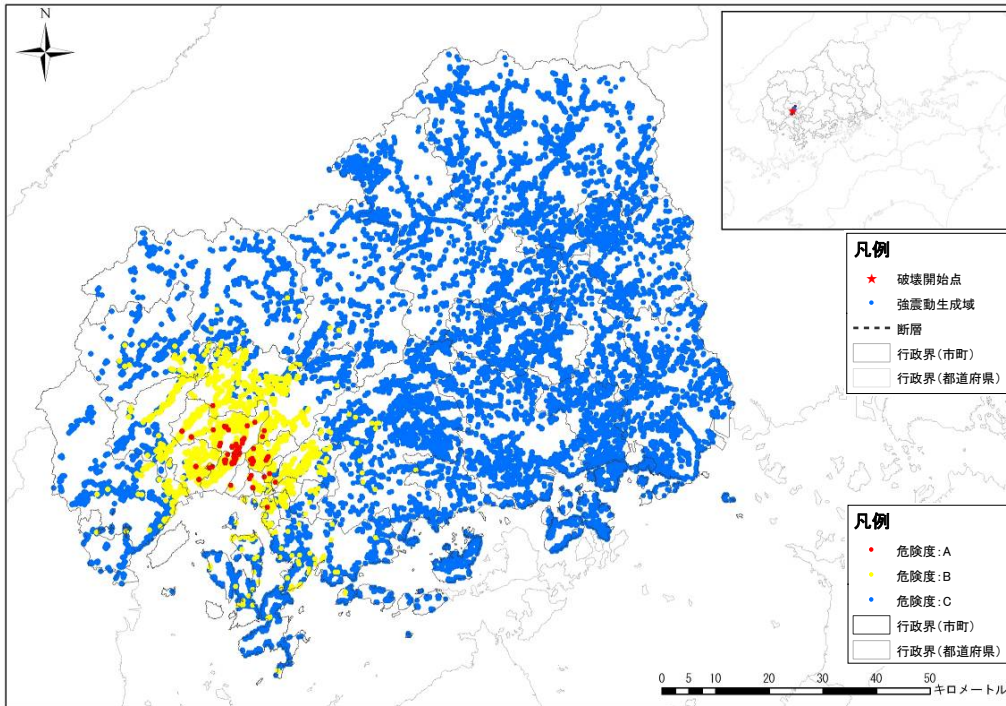


五日市断層の地震（南から破壊）

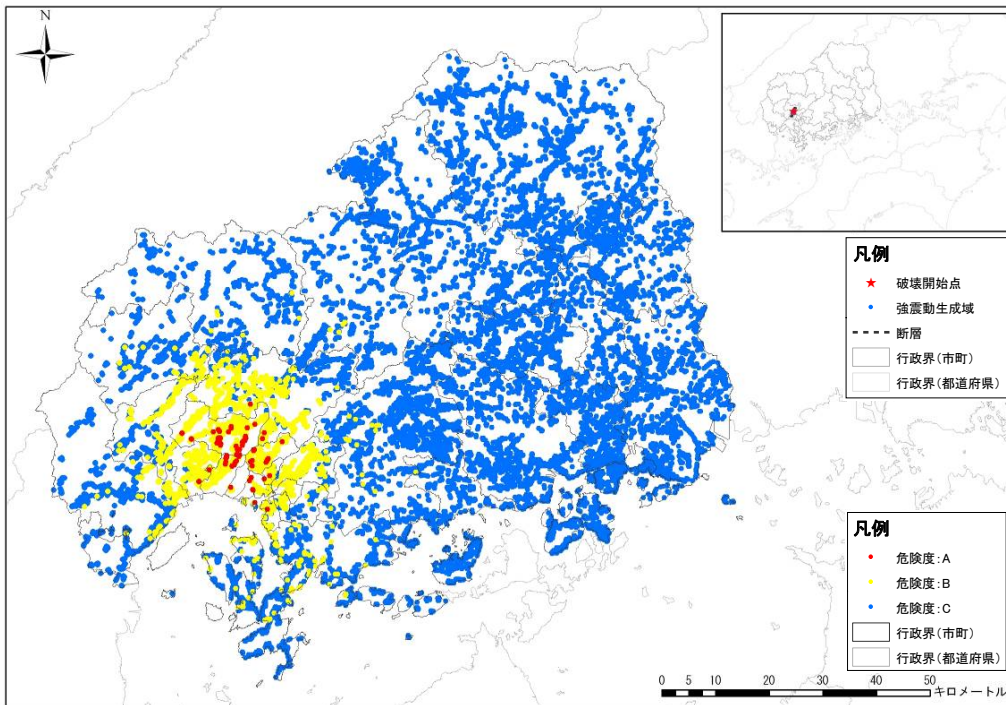


五日市断層の地震（北から破壊）

図Ⅲ. 1. 1-4(8) 急傾斜地崩壊危険箇所の危険度ランク

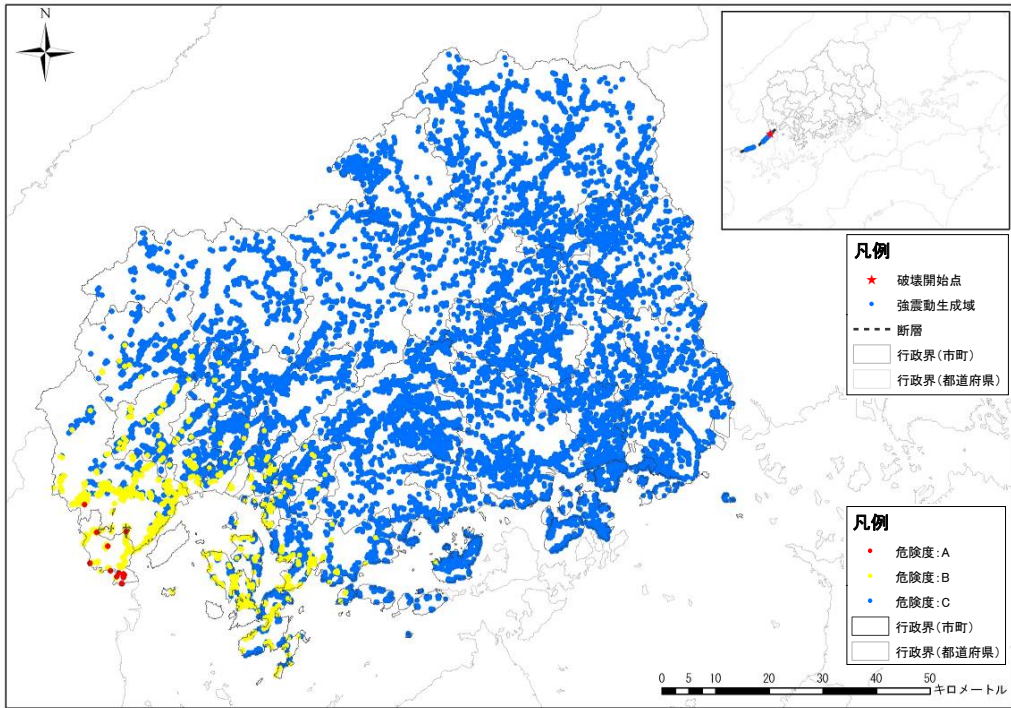


己斐－広島西縁断層帯 (M6.5) の地震 (南から破壊)

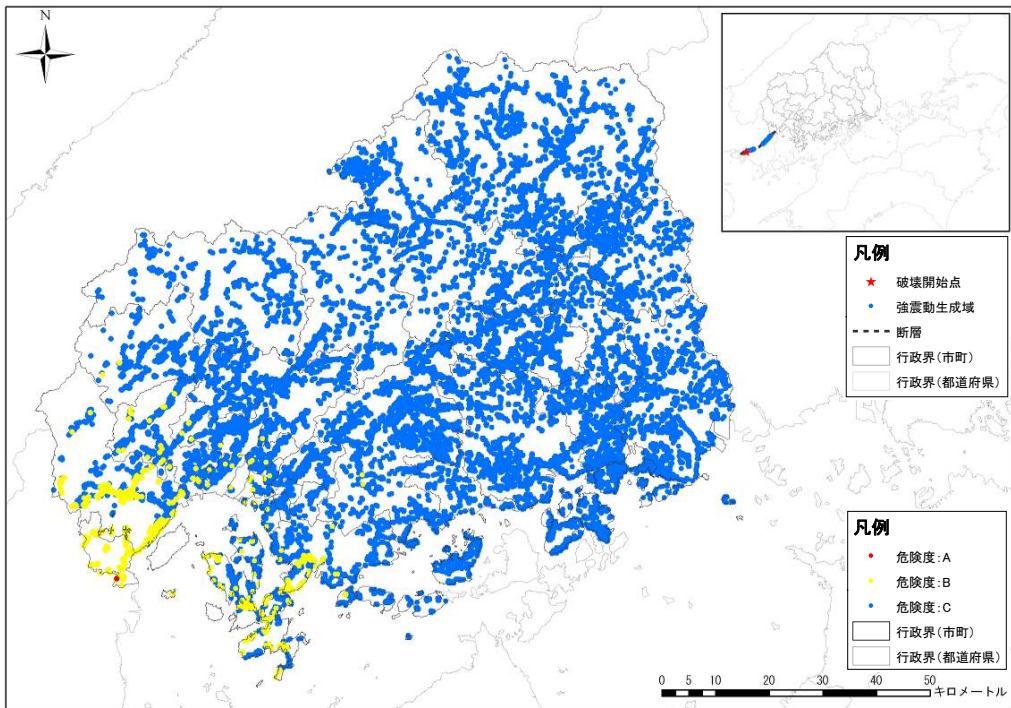


己斐－広島西縁断層帯 (M6.5) の地震 (北から破壊)

図Ⅲ. 1. 1-4(9) 急傾斜地崩壊危険箇所の危険度ランク

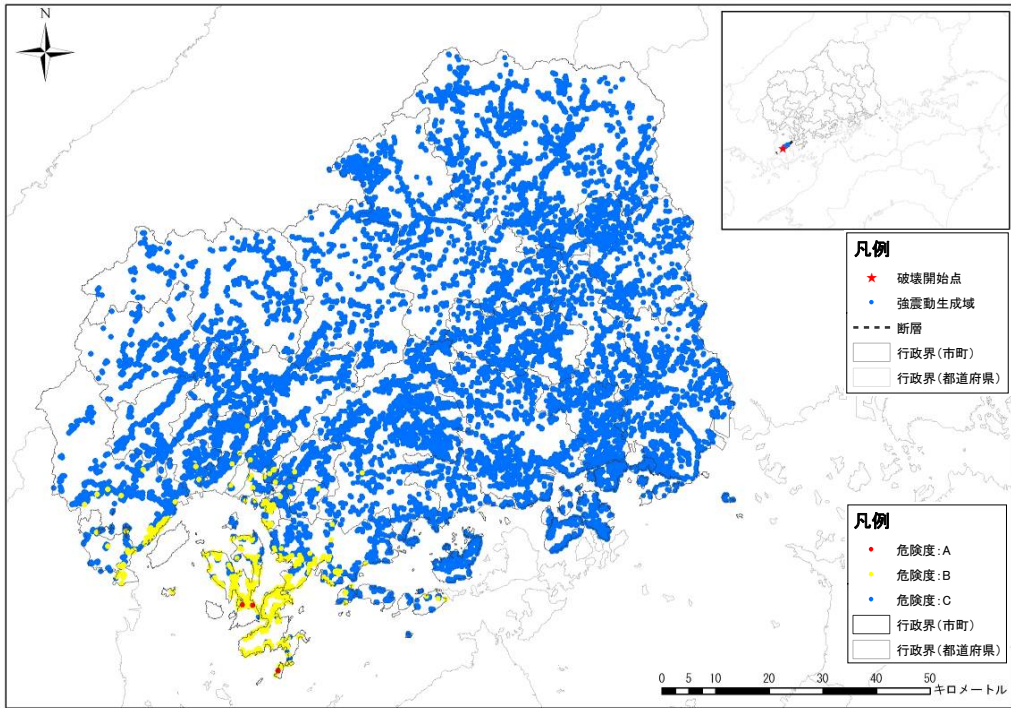


岩国断層帯の地震（東から破壊）

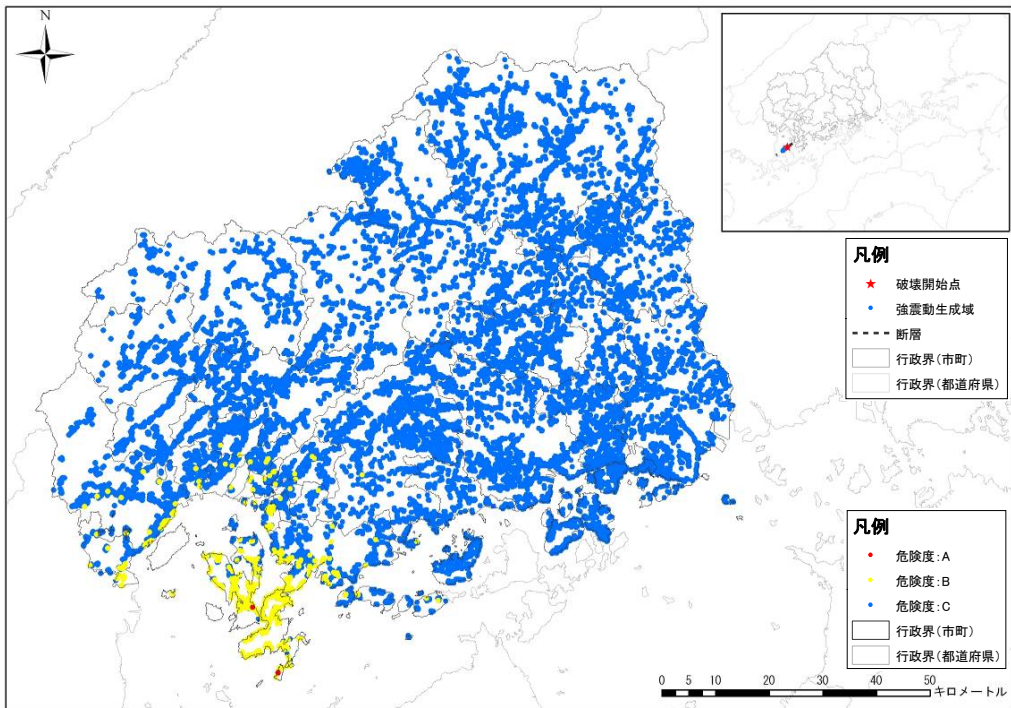


岩国断層帯の地震（西から破壊）

図Ⅲ. 1. 1-4(10) 急傾斜地崩壊危険箇所の危険度ランク

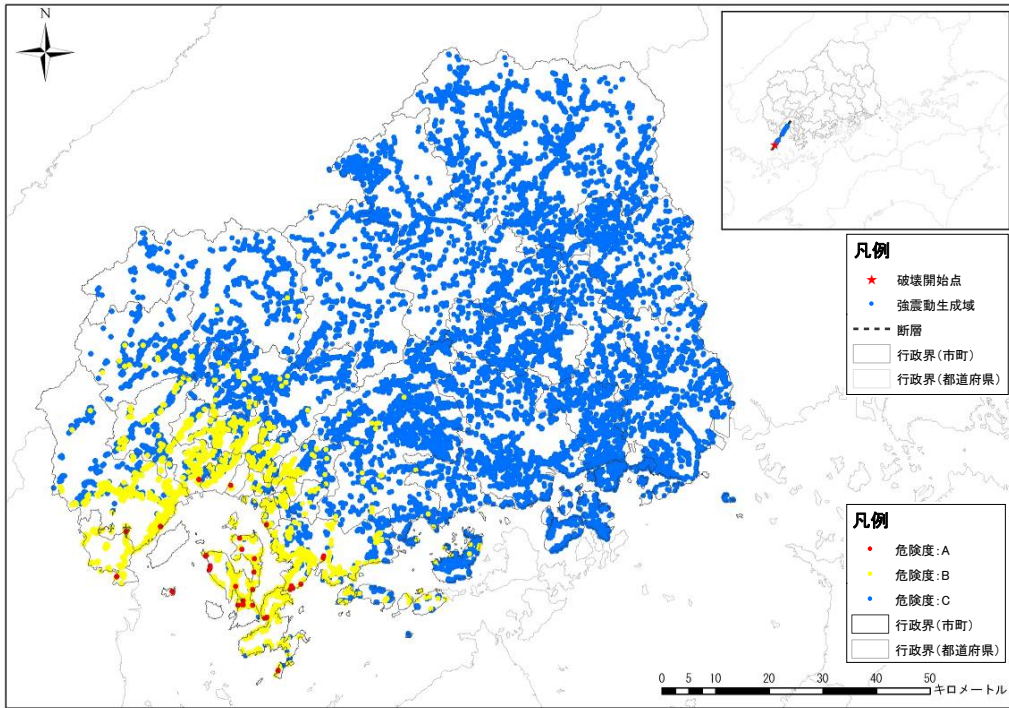


安芸灘断層群（主部）の地震（南から破壊）

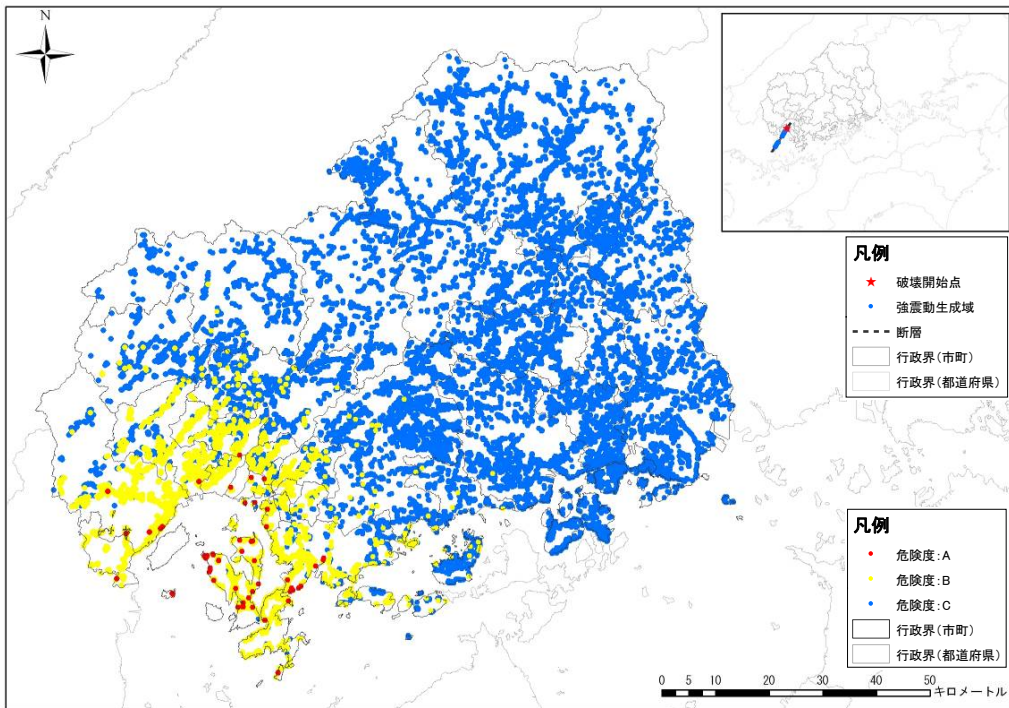


安芸灘断層群（主部）の地震（北から破壊）

図Ⅲ. 1. 1-4(11) 急傾斜地崩壊危険箇所の危険度ランク

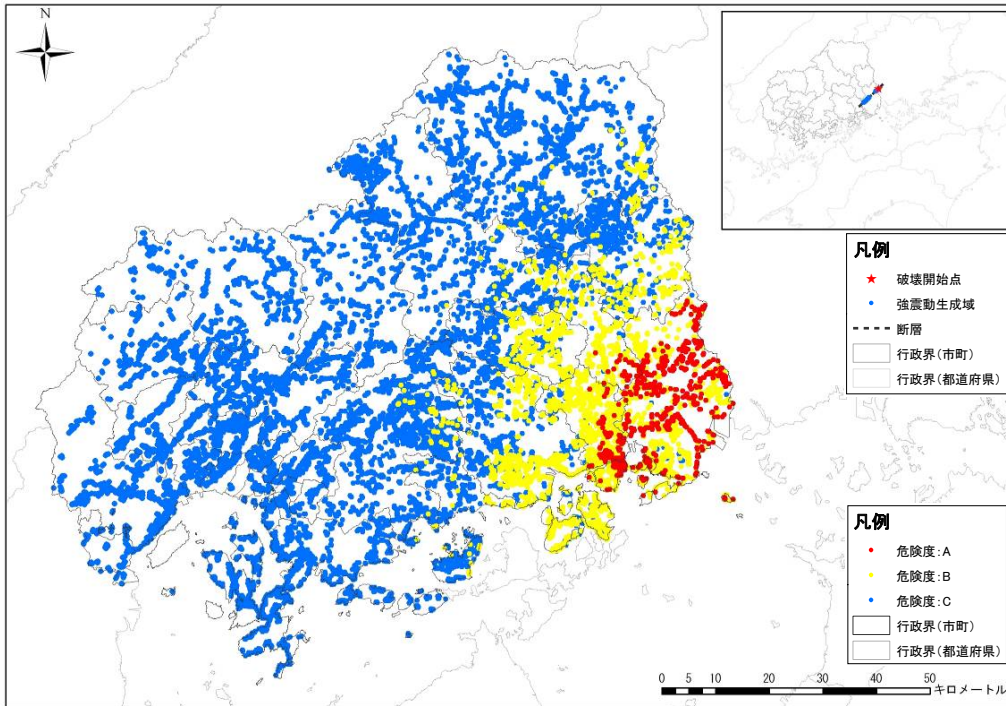


安芸灘断層群（広島湾－岩国沖断層帯）の地震（南から破壊）

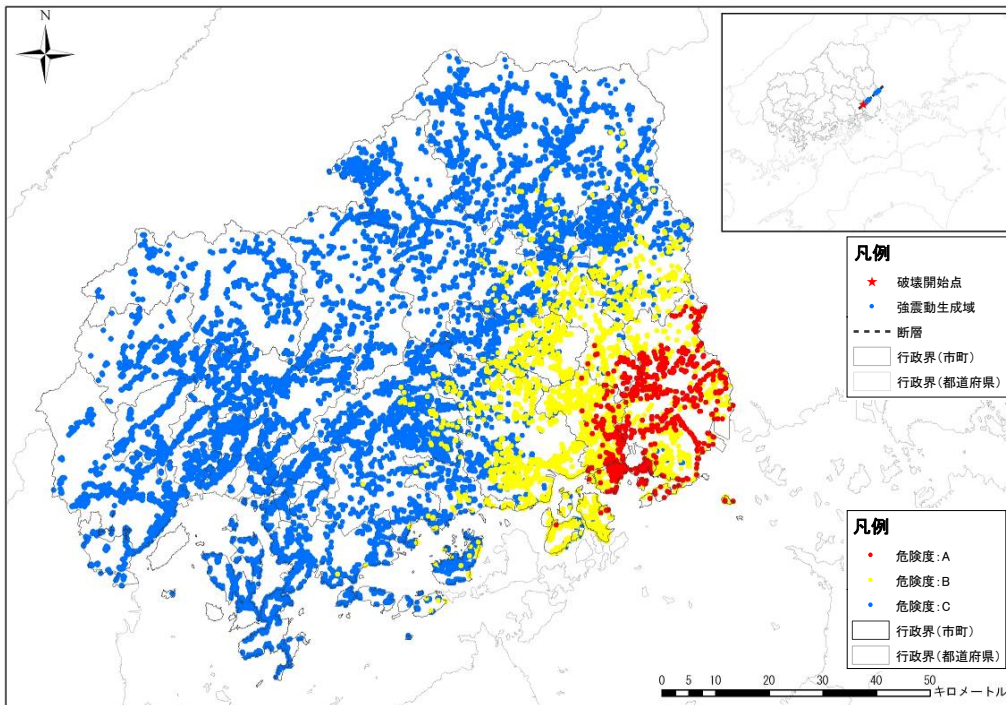


安芸灘断層群（広島湾－岩国沖断層帯）の地震（北から破壊）

図Ⅲ. 1. 1-4(12) 急傾斜地崩壊危険箇所の危険度ランク

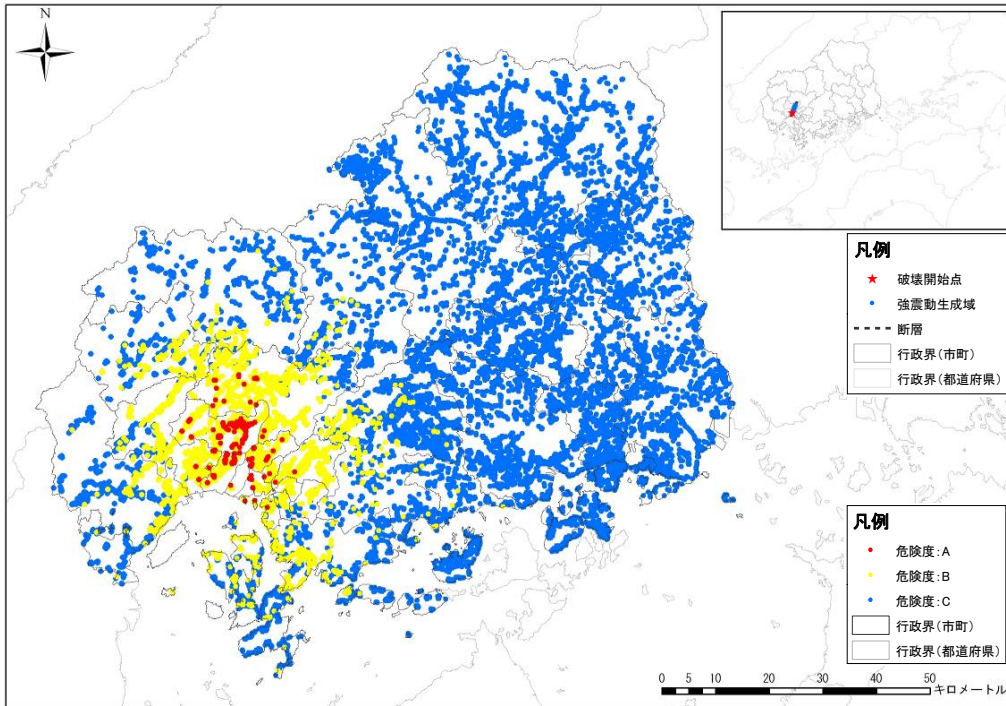


長者ヶ原断層－芳井断層の地震（東から破壊）

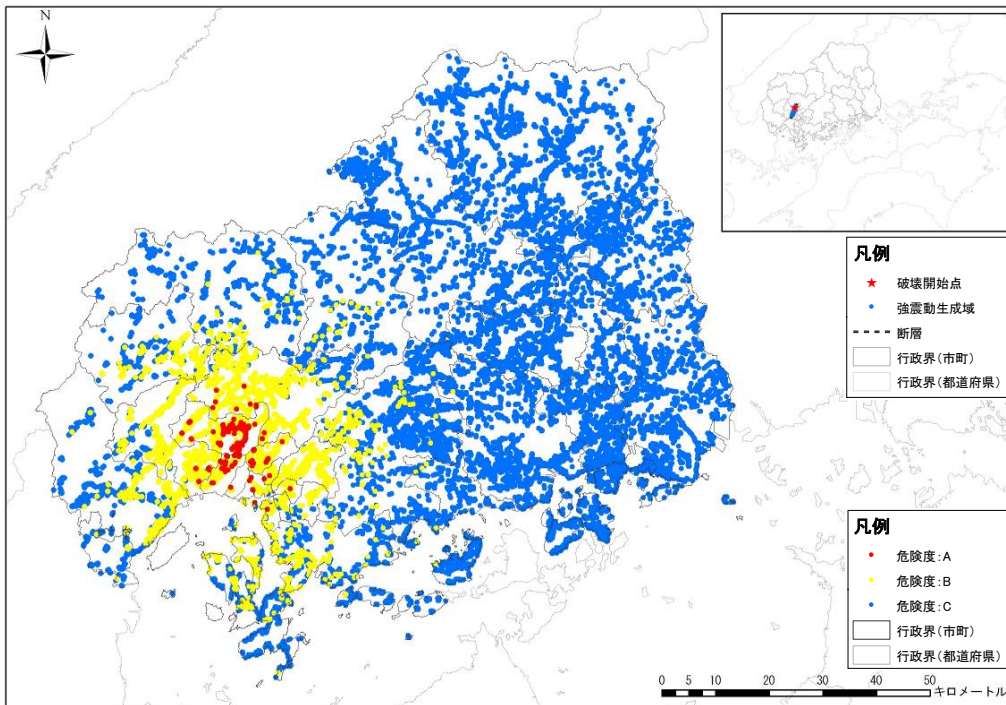


長者ヶ原断層－芳井断層の地震（西から破壊）

図Ⅲ. 1. 1-4(13) 急傾斜地崩壊危険箇所の危険度ランク



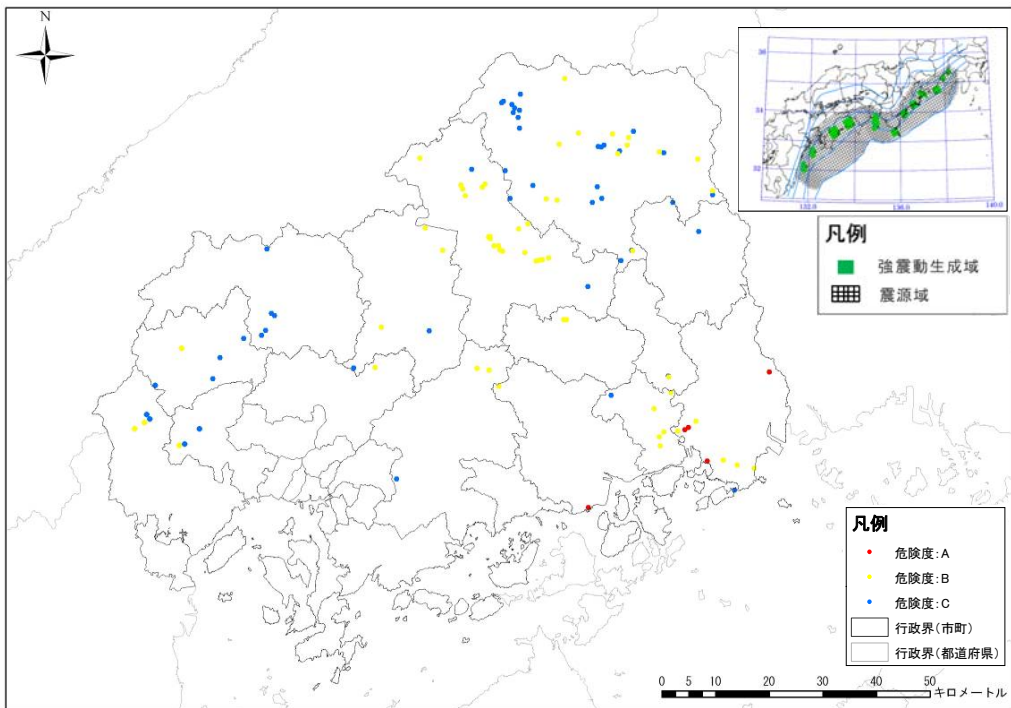
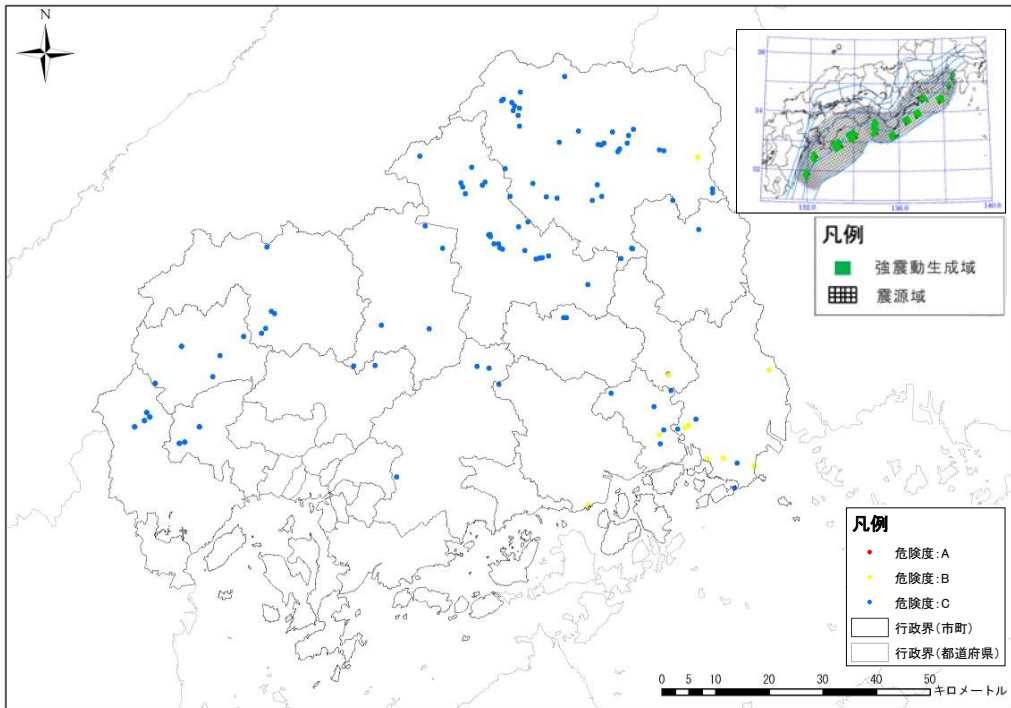
(参考) 己斐-広島西縁断層帯 (M6.9) の地震 (南から破壊)



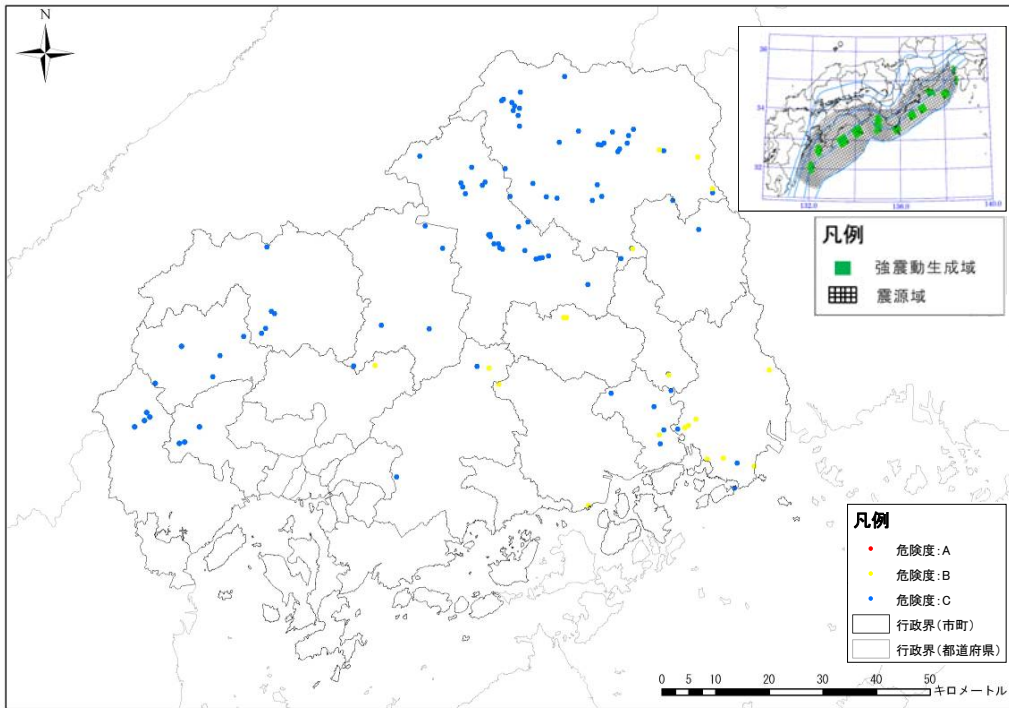
(参考) 己斐-広島西縁断層帯 (M6.9) の地震 (北から破壊)

図Ⅲ. 1. 1-4(14) 急傾斜地崩壊危険箇所の危険度ランク

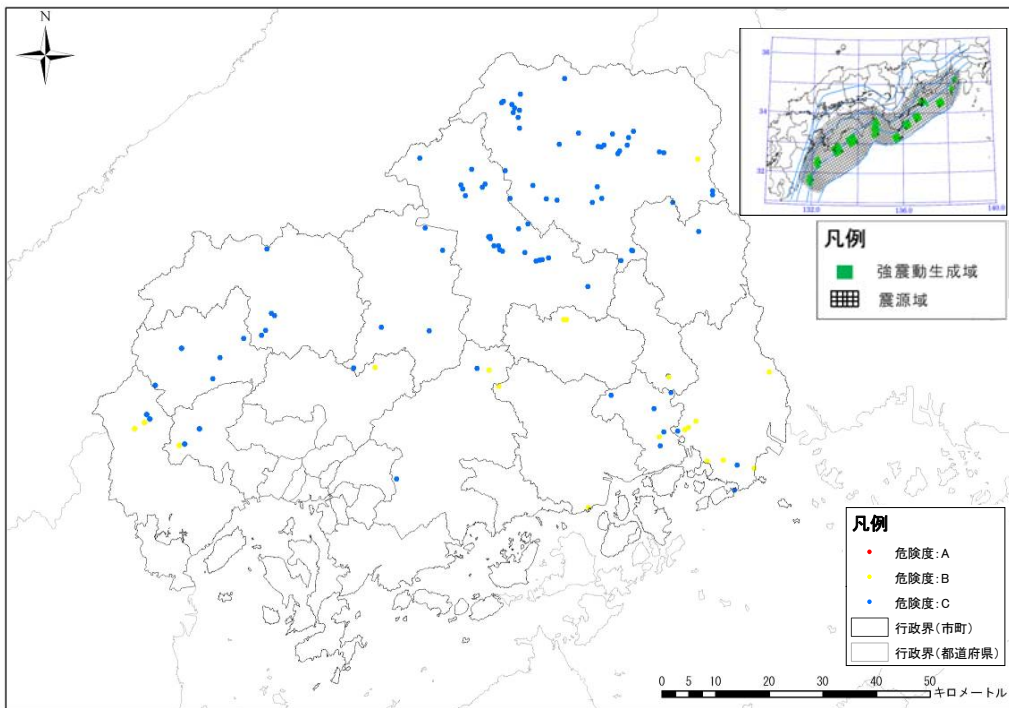
イ 地すべり危険箇所



図Ⅲ. 1. 1-5(1) 地すべり危険箇所の危険度ランク

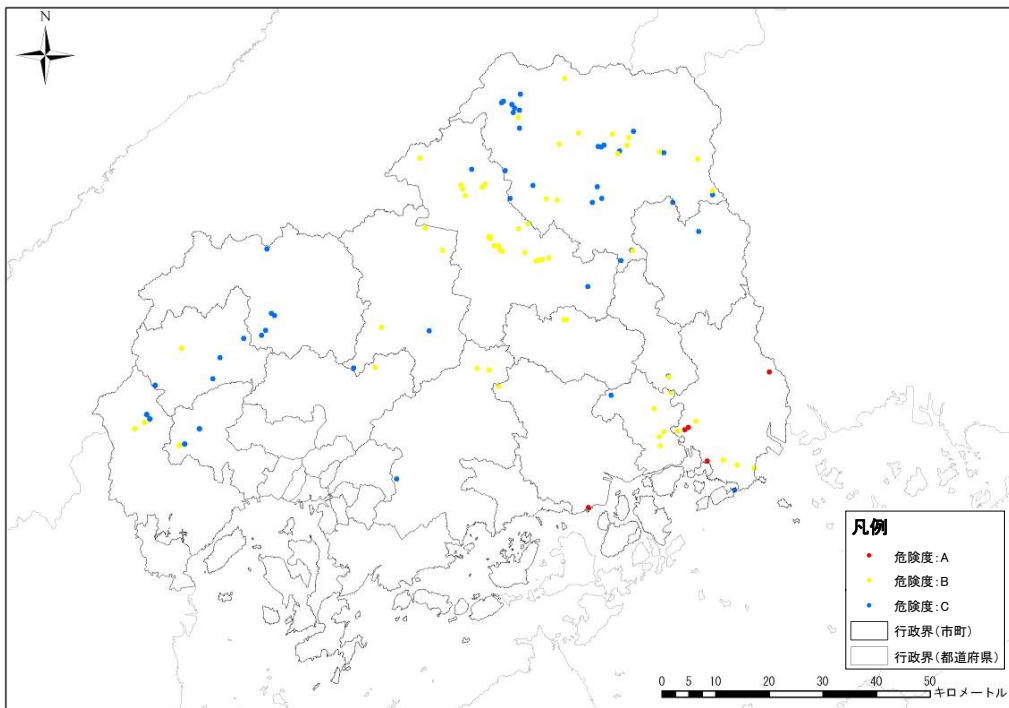
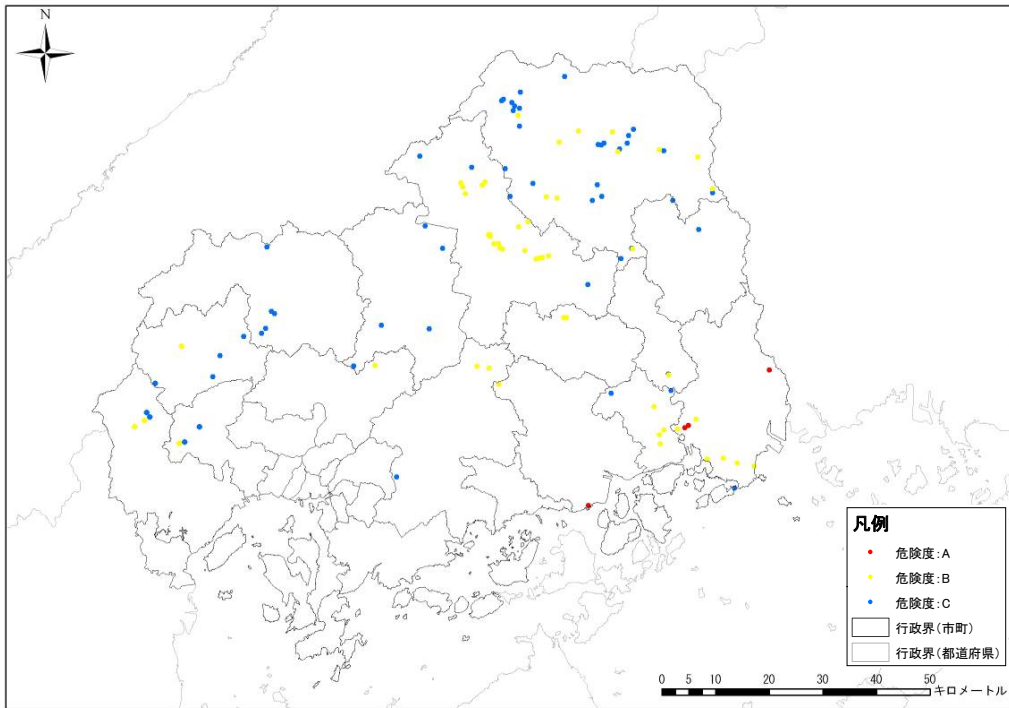


南海トラフ巨大地震（東側ケース）

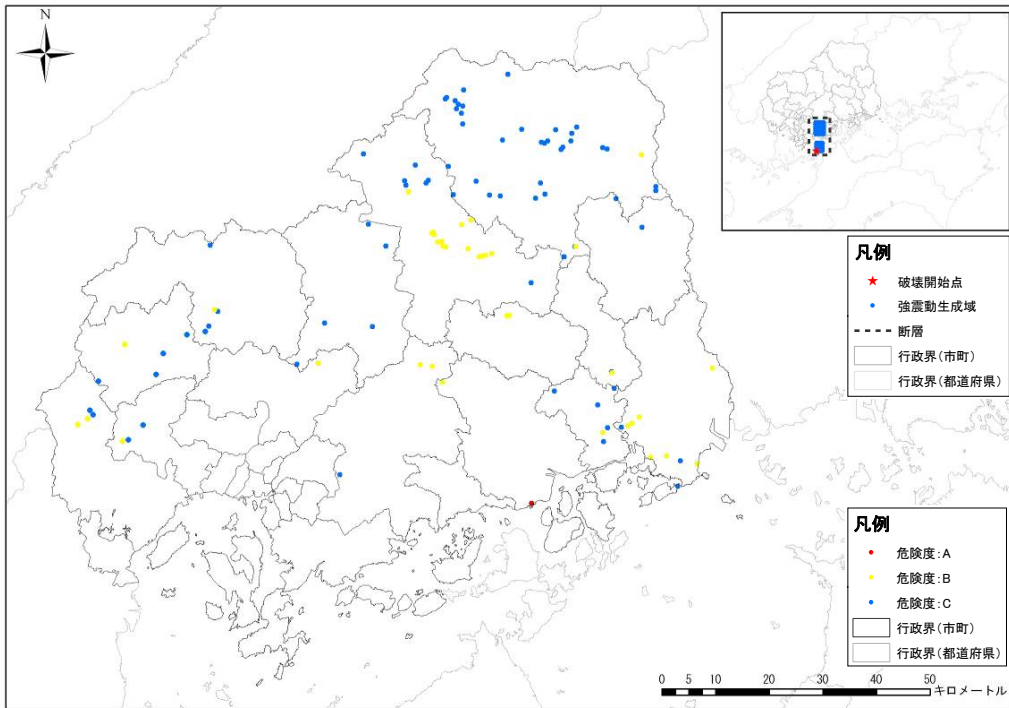


南海トラフ巨大地震（西側ケース）

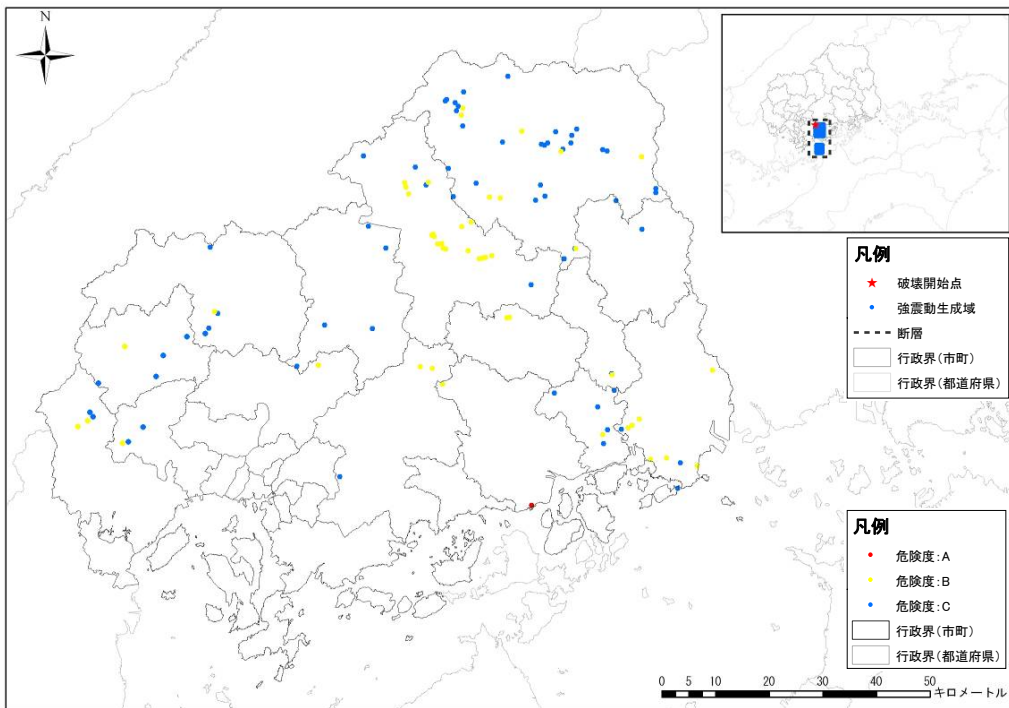
図Ⅲ. 1. 1-5(2) 地すべり危険箇所の危険度ランク



図Ⅲ. 1. 1-5(3) 地すべり危険箇所の危険度ランク

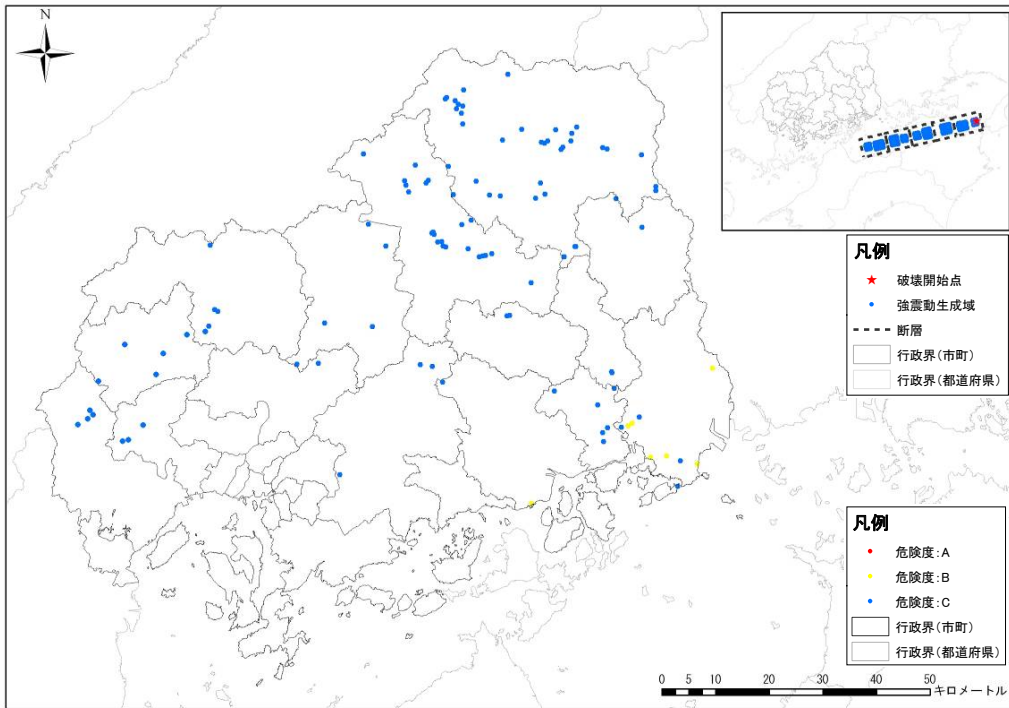


安芸灘～伊予灘～豊後水道の地震（南から破壊）

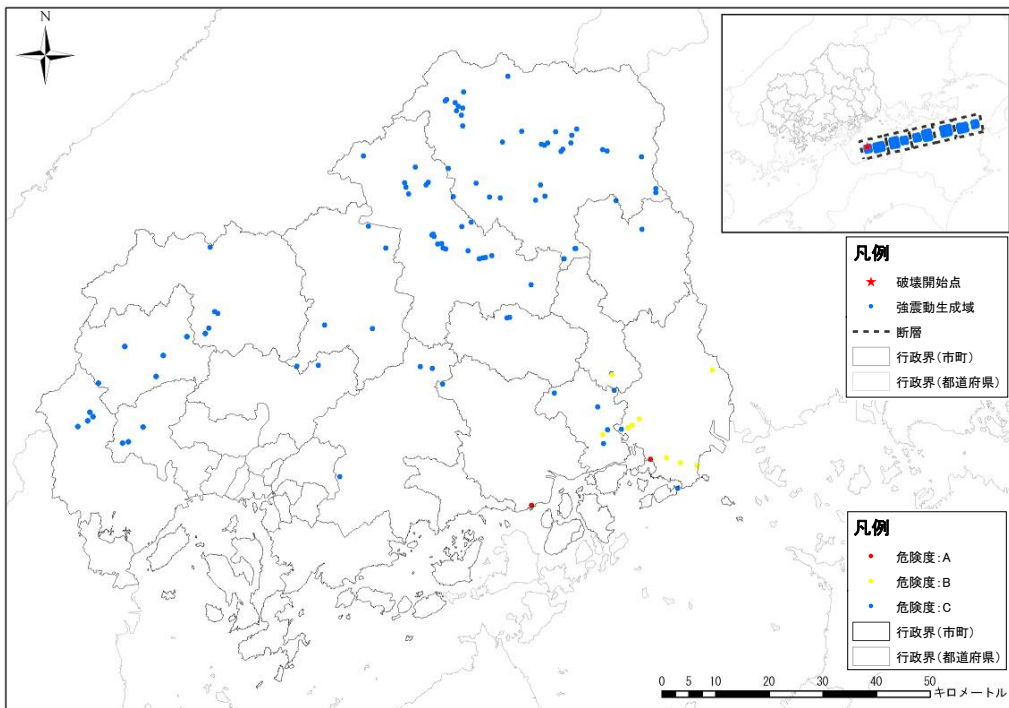


安芸灘～伊予灘～豊後水道の地震（北から破壊）

図Ⅲ. 1. 1-5(4) 地すべり危険箇所の危険度ランク

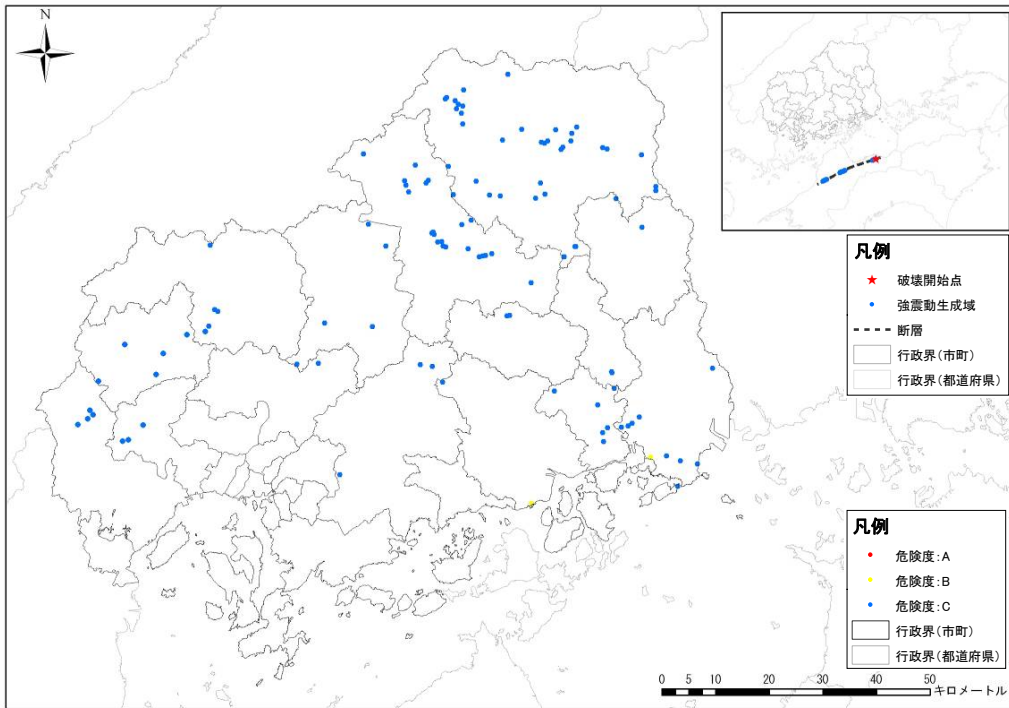


讃岐山脈南縁－石鎚山脈北縁東部の地震（東から破壊）

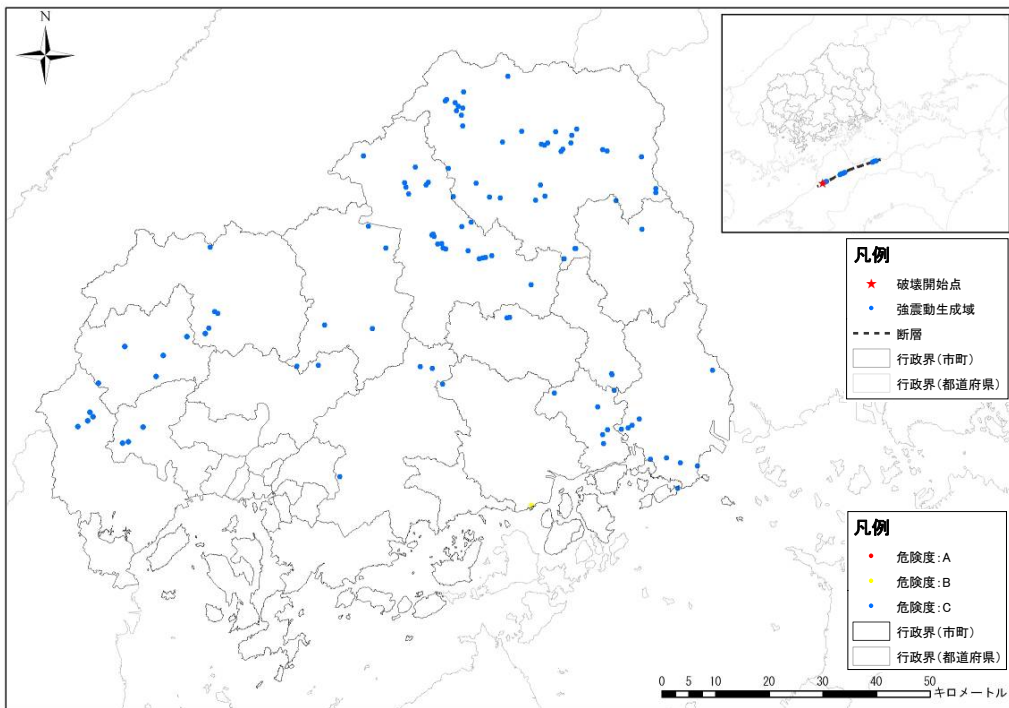


讃岐山脈南縁－石鎚山脈北縁東部の地震（西から破壊）

図Ⅲ. 1. 1-5(5) 地すべり危険箇所の危険度ランク

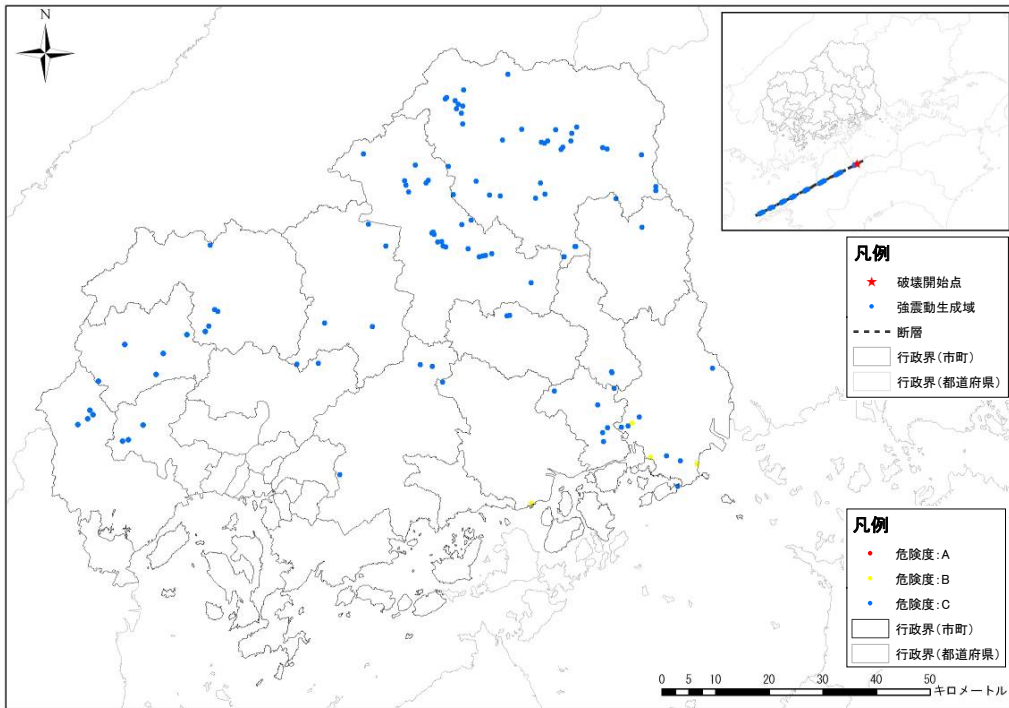


石鎚山脈北縁の地震（東から破壊）

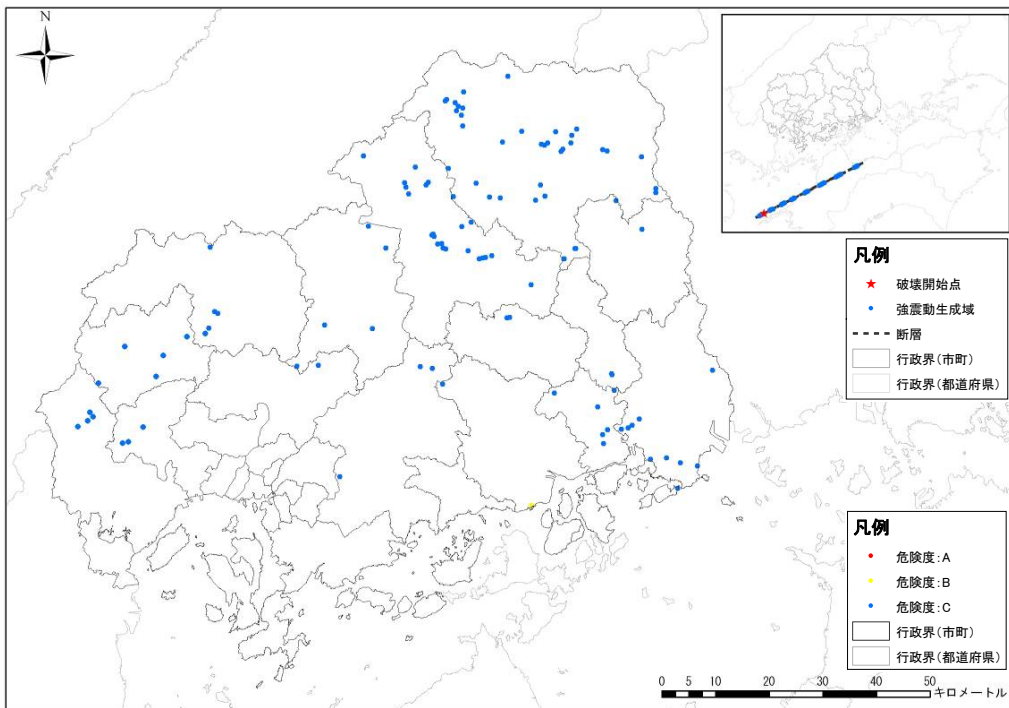


石鎚山脈北縁の地震（西から破壊）

図Ⅲ. 1. 1-5(6) 地すべり危険箇所の危険度ランク

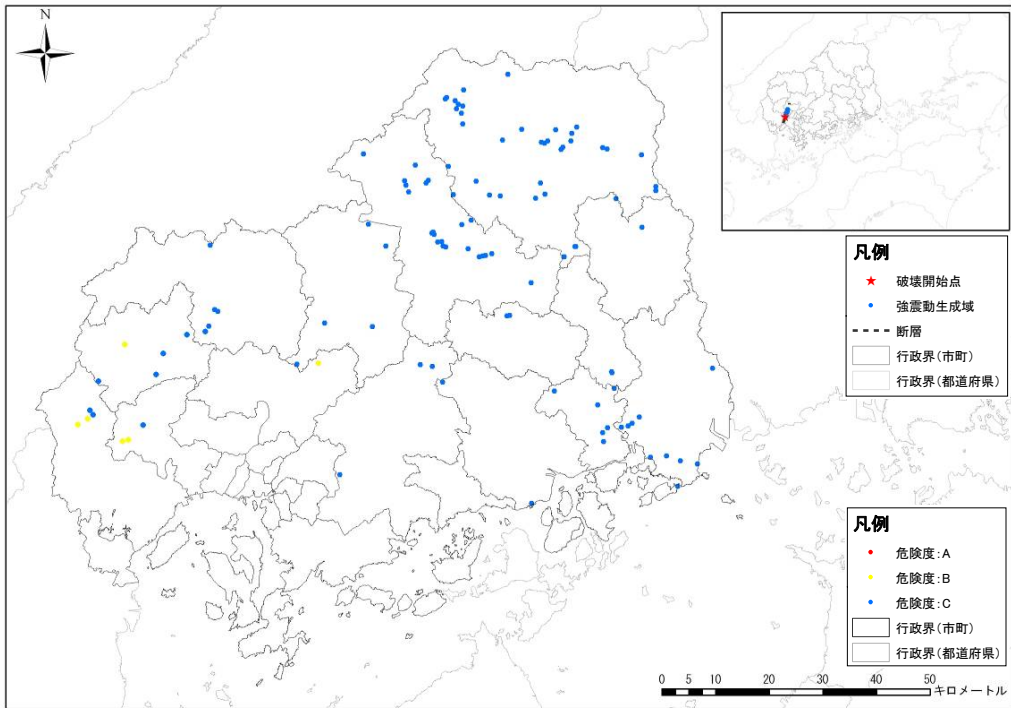


石鎚山脈北縁西部－伊予灘の地震（東から破壊）

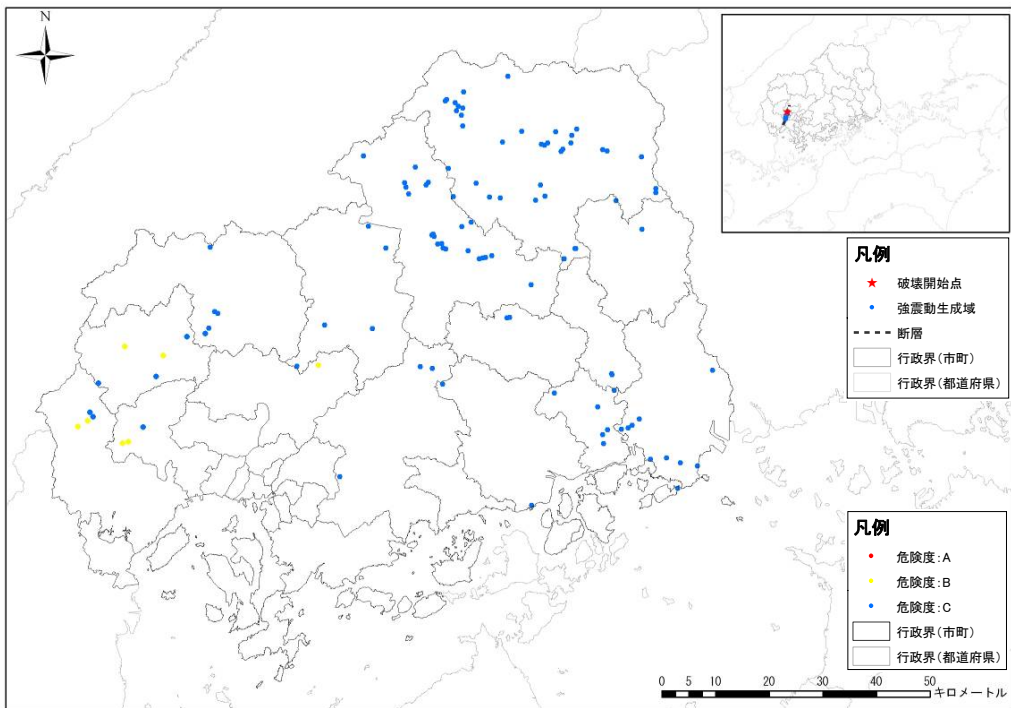


石鎚山脈北縁西部－伊予灘の地震（西から破壊）

図Ⅲ. 1. 1-5(7) 地すべり危険箇所の危険度ランク

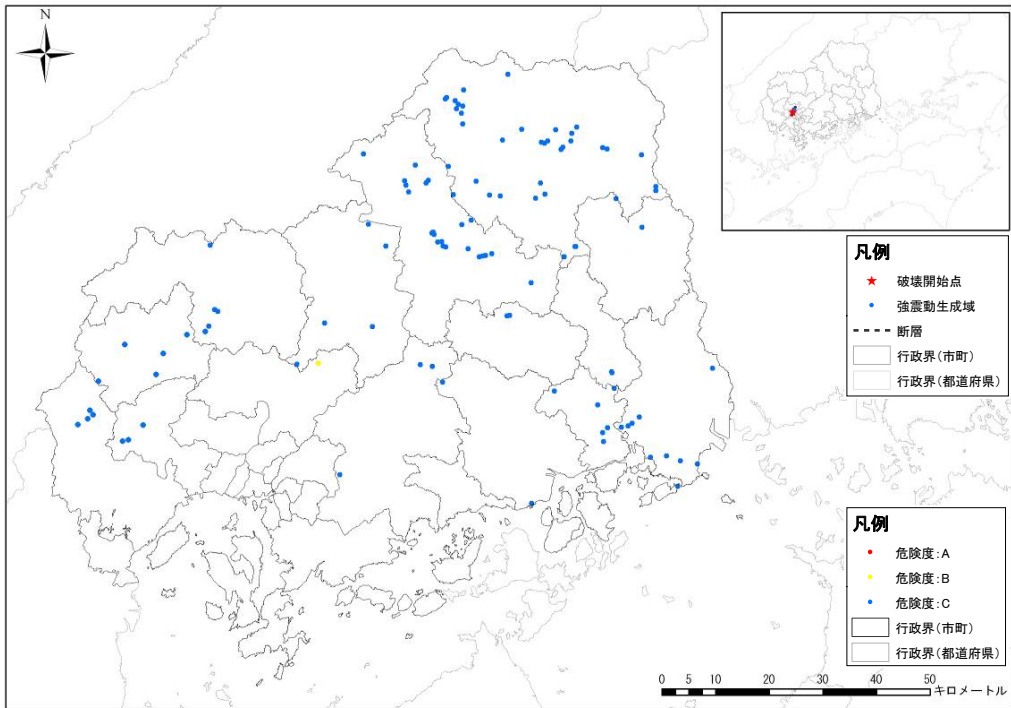


五日市断層の地震（南から破壊）

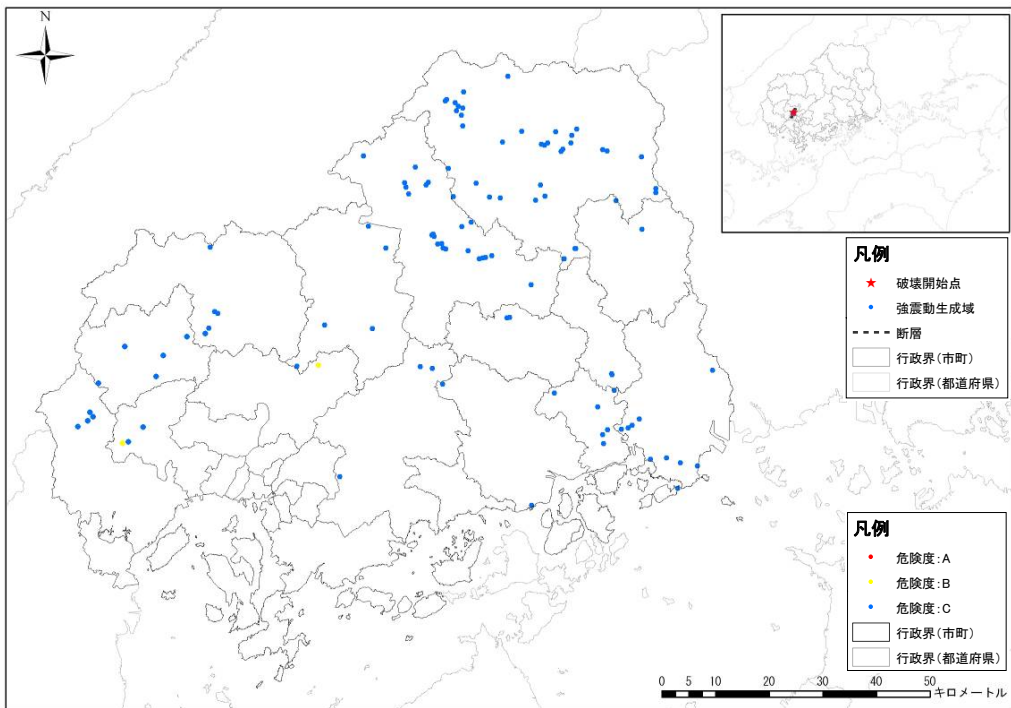


五日市断層の地震（北から破壊）

図Ⅲ. 1. 1-5(8) 地すべり危険箇所の危険度ランク

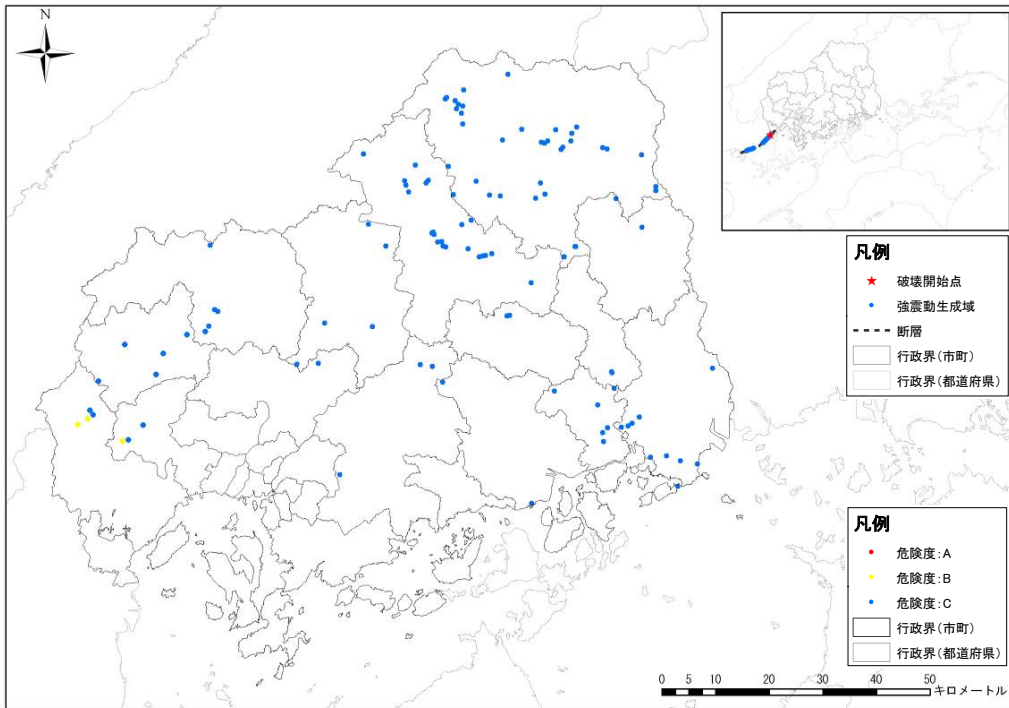


己斐－広島西縁断層帯 (M6.5) の地震 (南から破壊)

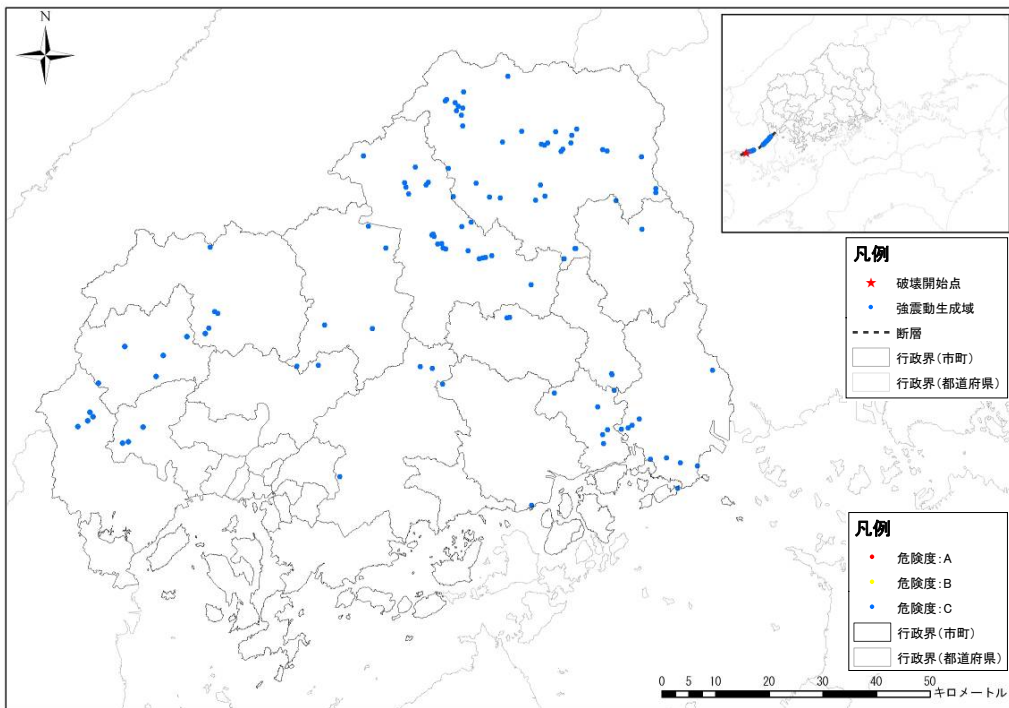


己斐－広島西縁断層帯 (M6.5) の地震 (北から破壊)

図Ⅲ. 1. 1-5(9) 地すべり危険箇所の危険度ランク

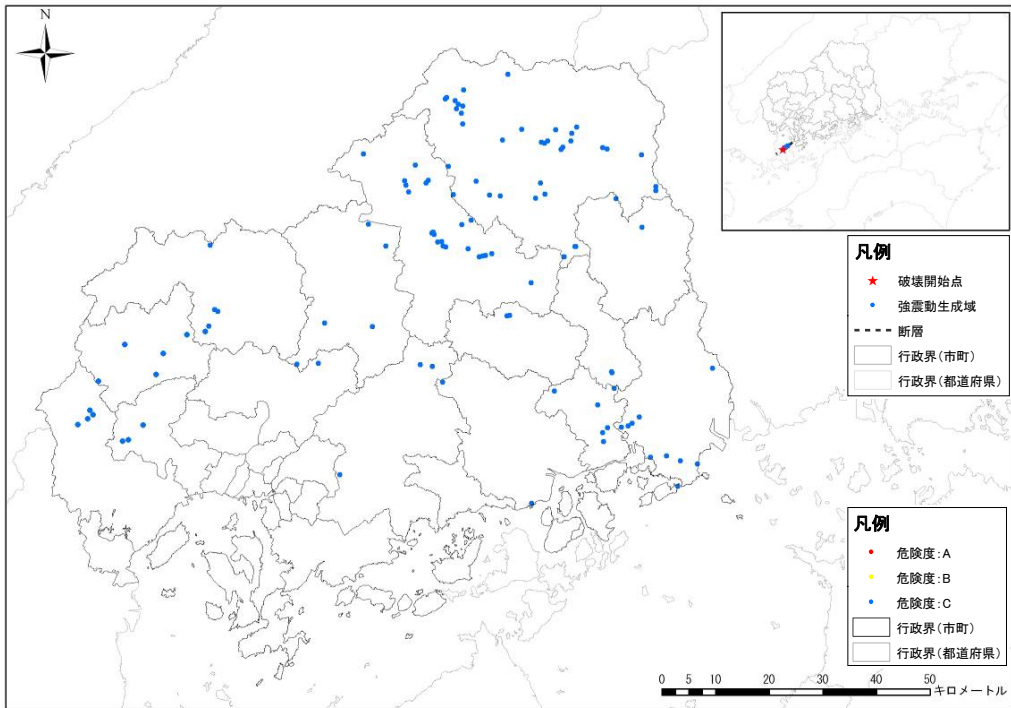


岩国断層帯の地震（東から破壊）

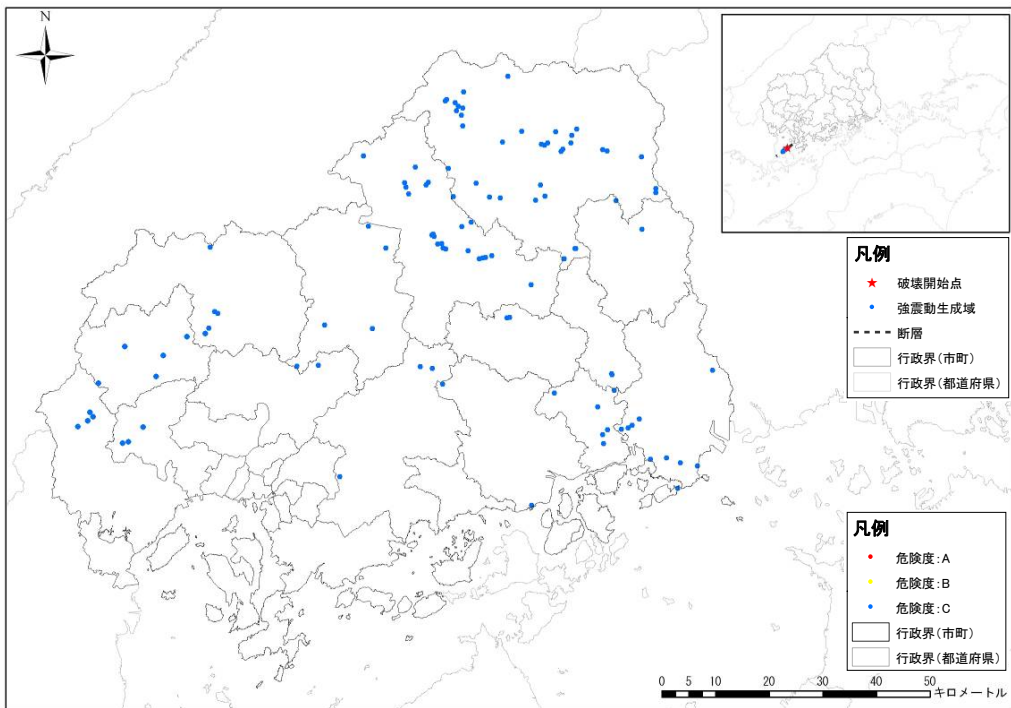


岩国断層帯の地震（西から破壊）

図Ⅲ. 1. 1-5(10) 地すべり危険箇所の危険度ランク

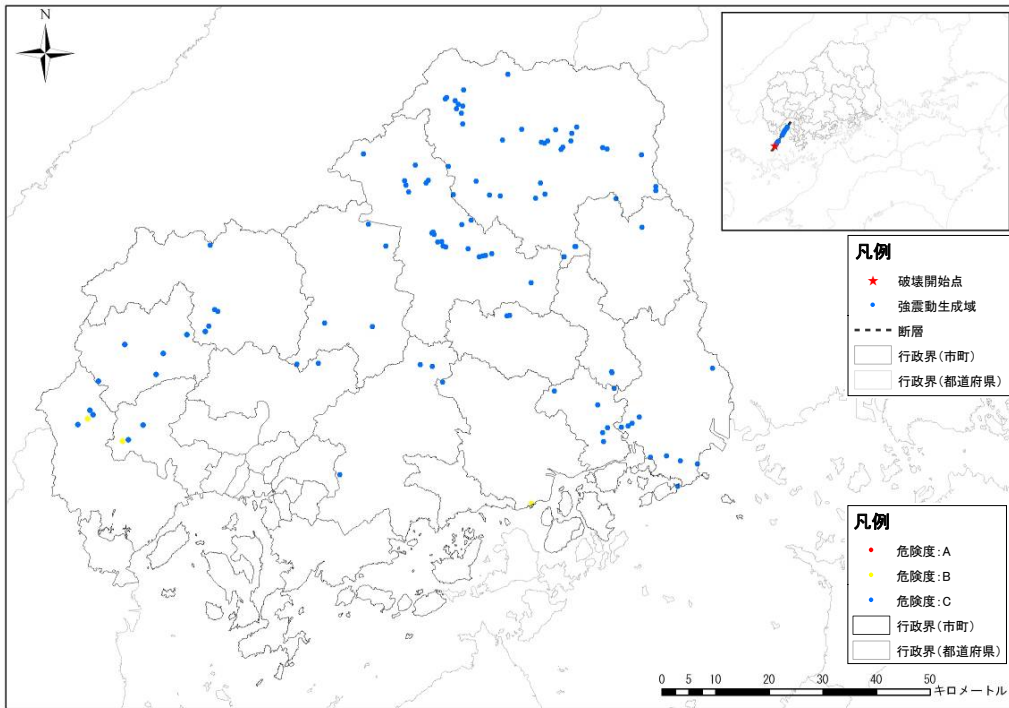


安芸灘断層群（主部）の地震（南から破壊）

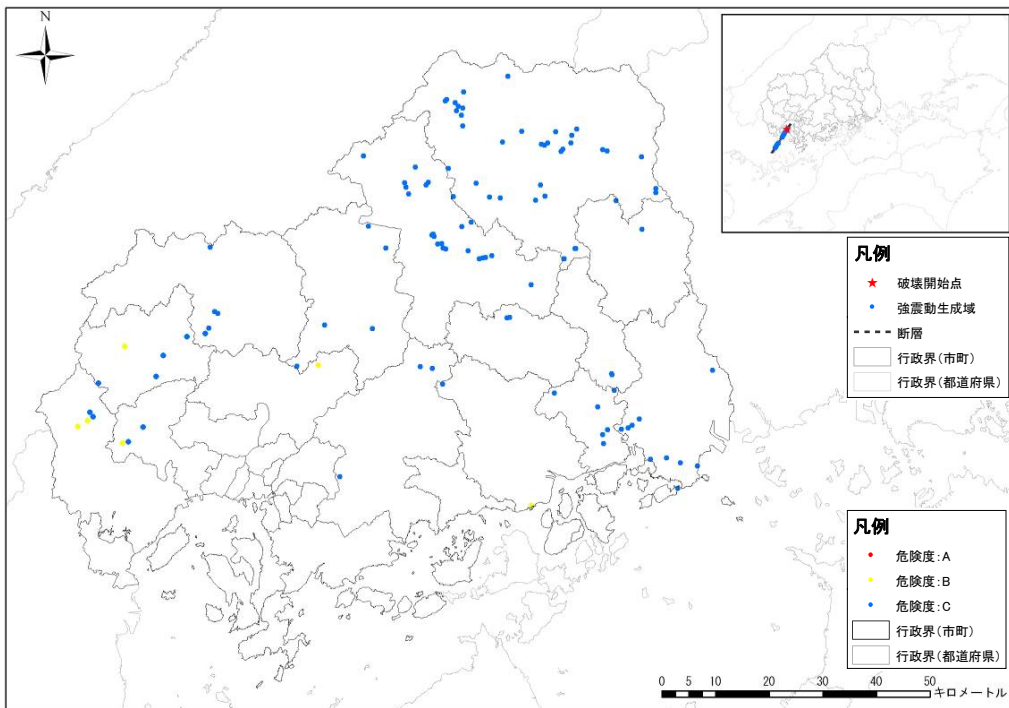


安芸灘断層群（主部）の地震（北から破壊）

図Ⅲ. 1. 1-5(11) 地すべり危険箇所の危険度ランク

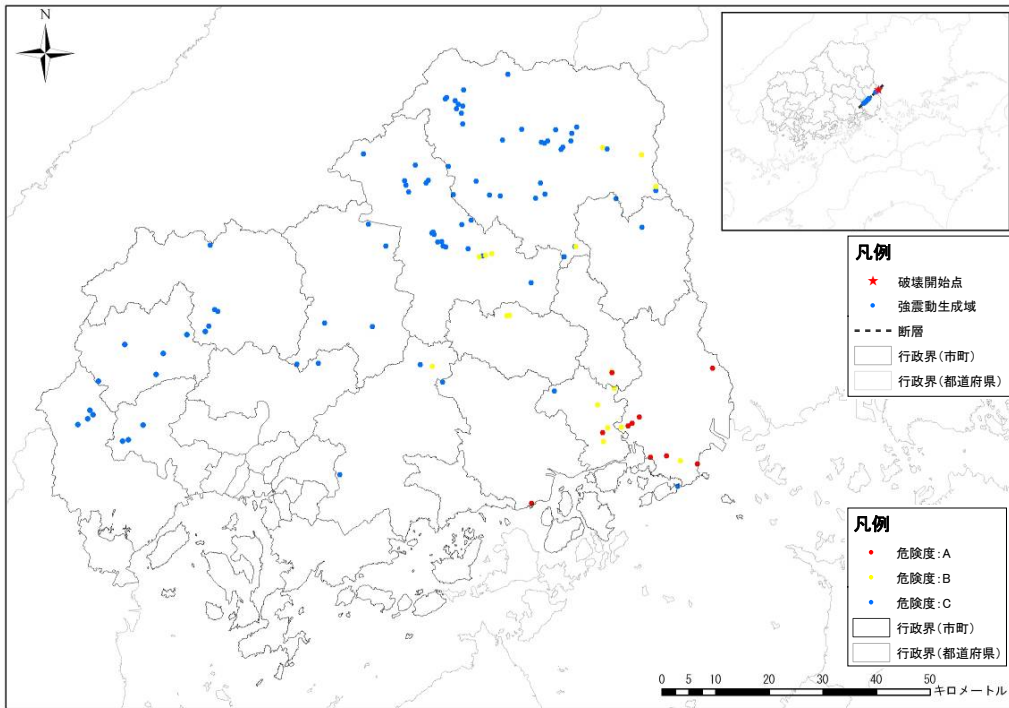


安芸灘断層群（広島湾－岩国沖断層帯）の地震（南から破壊）

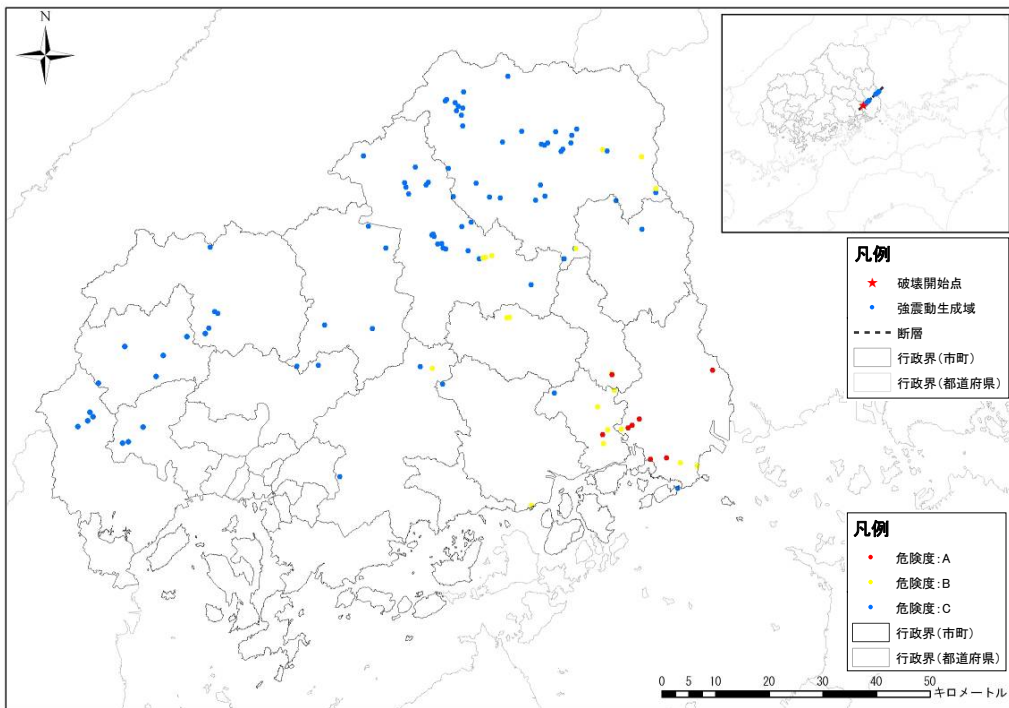


安芸灘断層群（広島湾－岩国沖断層帯）の地震（北から破壊）

図Ⅲ. 1. 1-5(12) 地すべり危険箇所の危険度ランク

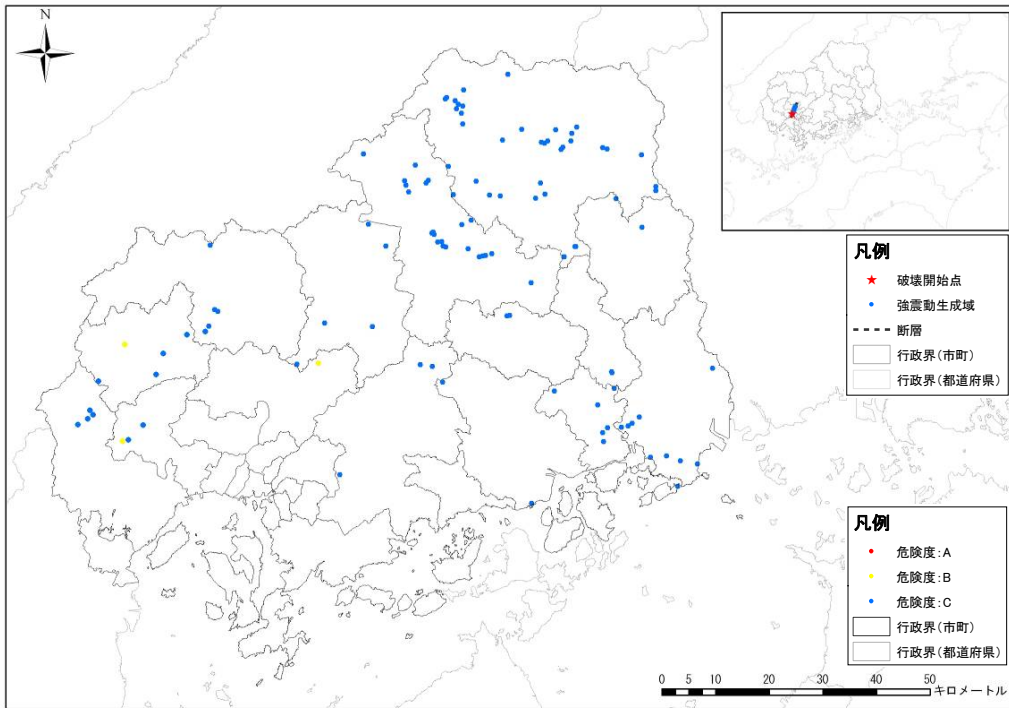


長者ヶ原断層－芳井断層の地震（東から破壊）

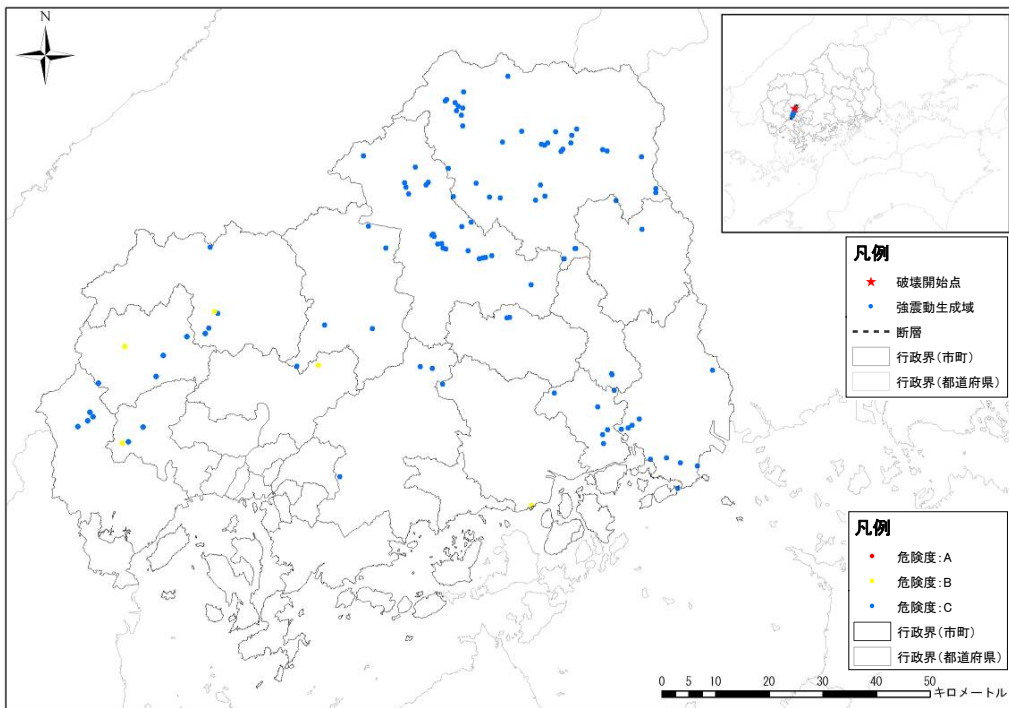


長者ヶ原断層－芳井断層の地震（西から破壊）

図Ⅲ. 1. 1-5(13) 地すべり危険箇所の危険度ランク



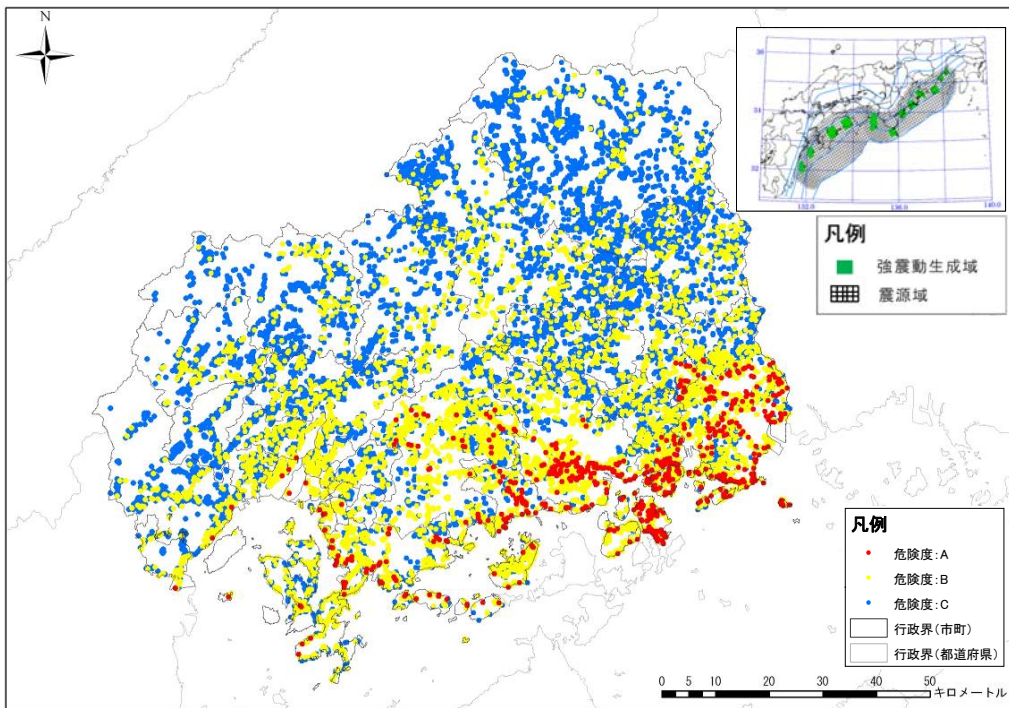
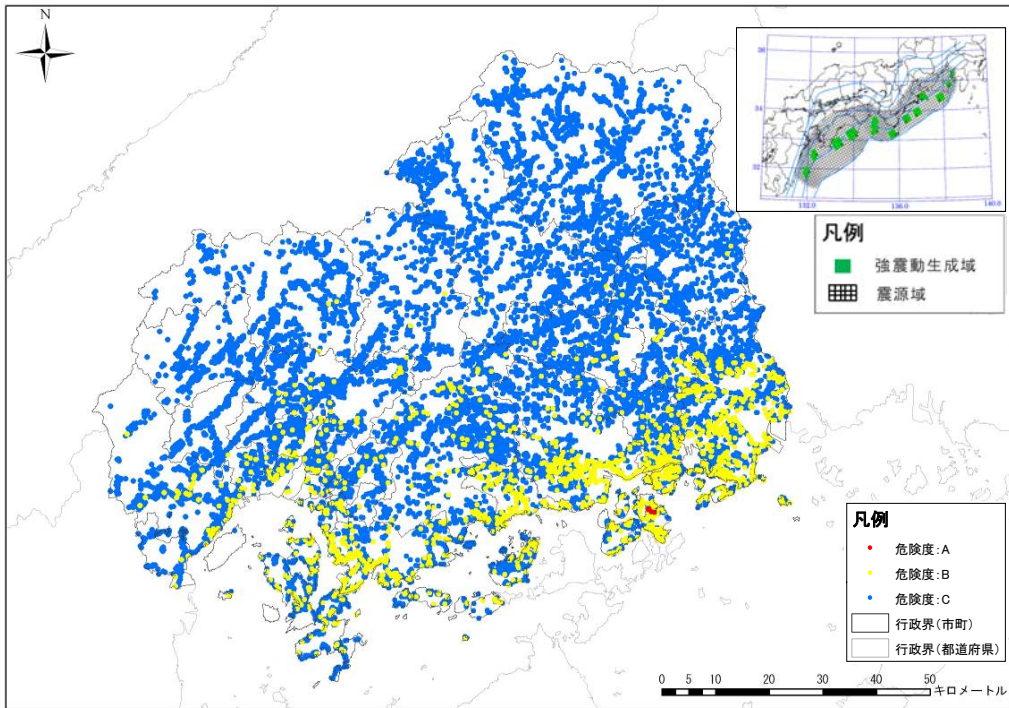
(参考) 己斐-広島西縁断層帯 (M6.9) の地震 (南から破壊)



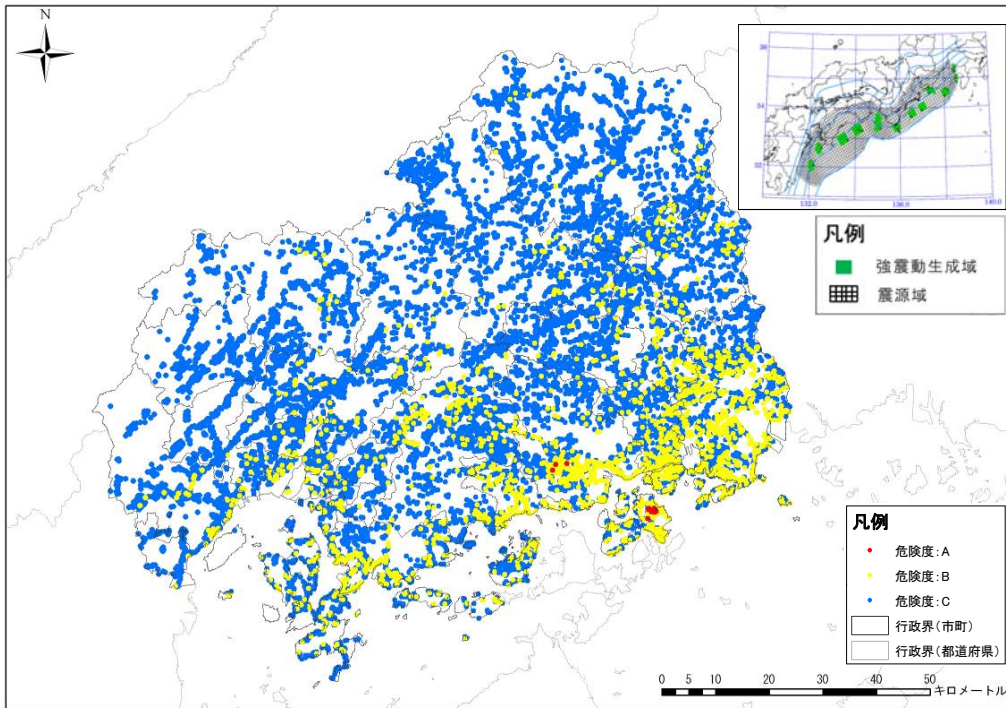
(参考) 己斐-広島西縁断層帯 (M6.9) の地震 (北から破壊)

図Ⅲ. 1. 1-5(14) 地すべり危険箇所の危険度ランク

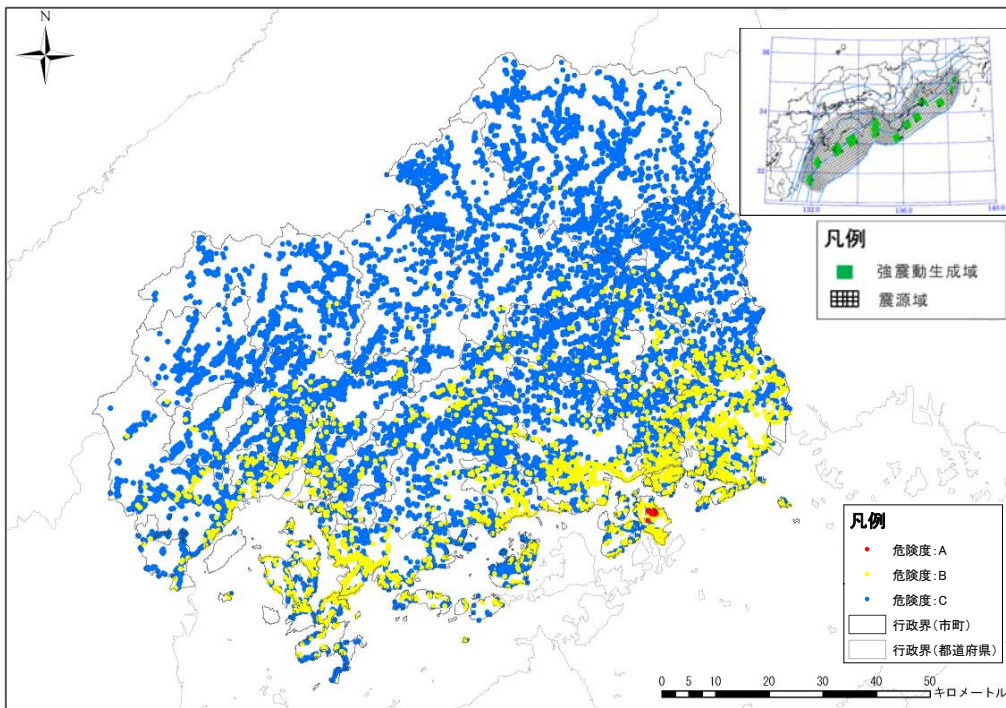
ウ 山腹崩壊危険地区



図Ⅲ. 1. 1-6(1) 山腹崩壊危険地区の危険度ランク

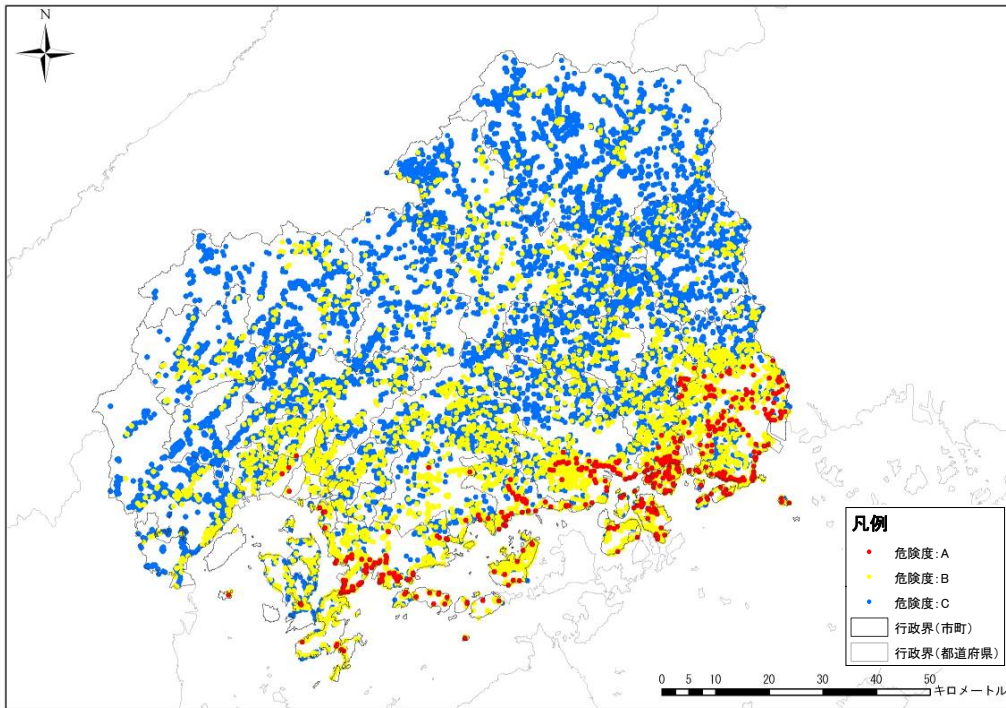


南海トラフ巨大地震（東側ケース）

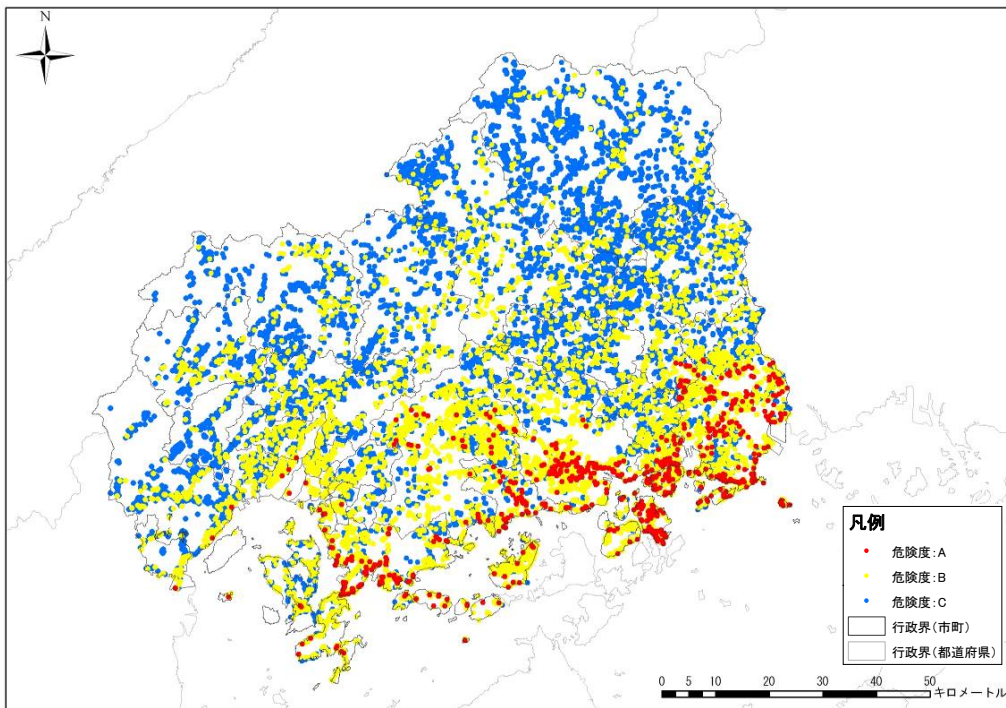


南海トラフ巨大地震（西側ケース）

図Ⅲ. 1. 1-6(2) 山腹崩壊危険地区の危険度ランク

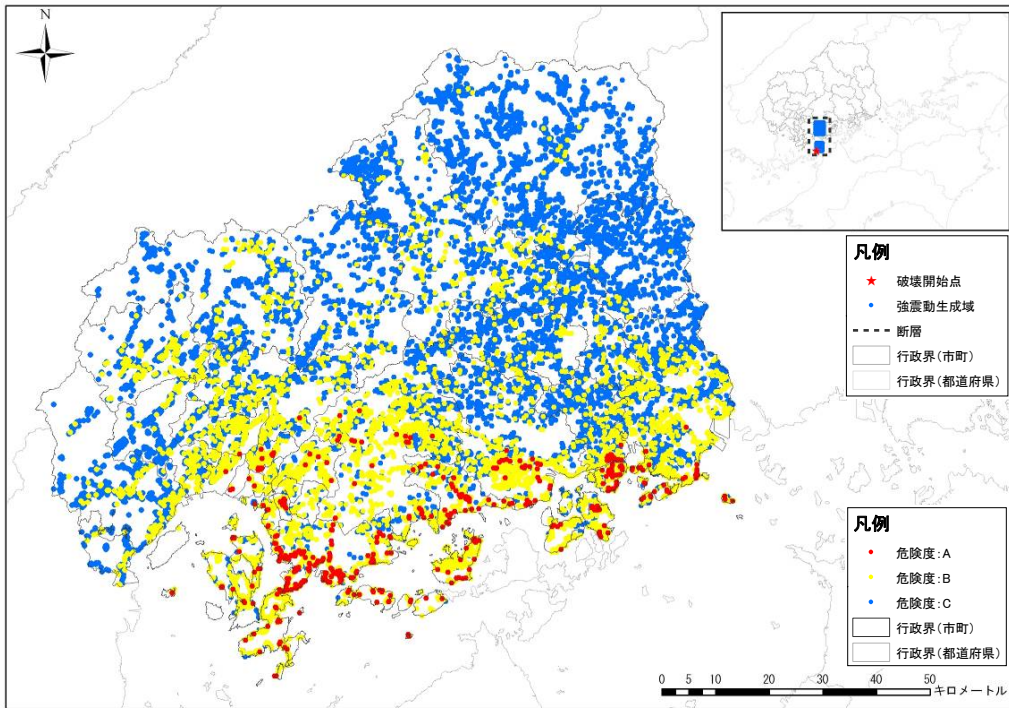


南海トラフ巨大地震（経験的手法）

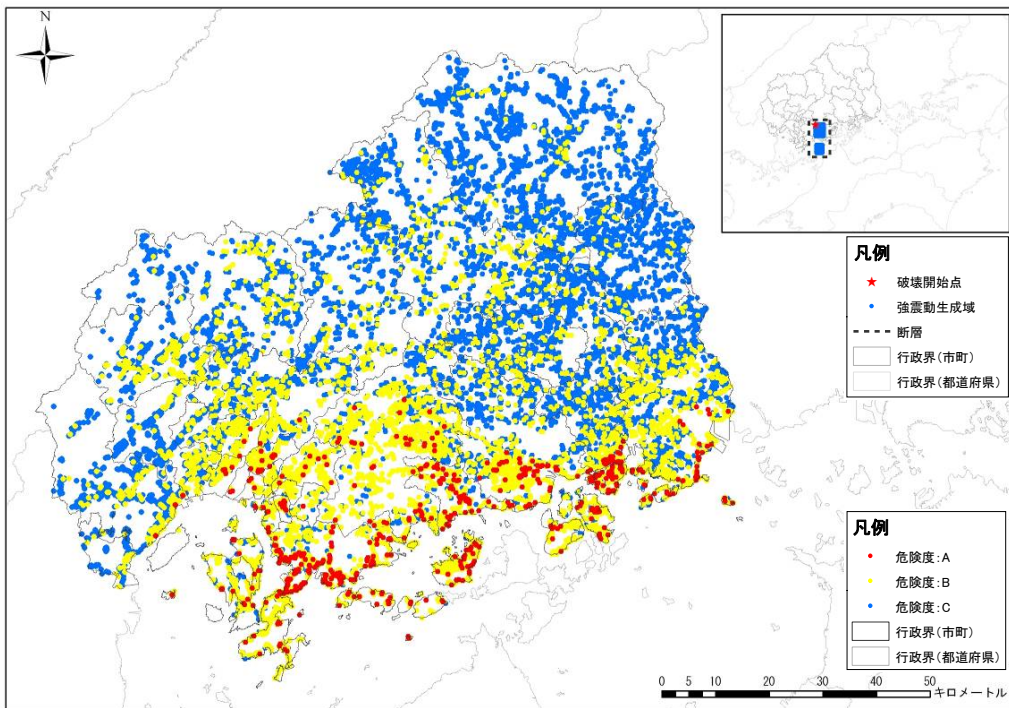


南海トラフ巨大地震（重ね合わせ）

図Ⅲ. 1. 1-6(3) 山腹崩壊危険地区の危険度ランク

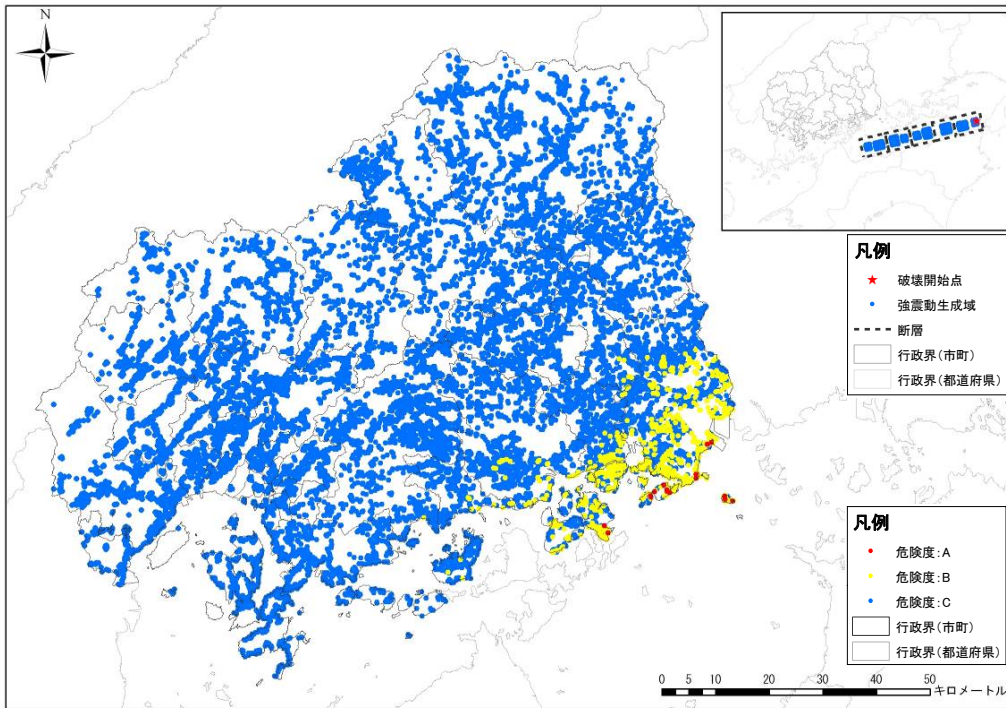


安芸灘～伊予灘～豊後水道の地震（南から破壊）

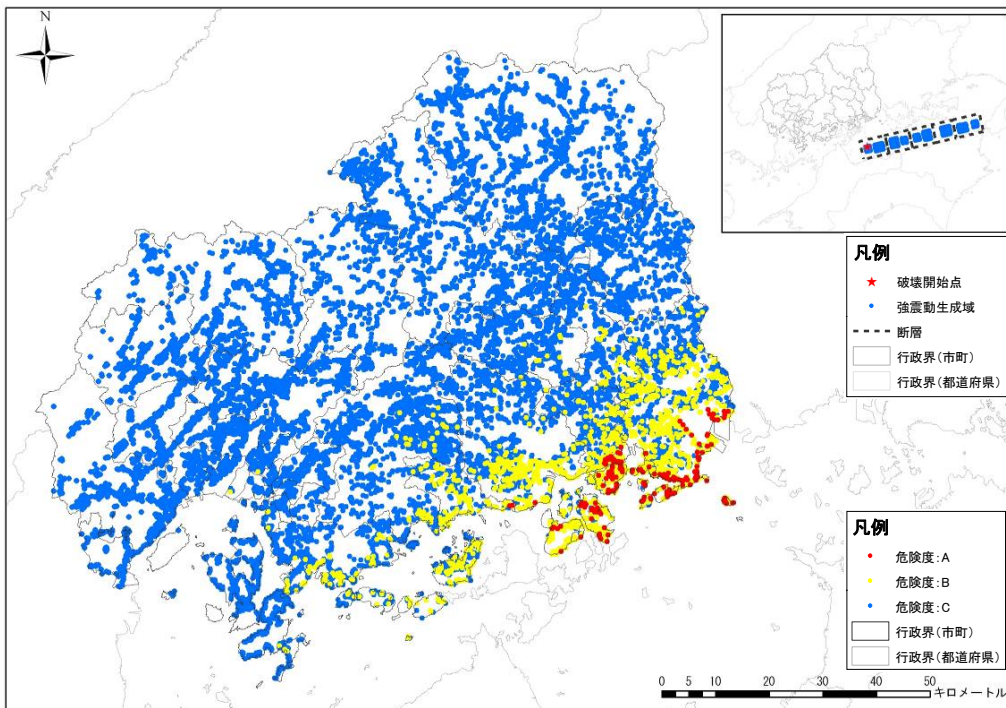


安芸灘～伊予灘～豊後水道の地震（北から破壊）

図Ⅲ. 1. 1-6(4) 山腹崩壊危険地区の危険度ランク

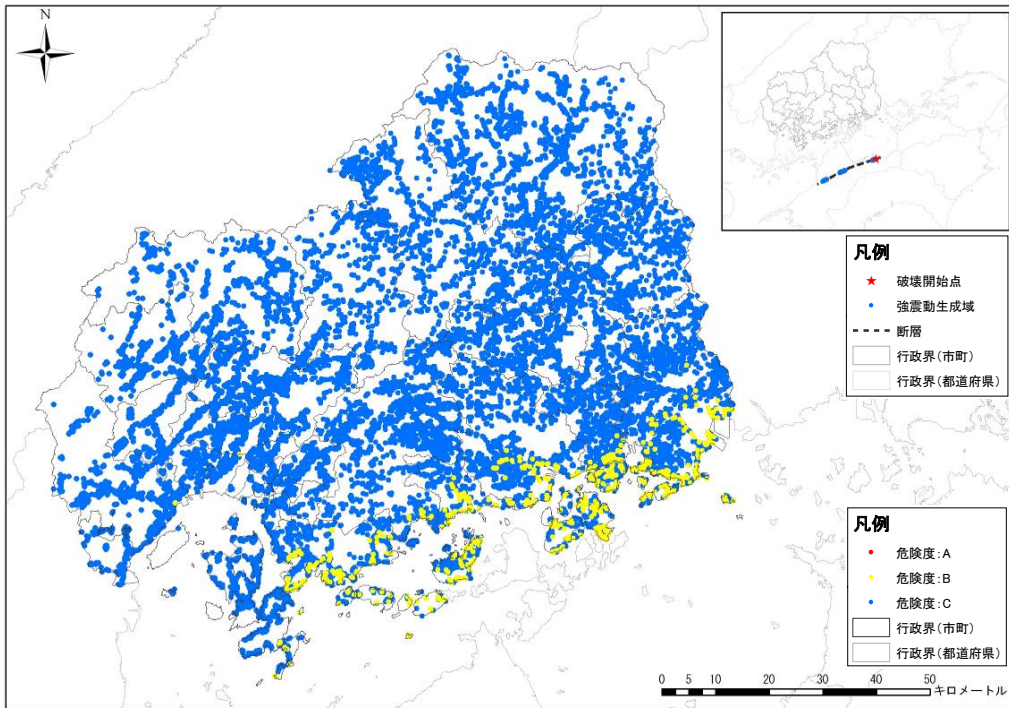


讃岐山脈南縁－石鎚山脈北縁東部の地震（東から破壊）

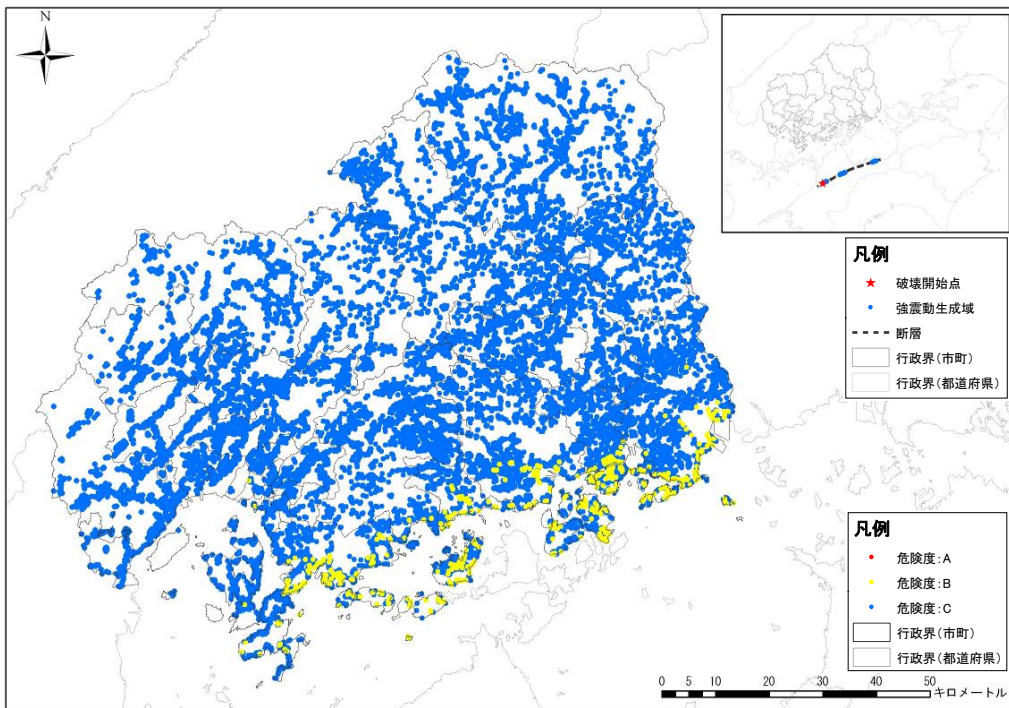


讃岐山脈南縁－石鎚山脈北縁東部の地震（西から破壊）

図Ⅲ. 1. 1-6 (5) 山腹崩壊危険地区の危険度ランク

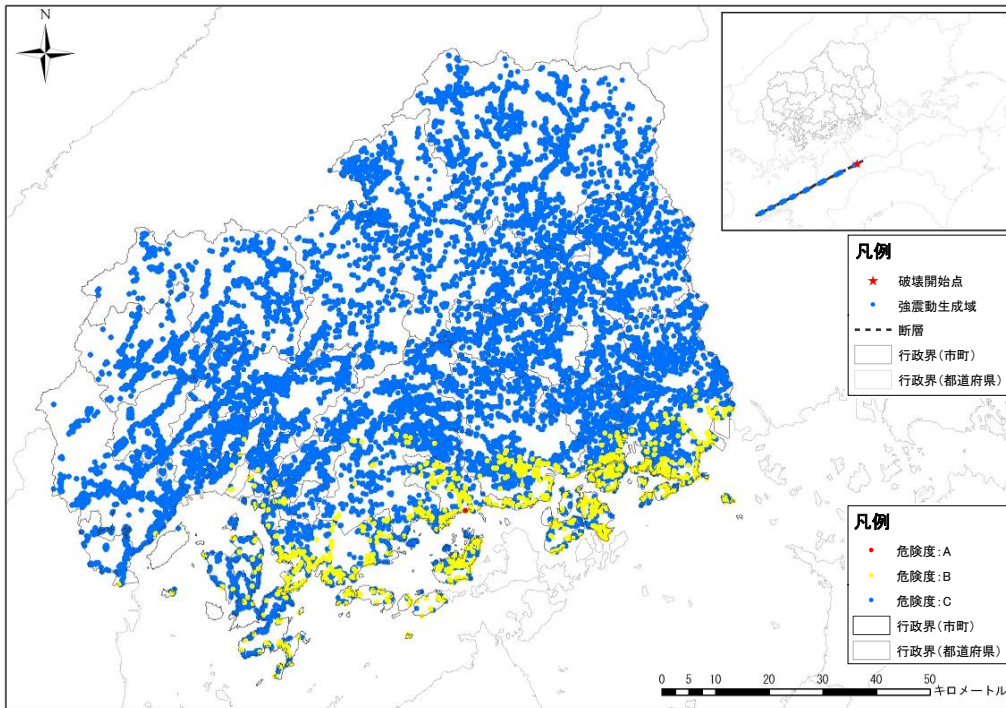


石鎚山脈北縁の地震（東から破壊）

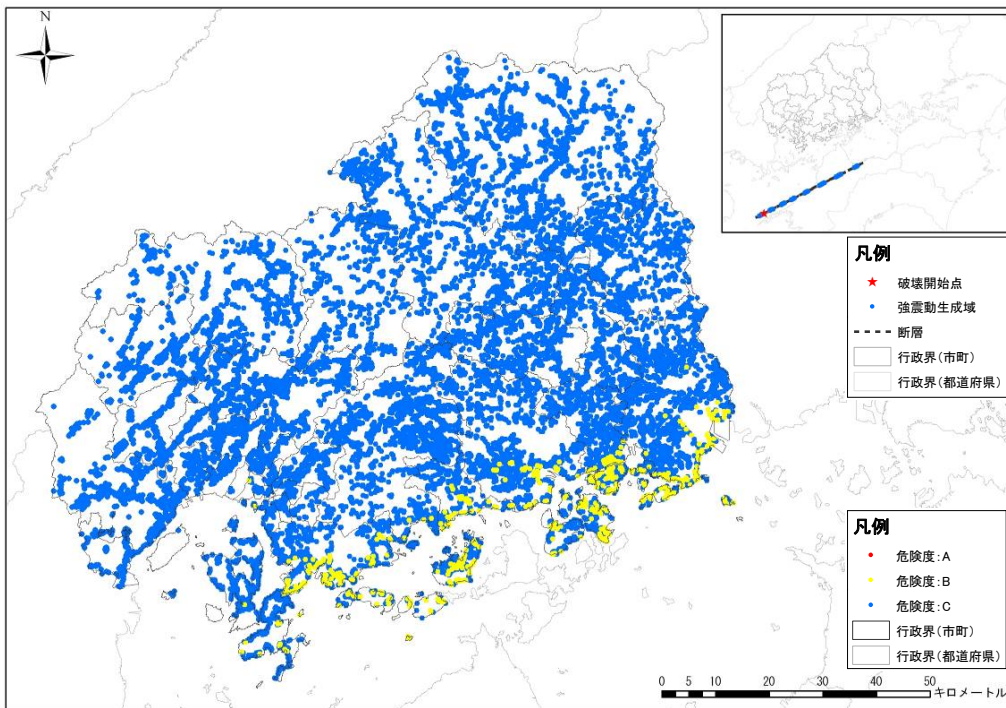


石鎚山脈北縁の地震（西から破壊）

図Ⅲ. 1. 1-6(6) 山腹崩壊危険地区の危険度ランク

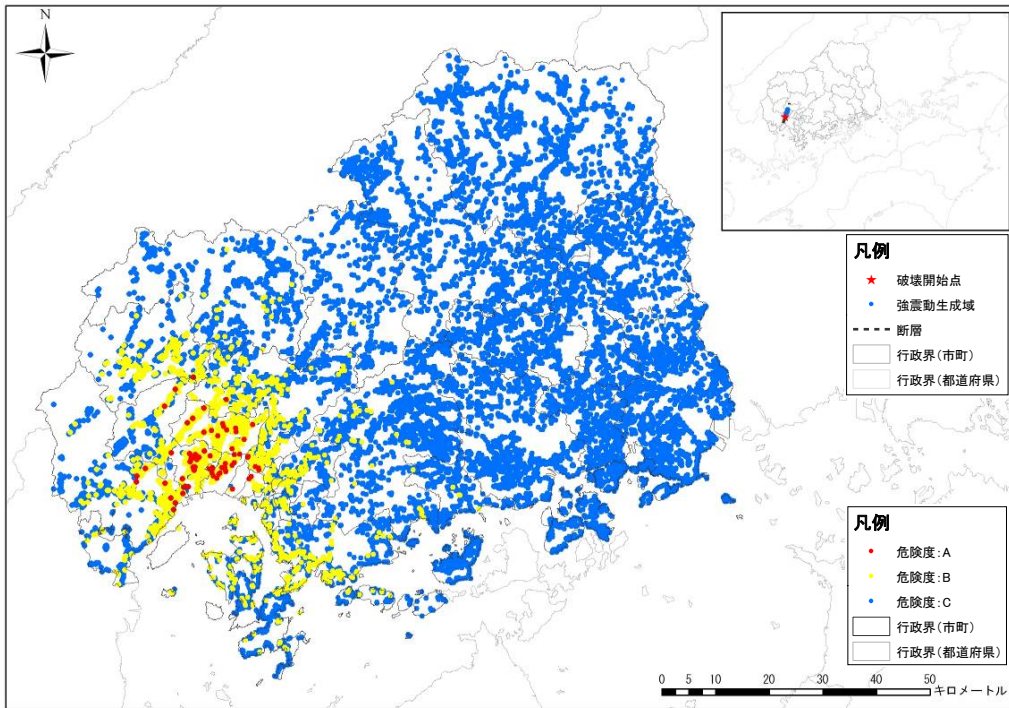


石鎚山脈北縁西部－伊予灘の地震（東から破壊）

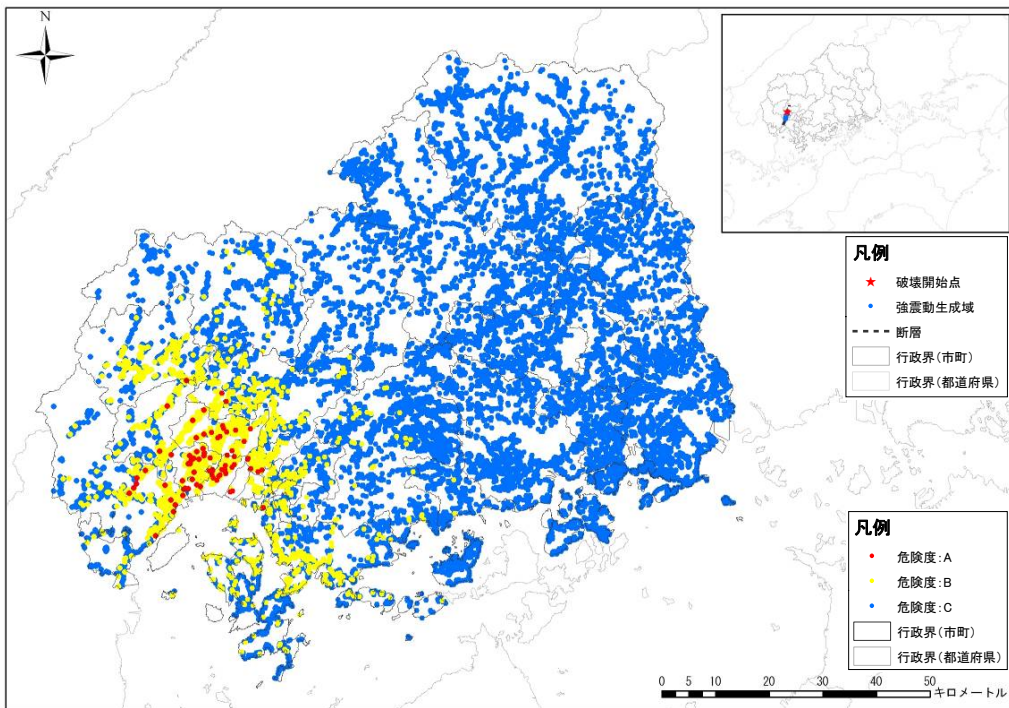


石鎚山脈北縁西部－伊予灘の地震（西から破壊）

図Ⅲ. 1. 1-6 (7) 山腹崩壊危険地区の危険度ランク

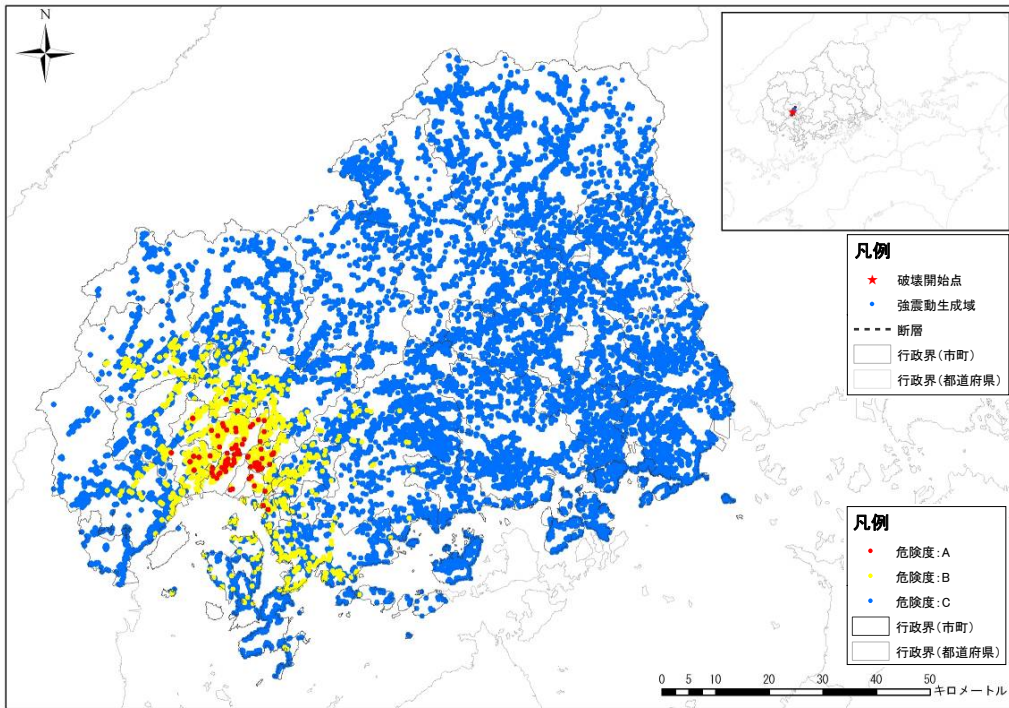


五日市断層の地震（南から破壊）

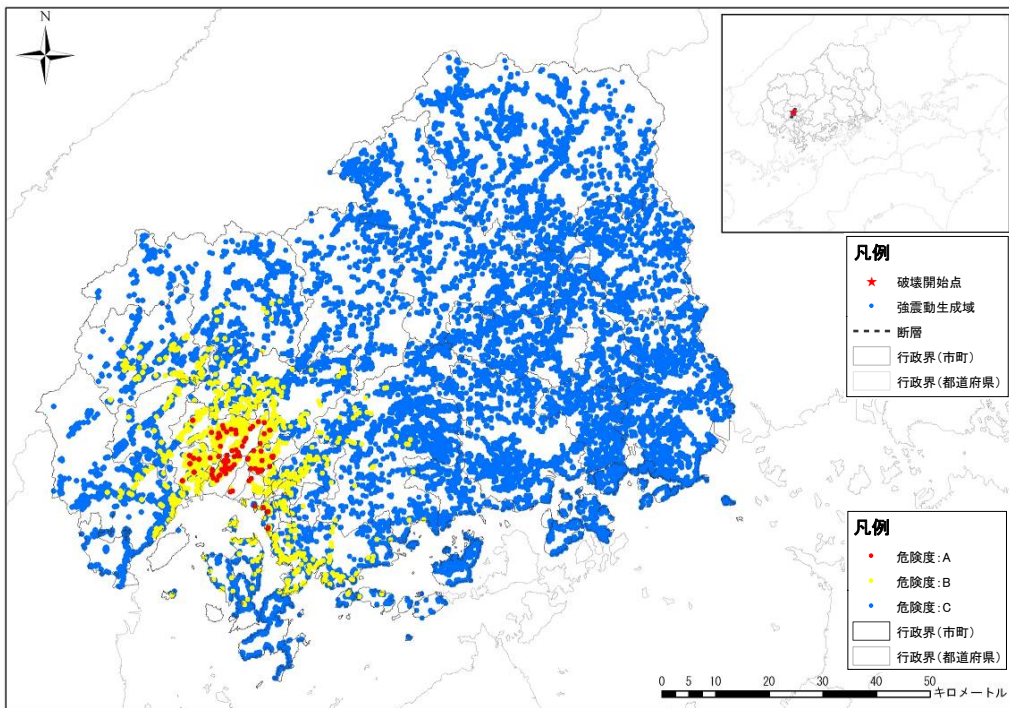


五日市断層の地震（北から破壊）

図Ⅲ. 1. 1-6(8) 山腹崩壊危険地区の危険度ランク

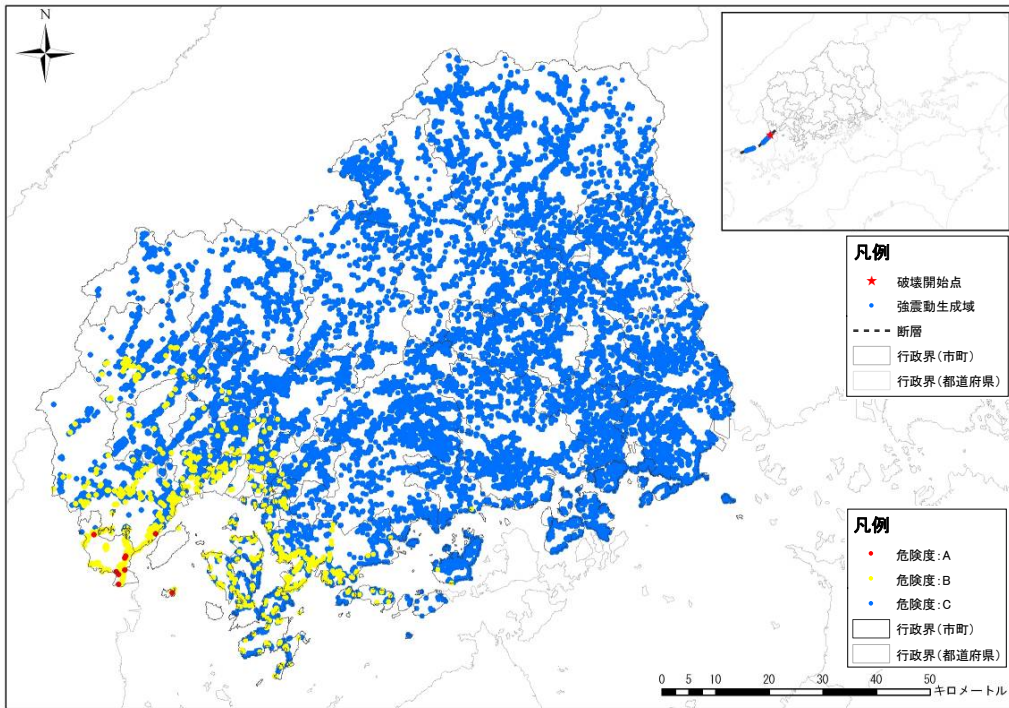


己斐－広島西縁断層帯 (M6.5) の地震 (南から破壊)

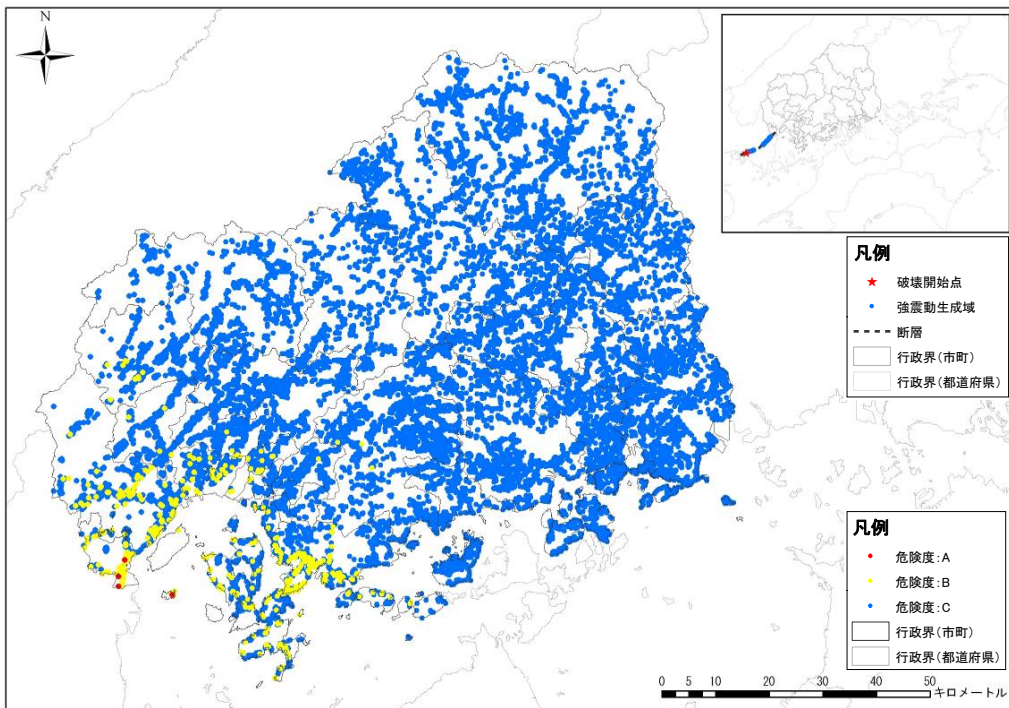


己斐－広島西縁断層帯 (M6.5) の地震 (北から破壊)

図Ⅲ. 1. 1-6 (9) 山腹崩壊危険地区の危険度ランク

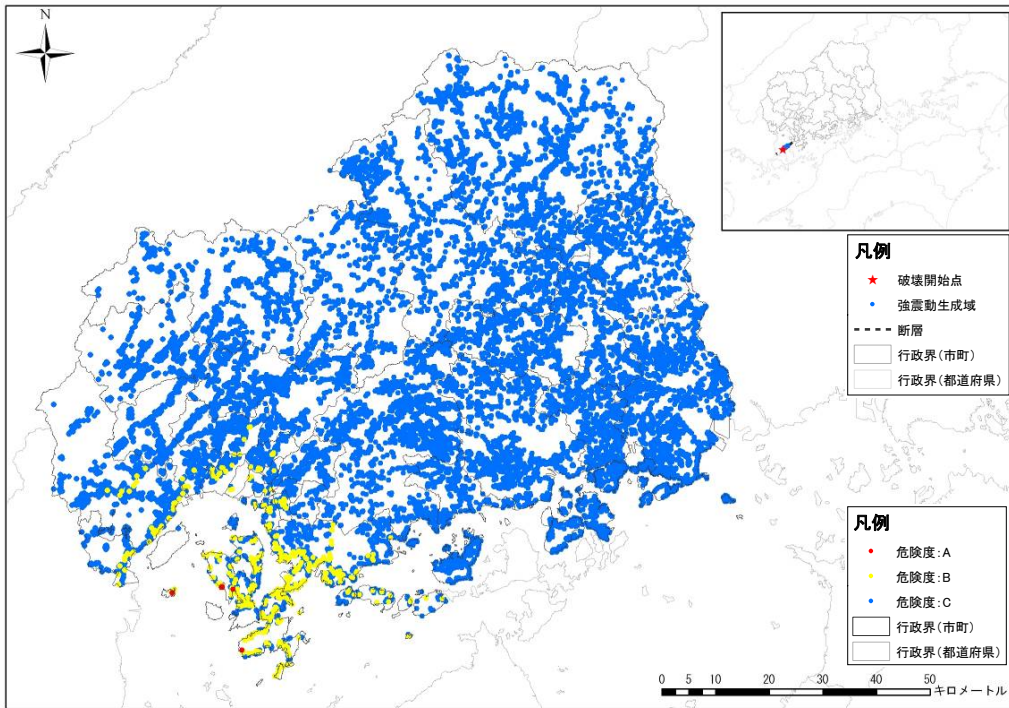


岩国断層帯の地震（東から破壊）

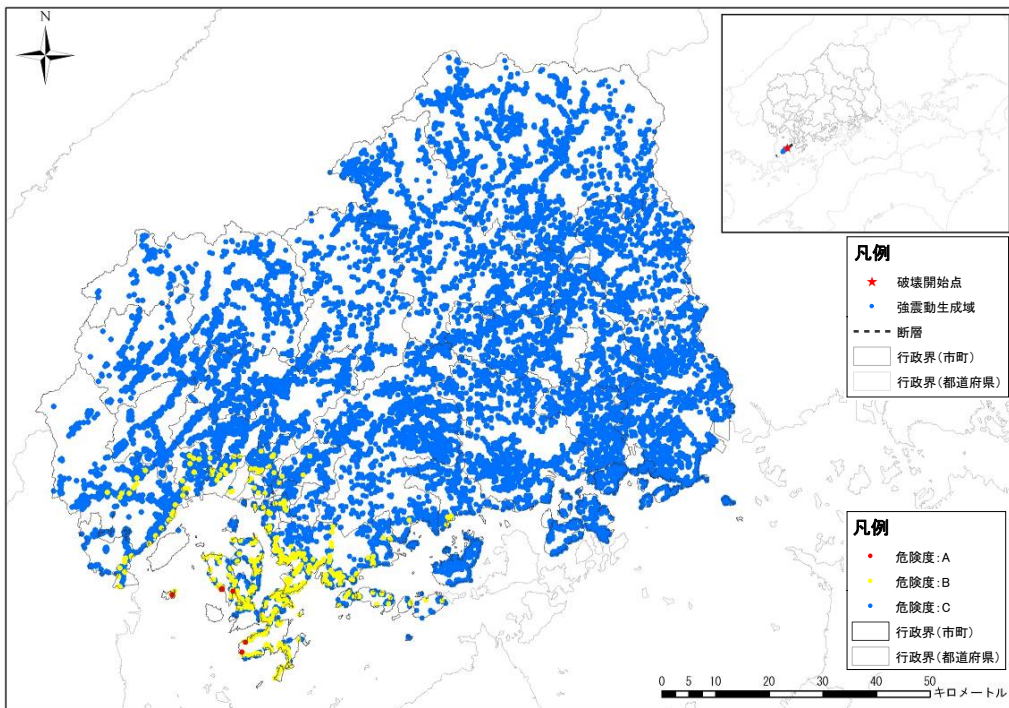


岩国断層帯の地震（西から破壊）

図Ⅲ. 1. 1-6(10) 山腹崩壊危険地区の危険度ランク

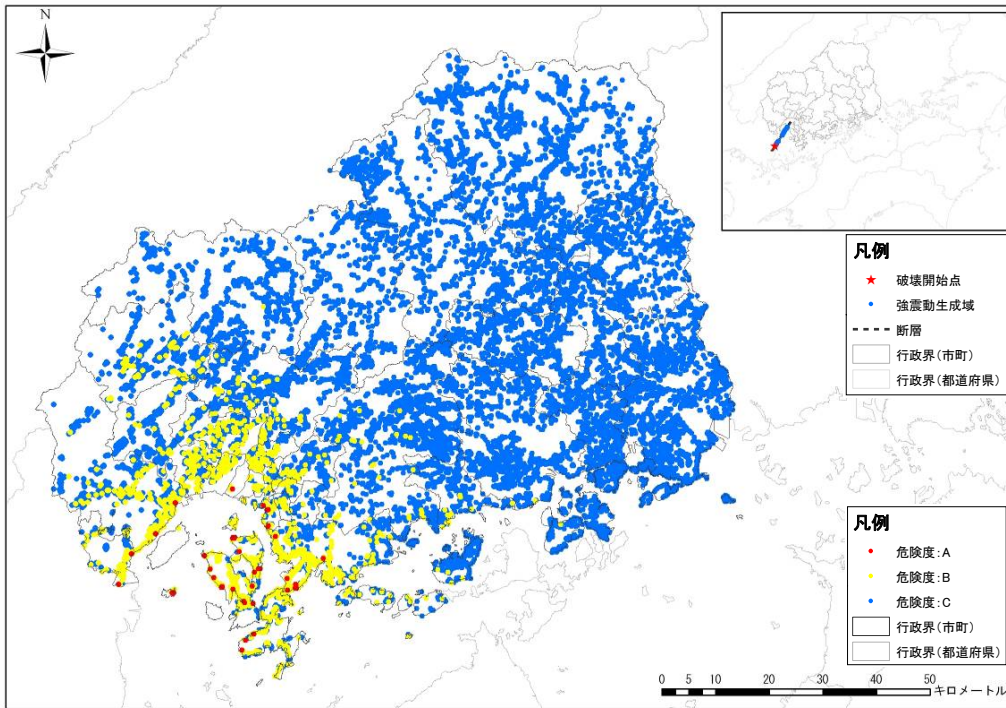


安芸灘断層群（主部）の地震（南から破壊）

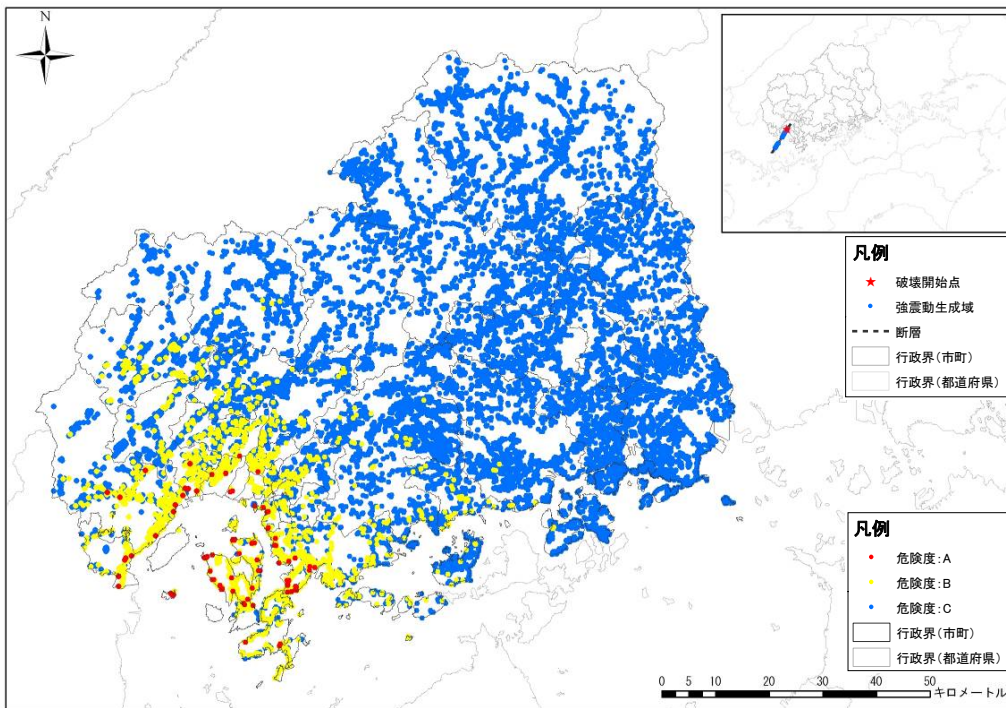


安芸灘断層群（主部）の地震（北から破壊）

図Ⅲ. 1. 1-6(11) 山腹崩壊危険地区の危険度ランク

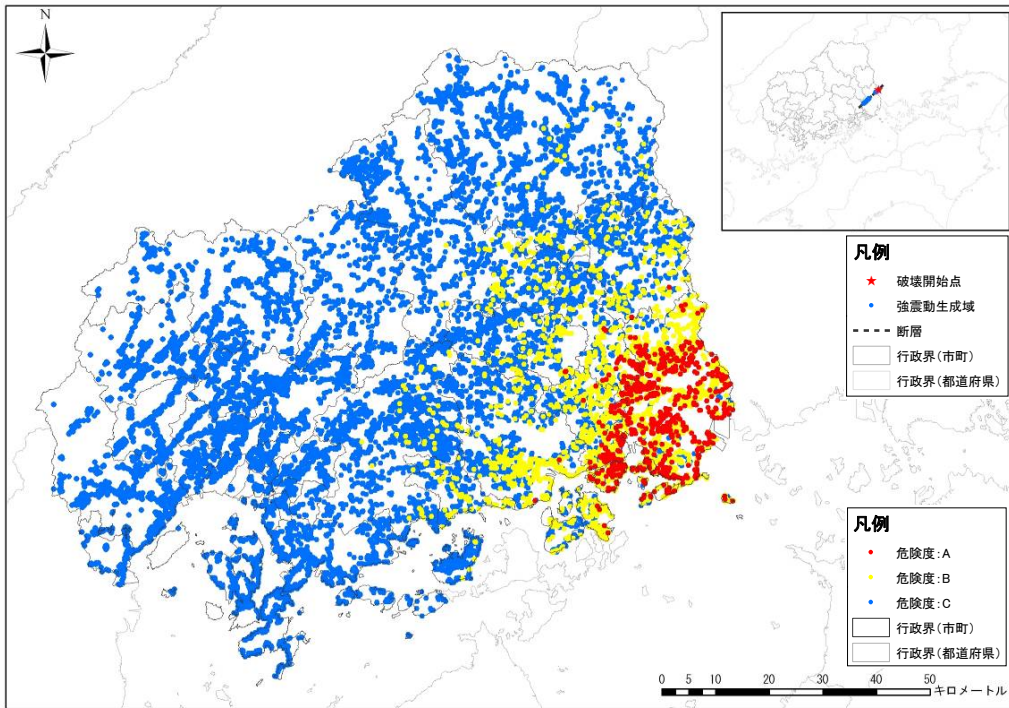


安芸灘断層群（広島湾－岩国沖断層帯）の地震（南から破壊）

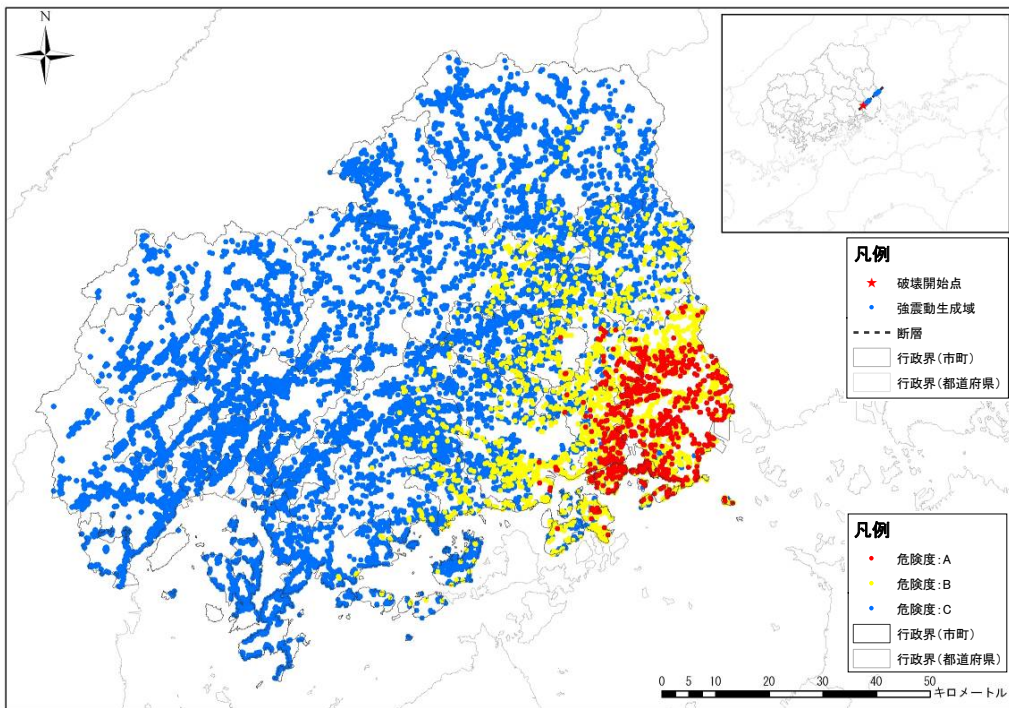


安芸灘断層群（広島湾－岩国沖断層帯）の地震（北から破壊）

図Ⅲ. 1. 1-6(12) 山腹崩壊危険地区の危険度ランク

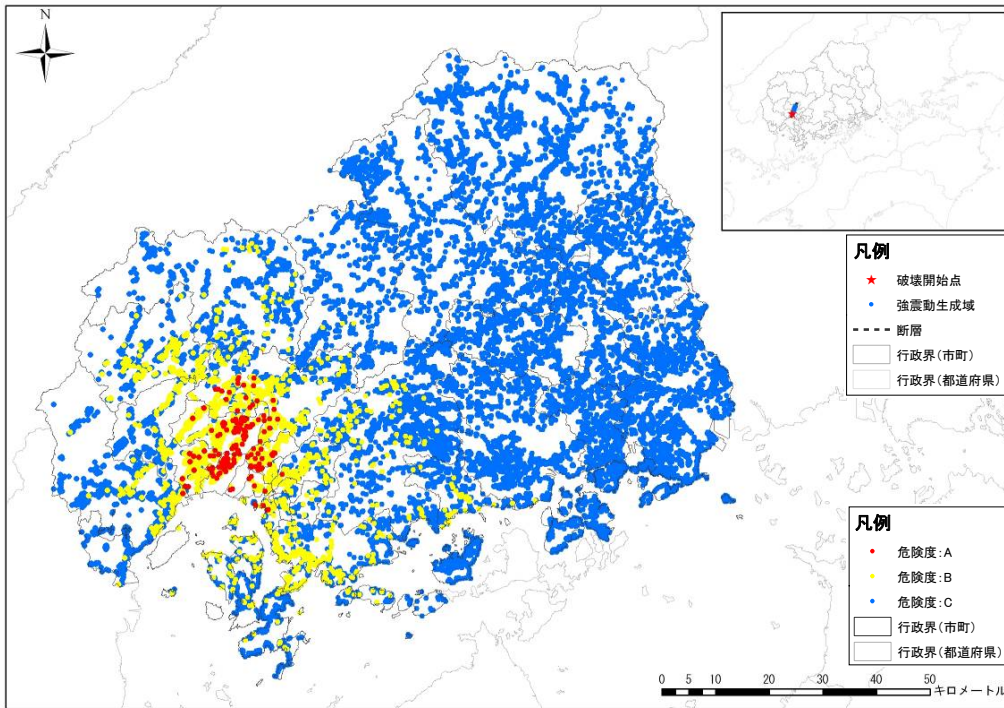


長者ヶ原断層－芳井断層の地震（東から破壊）

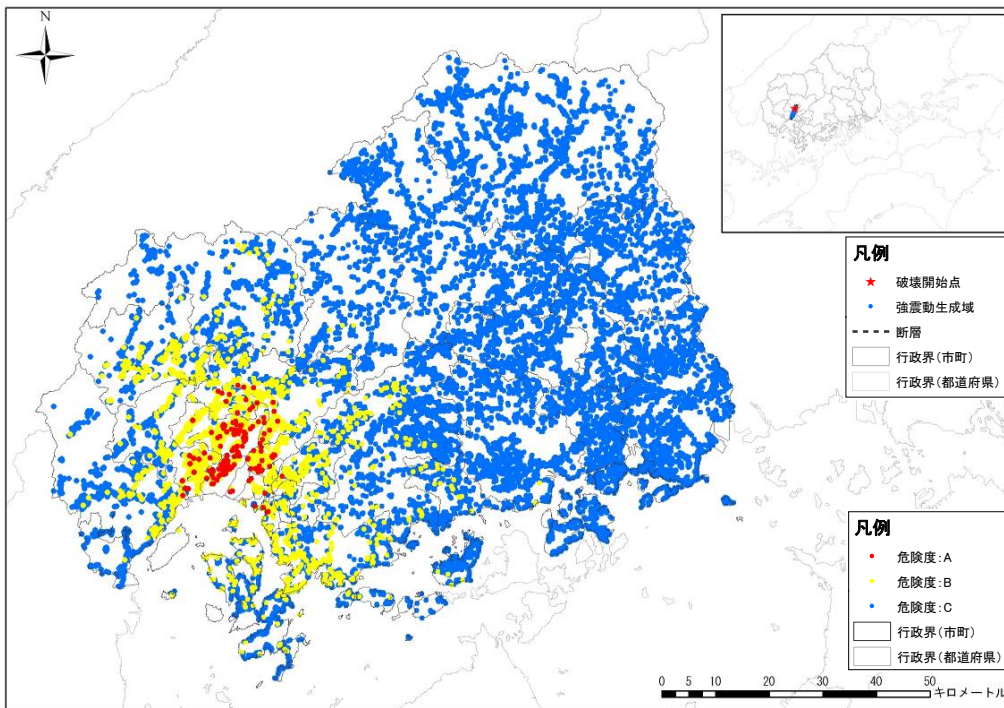


長者ヶ原断層－芳井断層の地震（西から破壊）

図Ⅲ. 1. 1-6(13) 山腹崩壊危険地区の危険度ランク



(参考) 己斐-広島西縁断層帯 (M6.9) の地震 (南から破壊)



(参考) 己斐-広島西縁断層帯 (M6.9) の地震 (北から破壊)

図Ⅲ. 1. 1-6(14) 山腹崩壊危険地区の危険度ランク

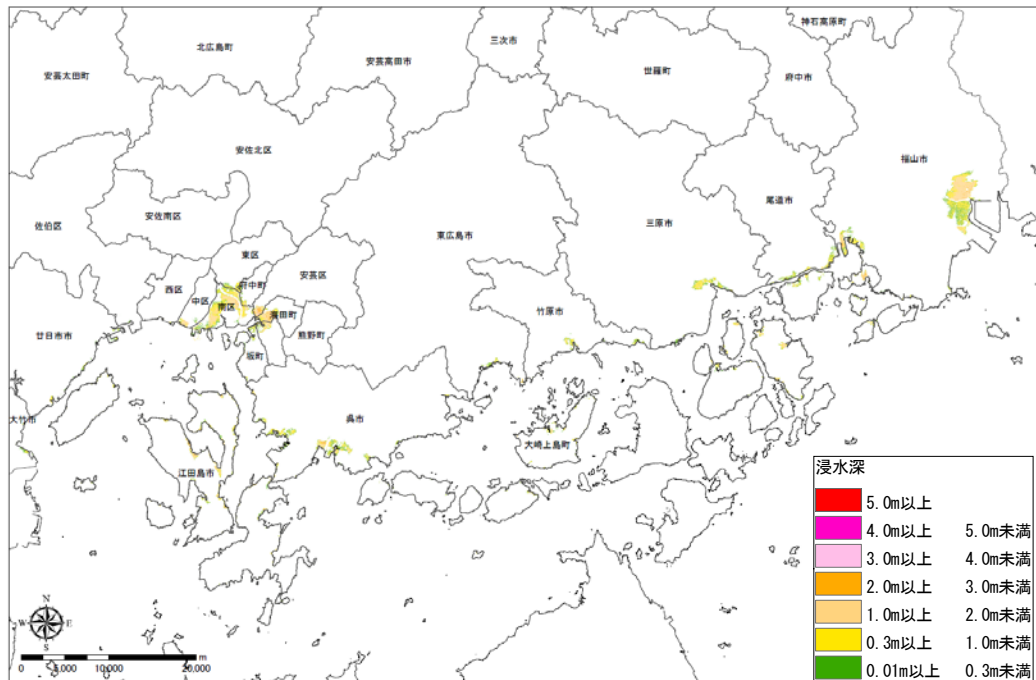
(4) 津波

津波想定結果として，最大浸水深分布図，浸水開始時間分布図(1cm, 30cm)及び最大流速分布図を示す。また，参考までに代表点における水位時系列変化図を示す。

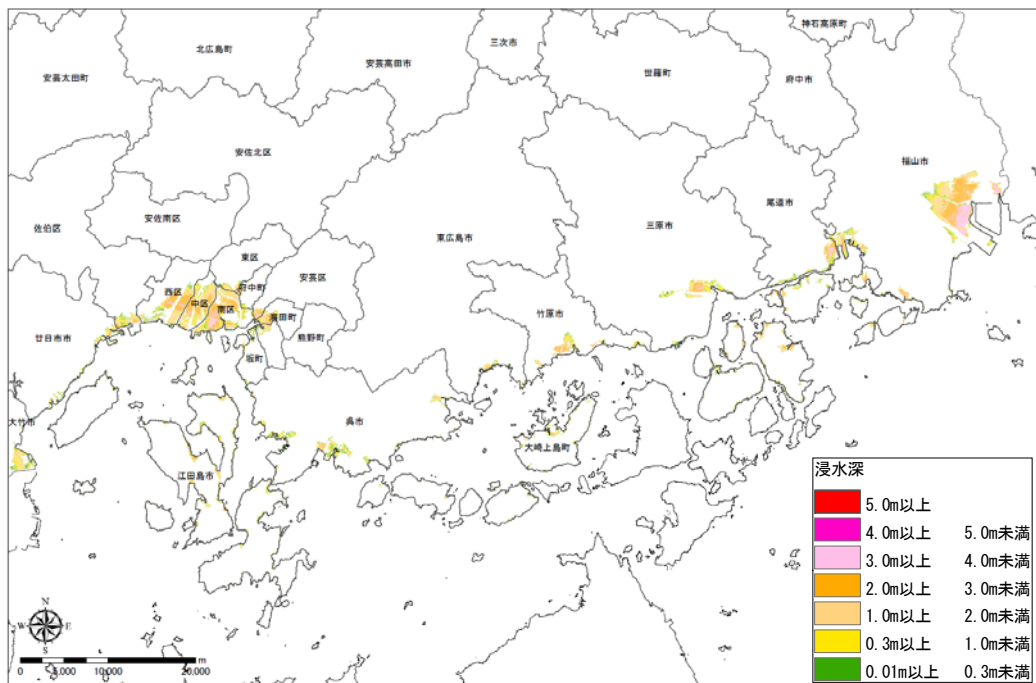
建物被害及び人的被害については，「構造物が機能する場合」と「構造物が機能しない場合」の被害量を按分して算出しているため，建物被害及び人的被害の想定に用いる最大浸水深分布図，浸水開始時間分布図(1cm, 30cm)は，想定地震ごとに2つの場合を掲載する。

最大流速分布図及び水位時系列変化図は，「構造物が機能しない場合」を掲載する。

ア 最大浸水深

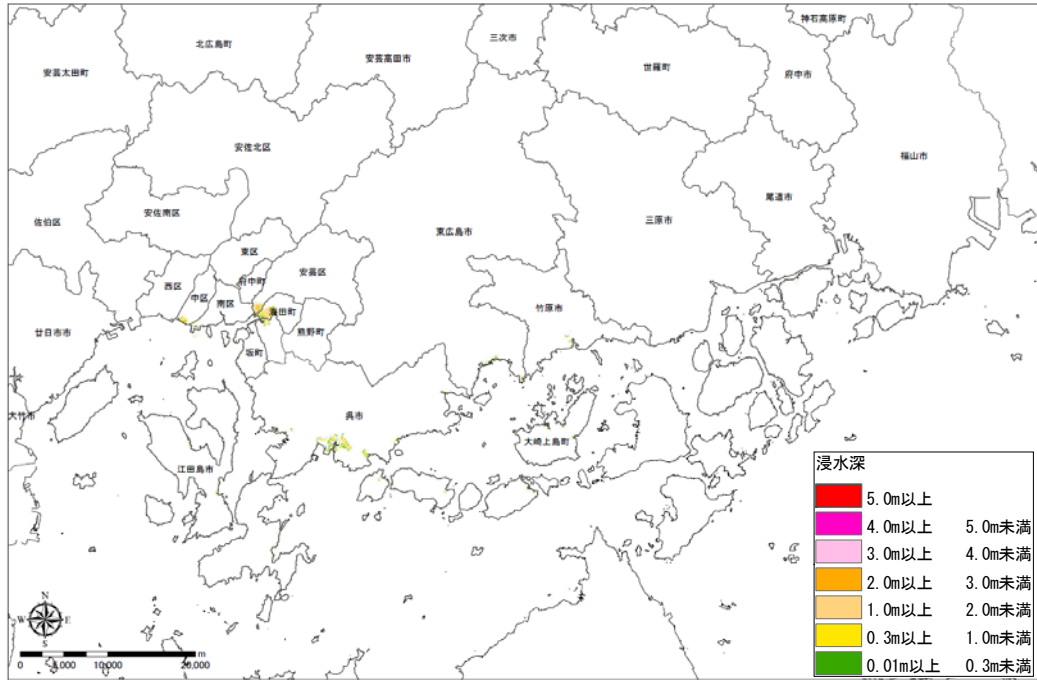


構造物が機能する場合

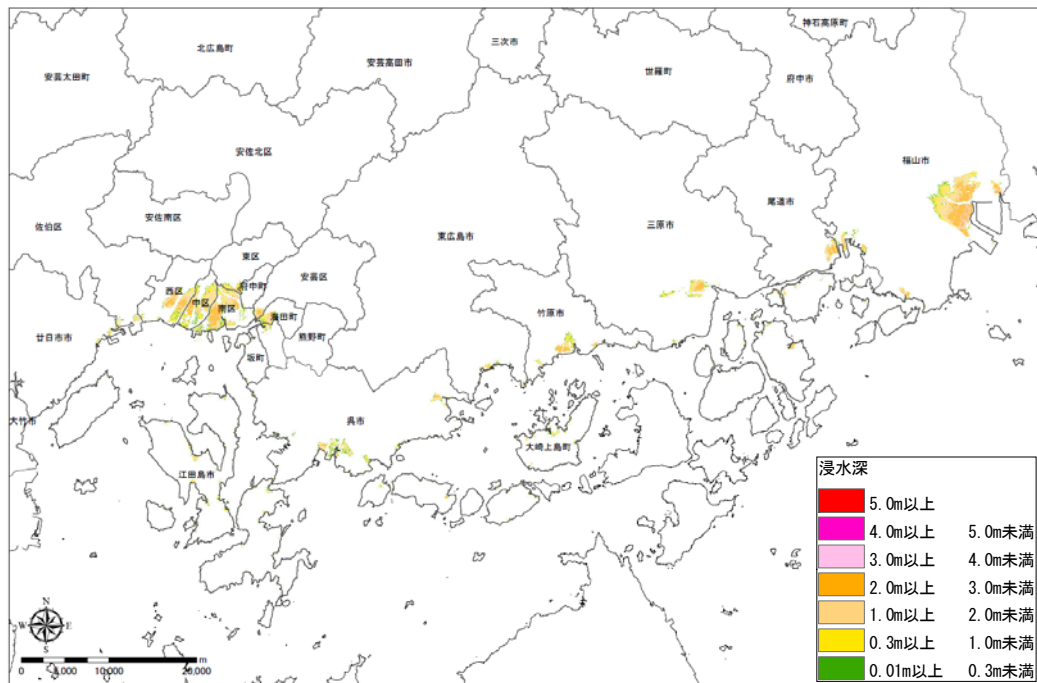


構造物が機能しない場合

図Ⅲ.1.1-7(1) 最大浸水深分布図 南海トラフ巨大地震（ケース1）

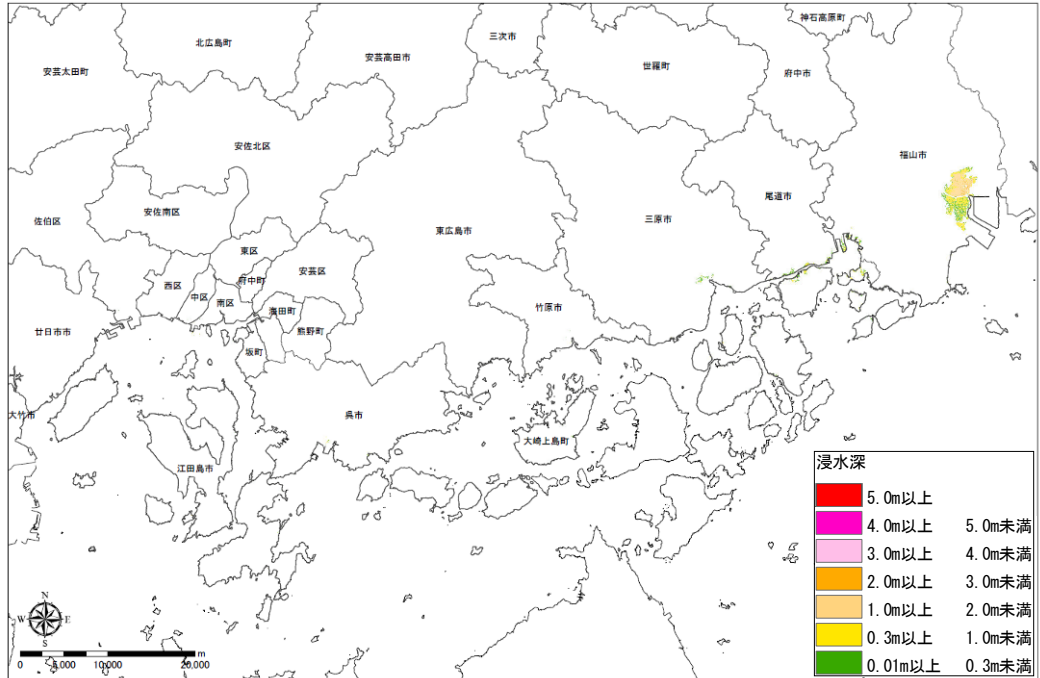


構造物が機能する場合

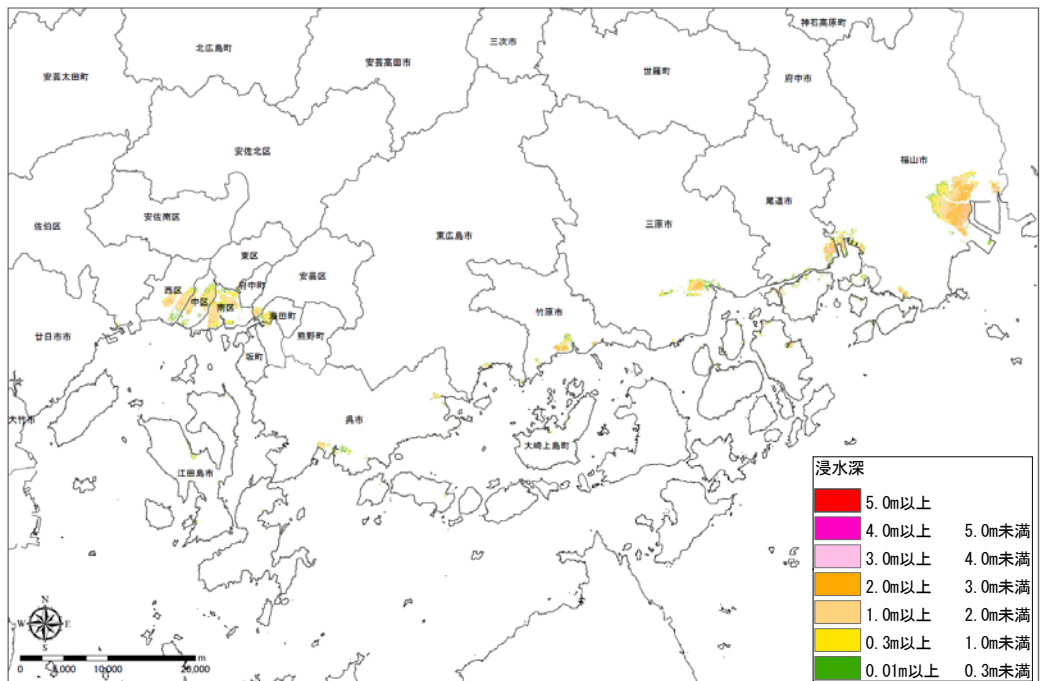


構造物が機能しない場合

図Ⅲ. 1. 1-7(2) 最大浸水深分布図 安芸灘～伊予灘～豊後水道の地震

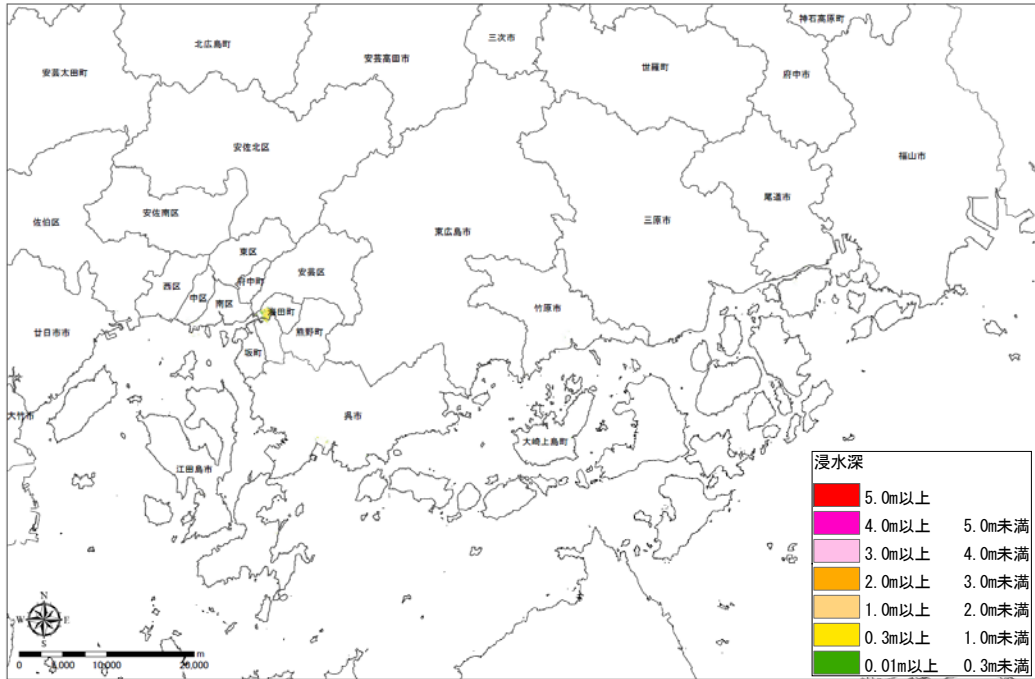


構造物が機能する場合

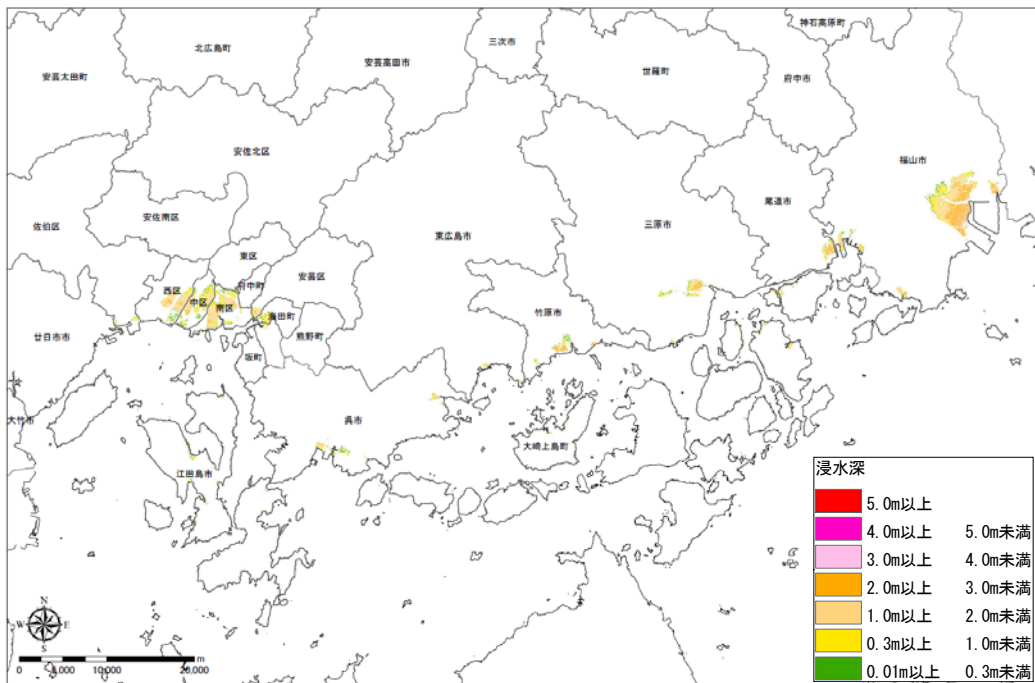


構造物が機能しない場合

図Ⅲ. 1. 1-7(3) 最大浸水深分布図 讃岐山脈南縁―石鎚山脈北縁東部の地震

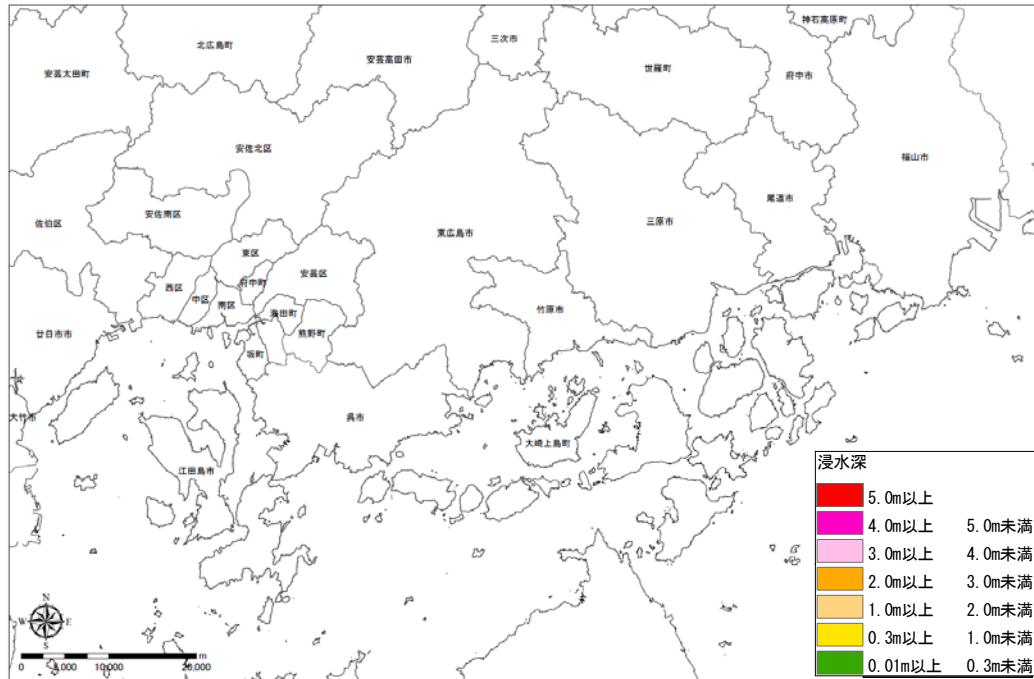


構造物が機能する場合

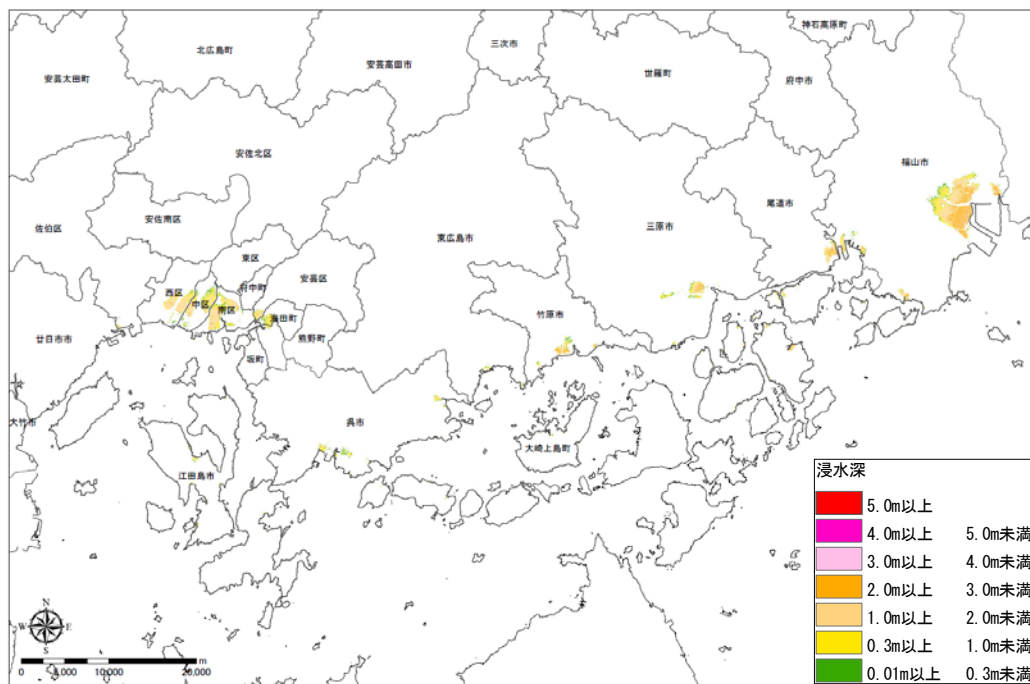


構造物が機能しない場合

図Ⅲ.1.1-7(4) 最大浸水深分布図 石鎚山脈北縁西部－伊予灘の地震

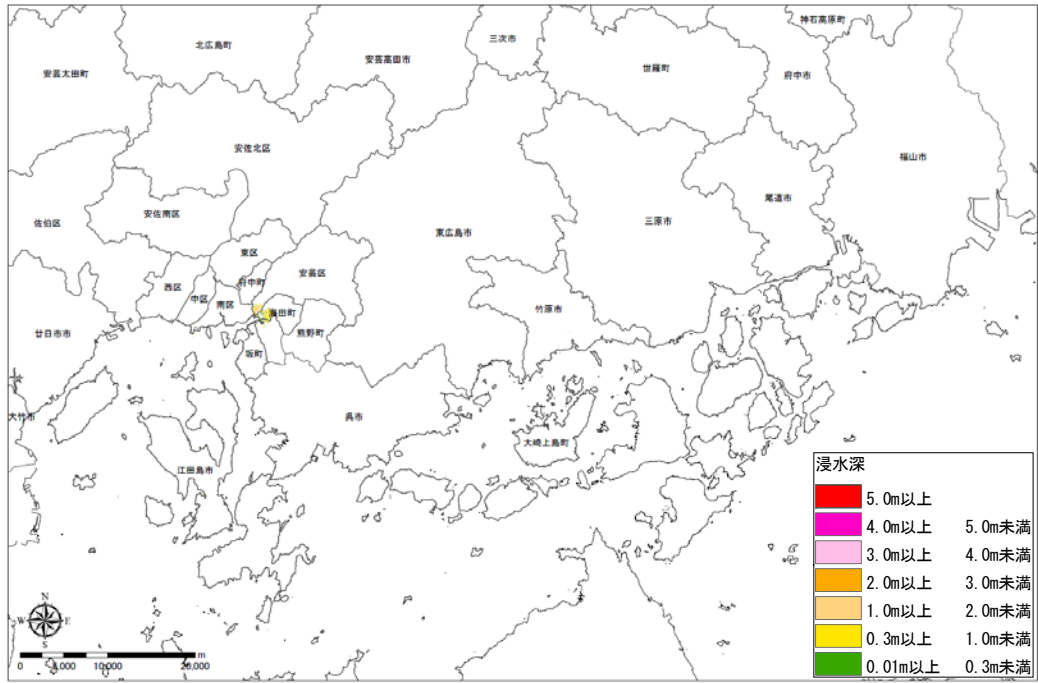


構造物が機能する場合

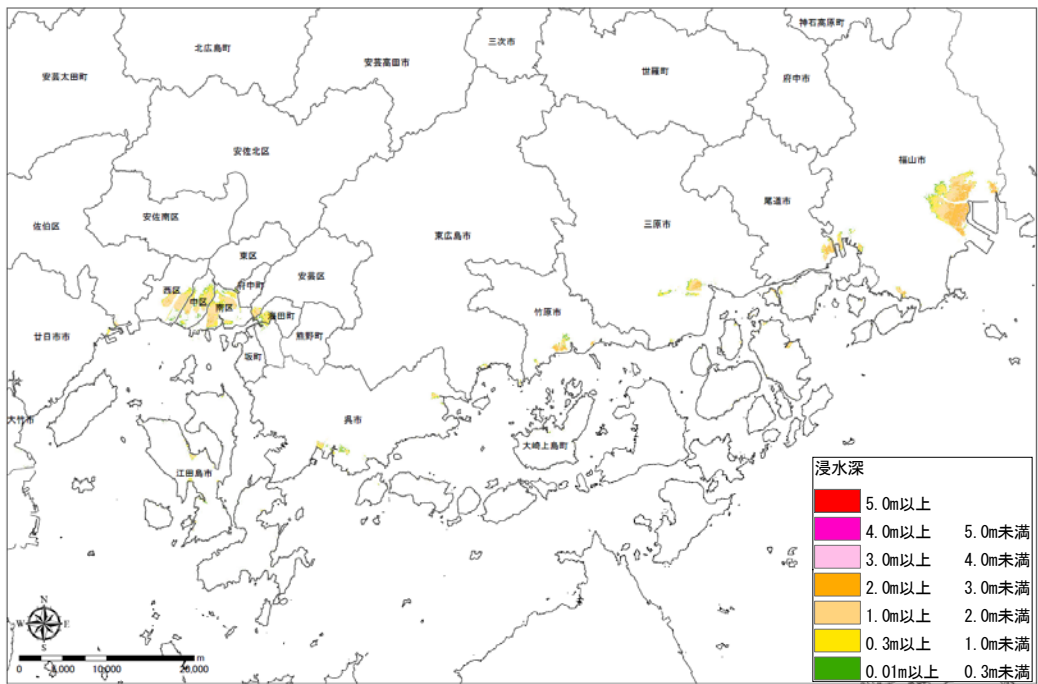


構造物が機能しない場合

図Ⅲ.1.1-7(5) 最大浸水深分布図 安芸灘断層群（主部）の地震



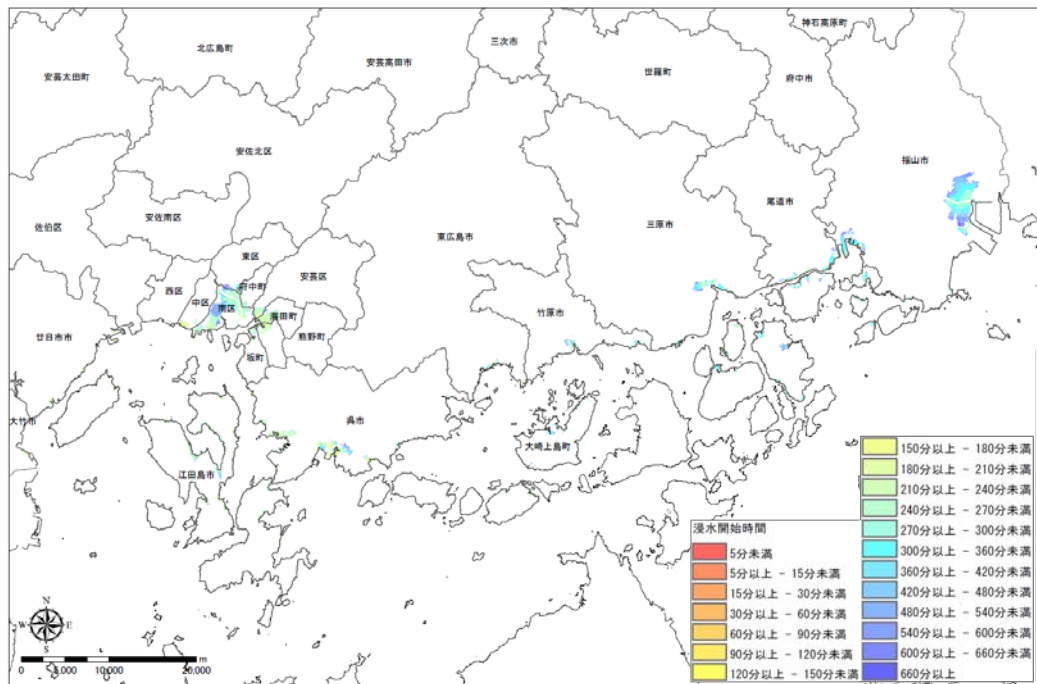
構造物が機能する場合



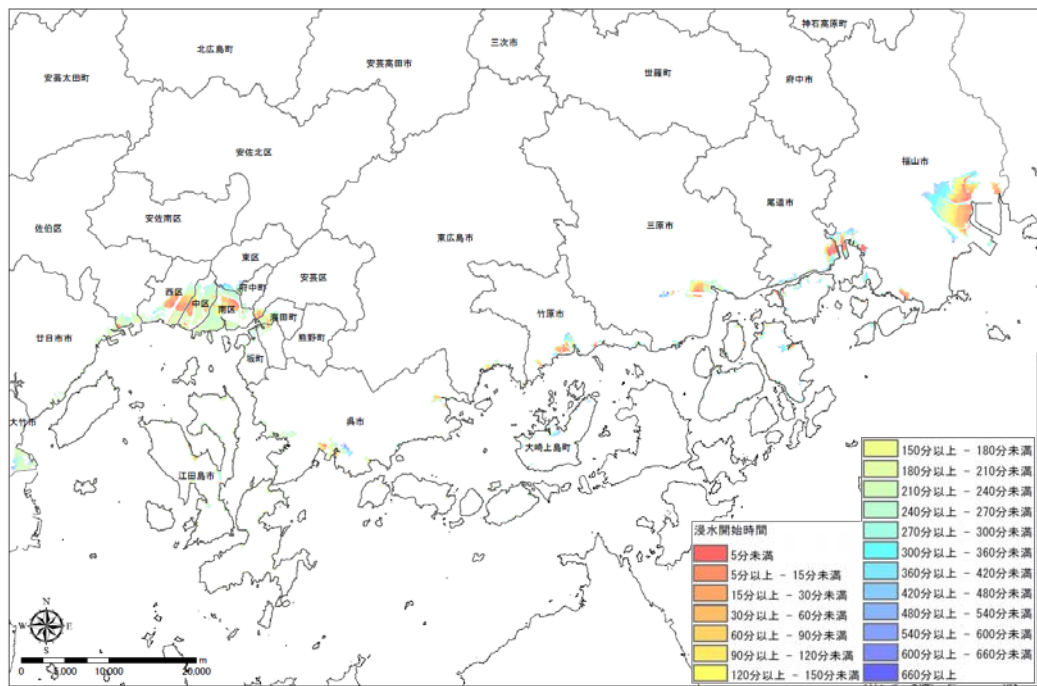
構造物が機能しない場合

図Ⅲ.1.1-7(6) 最大浸水深分布図 安芸灘断層群（広島湾一岩国冲断層帯）の地震

イ 浸水開始時間(1cm)

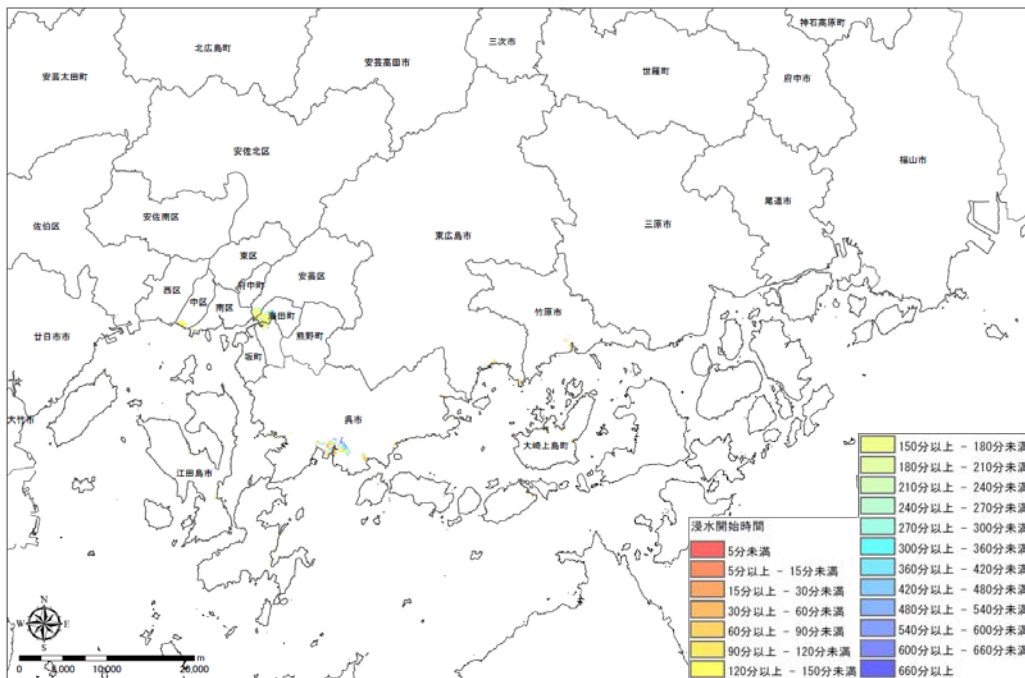


構造物が機能する場合

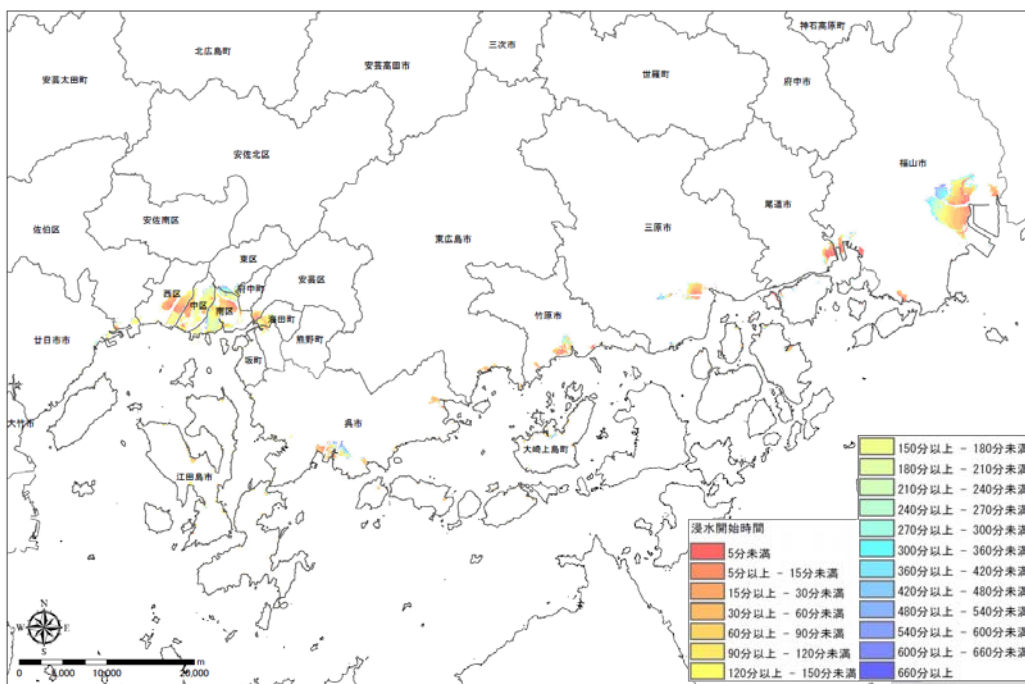


構造物が機能しない場合

図Ⅲ. 1. 1-8(1) 浸水開始時間分布図 (1cm) 南海トラフ巨大地震 (ケース 1)

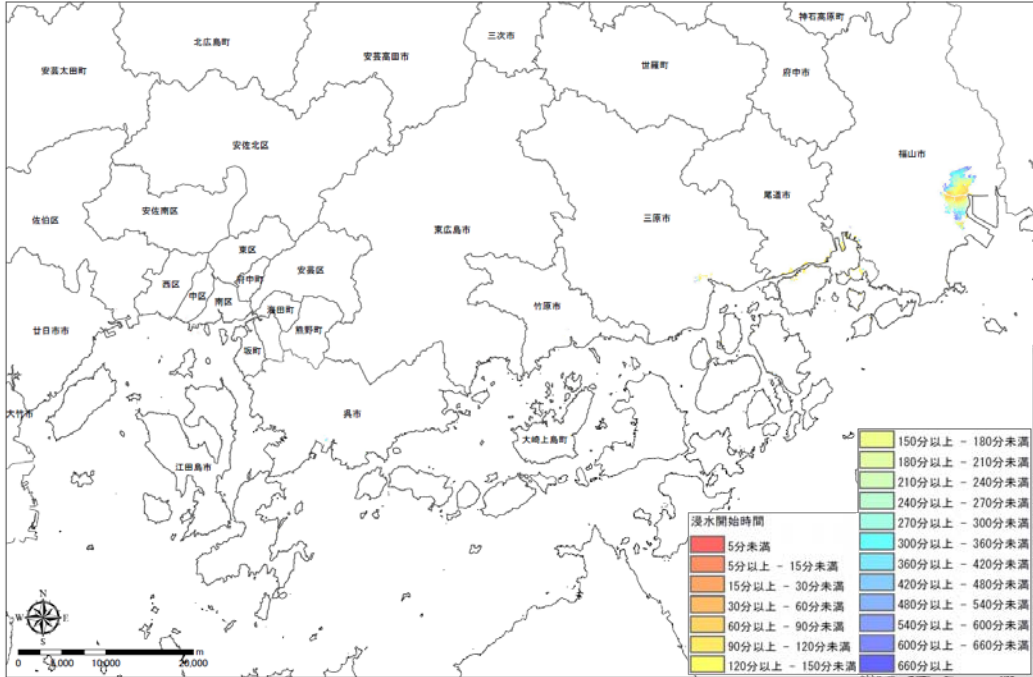


構造物が機能する場合

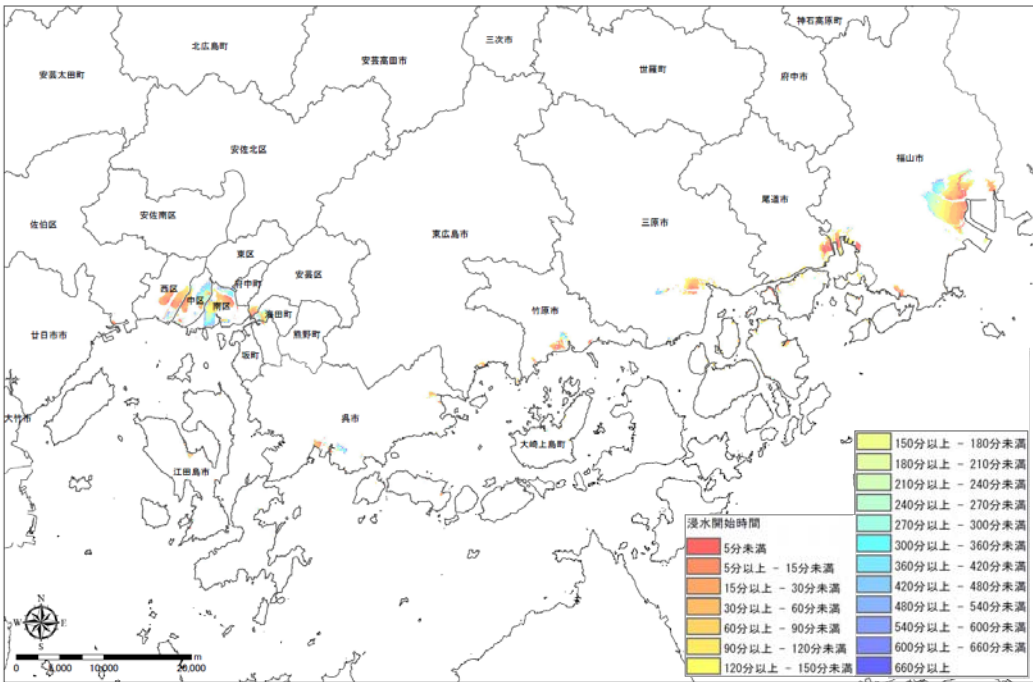


構造物が機能しない場合

図Ⅲ. 1. 1-8(2) 浸水開始時間分布図 (1cm) 安芸灘～伊予灘～豊後水道の地震

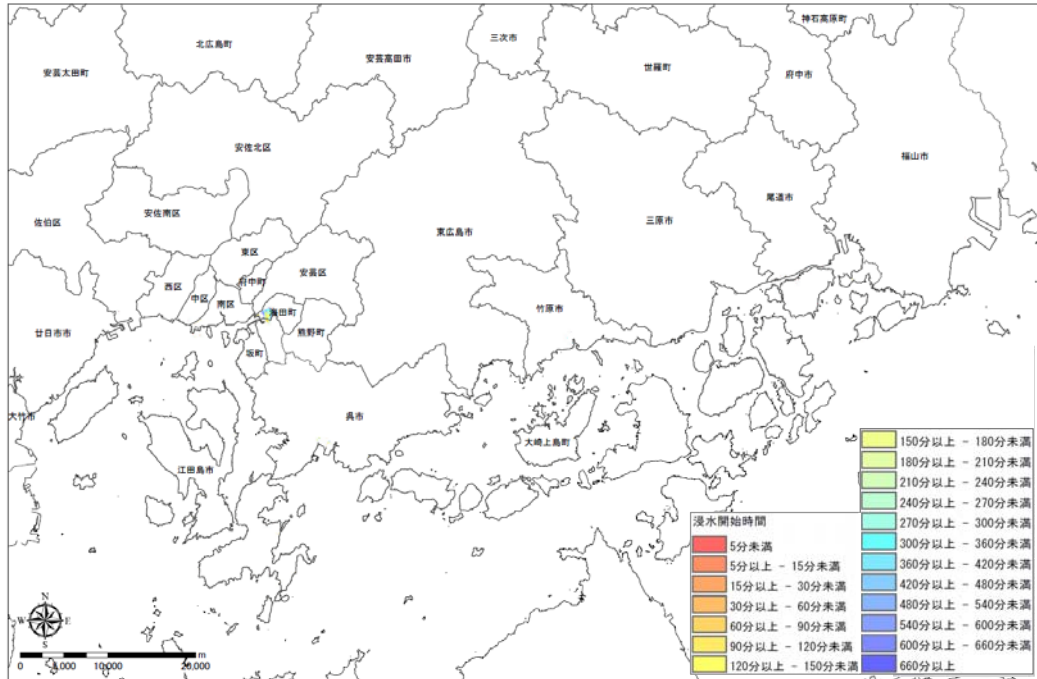


構造物が機能する場合

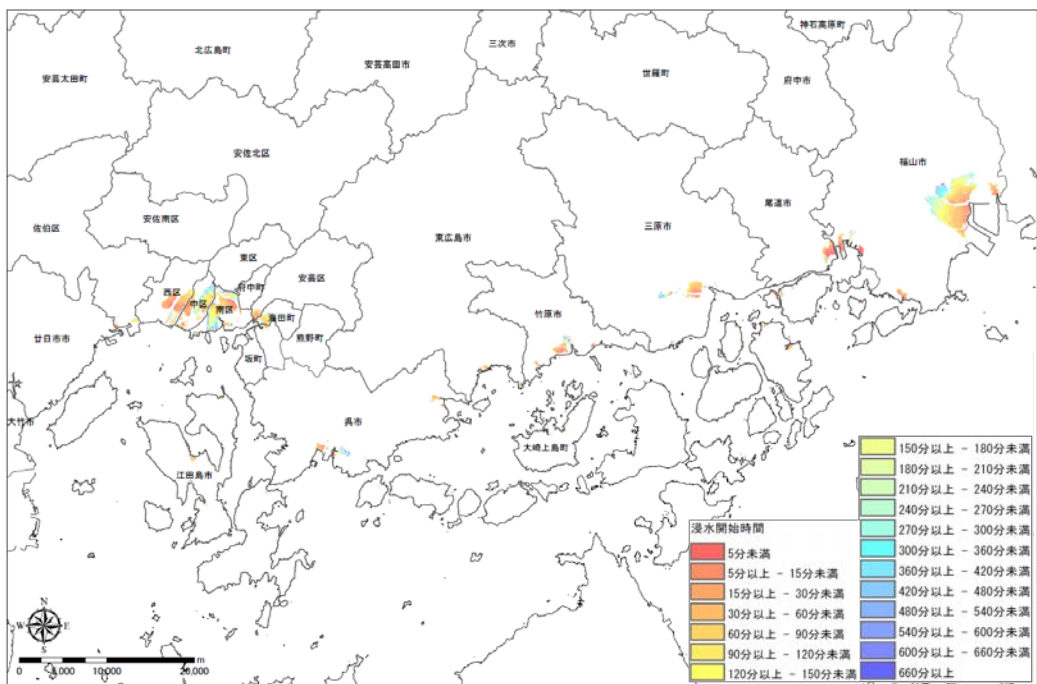


構造物が機能しない場合

図Ⅲ. 1. 1-8(3) 浸水開始時間分布図 (1cm) 讃岐山脈南縁-石鎚山脈北縁東部の地震

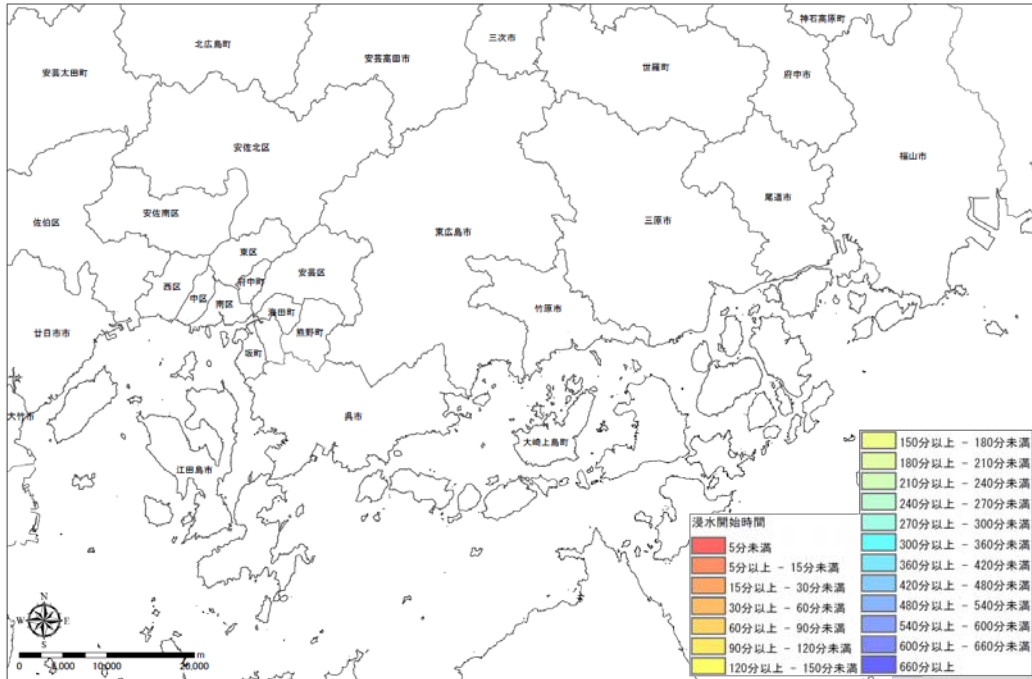


構造物が機能する場合

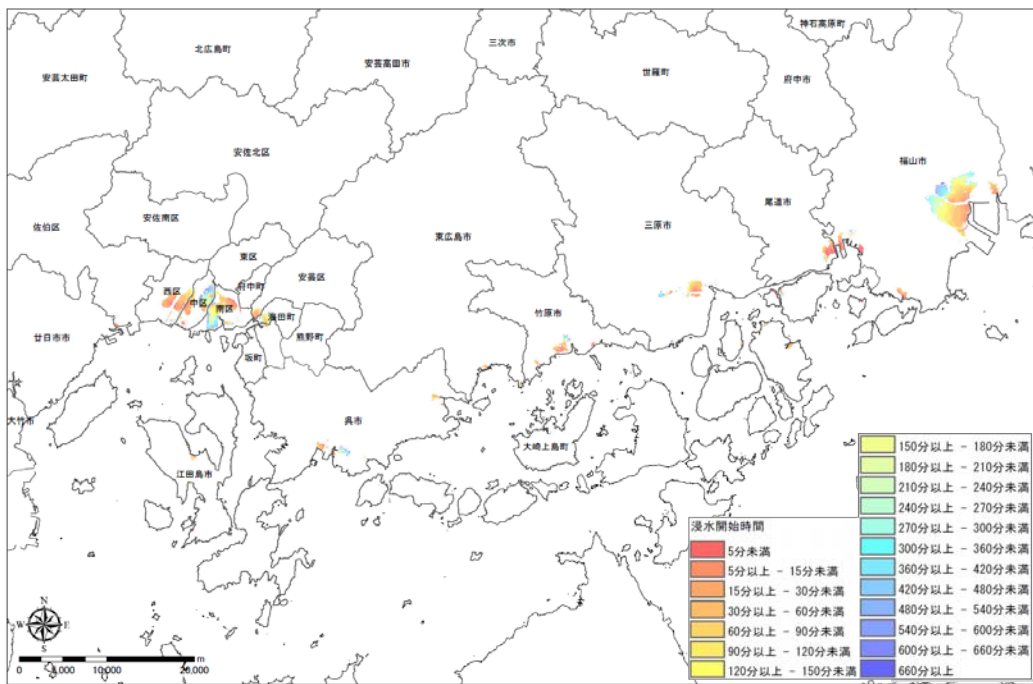


構造物が機能しない場合

図Ⅲ. 1. 1-8(4) 浸水開始時間分布図 (1cm) 石鎚山脈北縁西部-伊予灘の地震

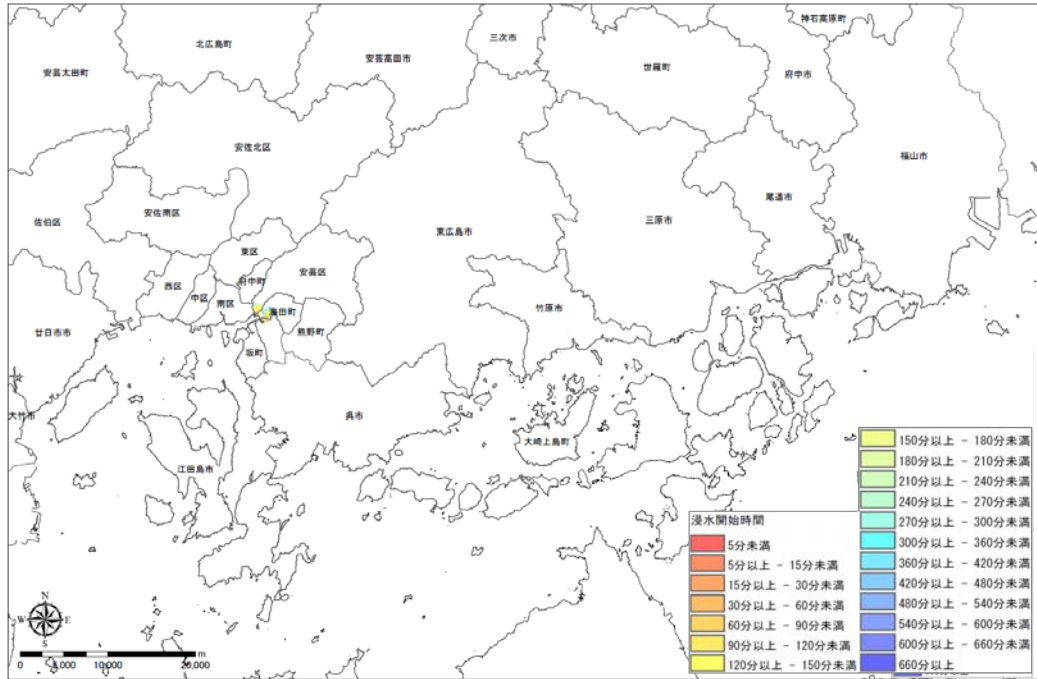


構造物が機能する場合

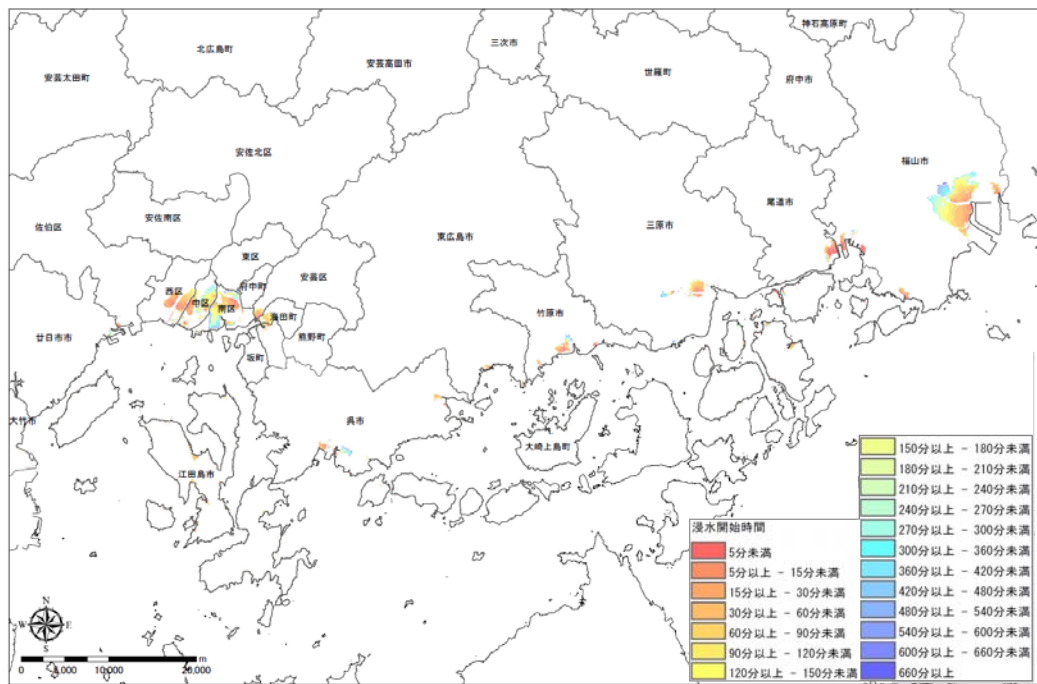


構造物が機能しない場合

図Ⅲ. 1. 1-8(5) 浸水開始時間分布図 (1cm) 安芸灘断層群 (主部) の地震



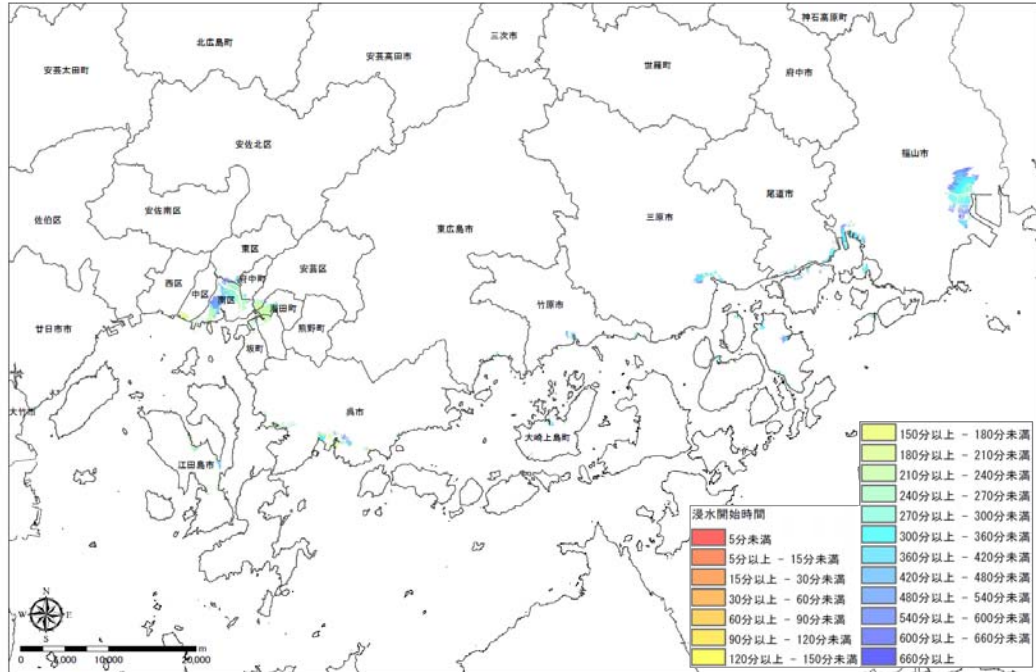
構造物が機能する場合



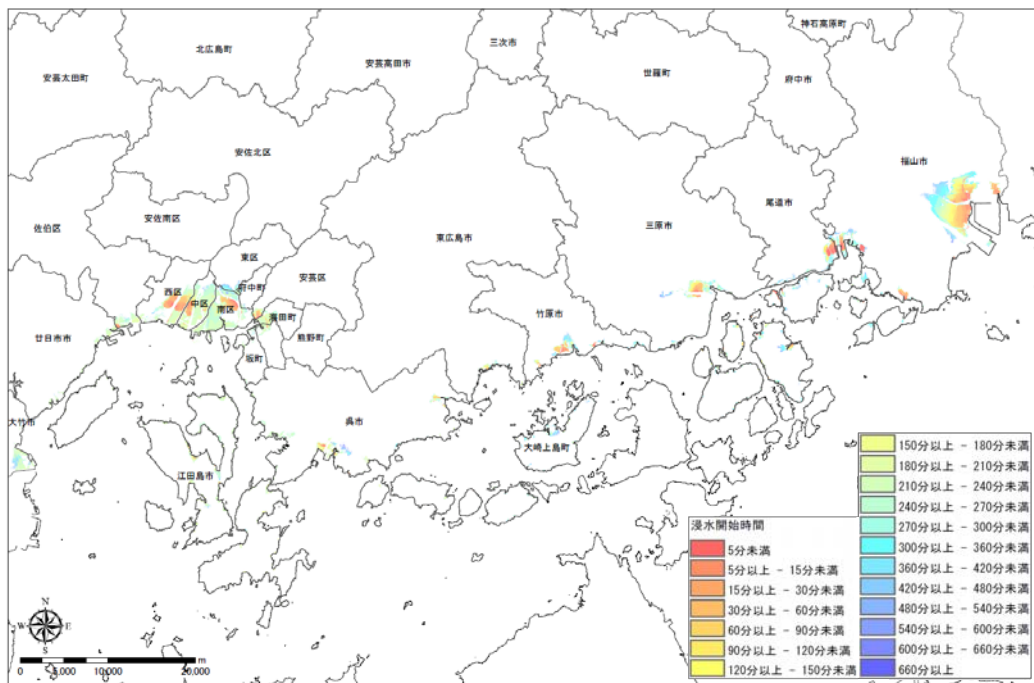
構造物が機能しない場合

図Ⅲ. 1. 1-8(6) 浸水開始時間分布図 (1cm) 安芸灘断層群 (広島湾-岩国沖断層帯) の地震

ウ 浸水開始時間 (30cm)

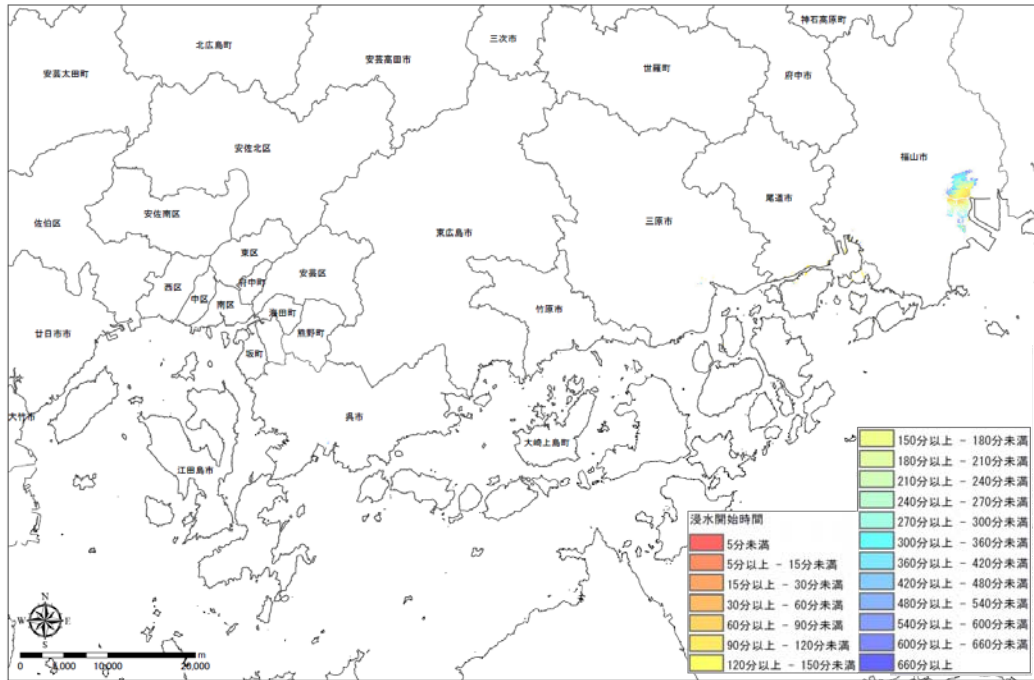


構造物が機能する場合

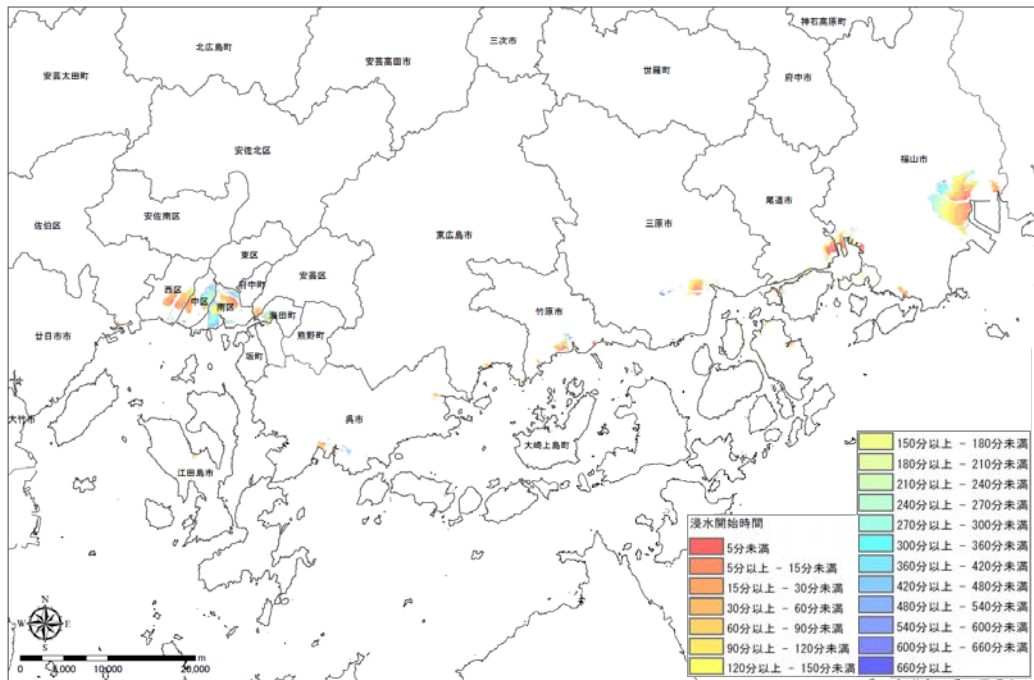


構造物が機能しない場合

図Ⅲ.1.1-9(1) 浸水開始時間分布図 (30cm) 南海トラフ巨大地震 (ケース1)

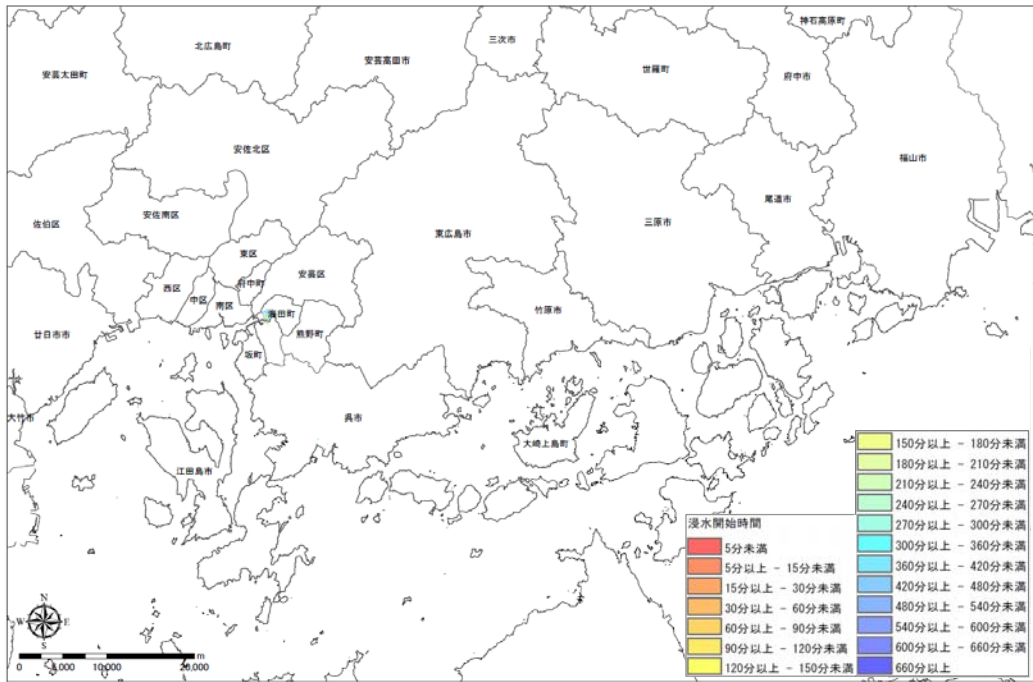


構造物が機能する場合

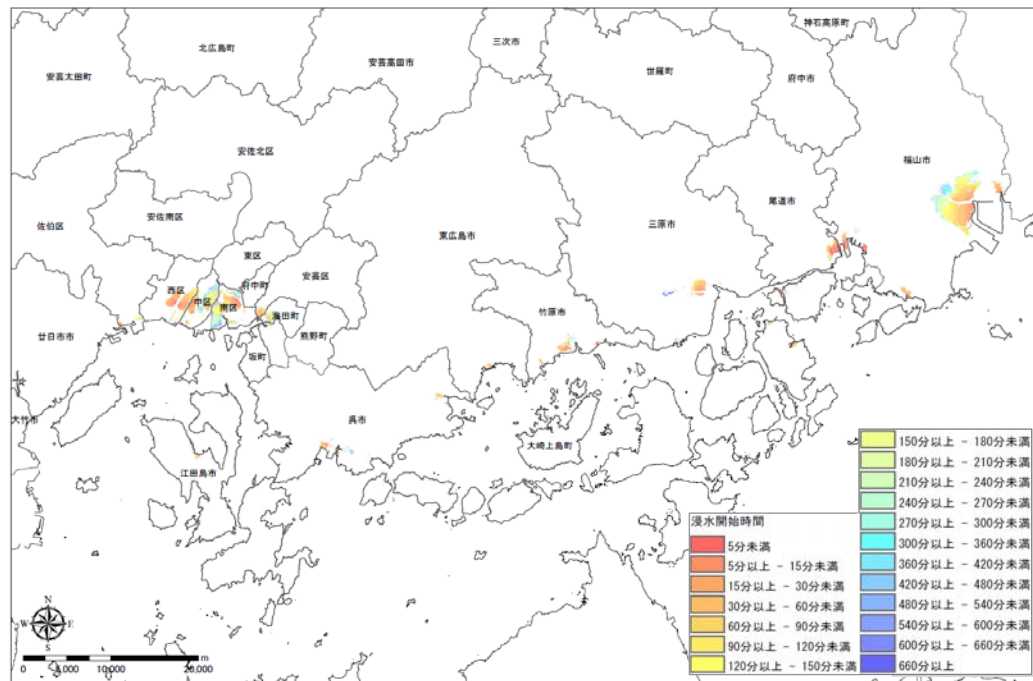


構造物が機能しない場合

図Ⅲ. 1. 1-9(3) 浸水開始時間分布図 (30cm) 讃岐山脈南縁-石鎚山脈北縁東部の地震

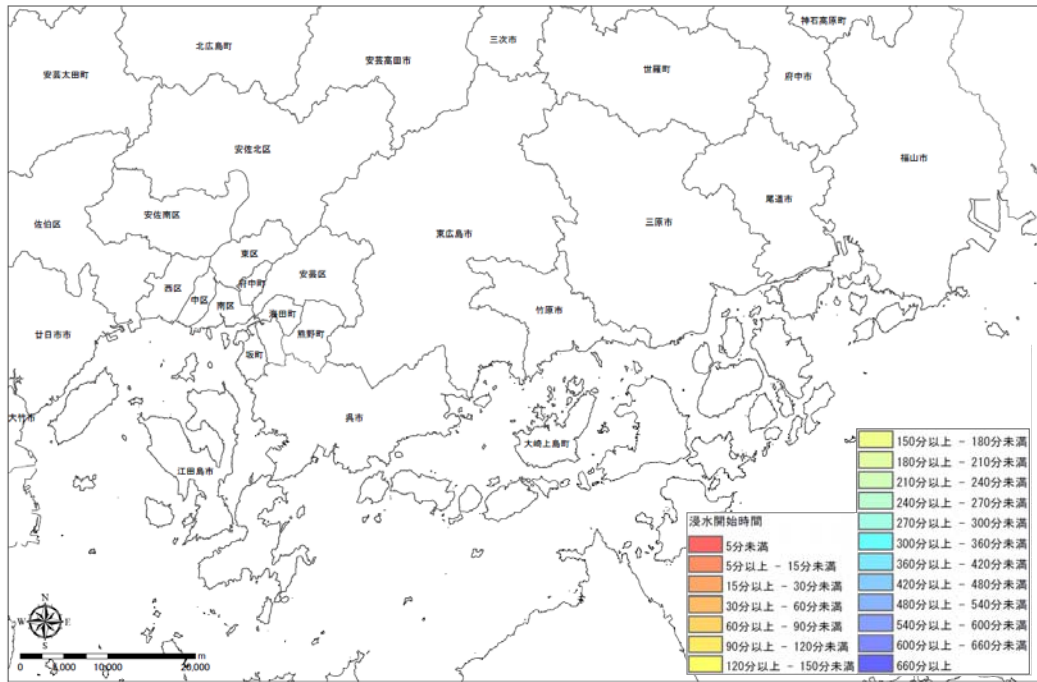


構造物が機能する場合

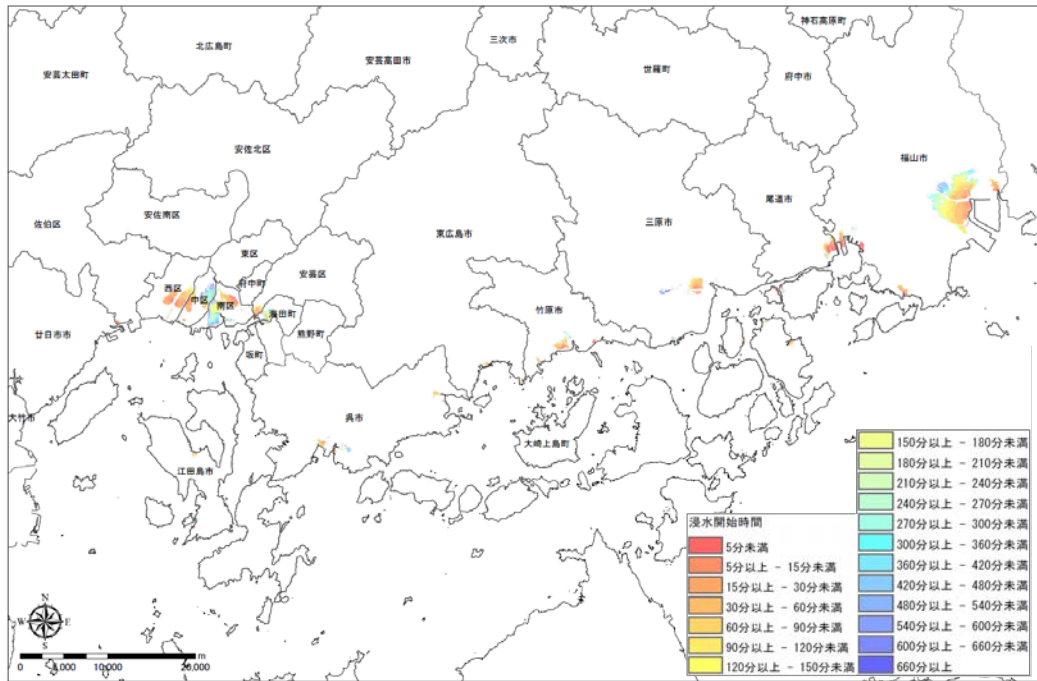


構造物が機能しない場合

図Ⅲ. 1. 1-9(4) 浸水開始時間分布図 (30cm) 石鎚山脈北縁西部-伊予灘の地震

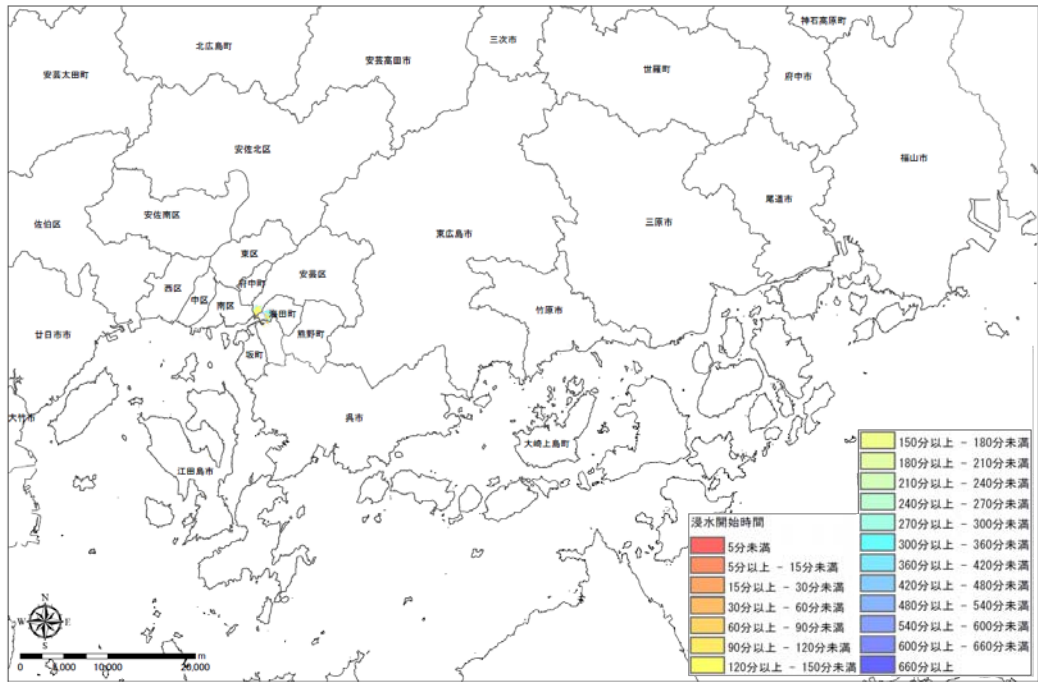


構造物が機能する場合

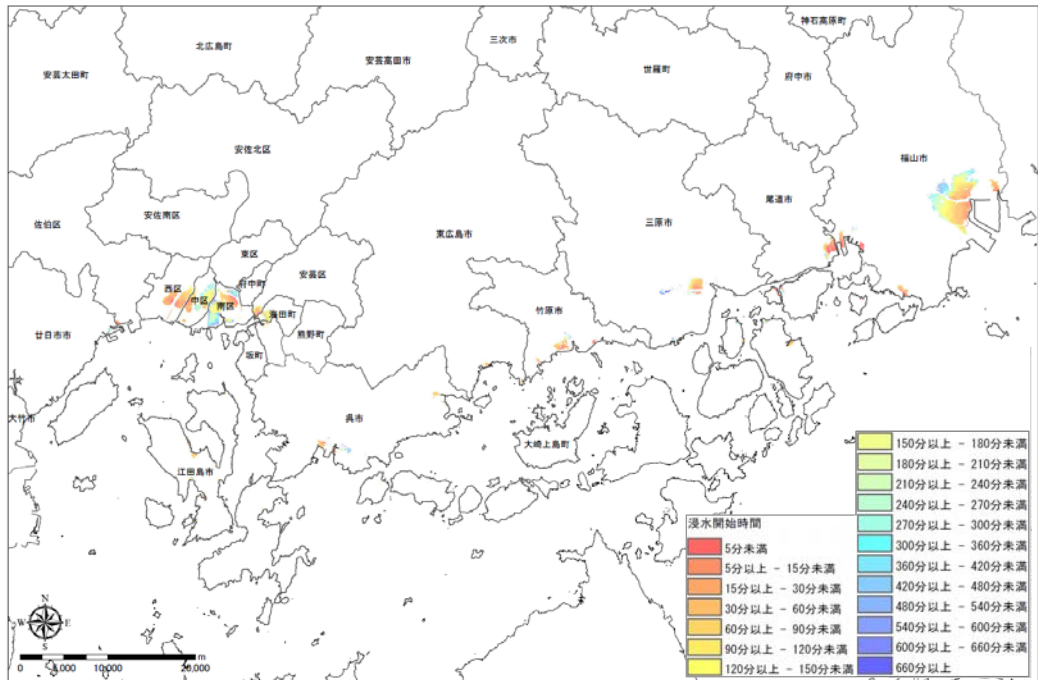


構造物が機能しない場合

図Ⅲ.1.1-9(5) 浸水開始時間分布図 (30cm) 安芸灘断層群 (主部) の地震



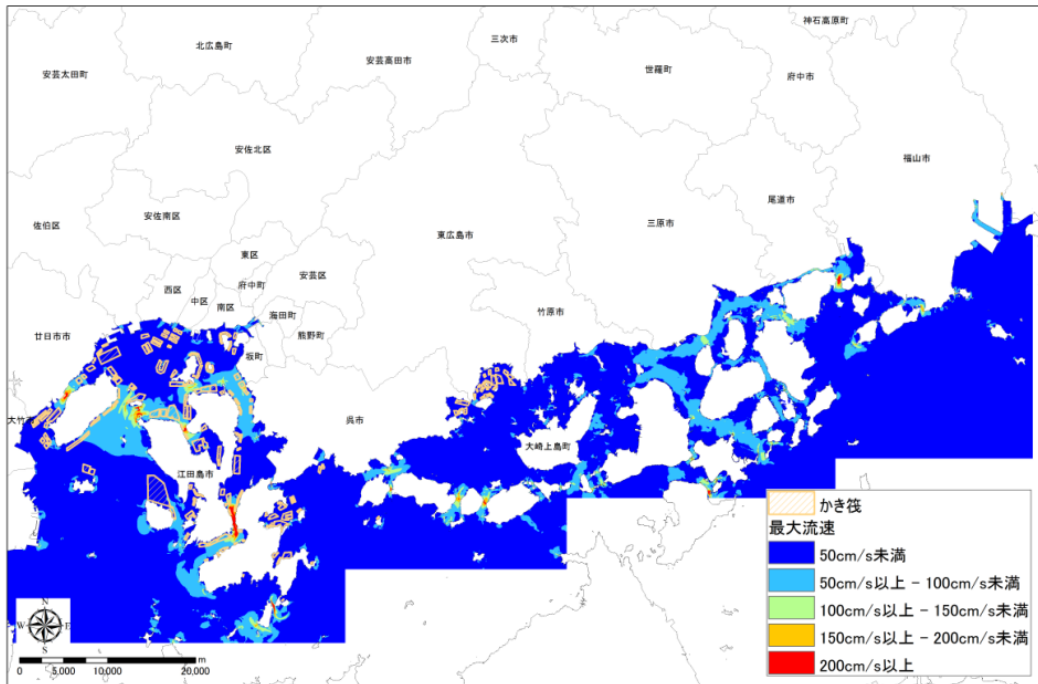
構造物が機能する場合



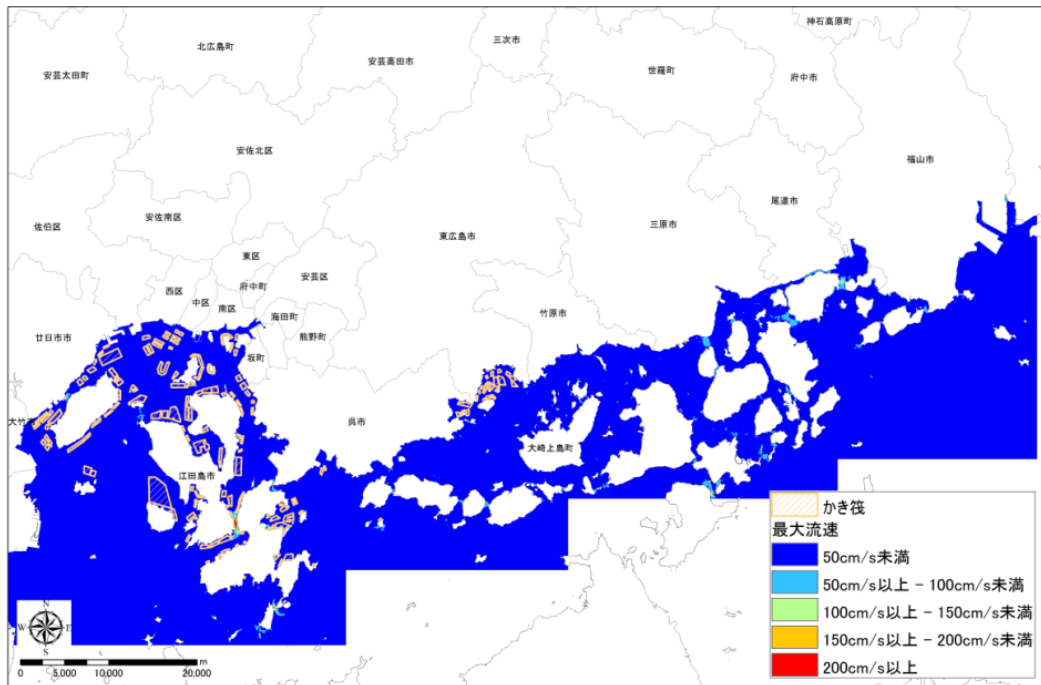
構造物が機能しない場合

図Ⅲ.1.1-9(6) 浸水開始時間分布図 (30cm) 安芸灘断層群 (広島湾-岩国沖断層帯) の地震

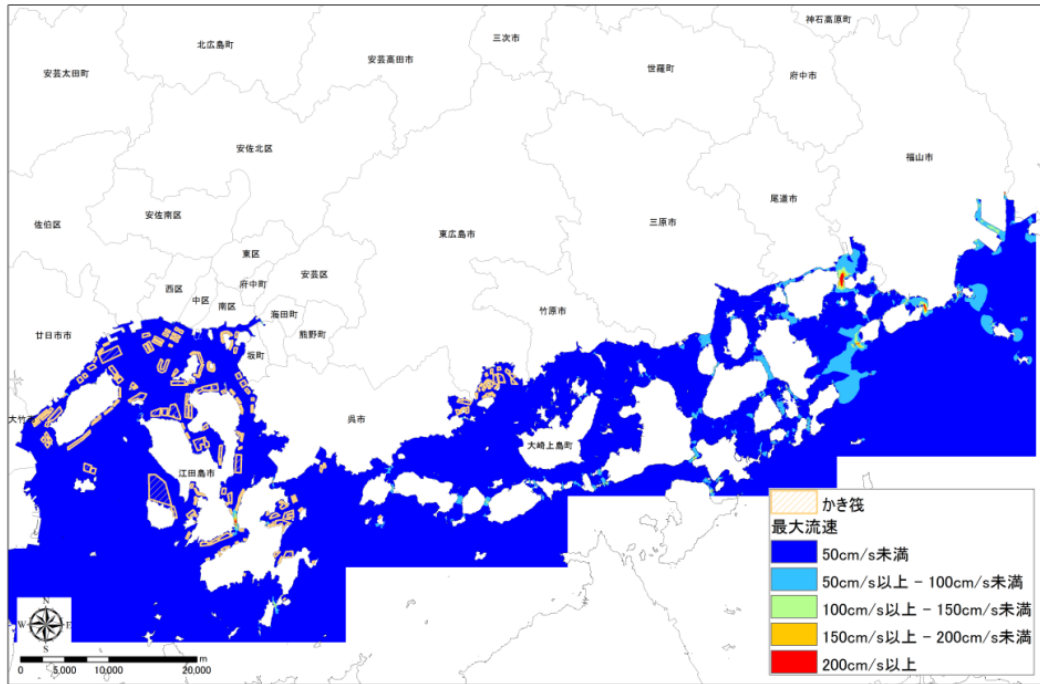
エ 最大流速



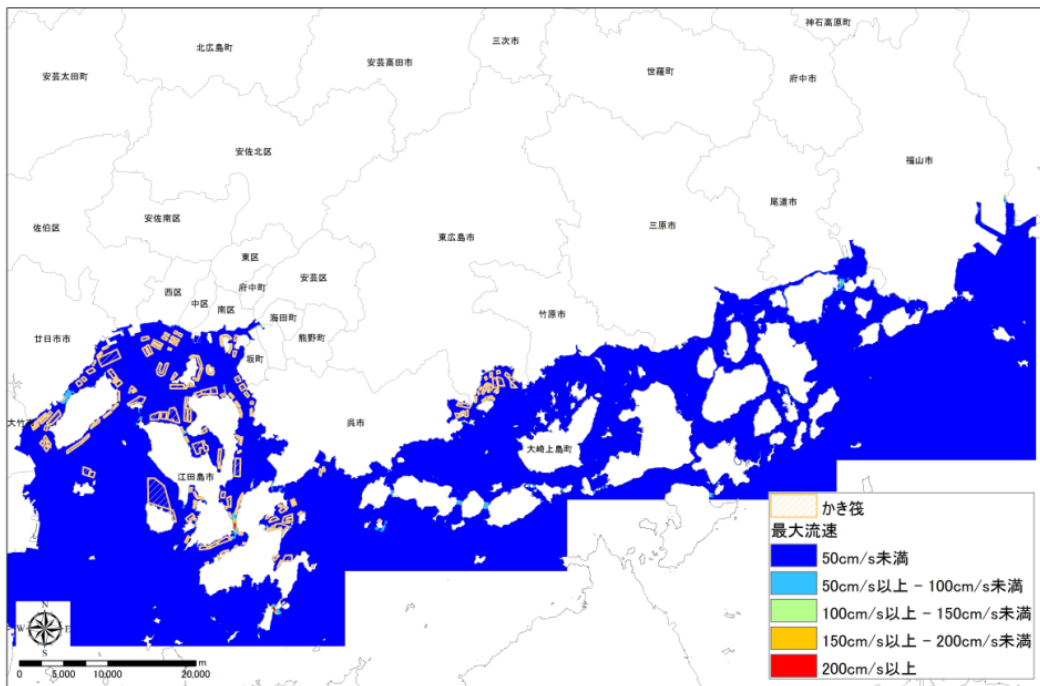
図Ⅲ. 1. 1-10(1) 最大流速分布図 南海トラフ巨大地震（ケース1）



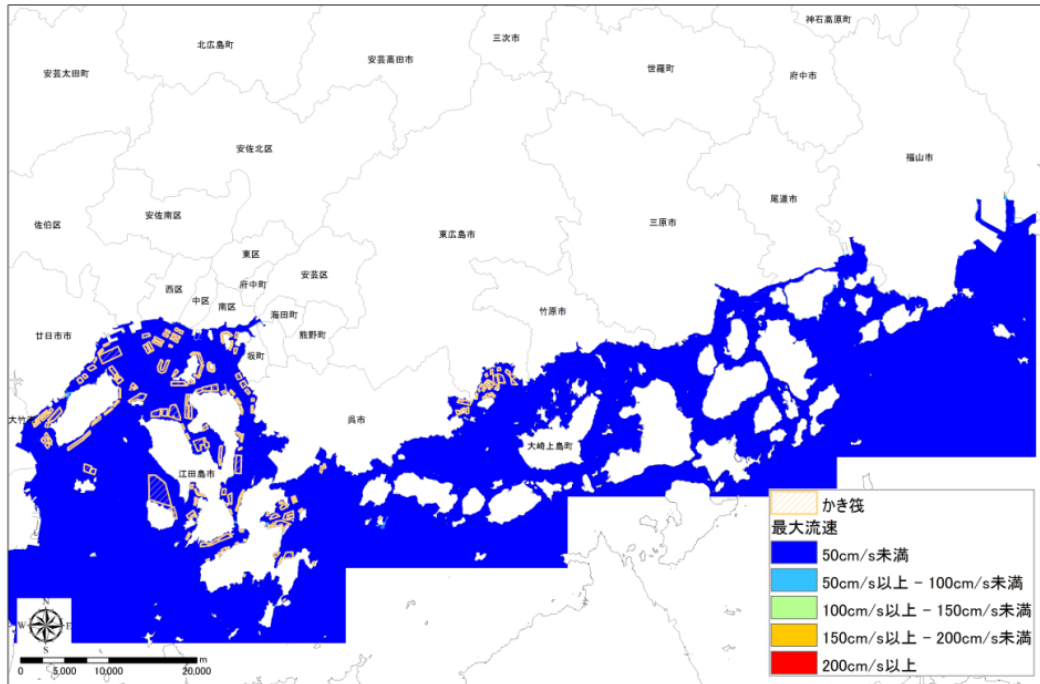
図Ⅲ. 1. 1-10(2) 最大流速分布図 安芸灘～伊予灘～豊後水道の地震



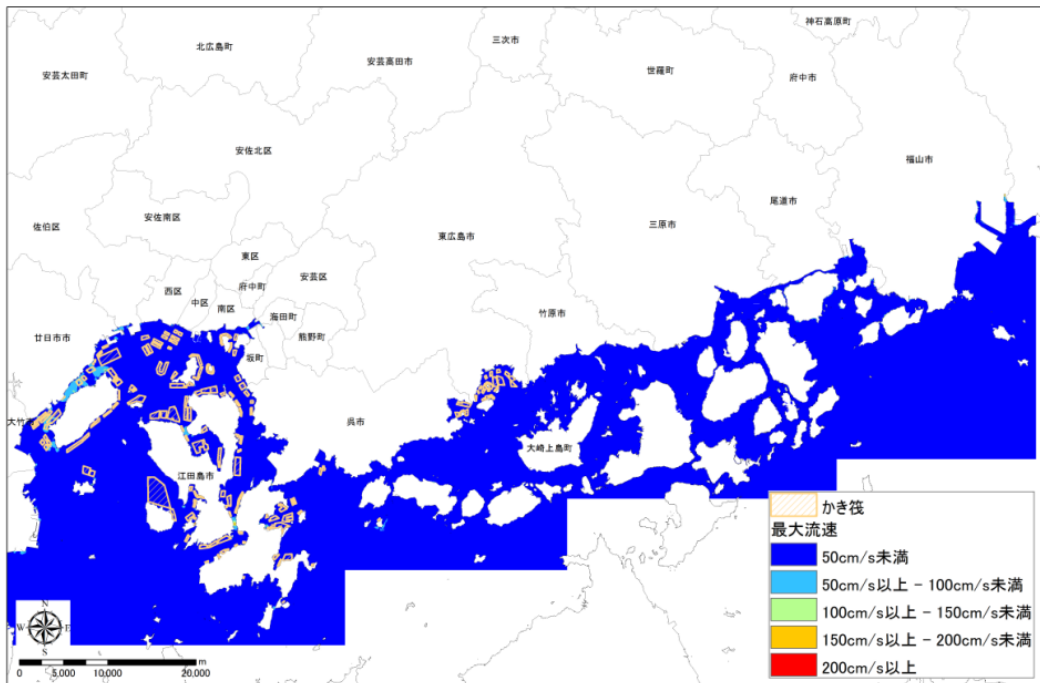
図Ⅲ. 1. 1-10(3) 最大流速分布図 讃岐山脈南縁－石鎚山脈北縁東部の地震



図Ⅲ. 1. 1-10(4) 最大流速分布図 石鎚山脈北縁西部－伊予灘の地震



図Ⅲ. 1. 1-10(5) 最大流速分布図 安芸灘断層群（主部）の地震



図Ⅲ. 1. 1-10(6) 最大流速分布図 安芸灘断層群（広島湾－岩国沖断層帯）の地震

オ 水位時系列変化

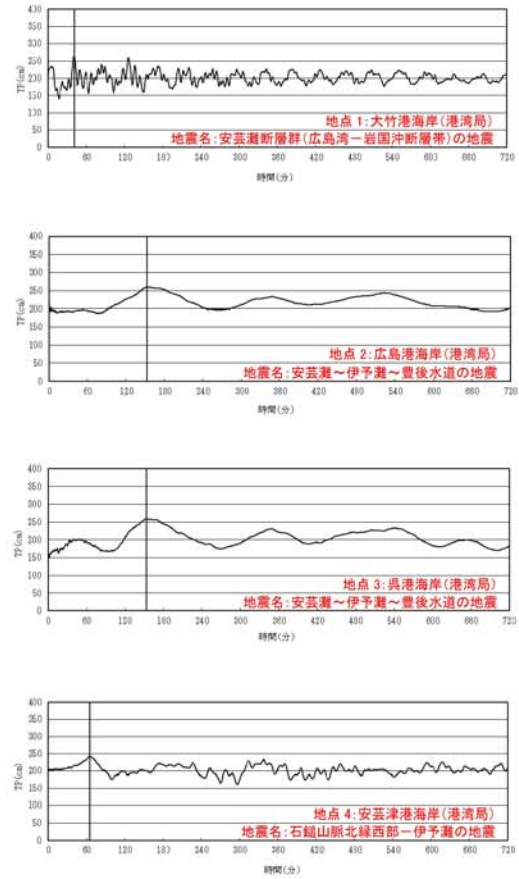
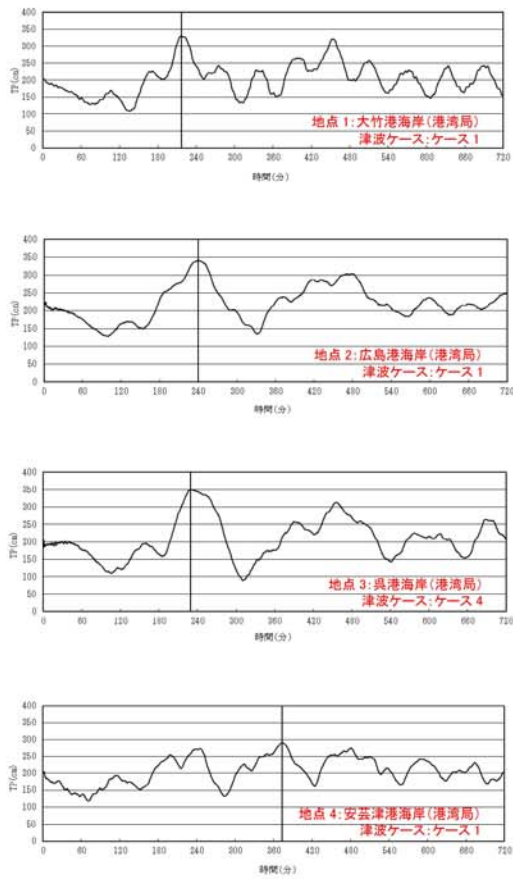
表Ⅲ. 1. 1-1 各代表地点での選択計算ケース

地点	海岸名称	選択計算ケース	
		南海トラフ 巨大地震	瀬戸内海域活断層等による地震
1	大竹港海岸（港湾局）	ケース 1	安芸灘断層群（広島湾－岩国沖断層帯）
2	広島港海岸（港湾局）	ケース 1	安芸灘～伊予灘～豊後水道
3	呉港海岸（港湾局）	ケース 4	安芸灘～伊予灘～豊後水道
4	安芸津港海岸（港湾局）	ケース 1	石鎚山脈北縁西部－伊予灘
5	竹原港海岸的場地区海岸	ケース 1	石鎚山脈北縁西部－伊予灘
6	尾道糸崎港海岸（港湾局）	ケース 5	讃岐山脈南縁－石鎚山脈北縁東部
7	尾道糸崎港海岸（港湾局）	ケース 5	讃岐山脈南縁－石鎚山脈北縁東部
8	福山港海岸（港湾局）	ケース 4	讃岐山脈南縁－石鎚山脈北縁東部

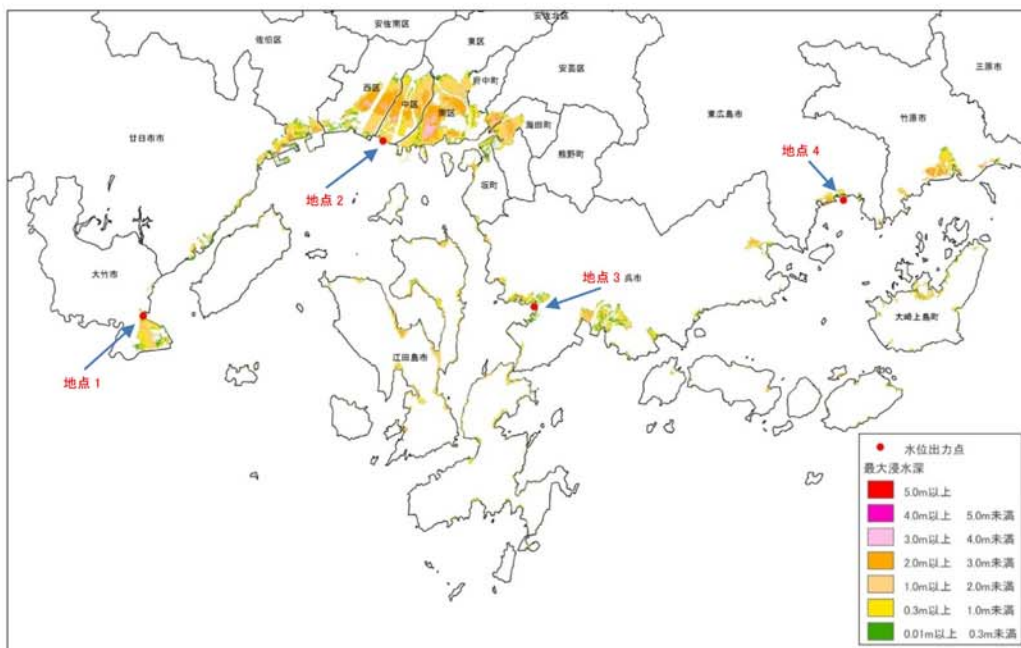
※ 各地点で最高の津波水位となるケースを選択した。

南海トラフ巨大地震（構造物が機能しない場合）

瀬戸内海域活断層等による地震（構造物が機能しない場合）



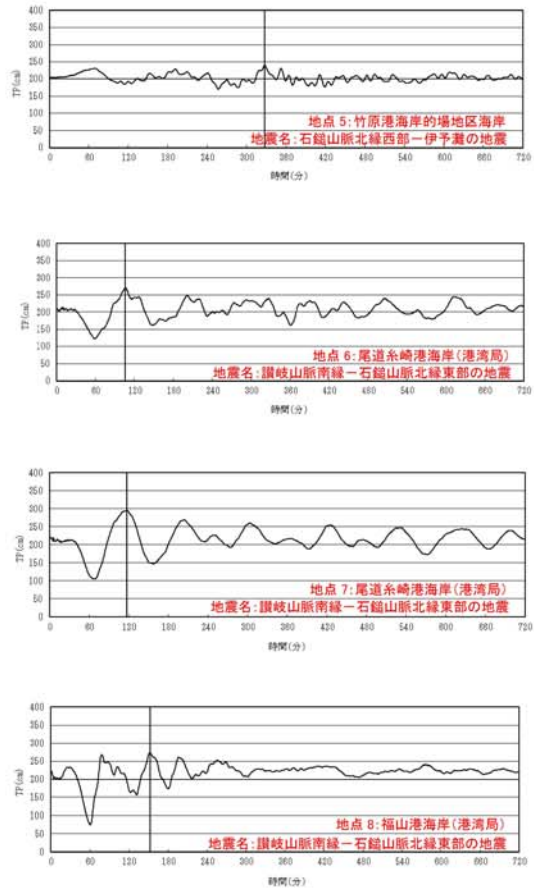
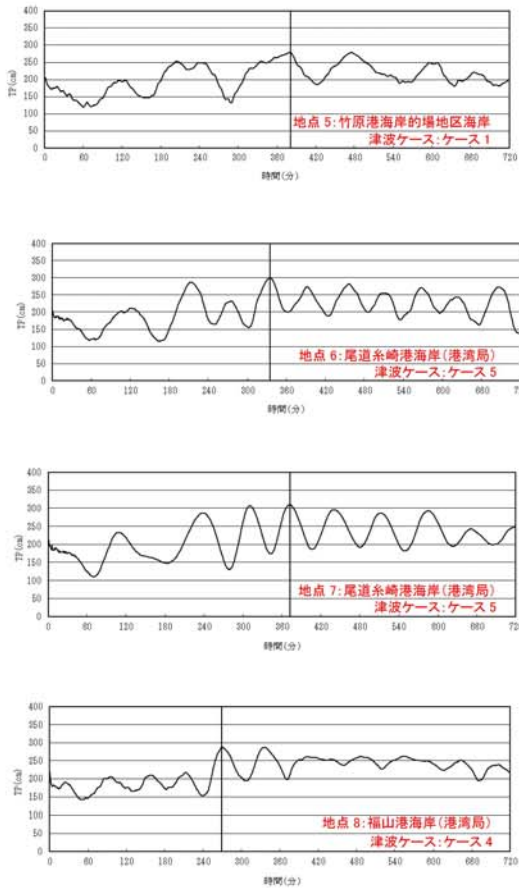
※ 図中の縦線は最高水位の発生時間を示している



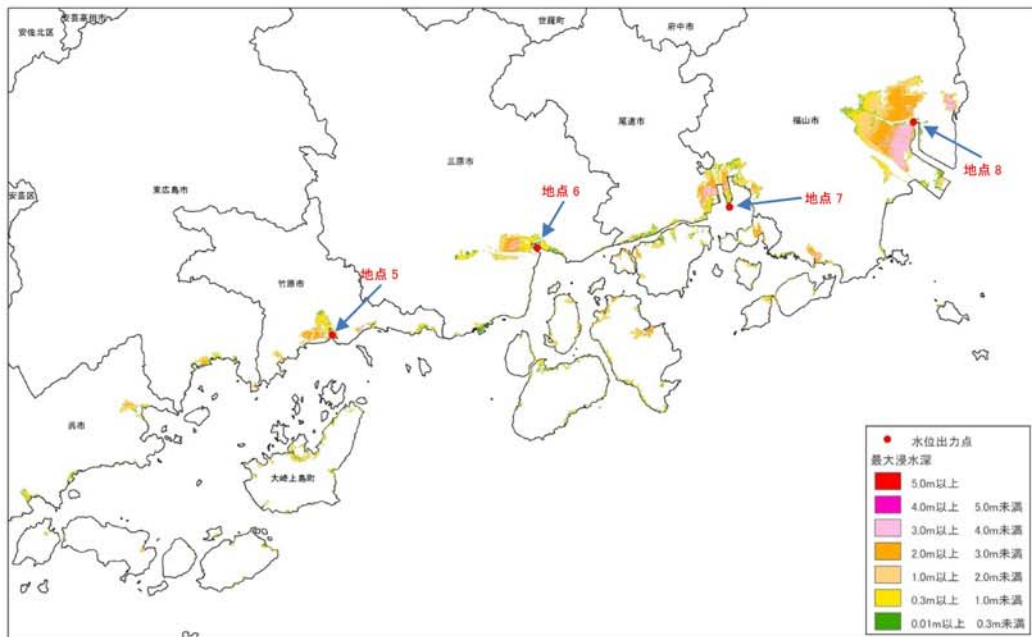
図Ⅲ. 1. 1-11(1) 水位時系列変化図（西部）

南海トラフ巨大地震（構造物が機能しない場合）

瀬戸内海域活断層等による地震（構造物が機能しない場合）



※ 図中の縦線は最高水位の発生時間を示している



図Ⅲ. 1. 1-11(2) 水位時系列変化図（東部）

2 被害の想定

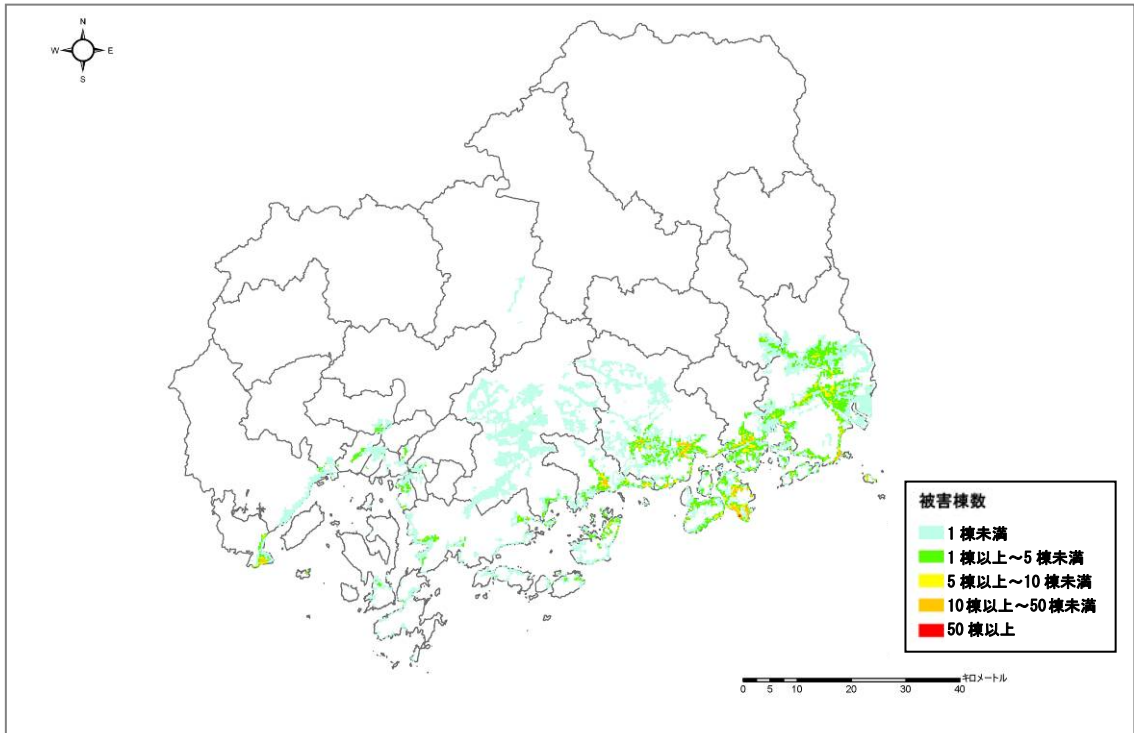
(1) 揺れによる建物被害

揺れによる建物被害を 250m メッシュで示す。

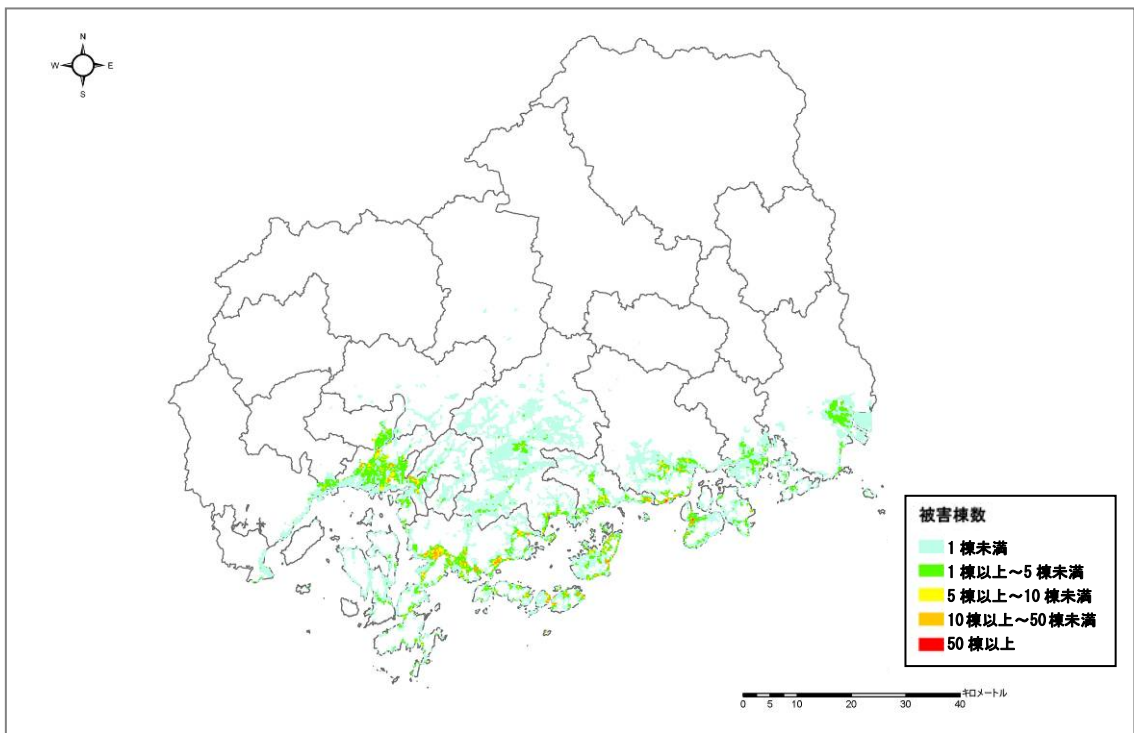
南海トラフ巨大地震については、内閣府の「南海トラフの巨大地震モデル検討会」が示した「基本ケース」、「陸側ケース」、「東側ケース」、「西側ケース」の4つの強震断層モデルと、これを補完するための「経験的手法」及びこれらの震度の最大値の「重ね合わせ」の地震動の予測を行い、そのうち「重ね合わせ」を除き、本県の人的被害に直結する建物全壊棟数が最も多い想定結果となった「陸側ケース」について被害を示す。

なお、揺れによる全壊棟数が同数の場合は、液状化による建物全壊棟数が多くなるケースの被害を示す。

南海トラフ巨大地震以外の地震では、想定断層の両端に破壊開始点を設定した2ケースの地震動の予測を行い、このうち建物被害が大きくなるケースについて被害を示す。

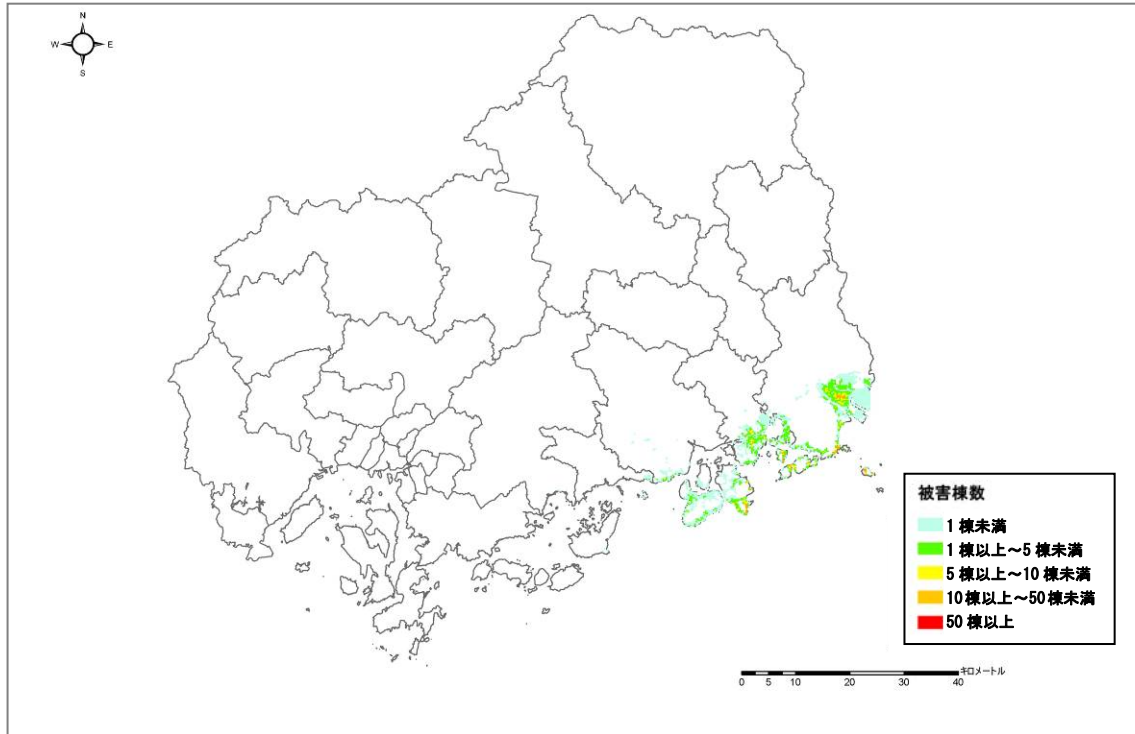


南海トラフ巨大地震（陸側ケース）

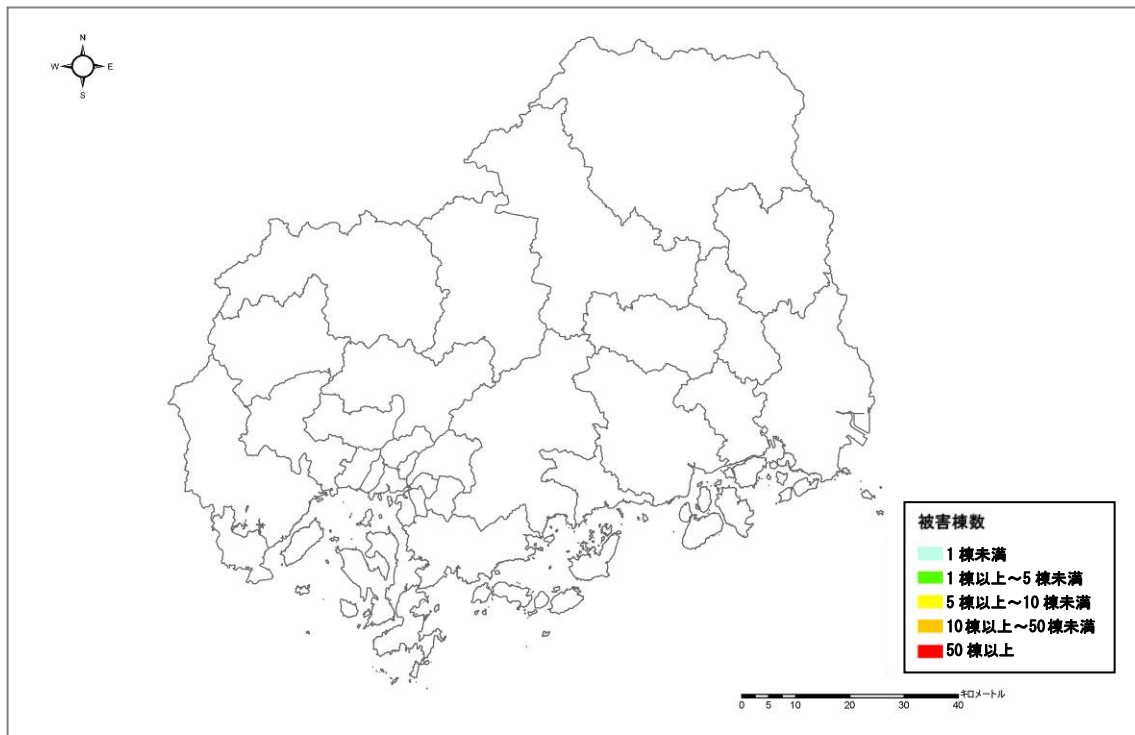


安芸灘～伊予灘～豊後水道の地震（北から破壊）

図Ⅲ. 1. 2-1(1) 揺れによる全壊棟数分布

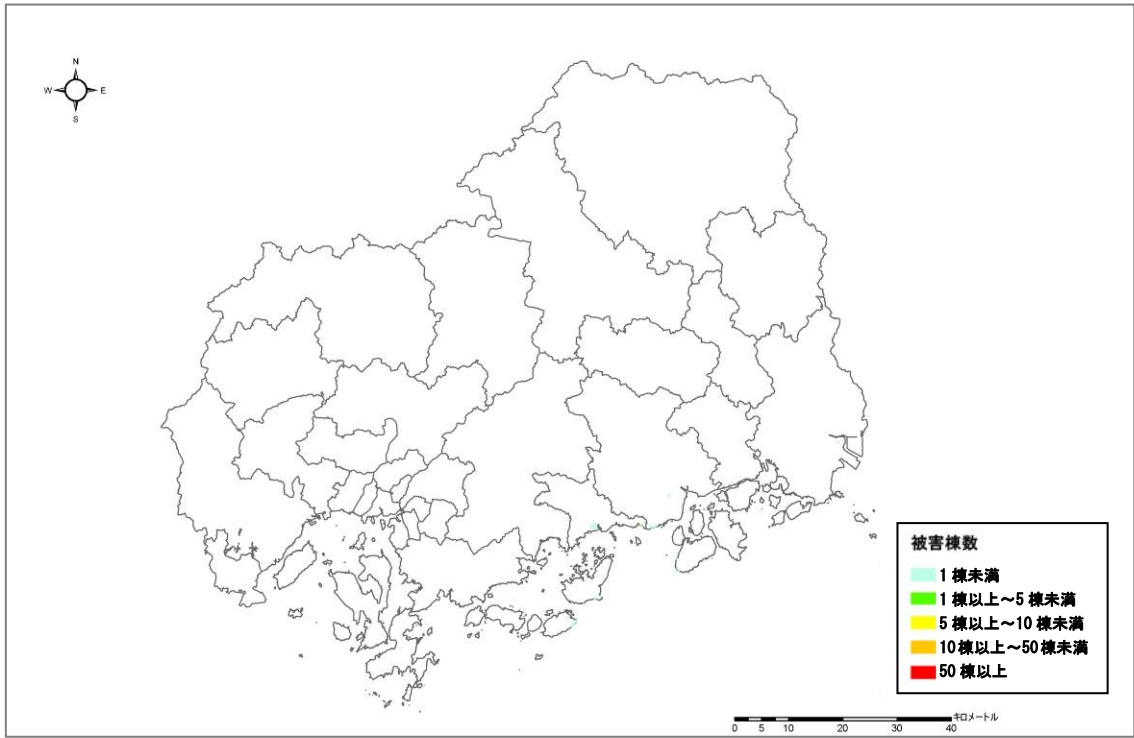


讃岐山脈南縁－石鎚山脈北縁東部の地震（西から破壊）

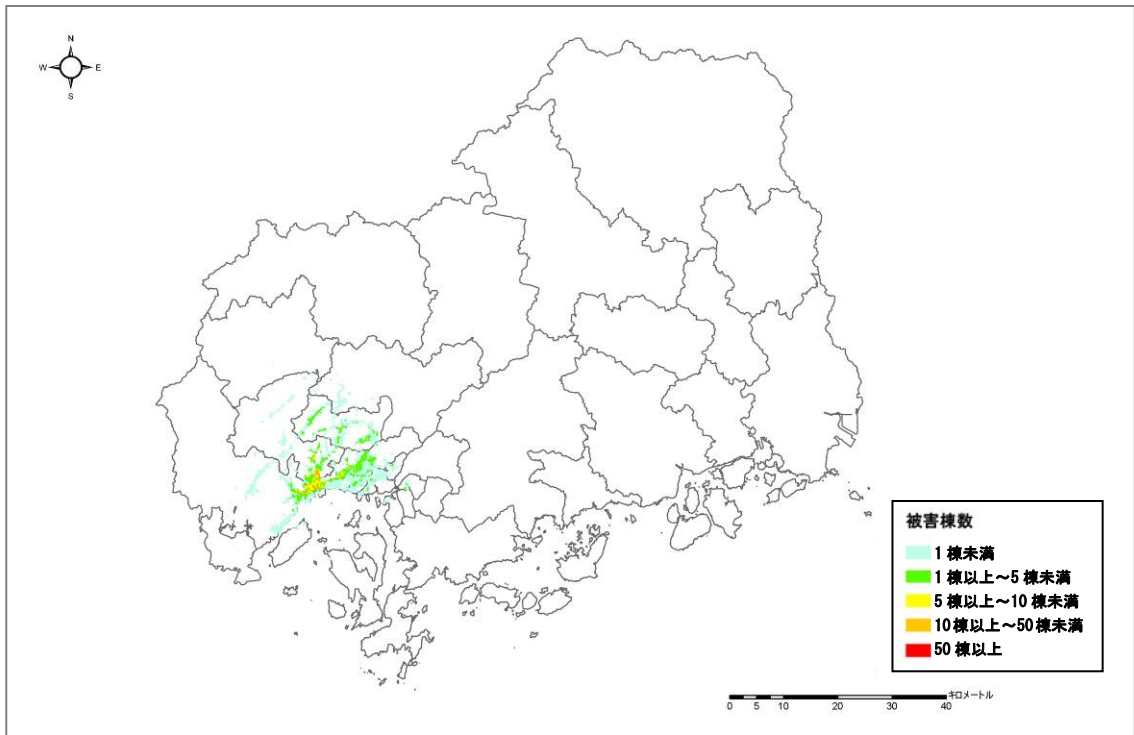


石鎚山脈北縁の地震（西から破壊）

図Ⅲ. 1. 2-1(2) 揺れによる全壊棟数分布

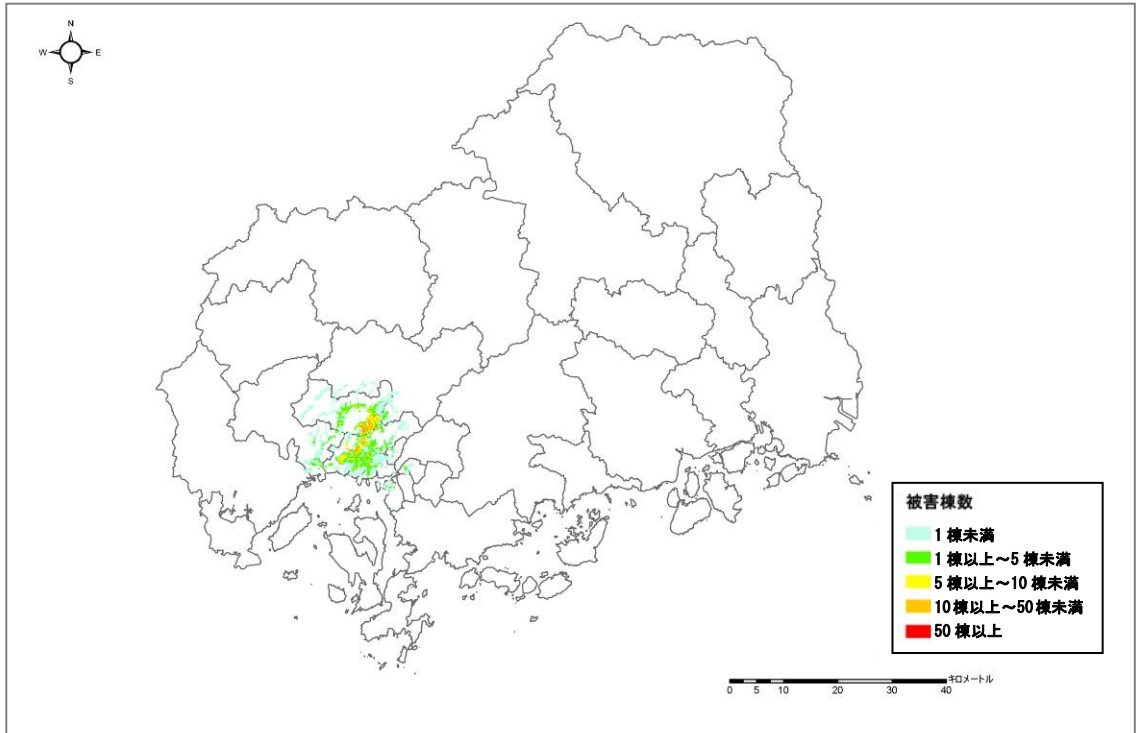


石鎚山脈北縁西部－伊予灘の地震（東から破壊）

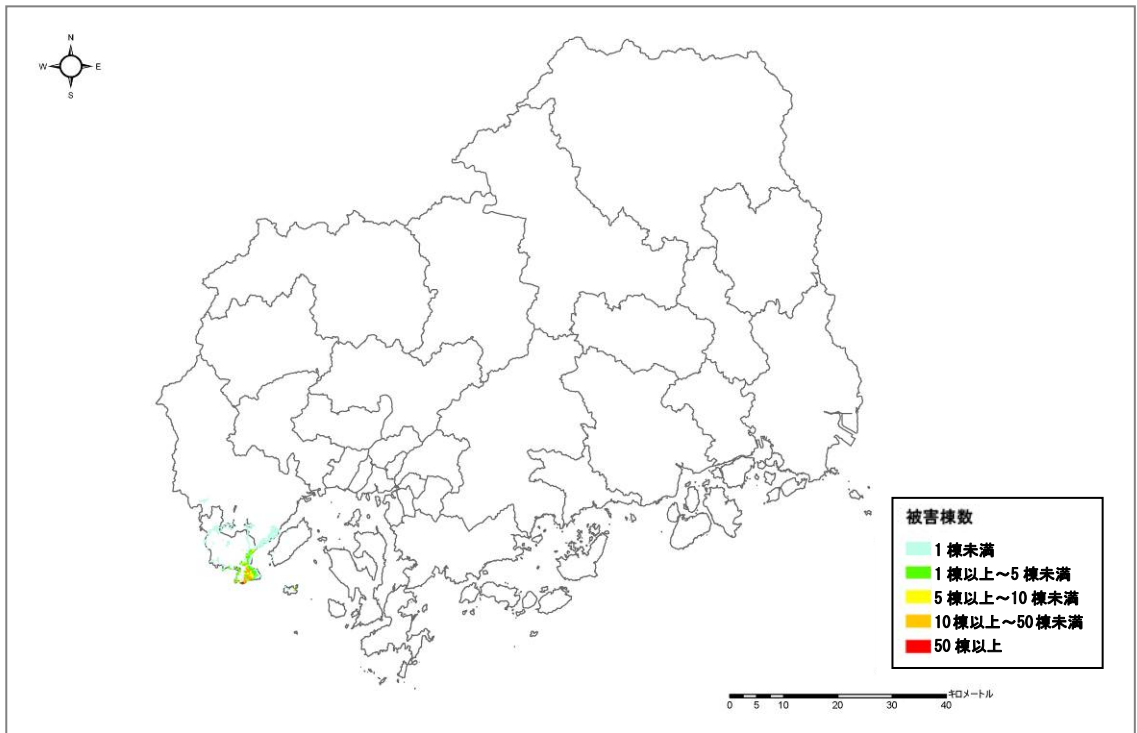


五日市断層の地震（北から破壊）

図Ⅲ. 1. 2-1 (3) 揺れによる全壊棟数分布

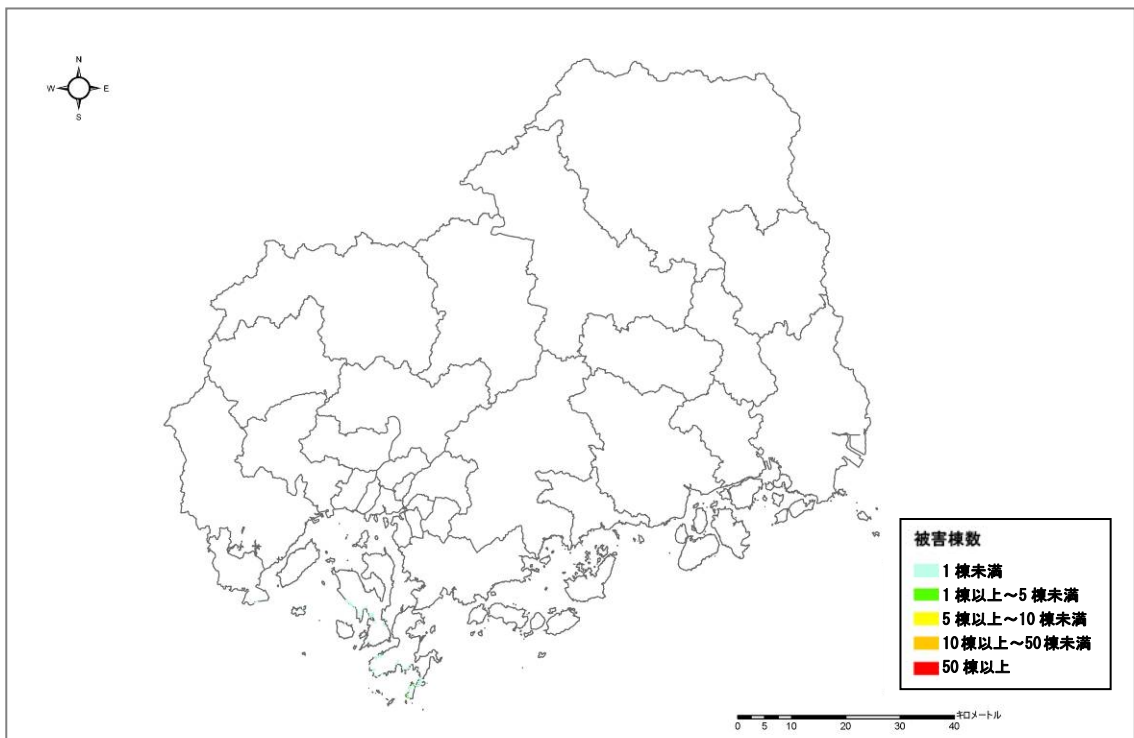


已斐－広島西縁断層帯 (M6.5) の地震 (北から破壊)

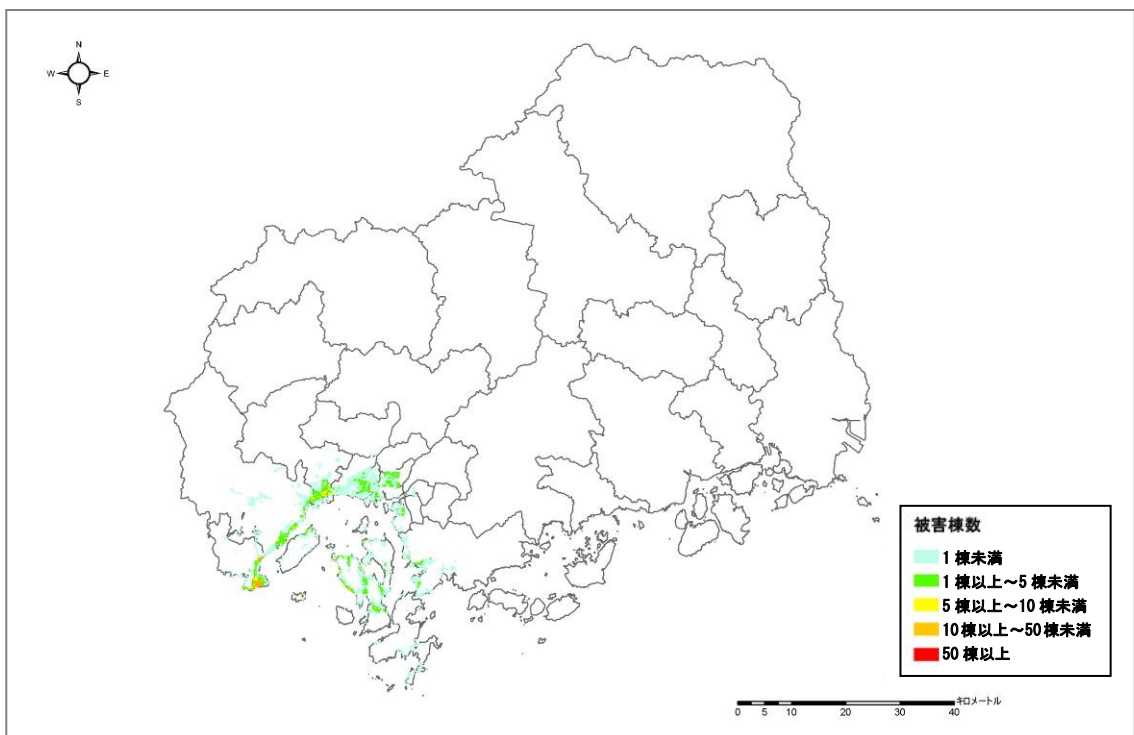


岩国断層帯の地震 (東から破壊)

図Ⅲ. 1. 2-1(4) 揺れによる全壊棟数分布

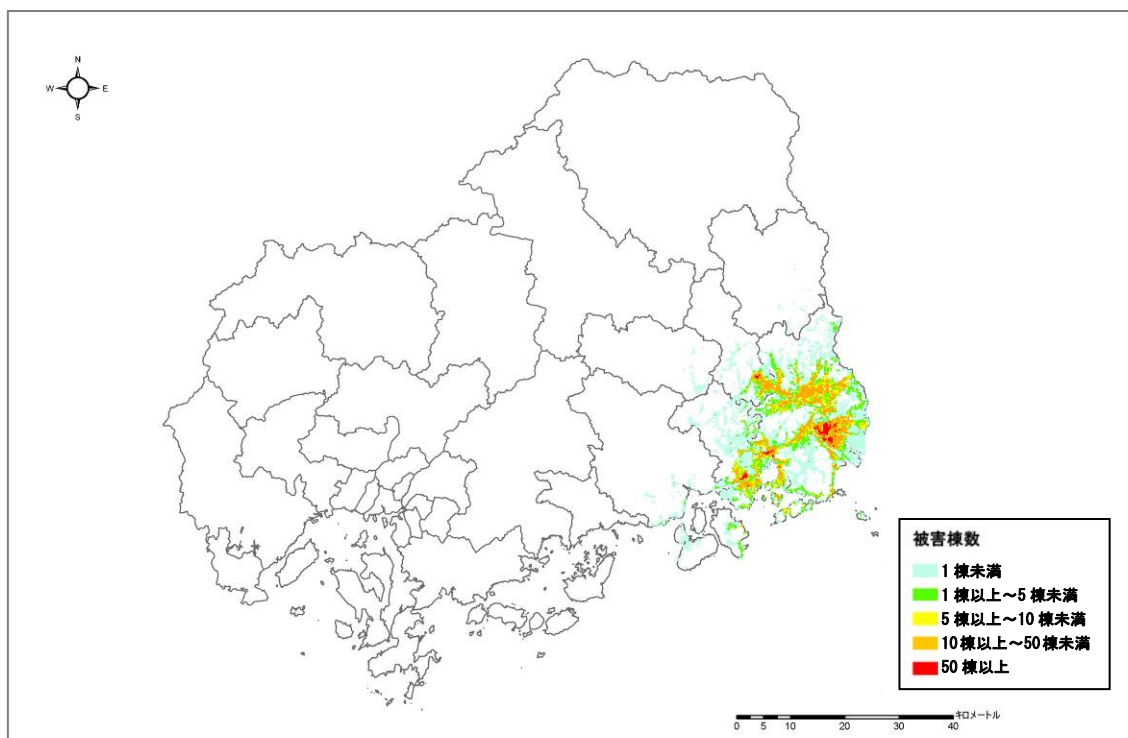


安芸灘断層群（主部）の地震（北から破壊）

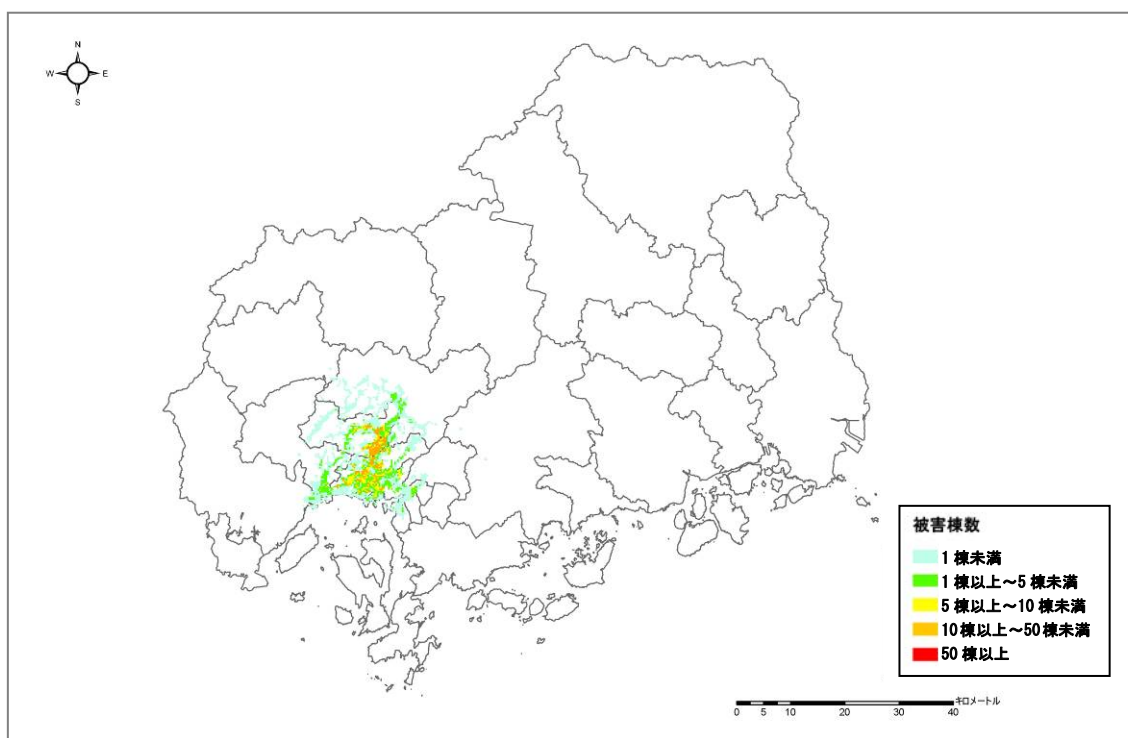


安芸灘断層群（広島湾－岩国沖断層帯）の地震（北から破壊）

図Ⅲ. 1. 2-1(5) 揺れによる全壊棟数分布



長者ヶ原断層－芳井断層の地震（西から破壊）



(参考) 己斐－広島西縁断層帯 (M6.9) の地震（南から破壊）

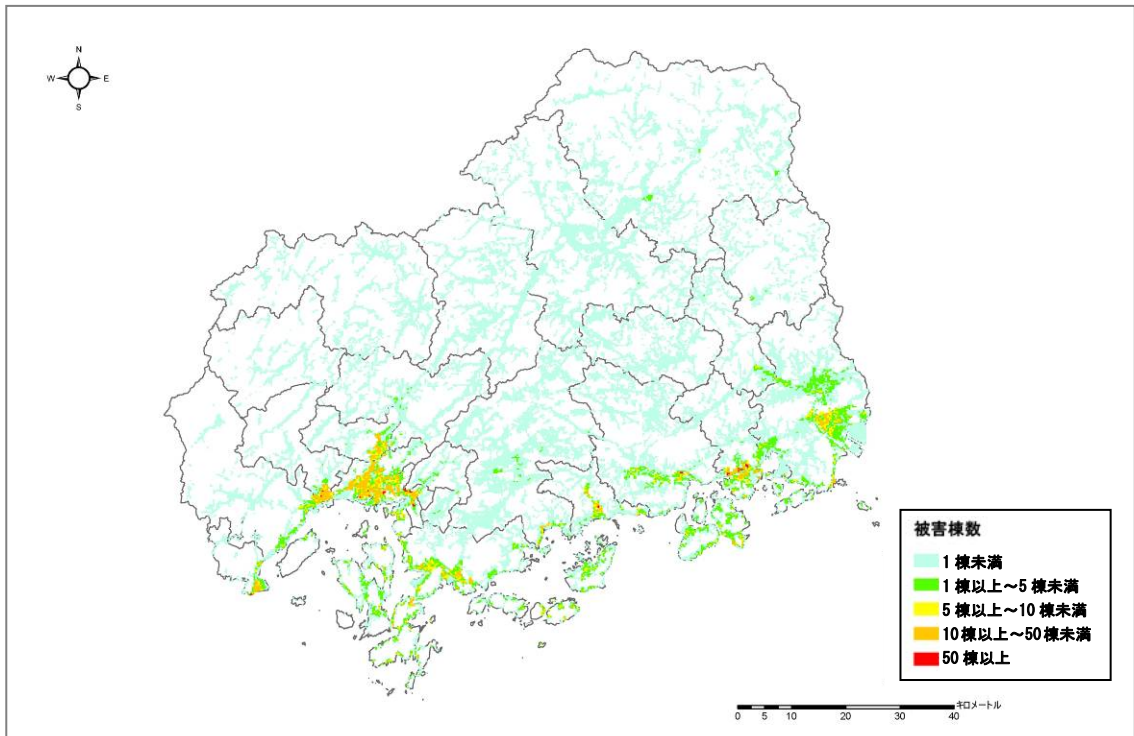
図Ⅲ. 1. 2-1(6) 揺れによる全壊棟数分布

(2) 液状化による建物被害

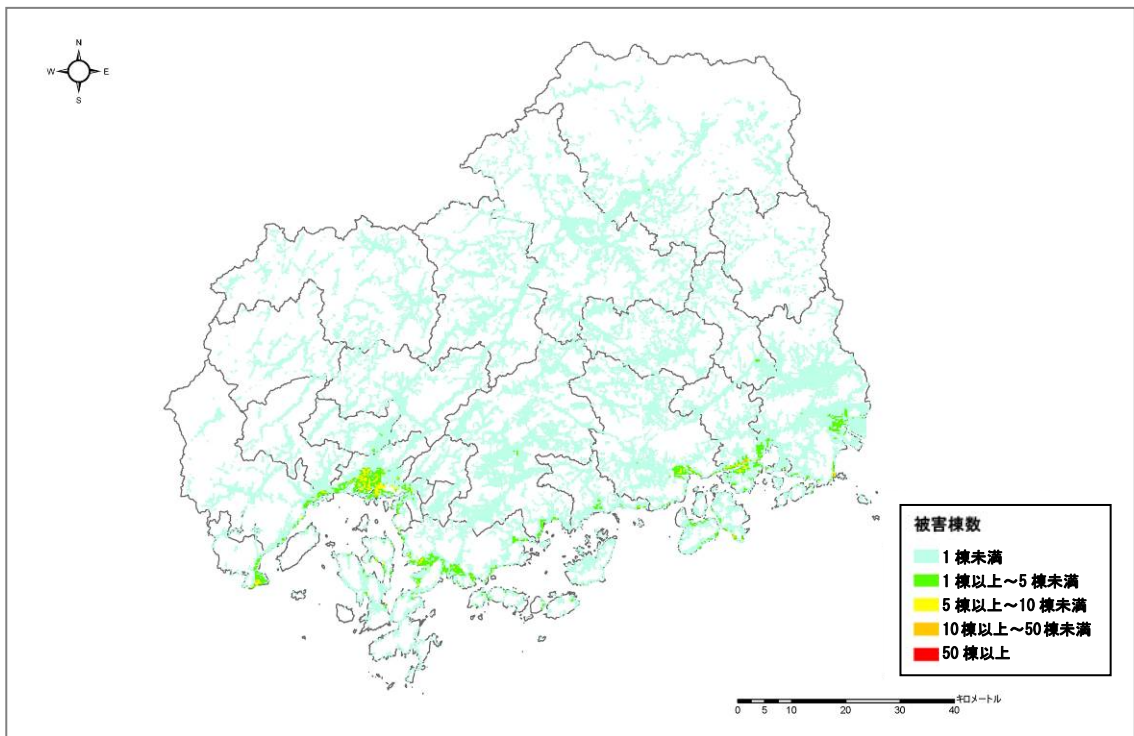
液状化による建物被害を 250m メッシュで示す。

南海トラフ巨大地震については、内閣府の「南海トラフの巨大地震モデル検討会」が示した「基本ケース」、「陸側ケース」、「東側ケース」、「西側ケース」の 4 つの強震断層モデルと、これを補完するための「経験的手法」及びこれらの震度の最大値の「重ね合わせ」の地震動の予測を行い、そのうち「重ね合わせ」を除き、本県の人的被害に直結する建物全壊棟数が最も多い想定結果となった「陸側ケース」について被害を示す。

南海トラフ巨大地震以外の地震では、想定断層の両端に破壊開始点を設定した 2 ケースの地震動の予測を行い、このうち建物被害が大きくなるケースについて被害を示す。

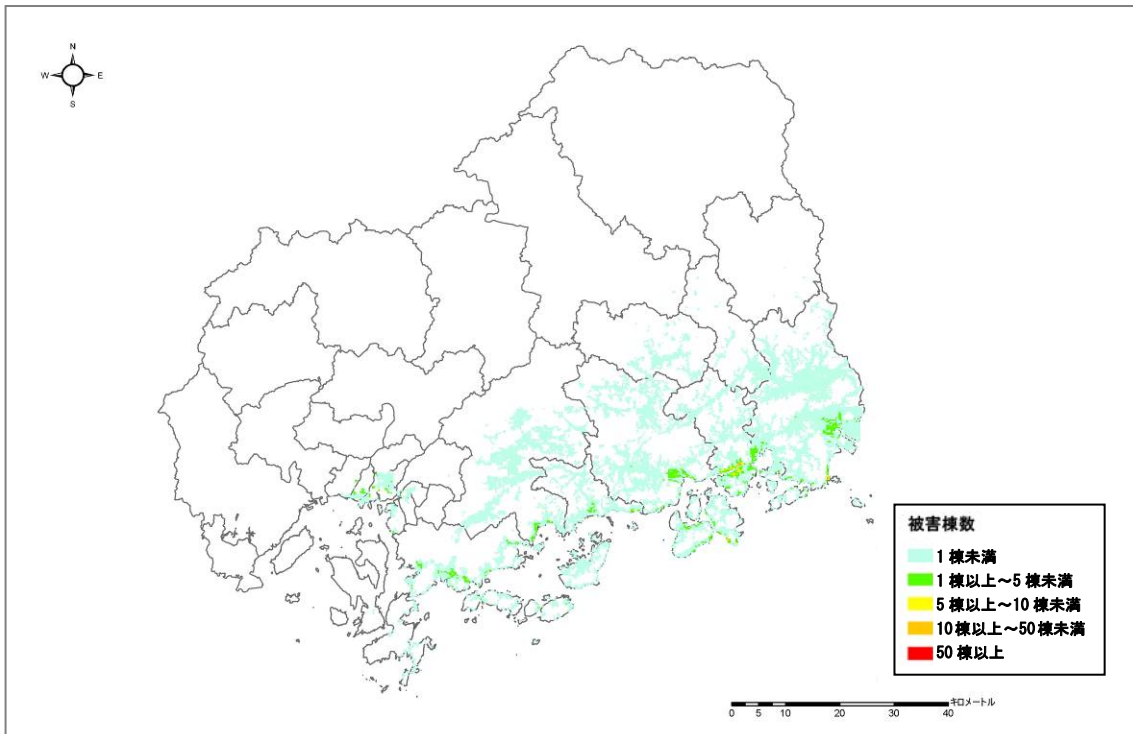


南海トラフ巨大地震（陸側ケース）

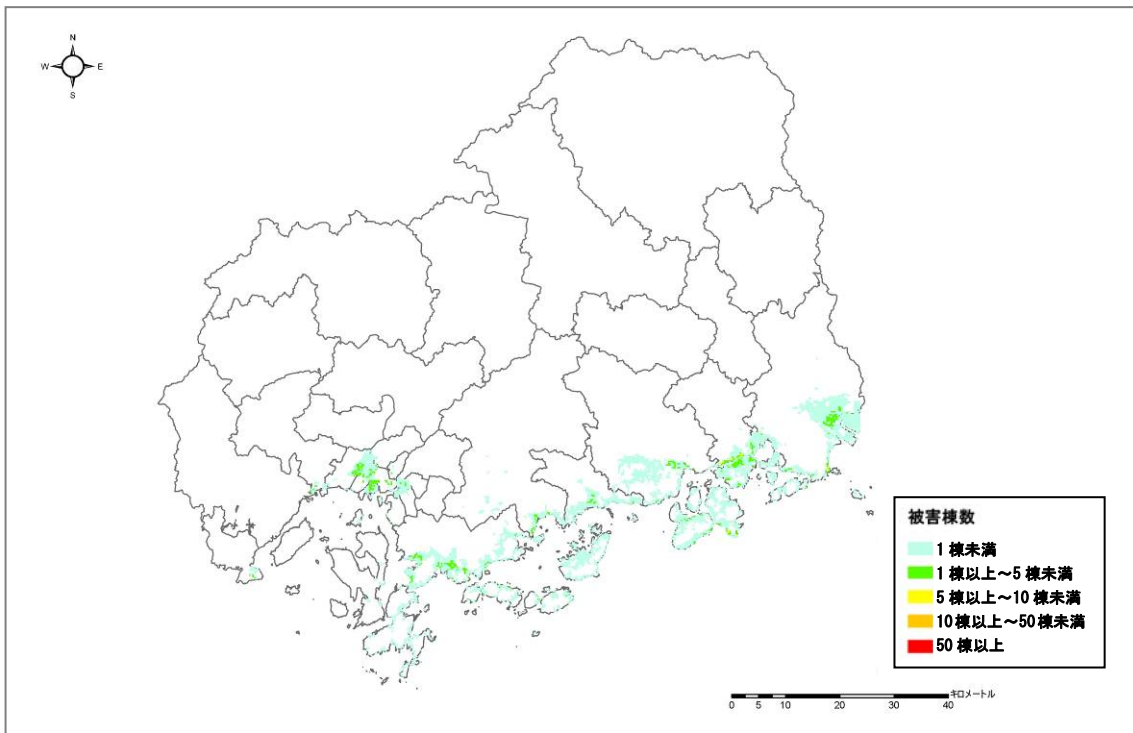


安芸灘～伊予灘～豊後水道の地震（北から破壊）

図Ⅲ. 1. 2-2(1) 液状化による全壊棟数分布

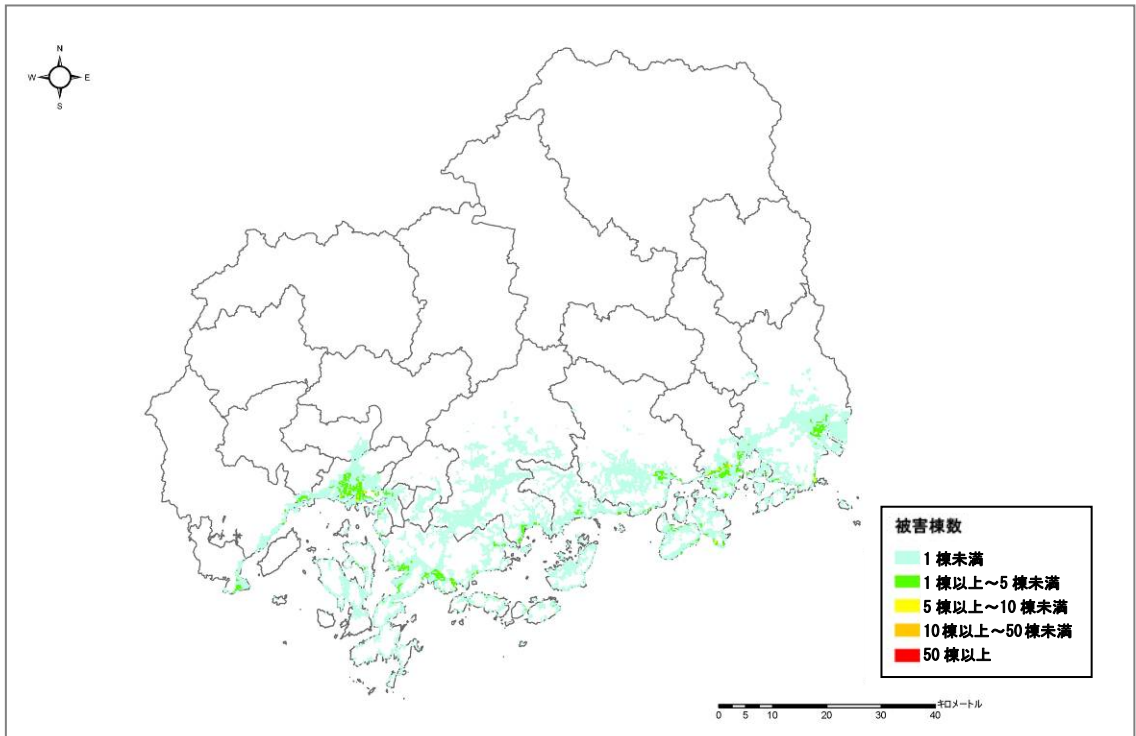


讃岐山脈南縁－石鎚山脈北縁東部の地震（西から破壊）

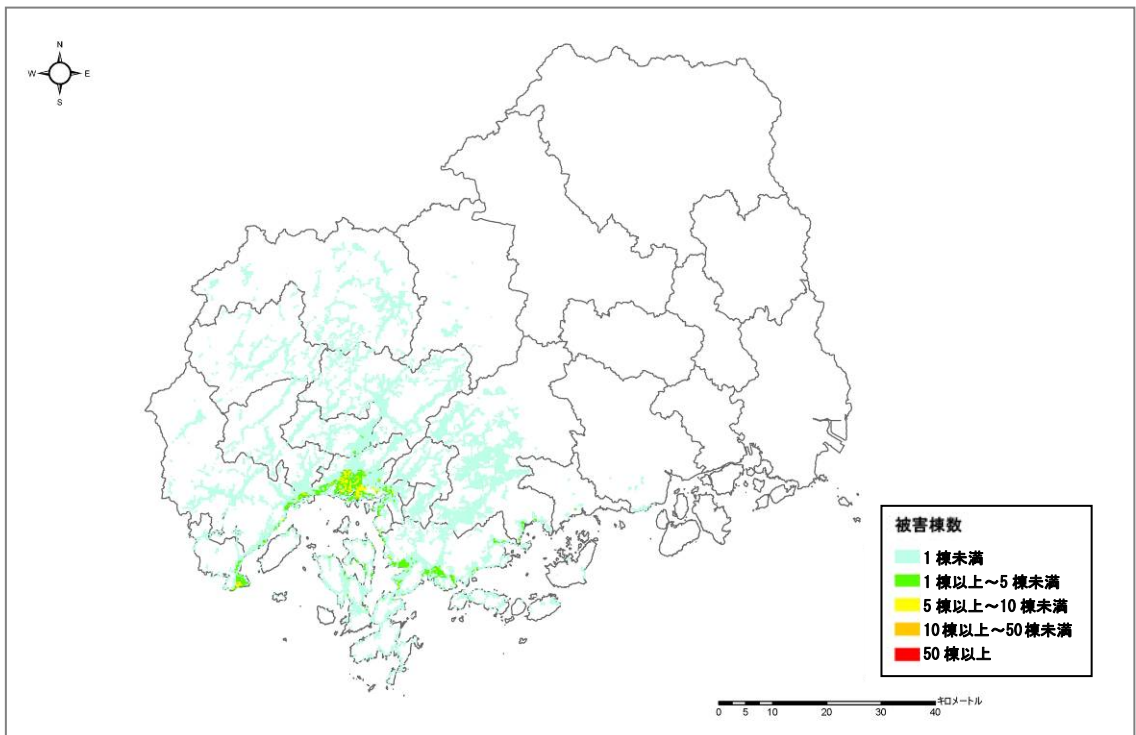


石鎚山脈北縁の地震（西から破壊）

図Ⅲ. 1. 2-2(2) 液状化による全壊棟数分布

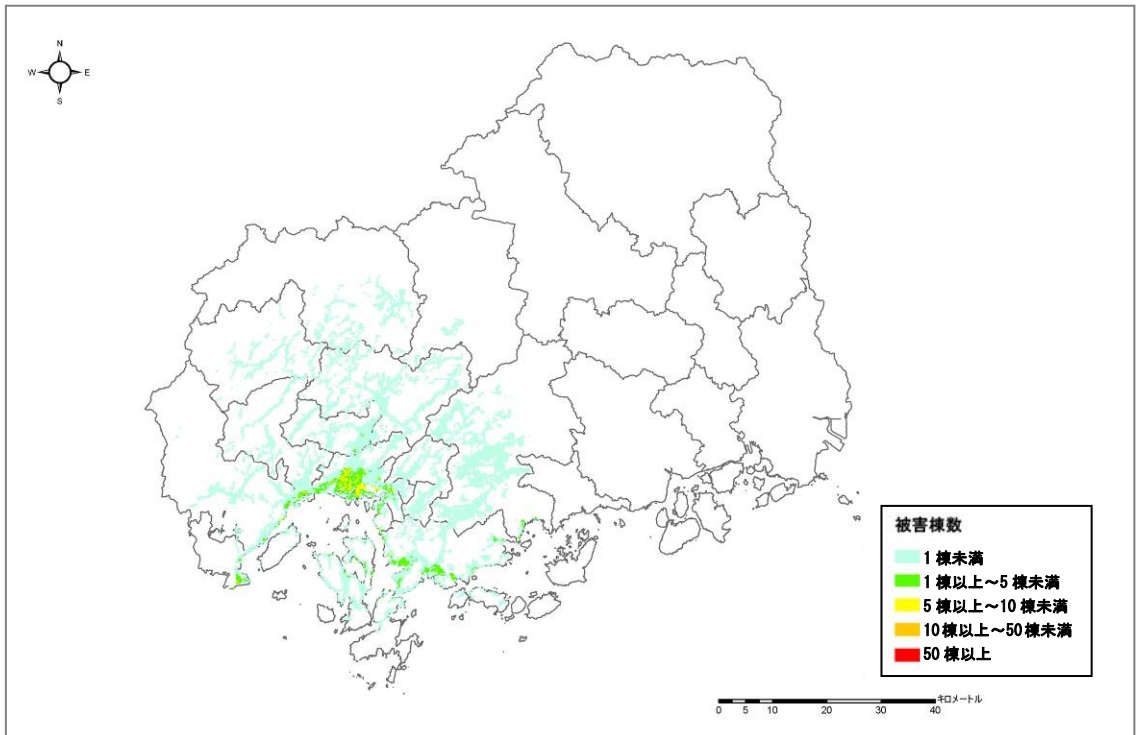


石鎚山脈北縁西部－伊予灘の地震（東から破壊）

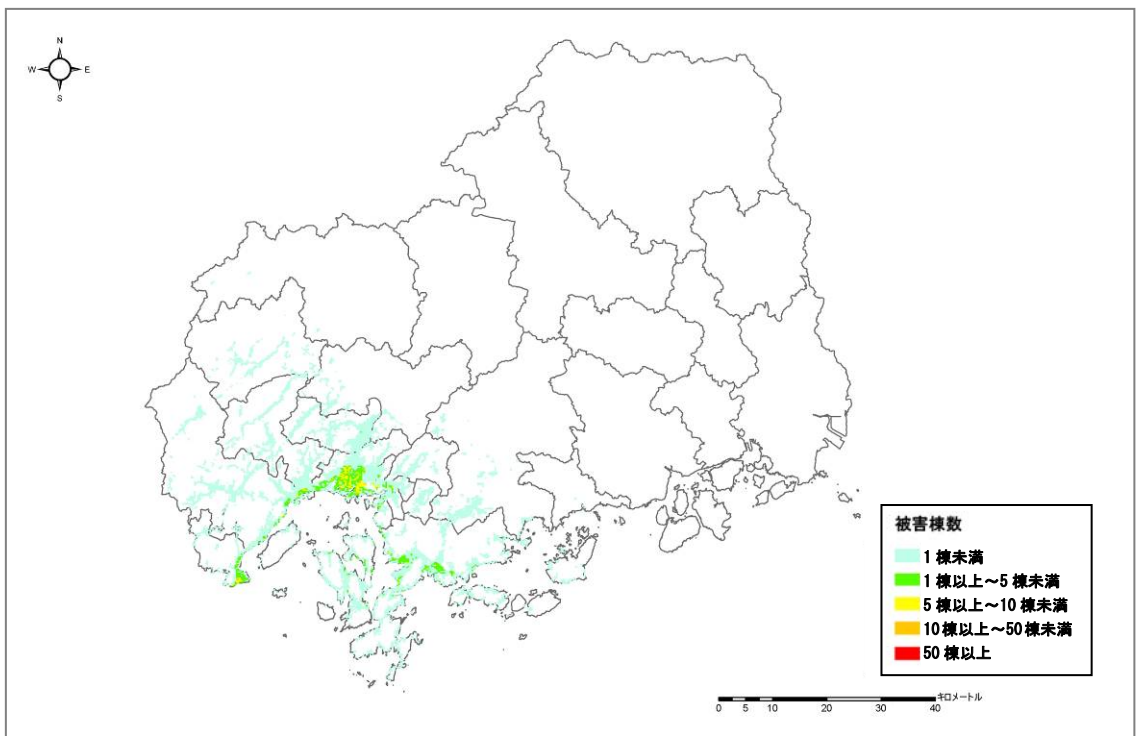


五日市断層の地震（北から破壊）

図Ⅲ. 1. 2-2(3) 液状化による全壊棟数分布

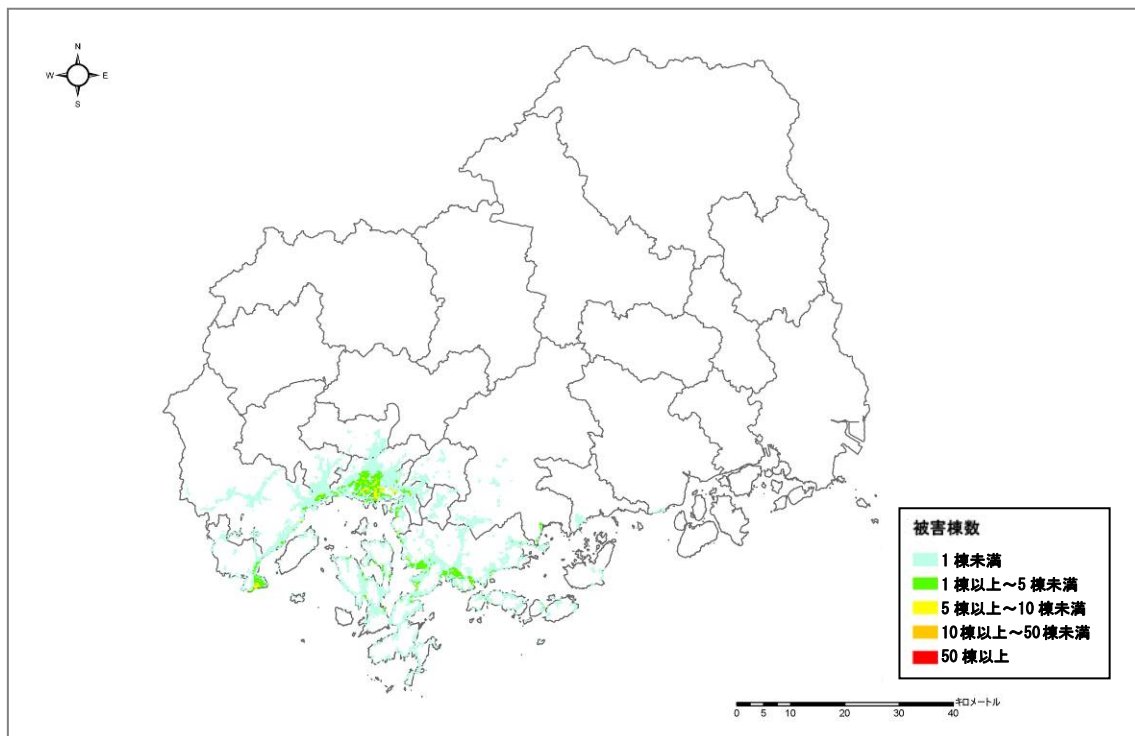


己斐－広島西縁断層帯 (M6.5) の地震 (北から破壊)

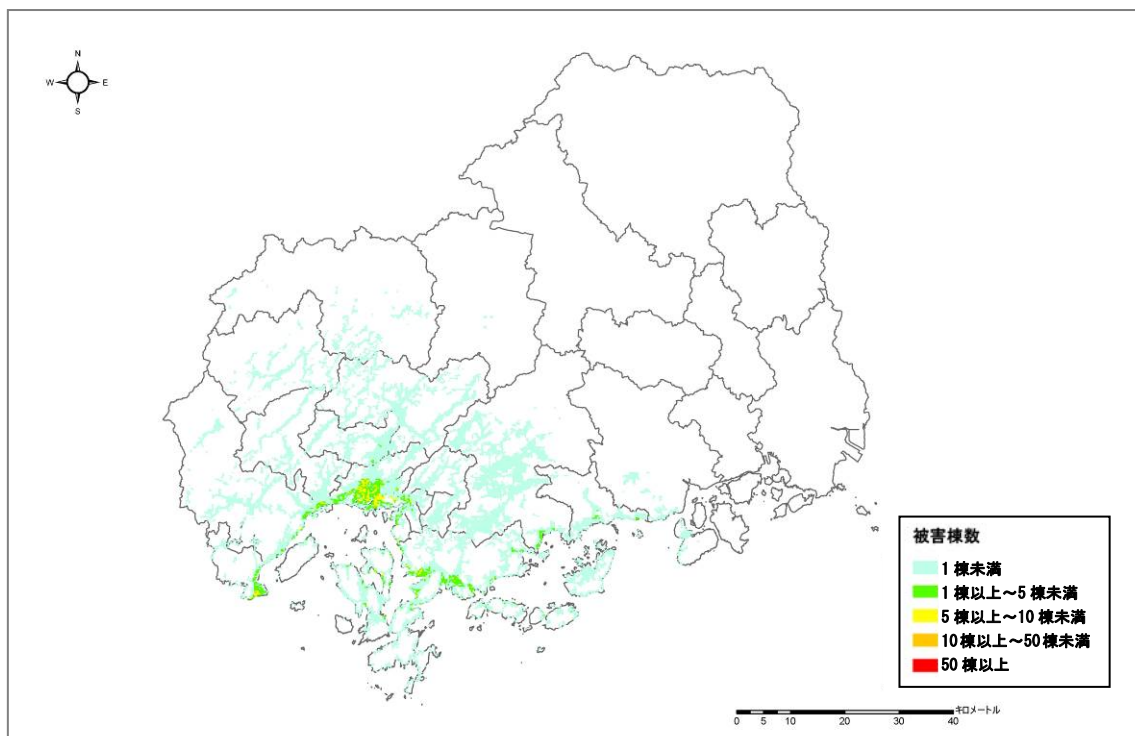


岩国断層帯の地震 (東から破壊)

図Ⅲ. 1. 2-2(4) 液状化による全壊棟数分布

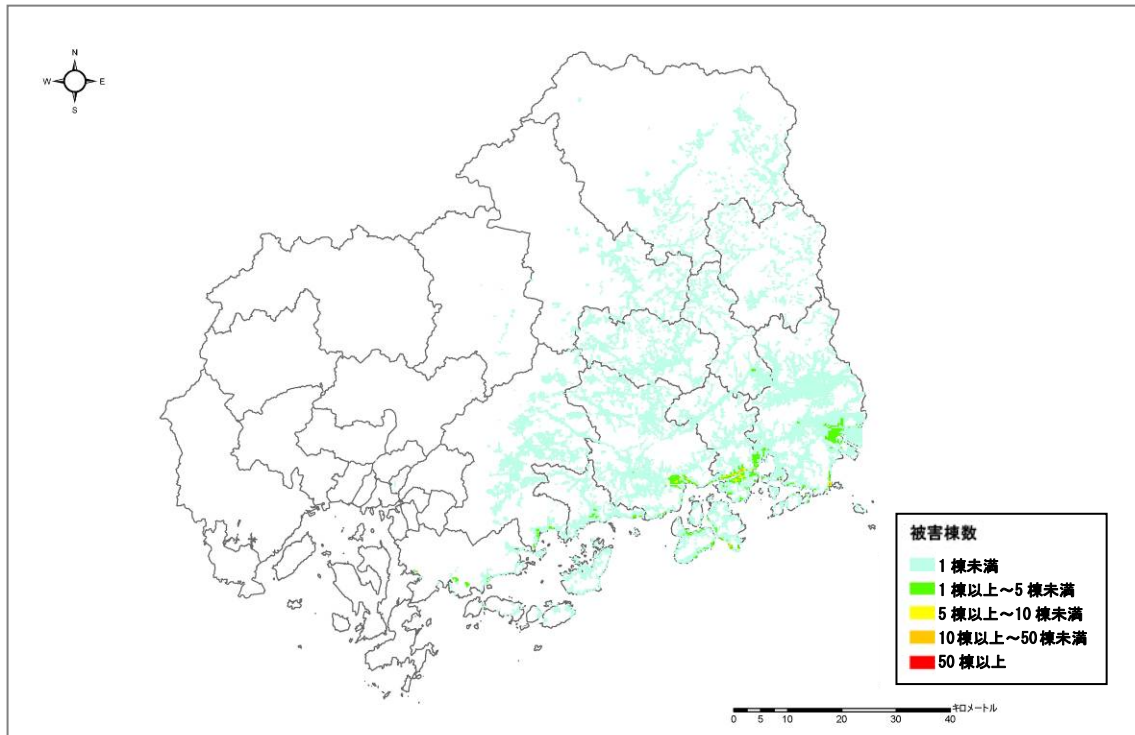


安芸灘断層群（主部）の地震（北から破壊）

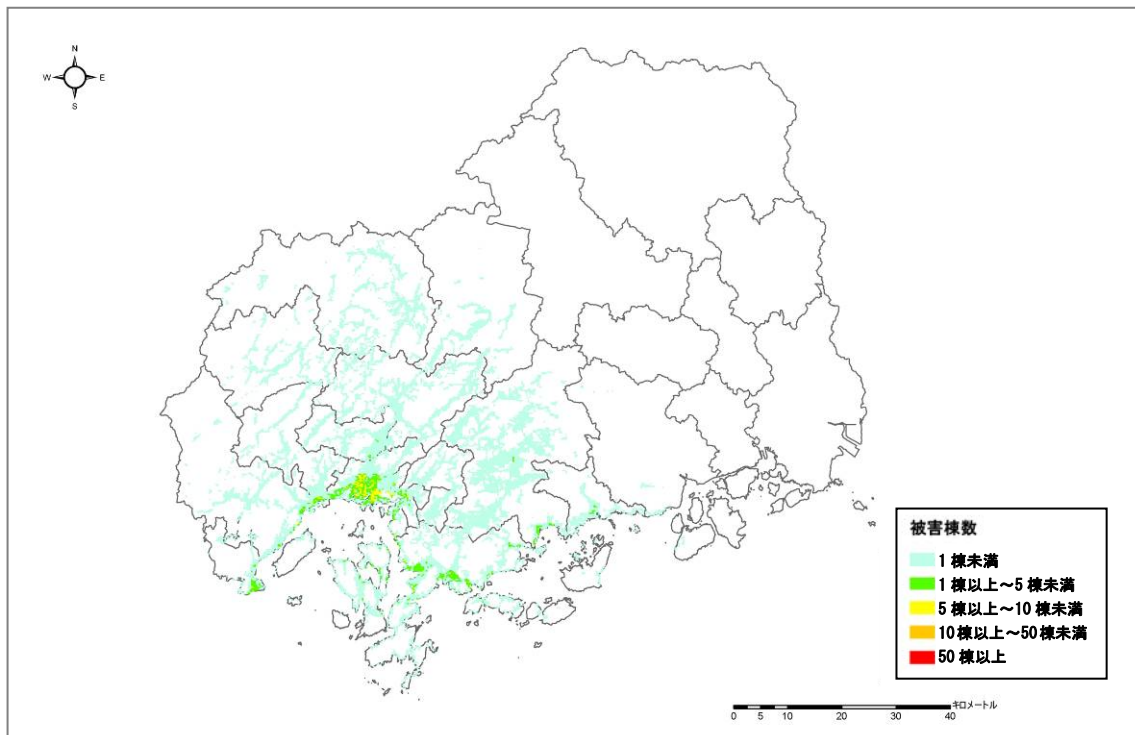


安芸灘断層群（広島湾－岩国沖断層帯）の地震（北から破壊）

図Ⅲ. 1. 2-2(5) 液状化による全壊棟数分布



長者ヶ原断層－芳井断層の地震（西から破壊）



(参考) 己斐－広島西縁断層帯 (M6.9) の地震 (南から破壊)

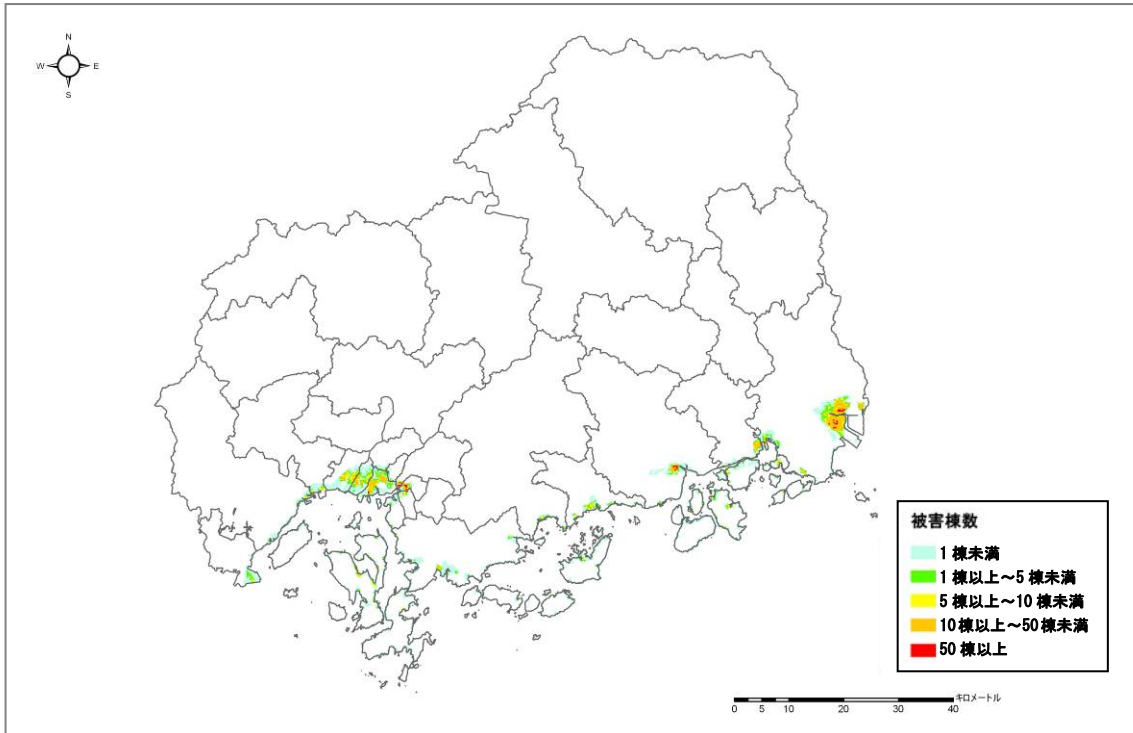
図Ⅲ. 1. 2-2(6) 液状化による全壊棟数分布

(3) 津波による建物被害

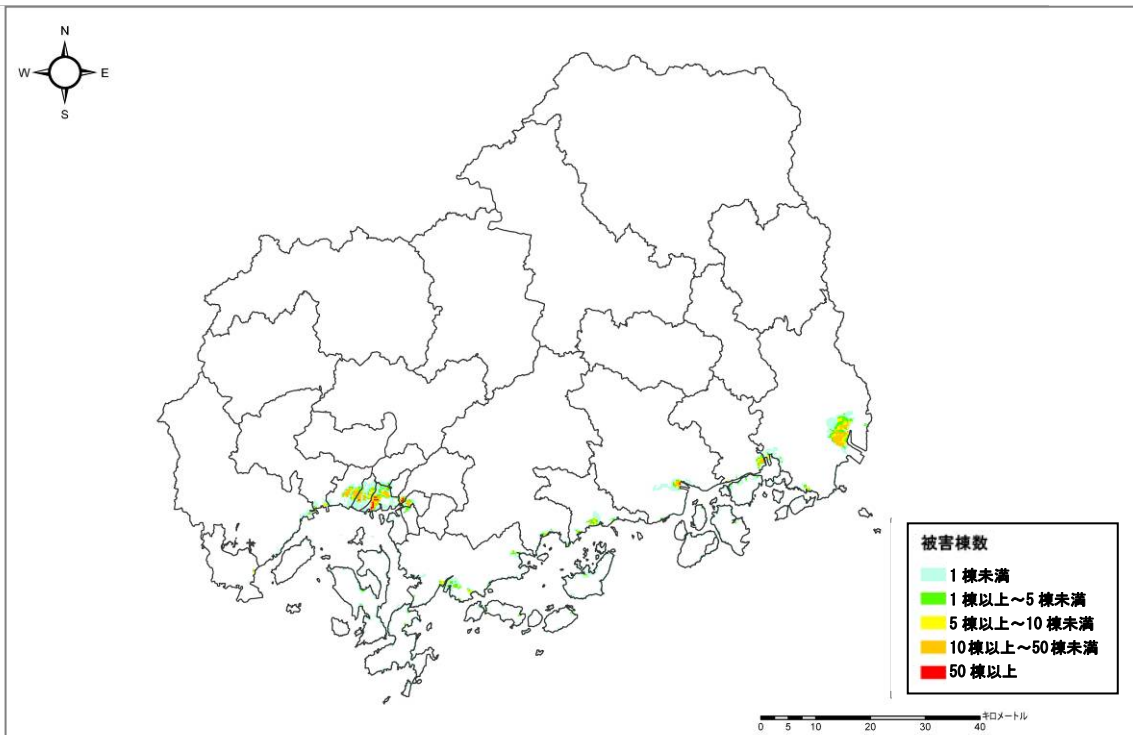
津波による建物被害について、10m メッシュ単位で想定した被害を集計し、250m メッシュ単位で示す。

南海トラフ巨大地震については、内閣府の「南海トラフの巨大地震モデル検討会」が示した津波断層モデル11 ケースのうち、本県にとって被害が大きい「ケース1」について被害を示す。

南海トラフ巨大地震以外の地震については、津波による被害の想定を行った「安芸灘～伊予灘～豊後水道の地震」「讃岐山脈南縁－石鎚山脈北縁東部の地震」「石鎚山脈北縁西部－伊予灘の地震」「安芸灘断層群(主部)の地震」「安芸灘断層群(広島湾－岩国沖断層帯)の地震」の各地震について示す。

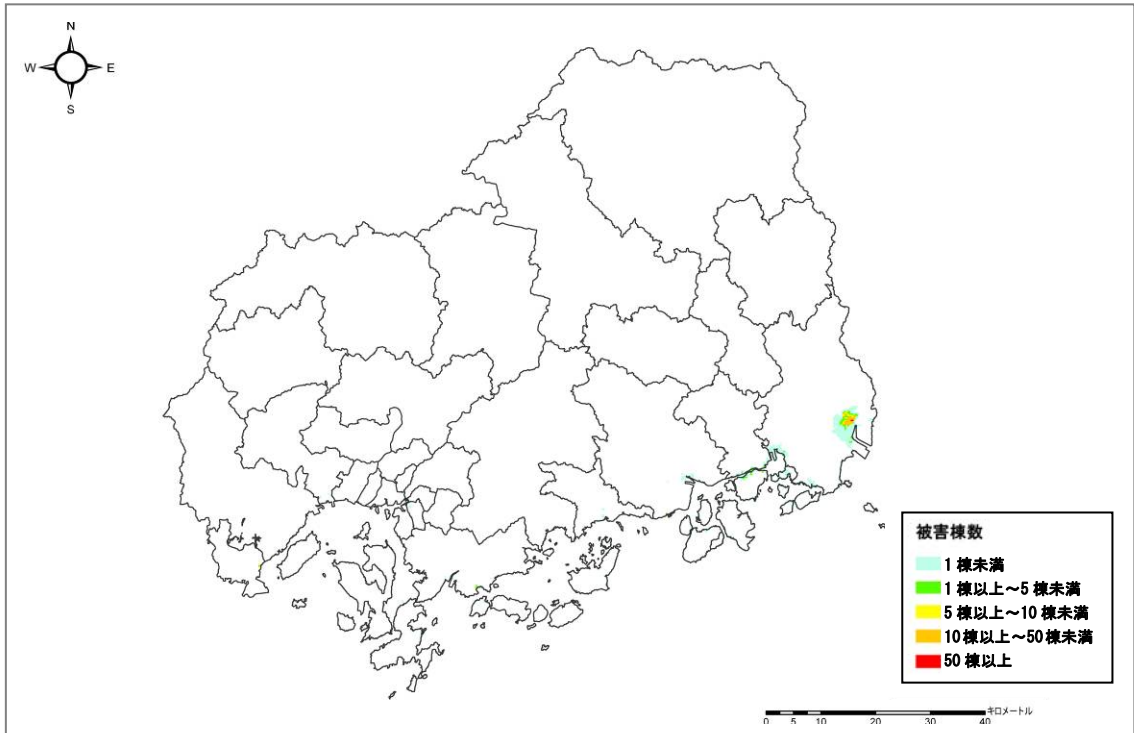


南海トラフ巨大地震（ケース1）

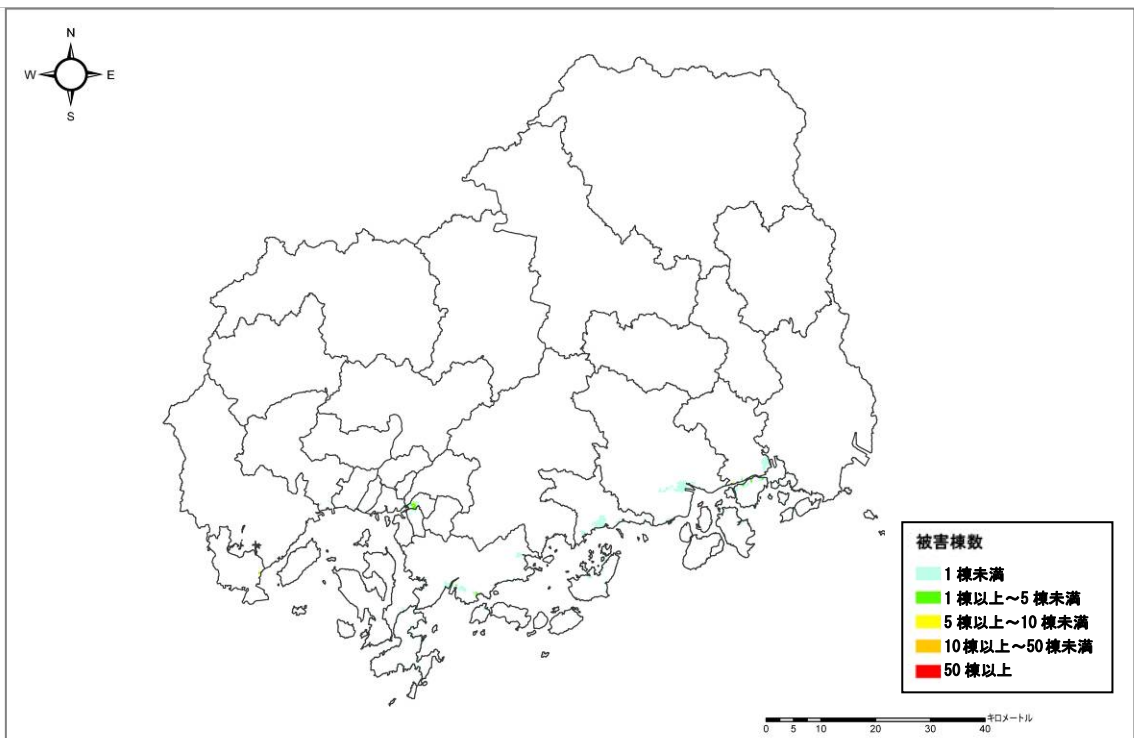


安芸灘～伊予灘～豊後水道の地震

図Ⅲ. 1. 2-3(1) 津波による全壊棟数分布

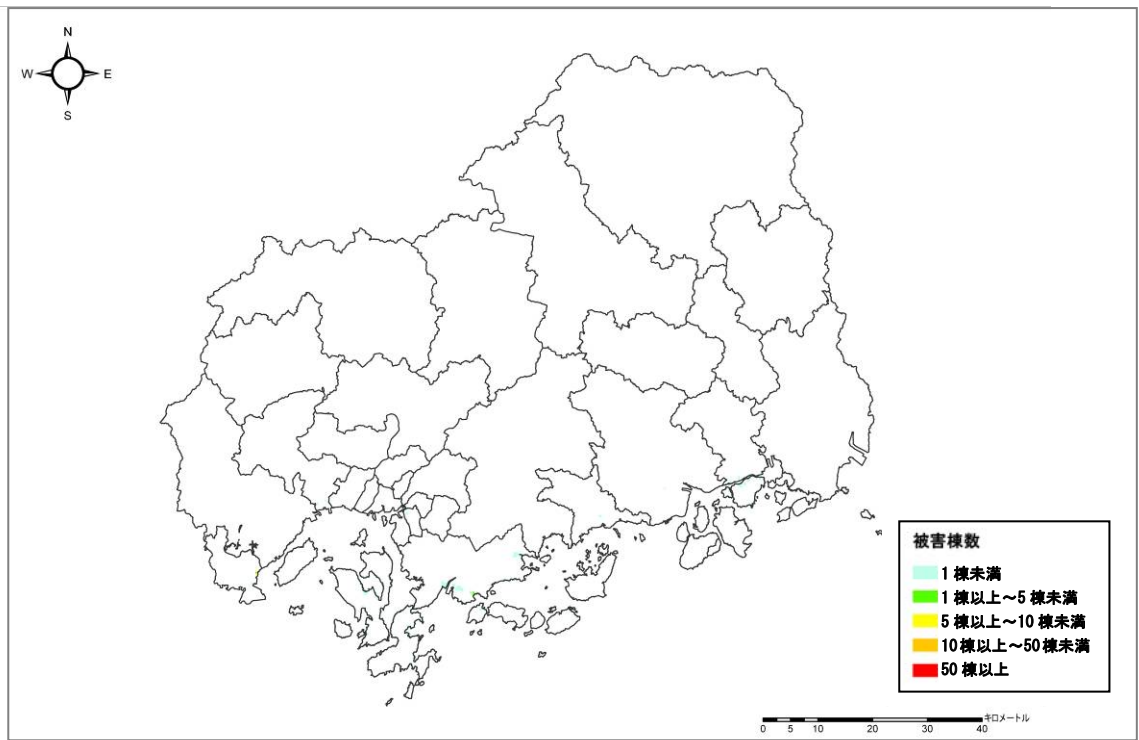


讃岐山脈南縁－石鎚山脈北縁東部の地震

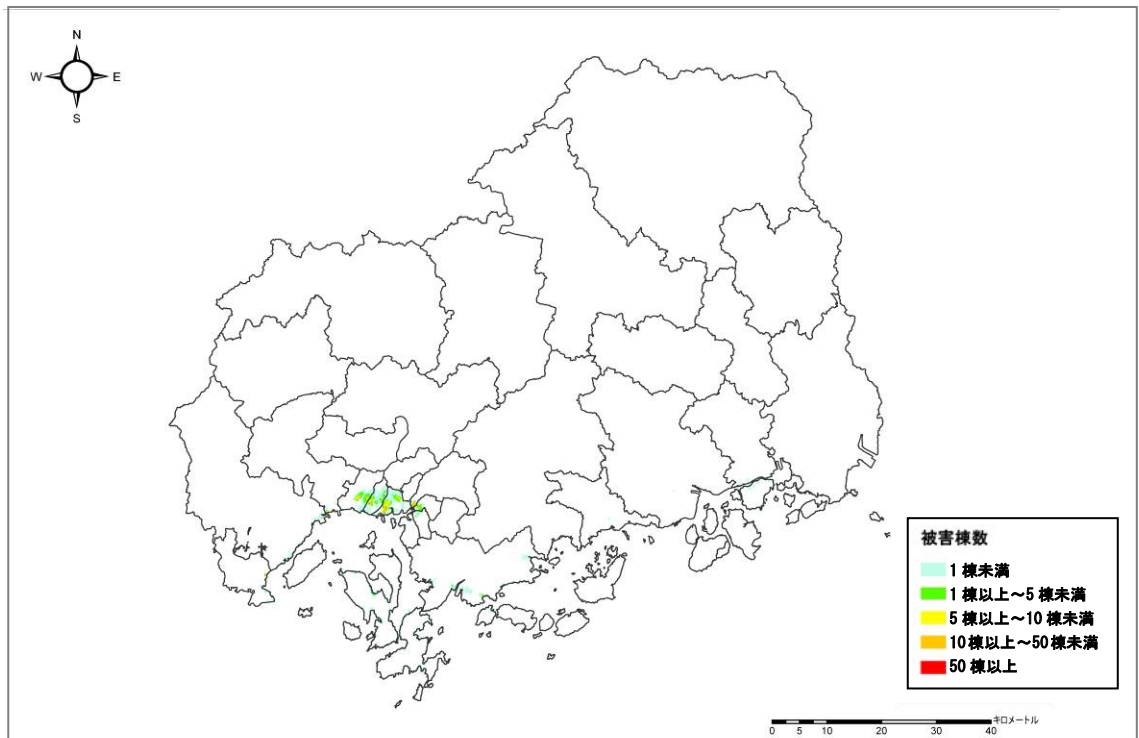


石鎚山脈北縁西部－伊予灘の地震

図Ⅲ. 1. 2-3(2) 津波による全壊棟数分布



安芸灘断層群（主部）の地震



安芸灘断層群（広島湾－岩国沖断層帯）の地震

図Ⅲ. 1. 2-3(3) 津波による全壊棟数分布

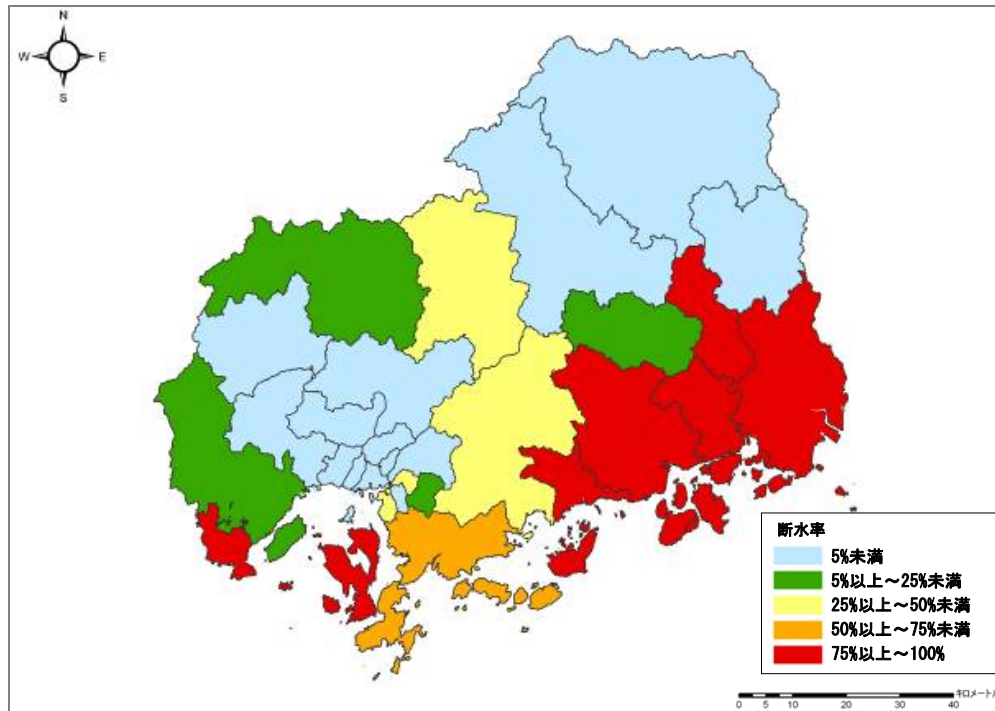
(4) ライフライン被害

揺れ及び津波によるライフラインの被害（断水率，下水道機能支障率，停電率，不通回線率，ガス供給停止率）を市町単位で示す。

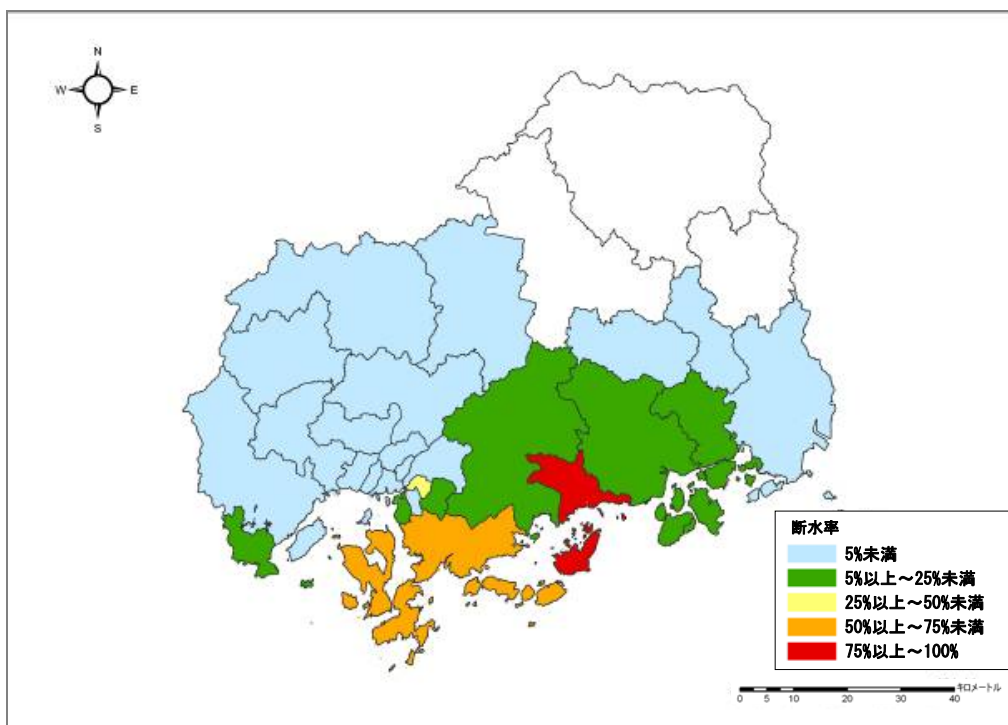
南海トラフ巨大地震については，地震ケースを内閣府の「南海トラフの巨大地震モデル検討会」が示した「基本ケース」，「陸側ケース」，「東側ケース」，「西側ケース」の4つの強震断層モデルと，これを補完するための「経験的手法」及びこれらの震度の最大値の「重ね合わせ」の地震動の予測を行い，そのうち「重ね合わせ」を除き，本県の人的被害に直結する建物全壊棟数が最も多い想定結果となった「陸側ケース」とし，また津波ケースを内閣府の「南海トラフの巨大地震モデル検討会」が示した津波断層モデル11ケースのうち，本県にとって被害が大きい「ケース1」とした場合の被害を示す。

南海トラフ巨大地震以外の地震では，想定断層の両端に破壊開始点を設定した2ケースの地震動の予測を行い，このうち建物被害が大きくなるケースを想定した場合の被害を示す。津波による被害の想定を行った「安芸灘～伊予灘～豊後水道の地震」「讃岐山脈南縁－石鎚山脈北縁東部の地震」「石鎚山脈北縁西部－伊予灘の地震」「安芸灘断層群(主部)の地震」「安芸灘断層群(広島湾－岩国沖断層帯)の地震」については，津波の影響を勘案した被害を示す。

ア 上水道

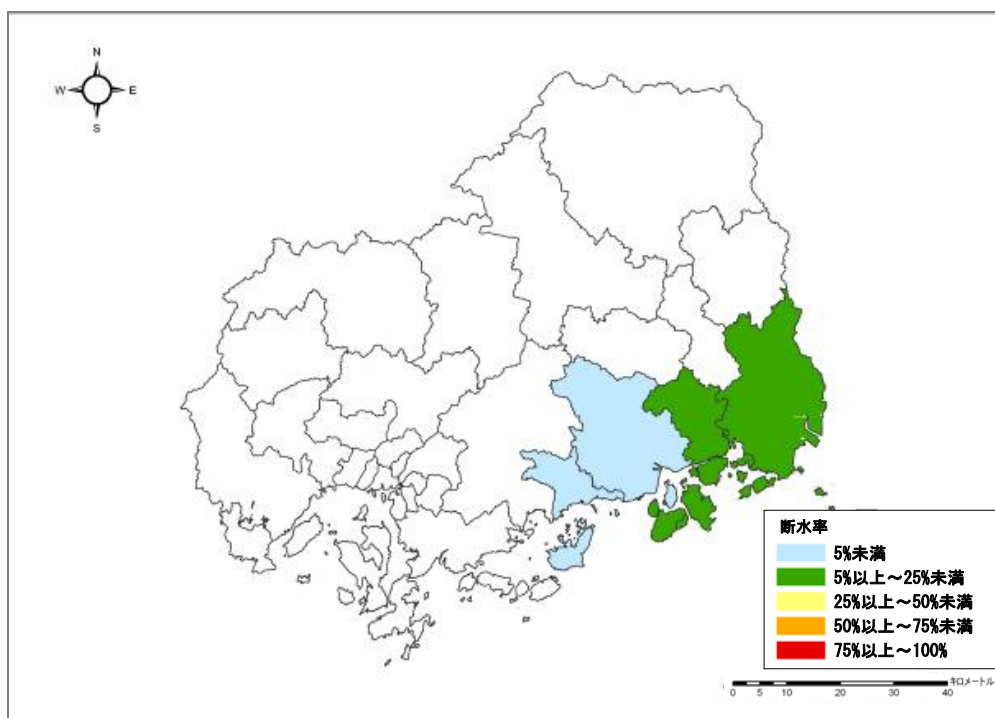


南海トラフ巨大地震（陸側ケース，ケース1）

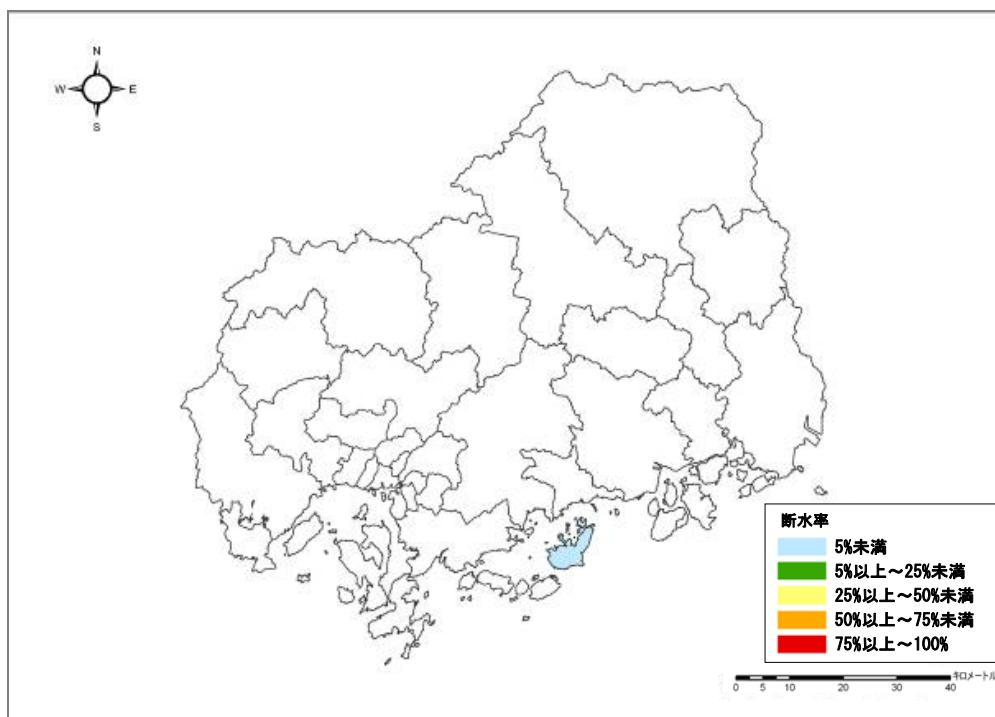


安芸灘～伊予灘～豊後水道の地震（北から破壊）

図Ⅲ.1.2-4(1) 1日後の断水率（冬18時 風速11m/s）

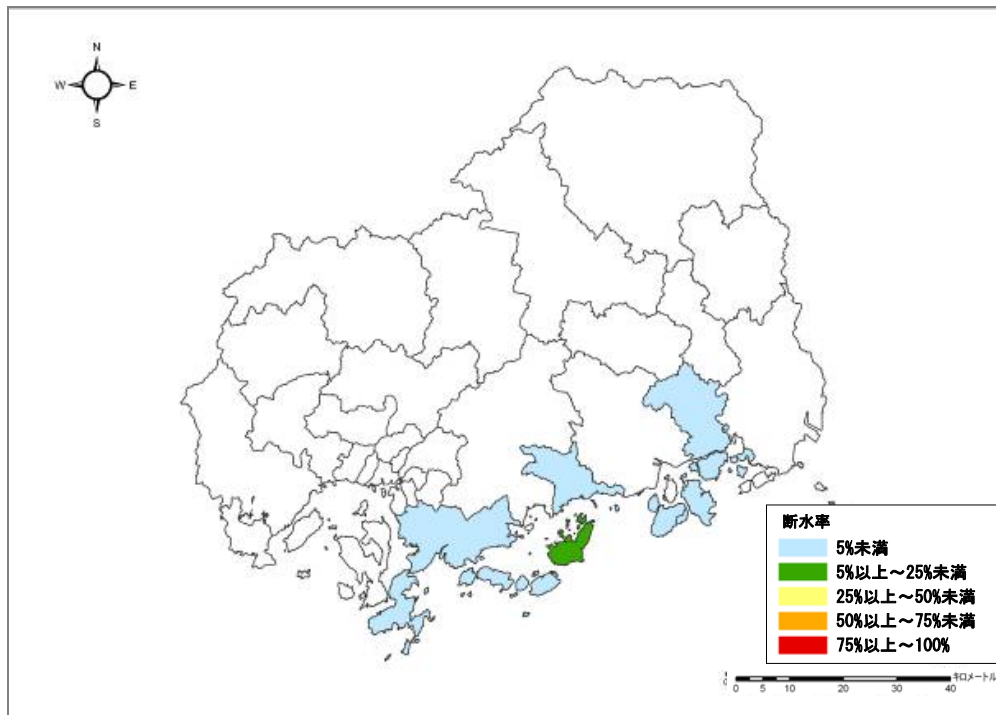


讃岐山脈南縁－石鎚山脈北縁東部の地震（西から破壊）

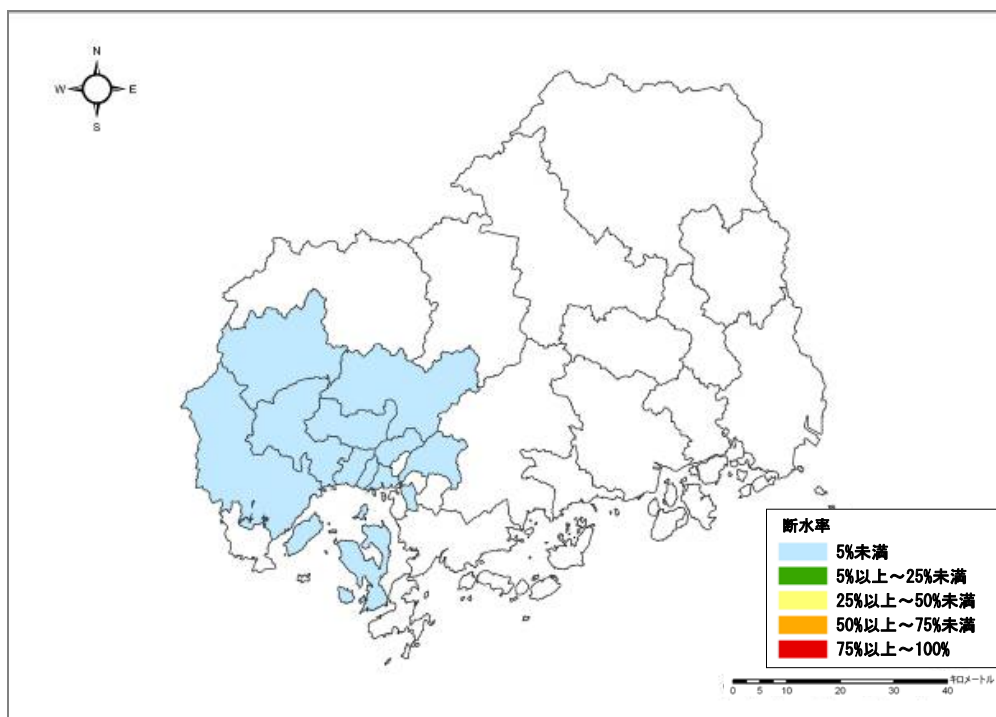


石鎚山脈北縁の地震（西から破壊）

図Ⅲ.1.2-4(2) 1日後の断水率（冬18時 風速11m/s）

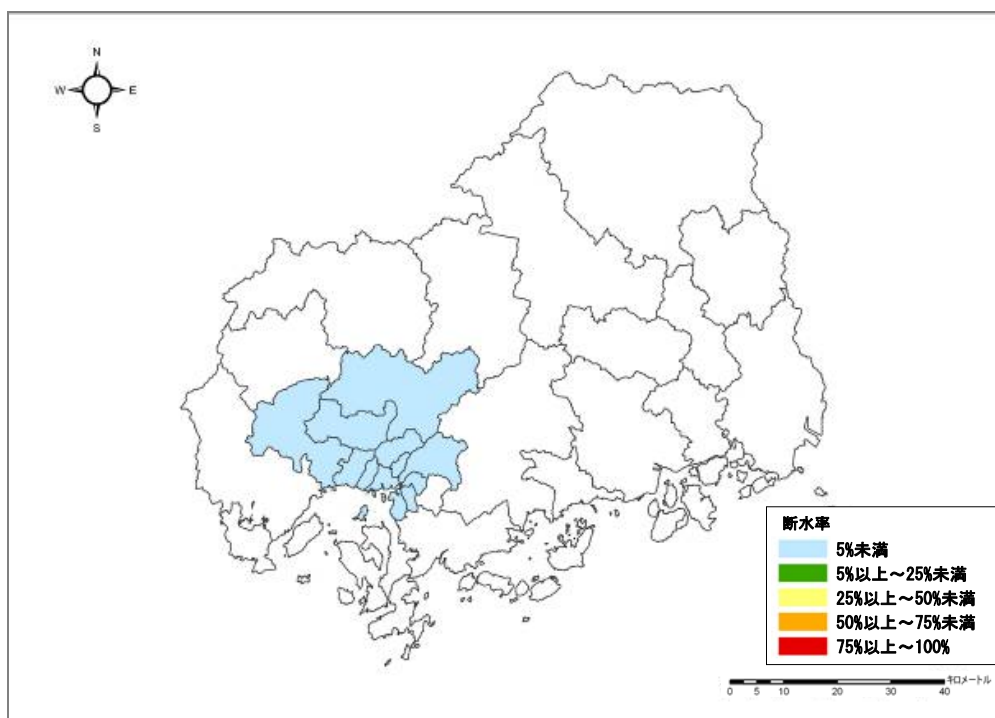


石鎚山脈北縁西部－伊予灘の地震（東から破壊）

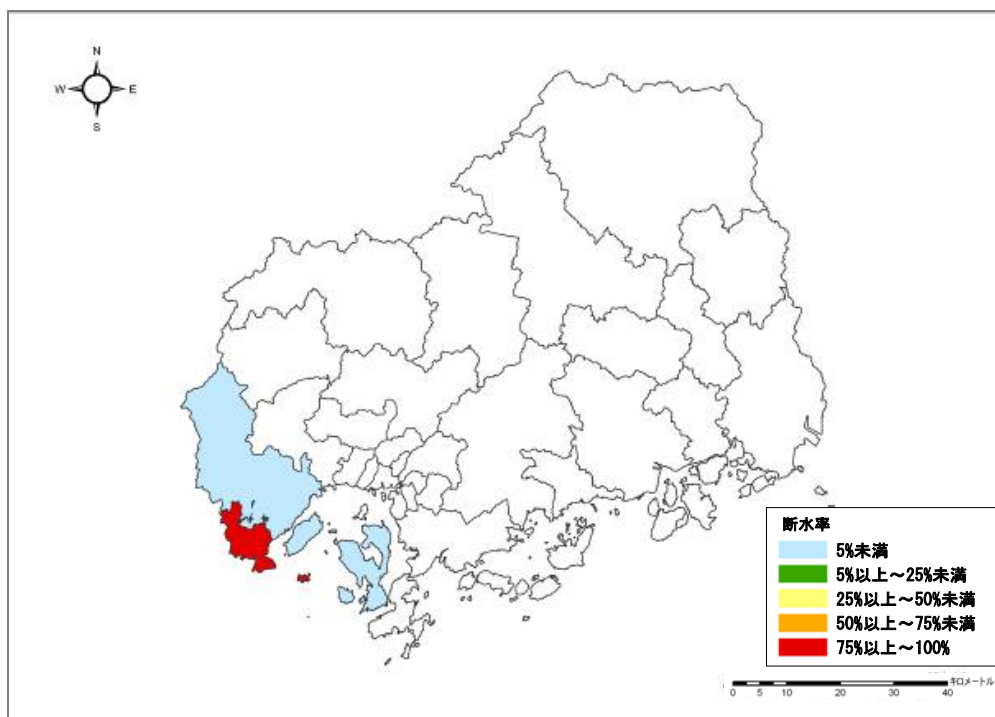


五日市断層の地震（北から破壊）

図Ⅲ.1.2-4(3) 1日後の断水率（冬18時 風速11m/s）

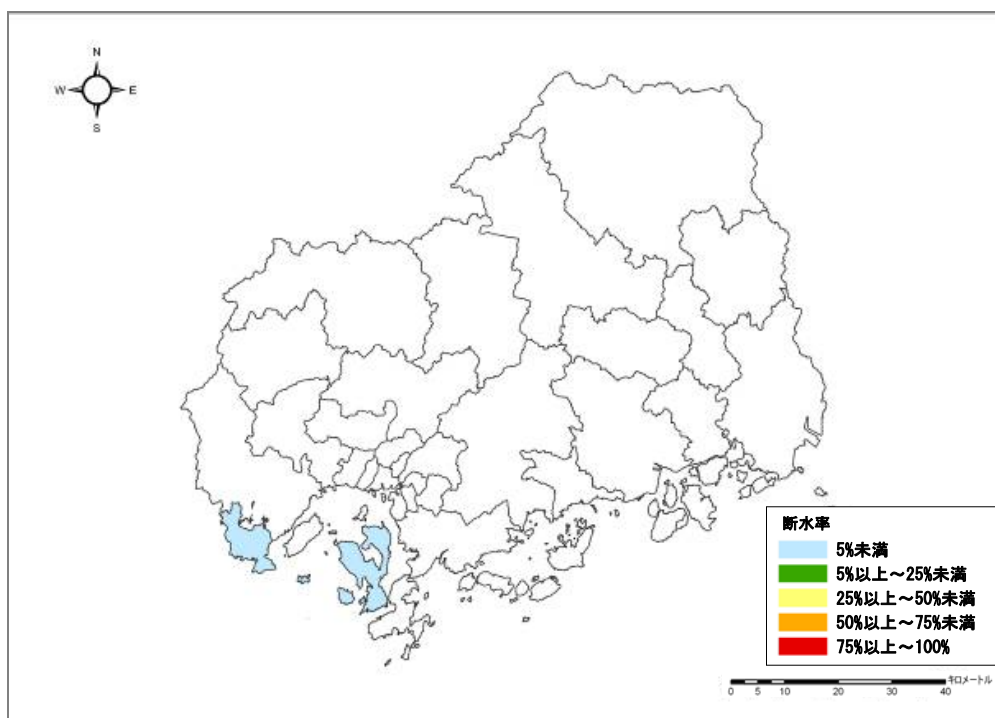


己斐-広島西縁断層帯 (M6.5) の地震 (北から破壊)

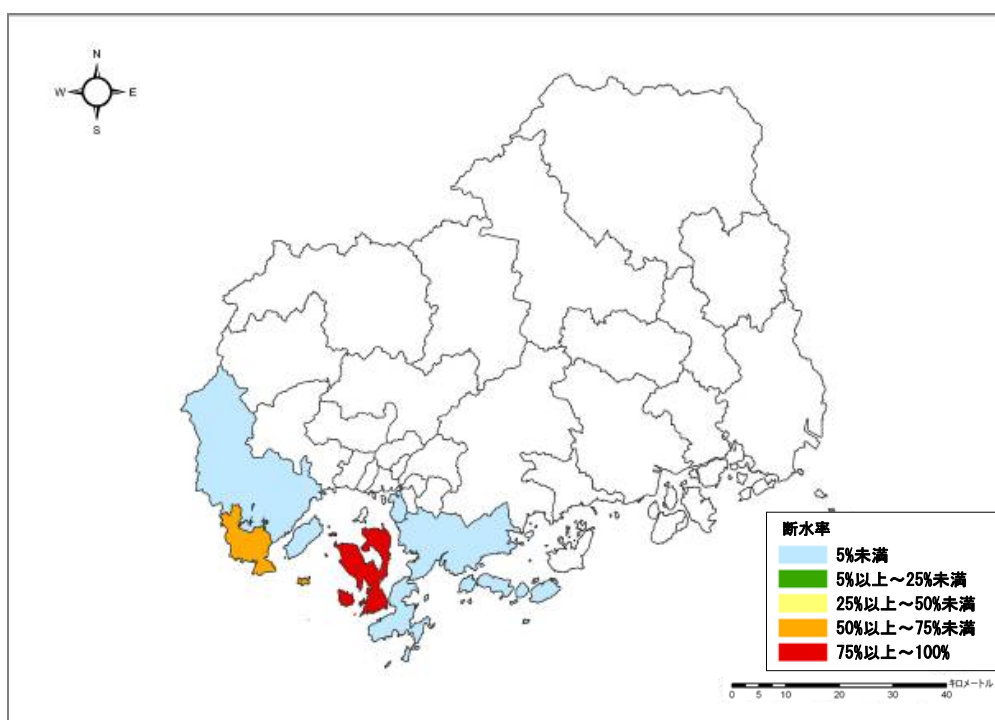


岩国断層帯の地震 (東から破壊)

図Ⅲ.1.2-4(4) 1日後の断水率 (冬18時 風速11m/s)

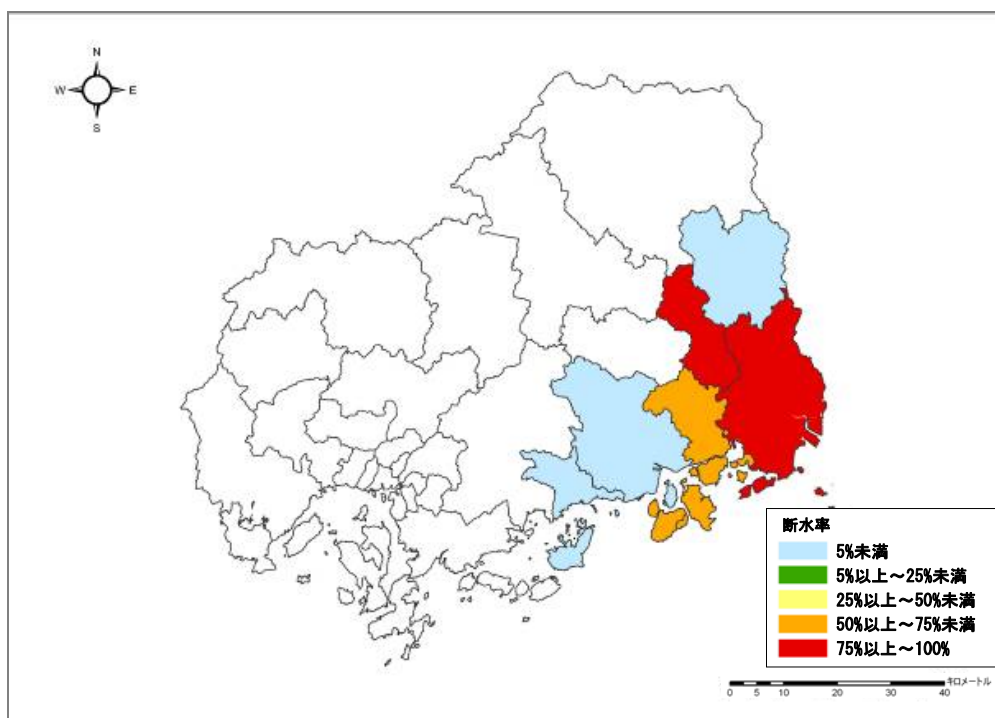


安芸灘断層群（主部）の地震（北から破壊）

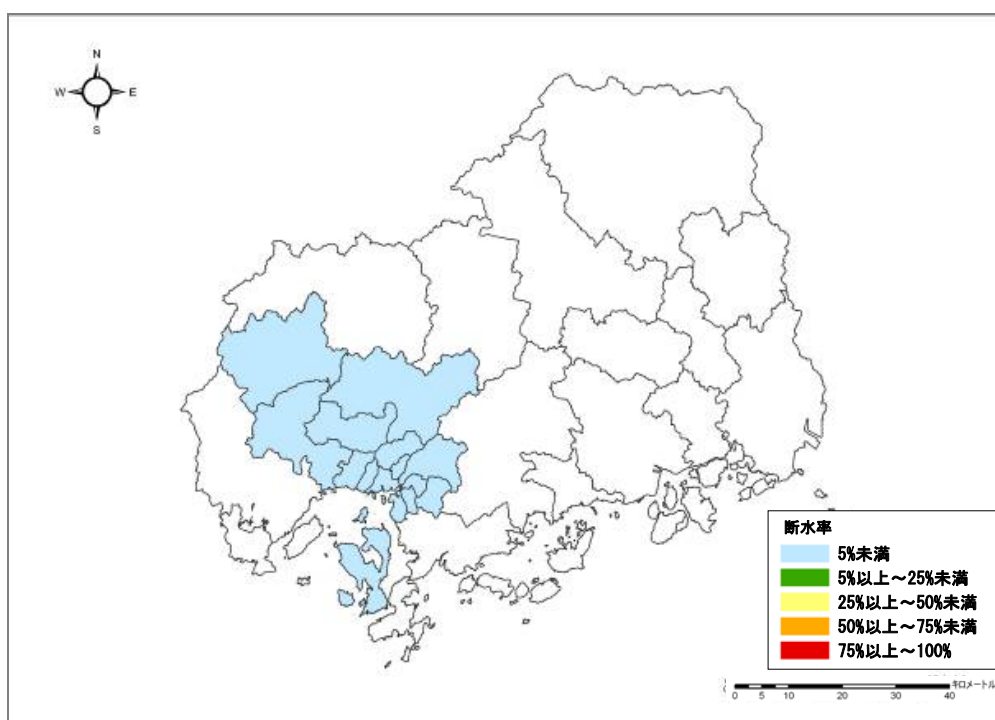


安芸灘断層群（広島－岩国沖断層帯）の地震（北から破壊）

図Ⅲ.1.2-4(5) 1日後の断水率（冬18時 風速11m/s）



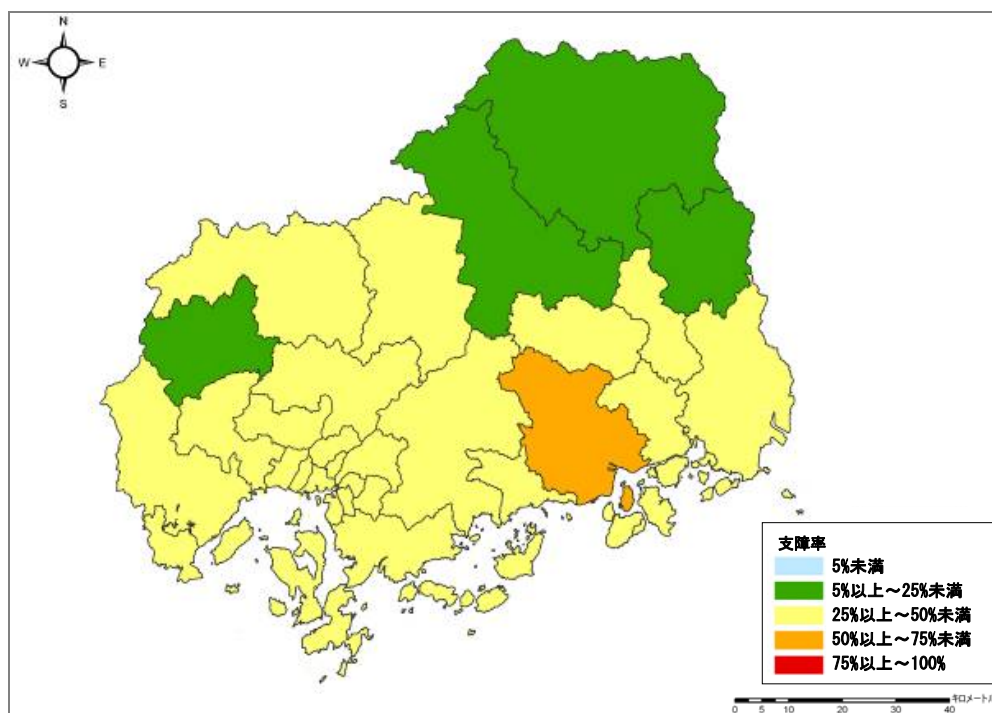
長者ヶ原断層－芳井断層の地震（西から破壊）



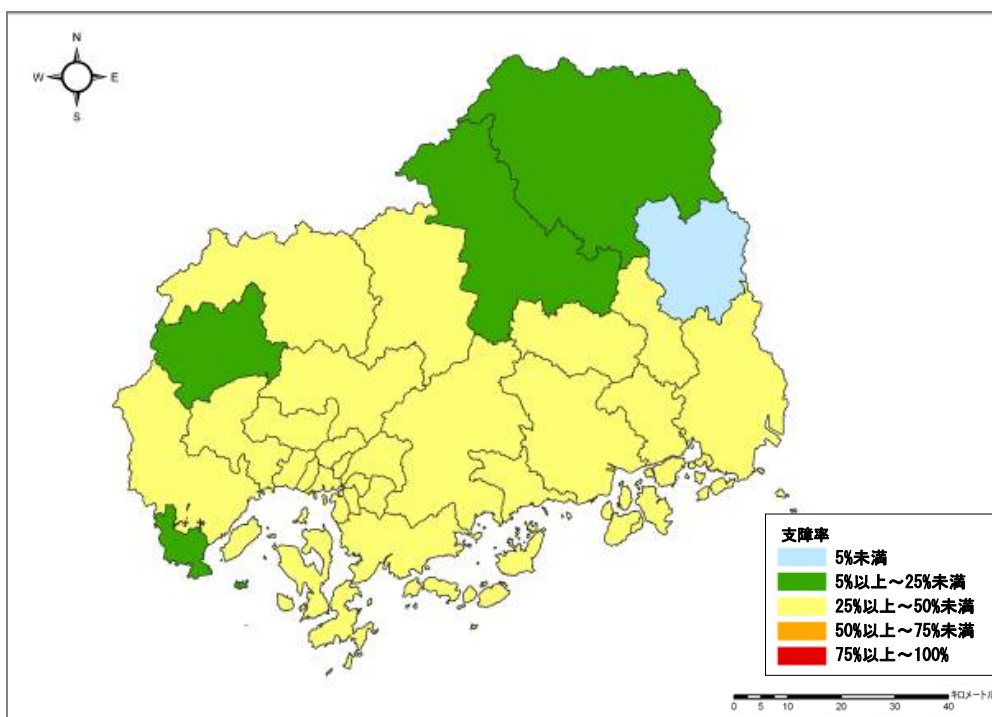
(参考) 己斐－広島西縁断層帯 (M6.9) の地震（南から破壊）

図Ⅲ.1.2-4(6) 1日後の断水率（冬18時 風速11m/s）

イ 下水道

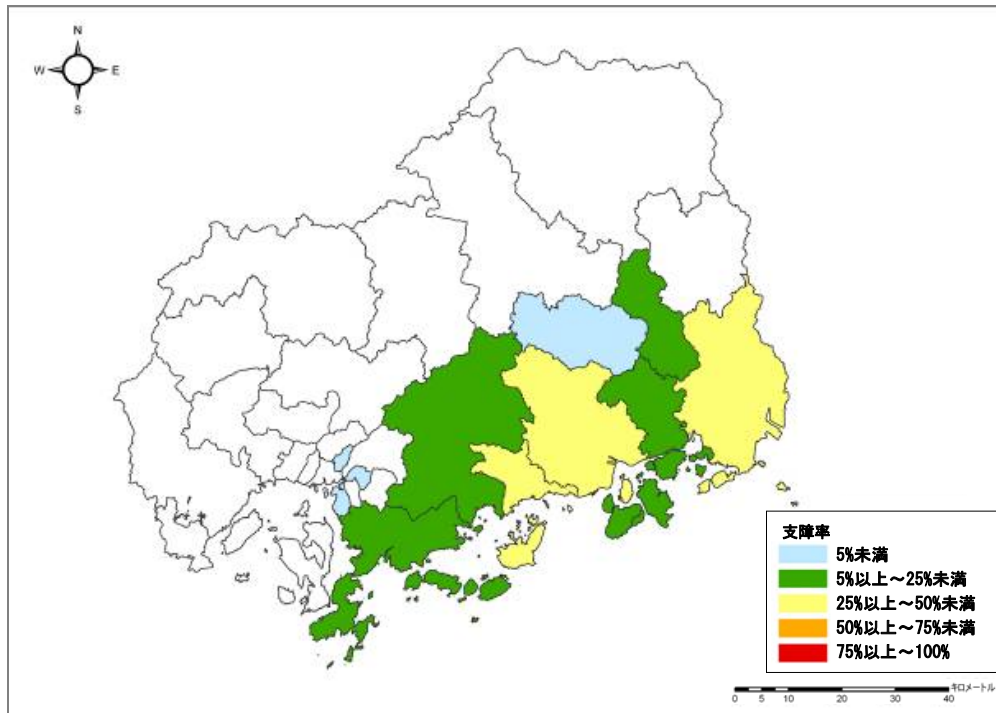


南海トラフ巨大地震（陸側ケース，ケース1）

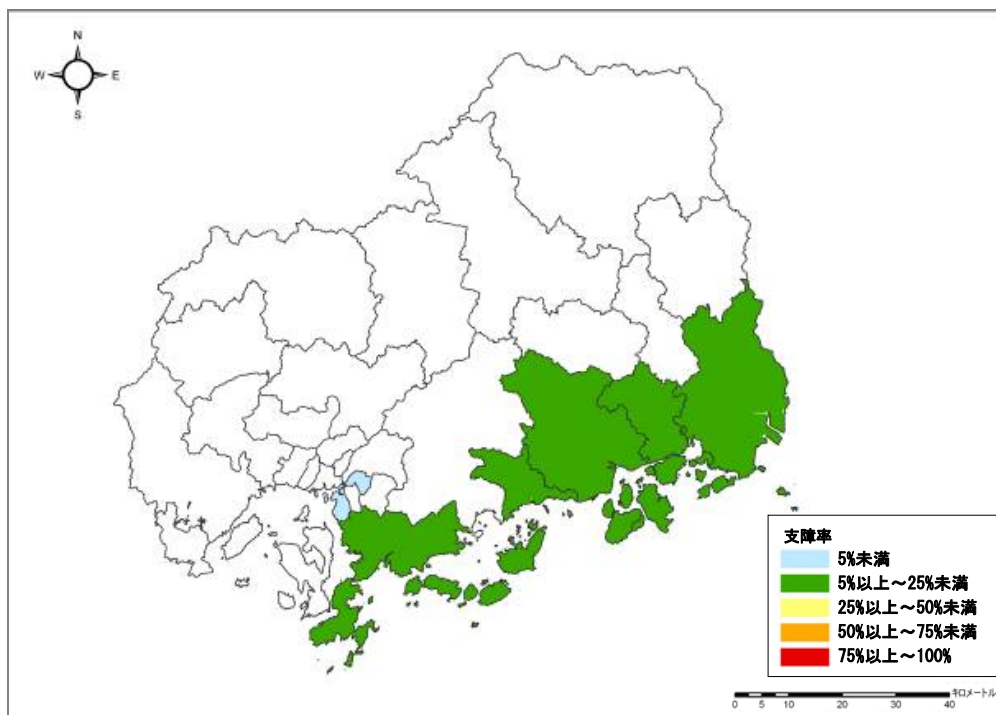


安芸灘～伊予灘～豊後水道の地震（北から破壊）

図Ⅲ.1.2-5(1) 1日後の下水道機能支障率（冬18時 風速11m/s）

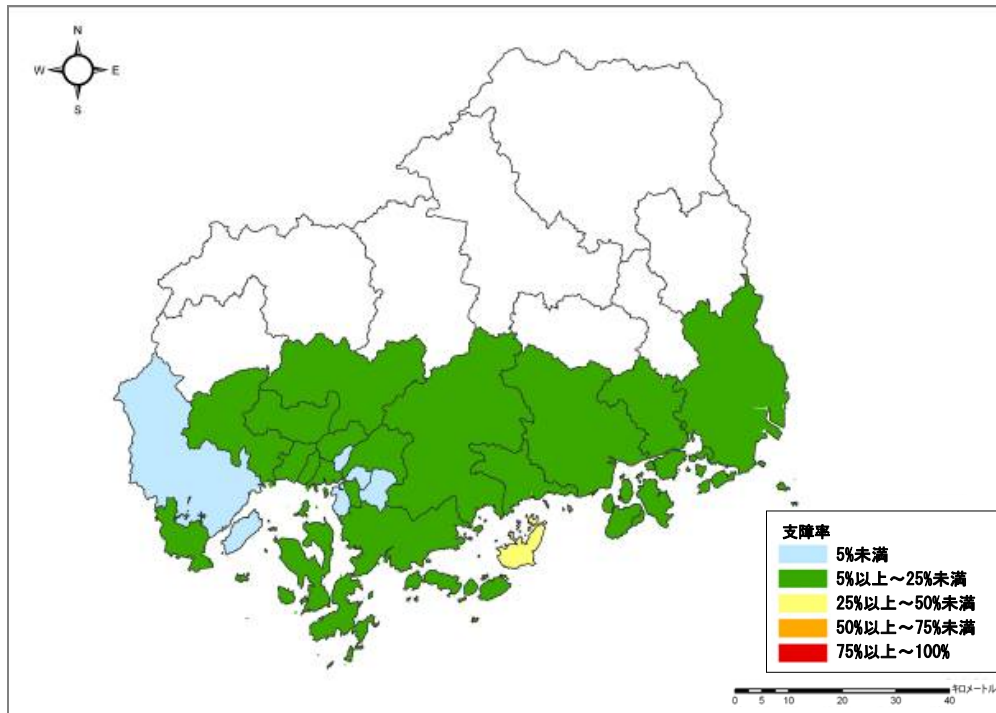


讃岐山脈南縁－石鎚山脈北縁東部の地震（西から破壊）

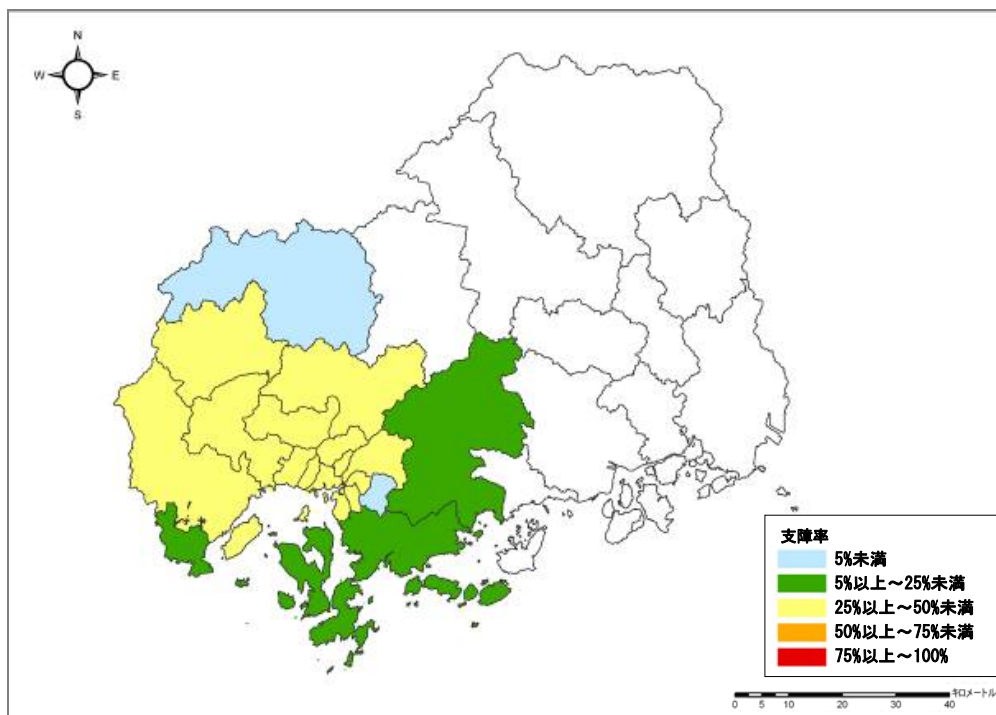


石鎚山脈北縁の地震（西から破壊）

図Ⅲ. 1. 2-5(2) 1日後の下水道機能支障率（冬 18時 風速 11m/s）

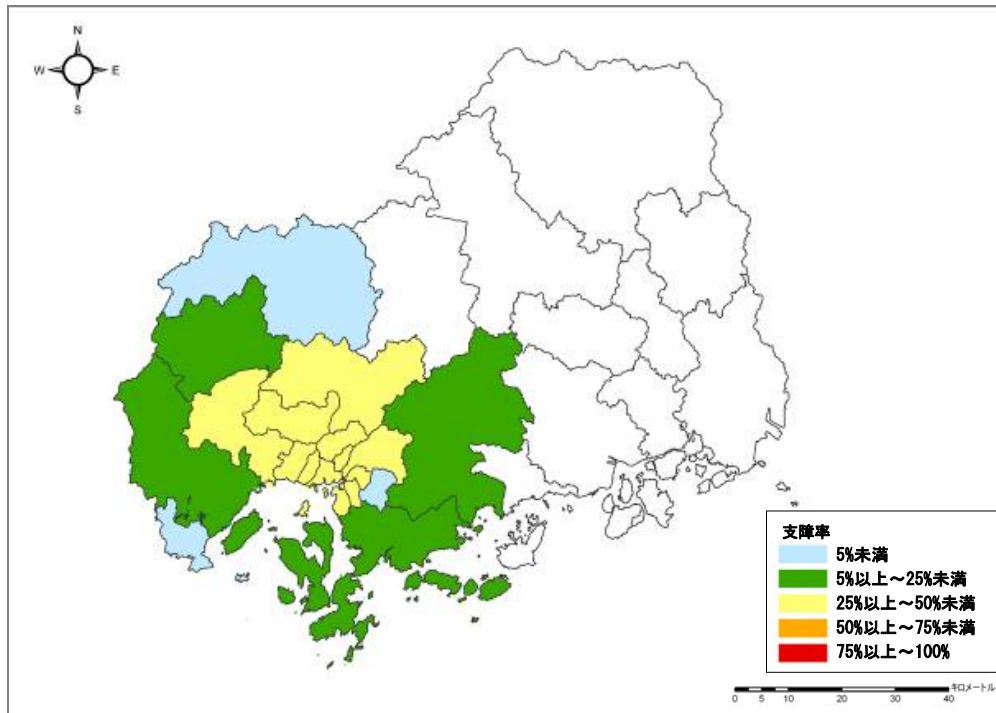


石鎚山脈北縁西部－伊予灘の地震（東から破壊）

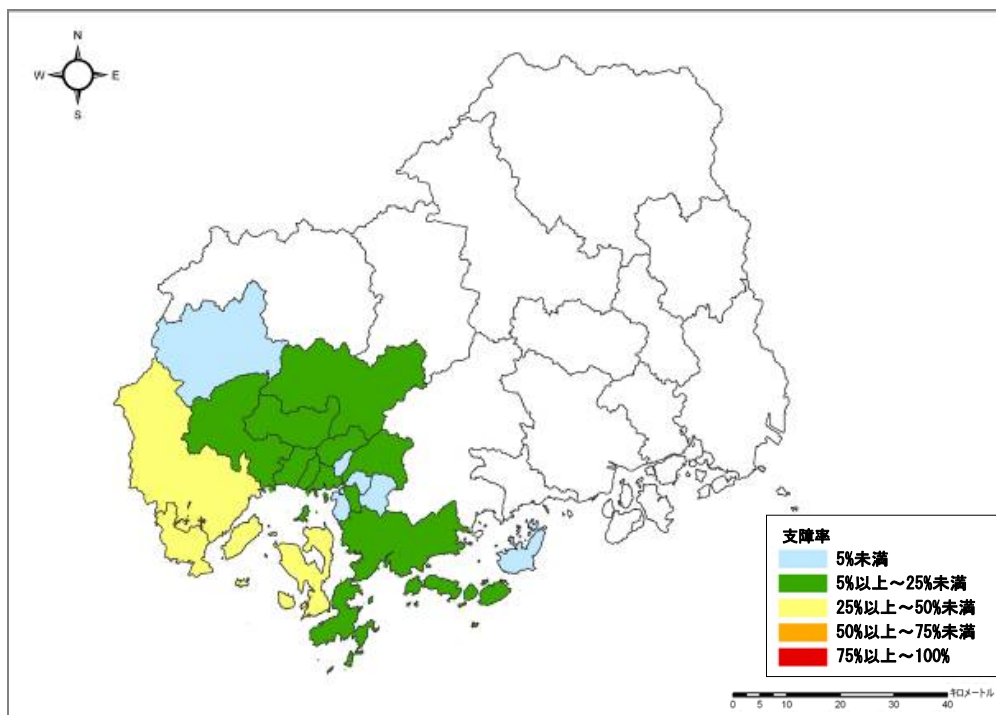


五日市断層の地震（北から破壊）

図Ⅲ. 1. 2-5(3) 1日後の下水道機能支障率（冬 18時 風速 11m/s）

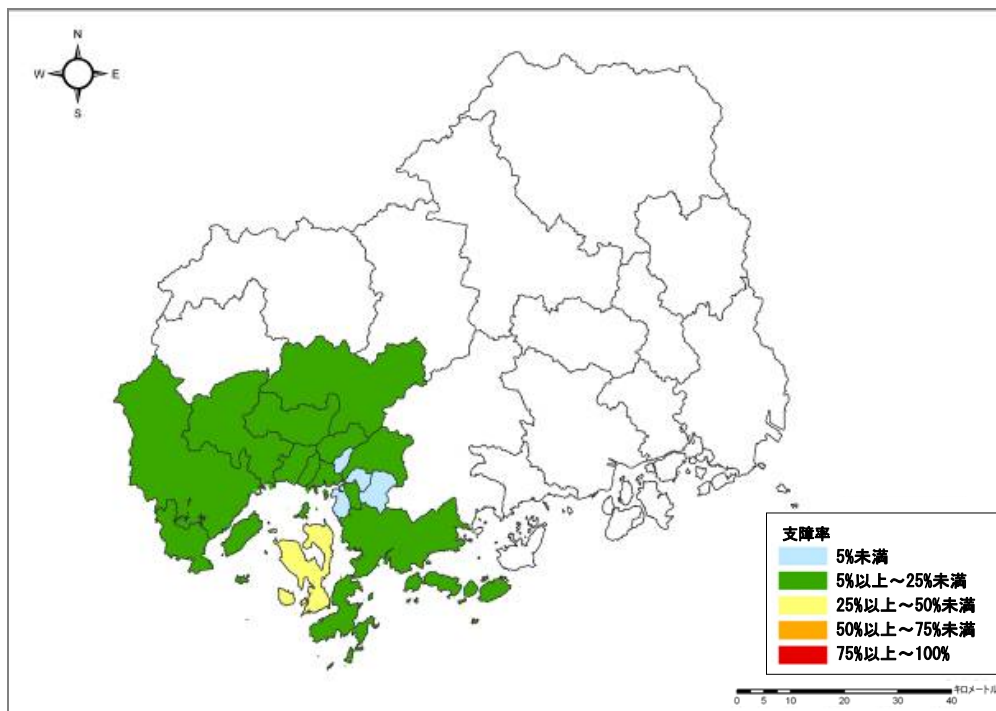


己斐-広島西縁断層帯 (M6.5) の地震 (北から破壊)

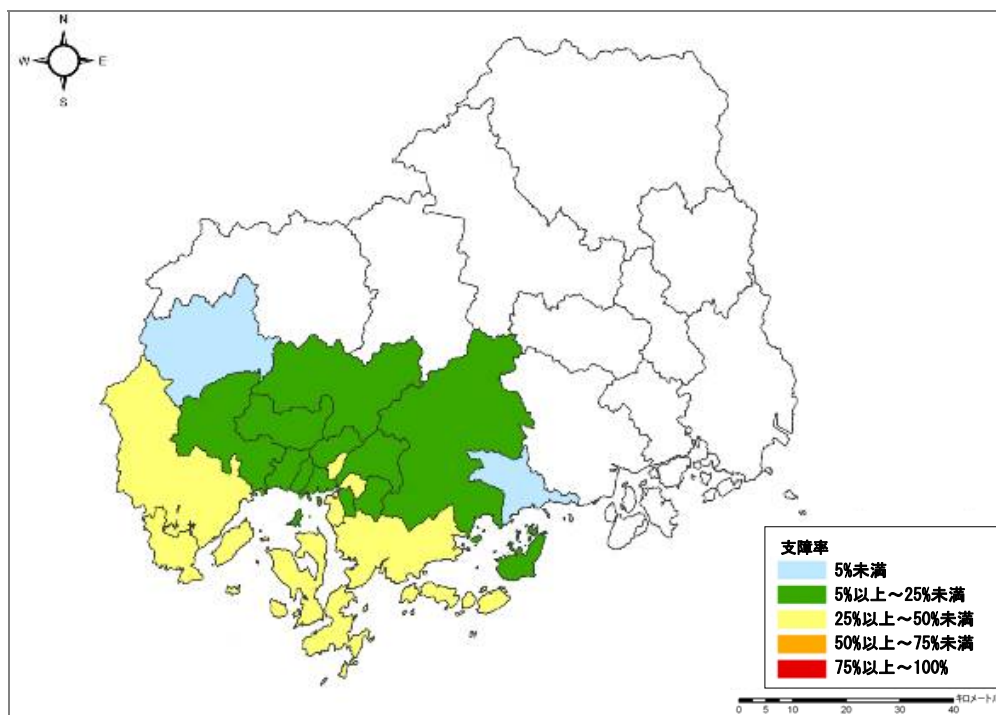


岩国断層帯の地震 (東から破壊)

図Ⅲ. 1. 2-5(4) 1日後の下水道機能支障率 (冬 18時 風速 11m/s)

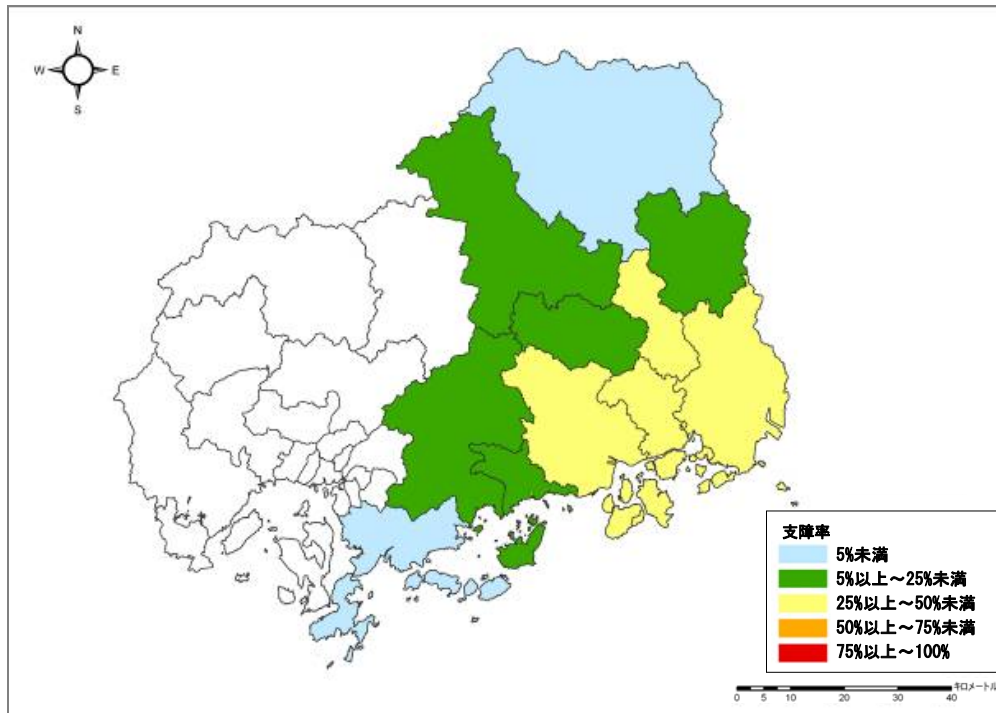


安芸灘断層群（主部）の地震（北から破壊）

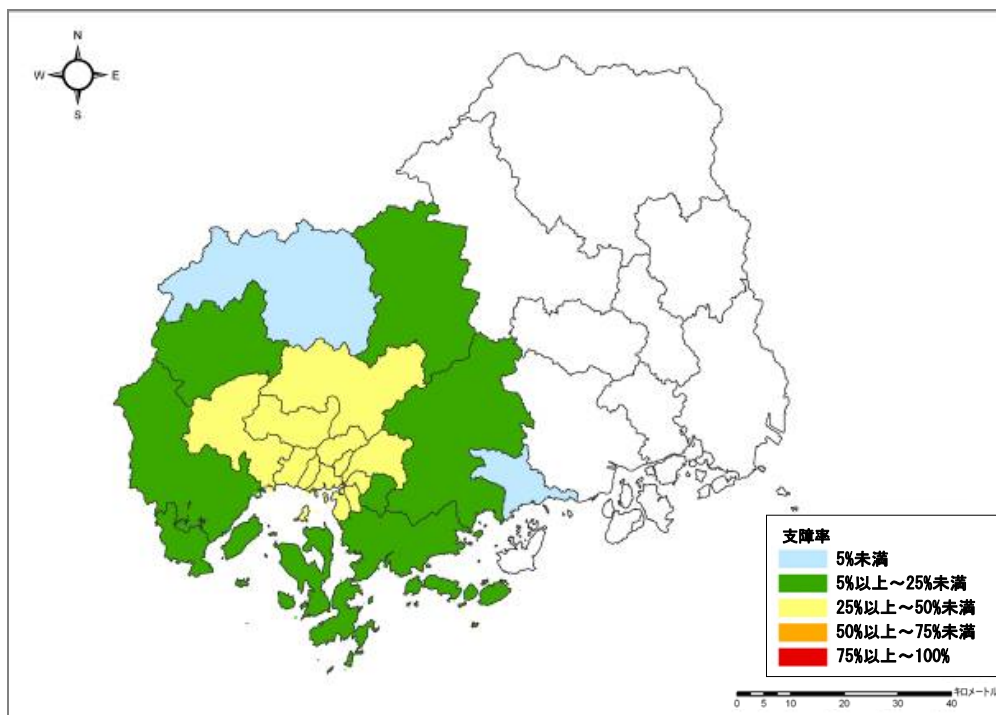


安芸灘断層群（広島-岩国沖断層帯）の地震（北から破壊）

図Ⅲ. 1. 2-5(5) 1日後の下水道機能支障率（冬 18時 風速 11m/s）



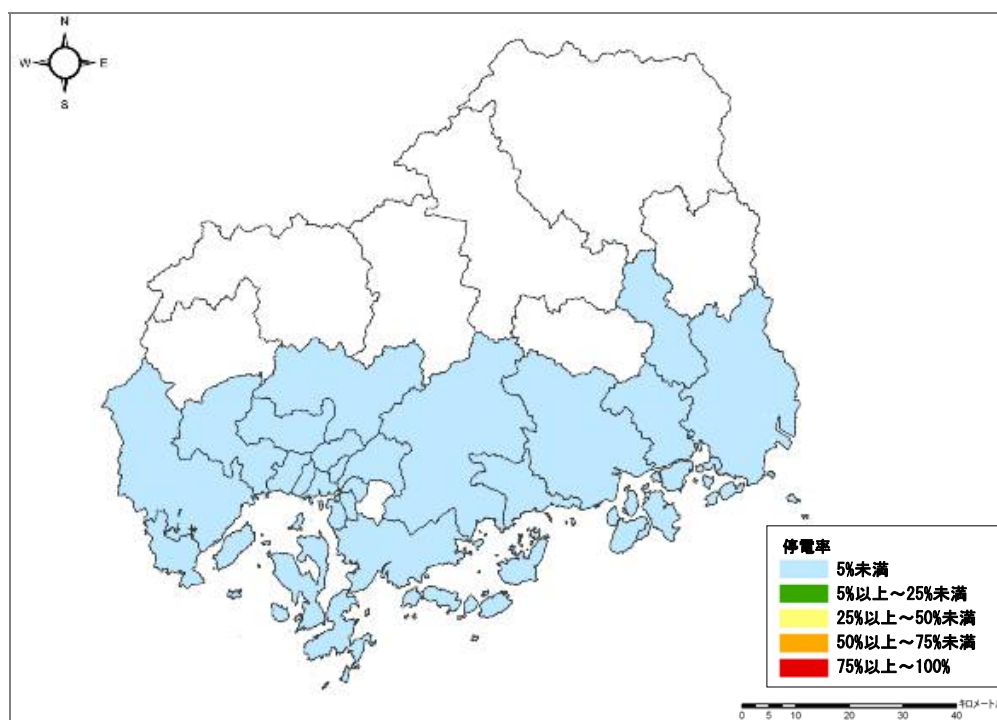
長者ヶ原断層－芳井断層の地震（西から破壊）



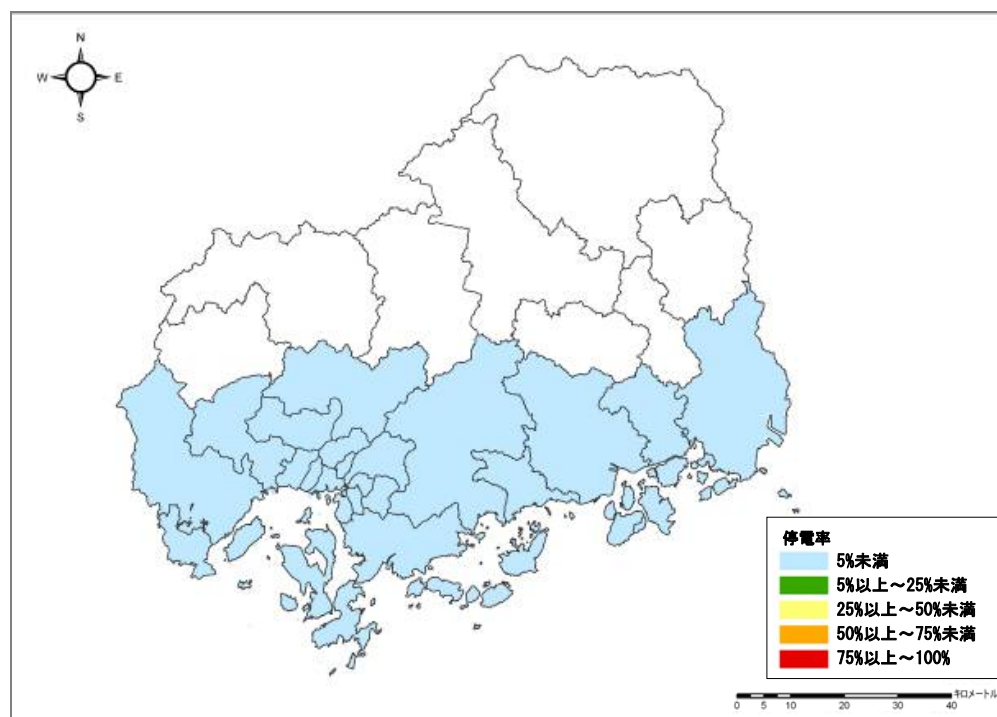
(参考) 己斐－広島西縁断層帯 (M6.9) の地震（南から破壊）

図Ⅲ. 1. 2-5(6) 1日後の下水道機能支障率（冬18時 風速11m/s）

ウ 電力

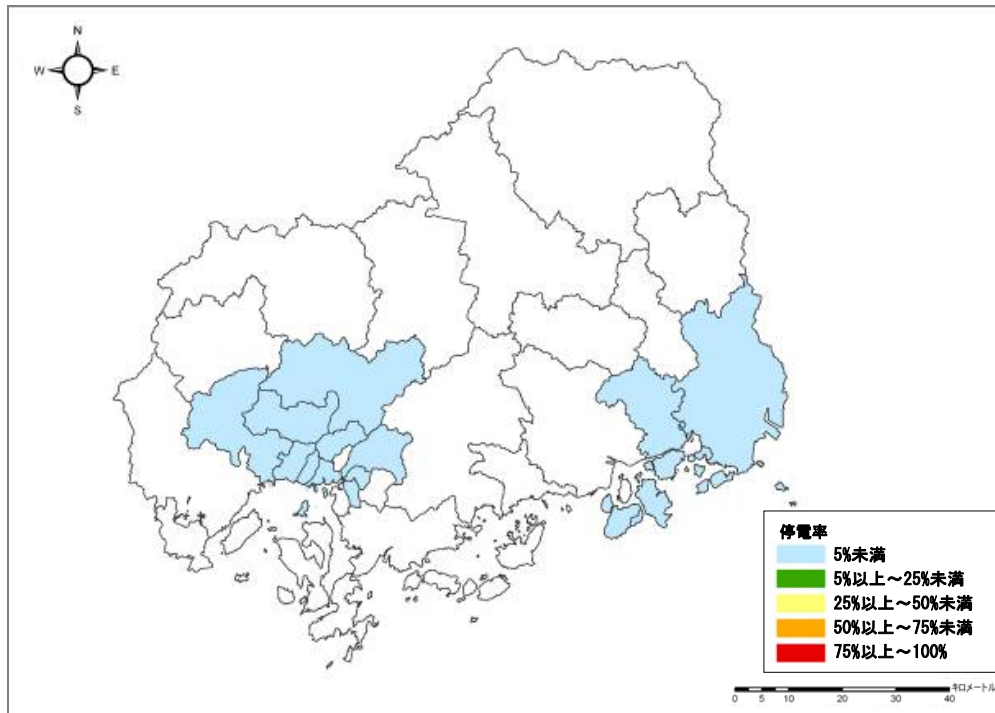


南海トラフ巨大地震（陸側ケース，ケース1）

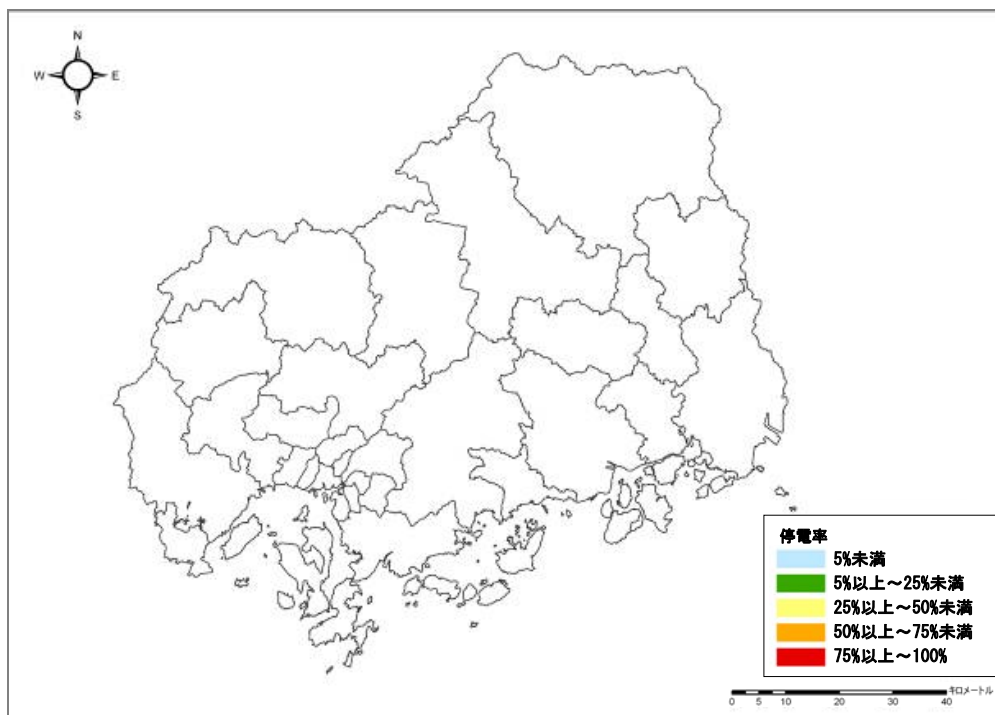


安芸灘～伊予灘～豊後水道の地震（北から破壊）

図Ⅲ.1.2-6(1) 1日後の停電率（冬18時 風速11m/s）

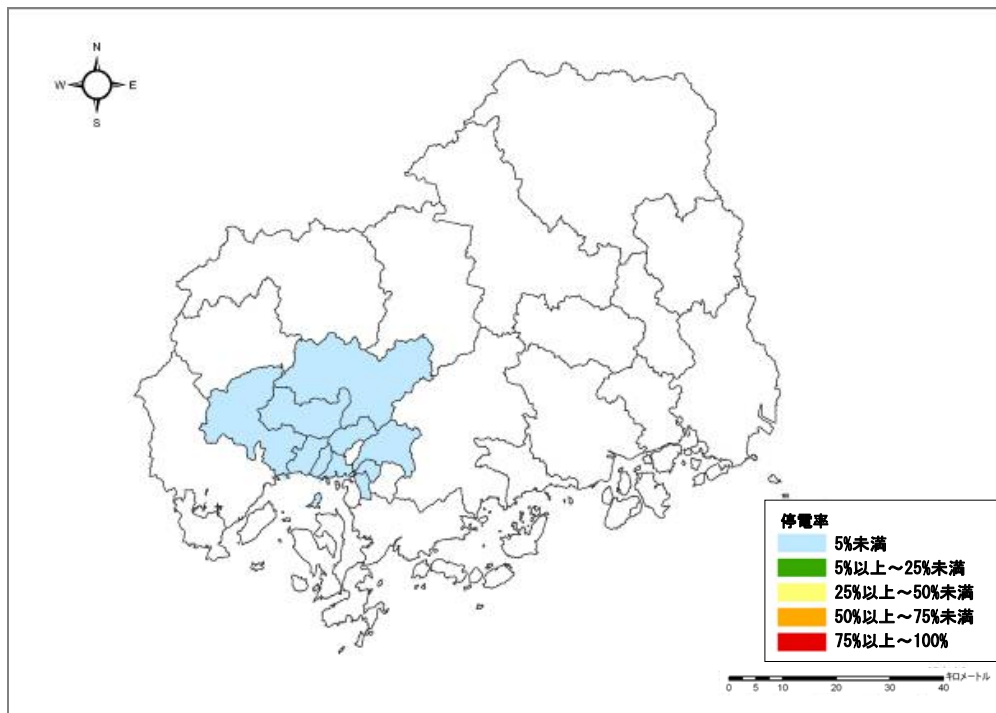


釧路山脈南縁－石鎚山脈北縁東部の地震（西から破壊）

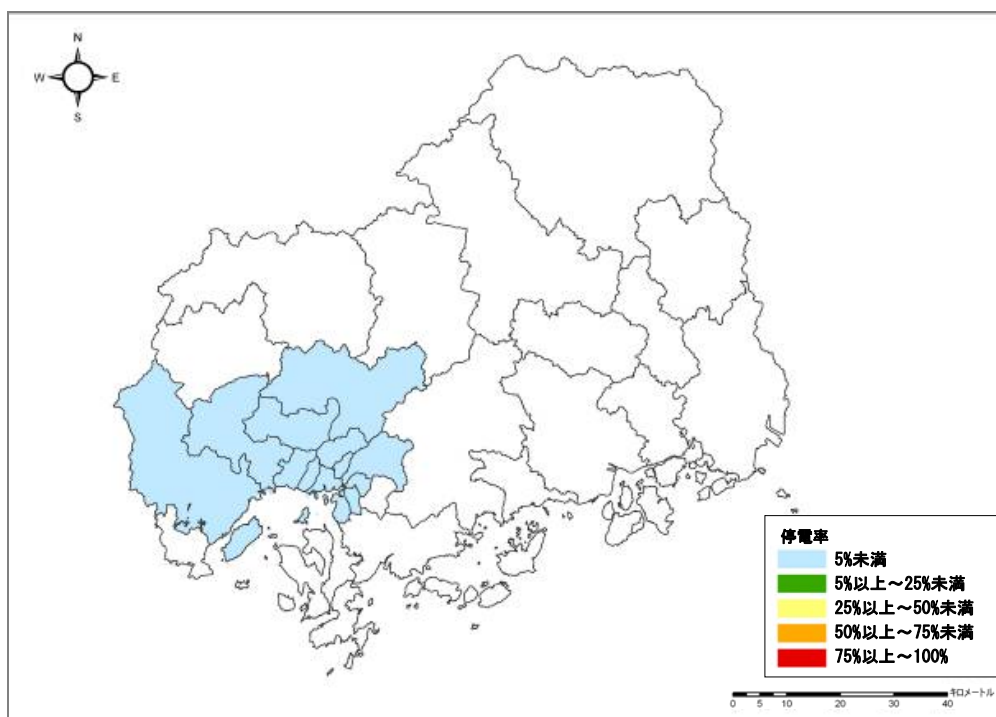


石鎚山脈北縁の地震（西から破壊）

図Ⅲ.1.2-6(2) 1日後の停電率（冬18時 風速11m/s）

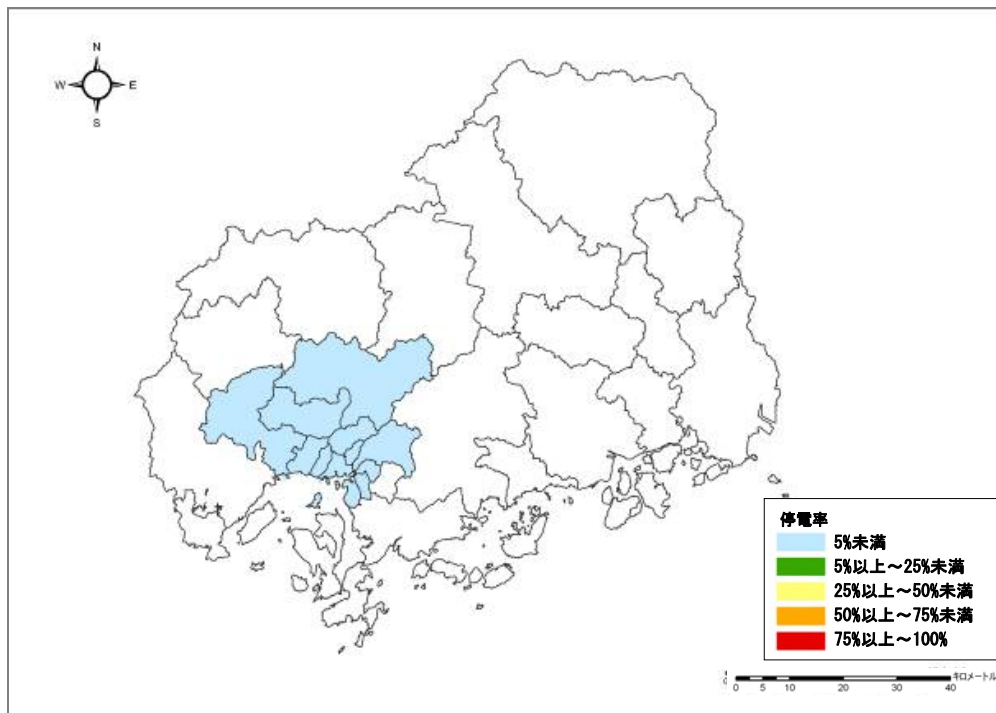


石鎚山脈北縁西部－伊予灘の地震（東から破壊）

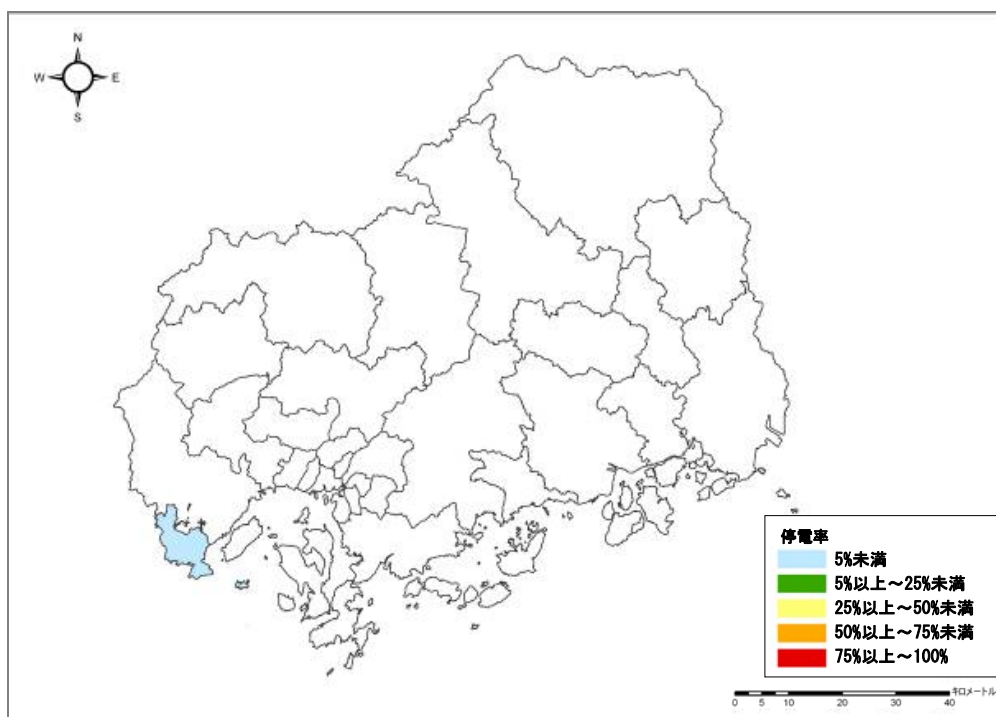


五日市断層の地震（北から破壊）

図Ⅲ.1.2-6(3) 1日後の停電率（冬18時 風速11m/s）

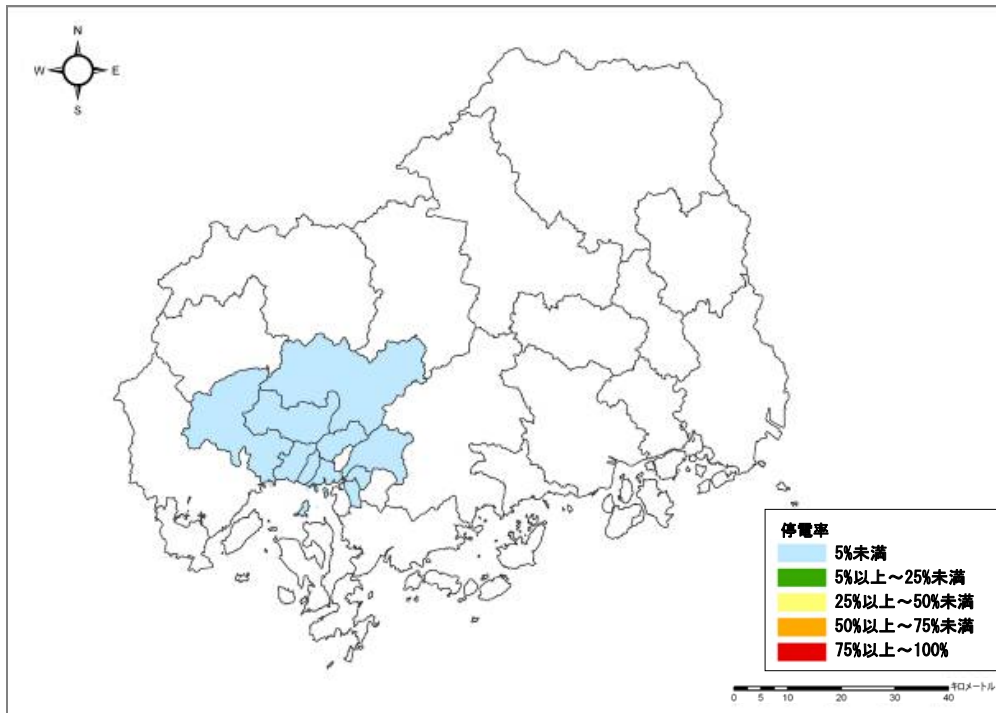


己斐ー広島西縁断層帯 (M6.5) の地震 (北から破壊)

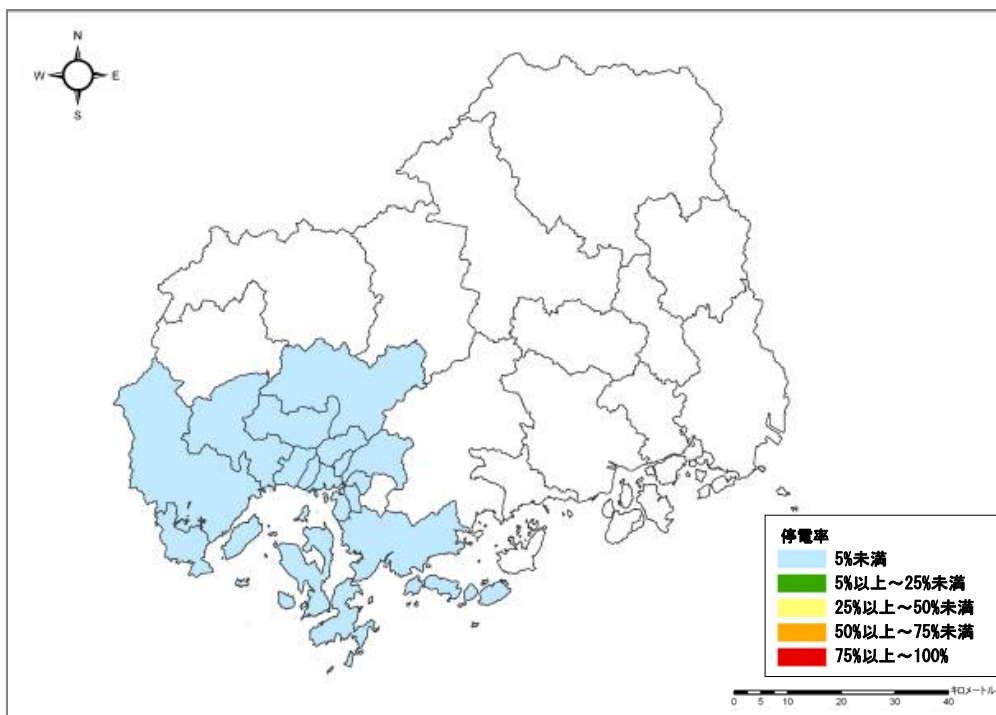


岩国断層帯の地震 (東から破壊)

図Ⅲ.1.2-6(4) 1日後の停電率 (冬18時 風速11m/s)

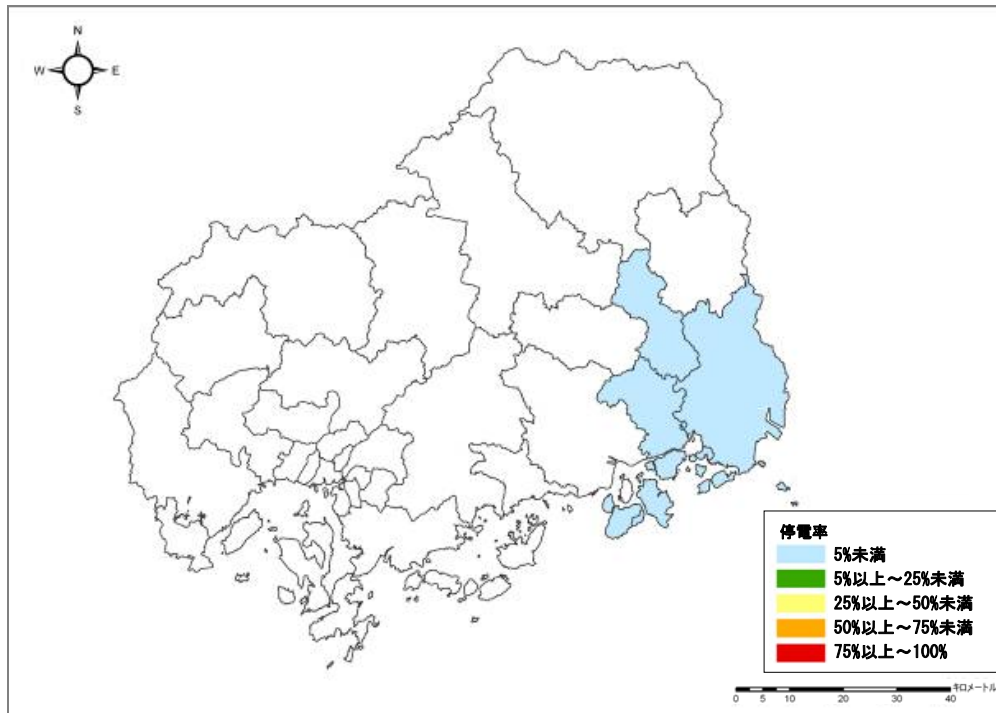


安芸灘断層群（主部）の地震（北から破壊）

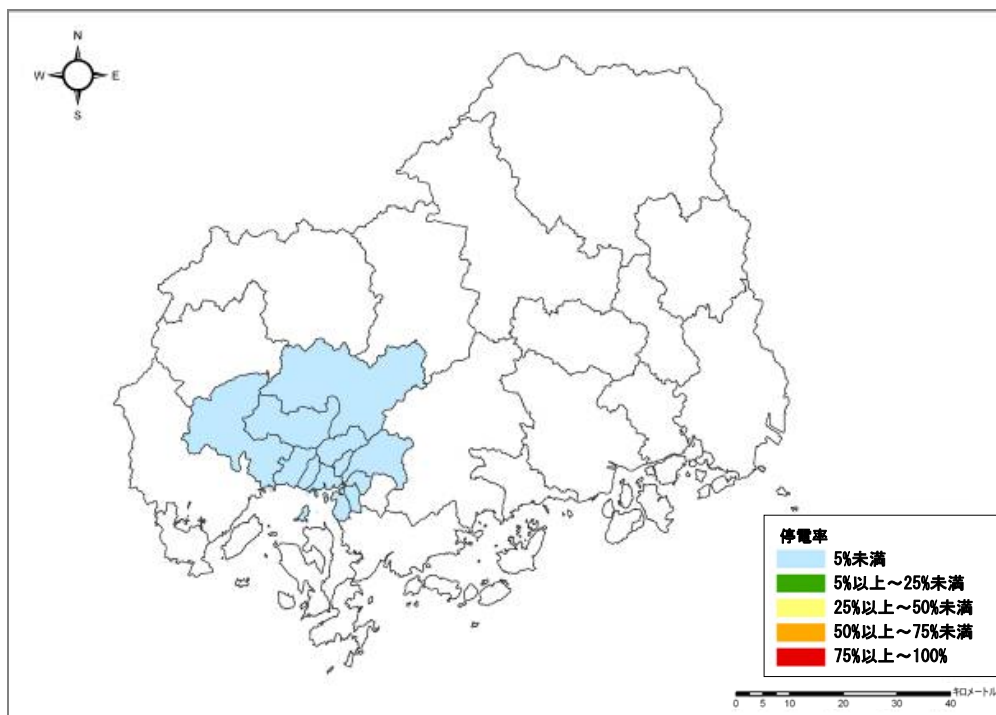


安芸灘断層群（広島－岩国沖断層帯）の地震（北から破壊）

図Ⅲ.1.2-6(5) 1日後の停電率（冬18時 風速11m/s）



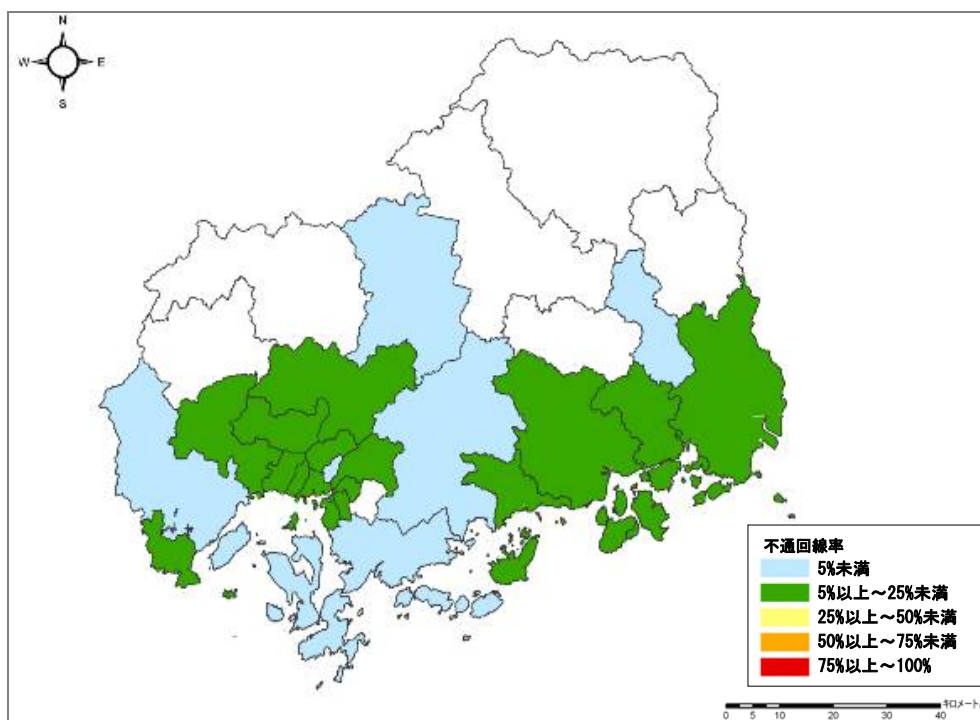
長者ヶ原断層－芳井断層の地震（西から破壊）



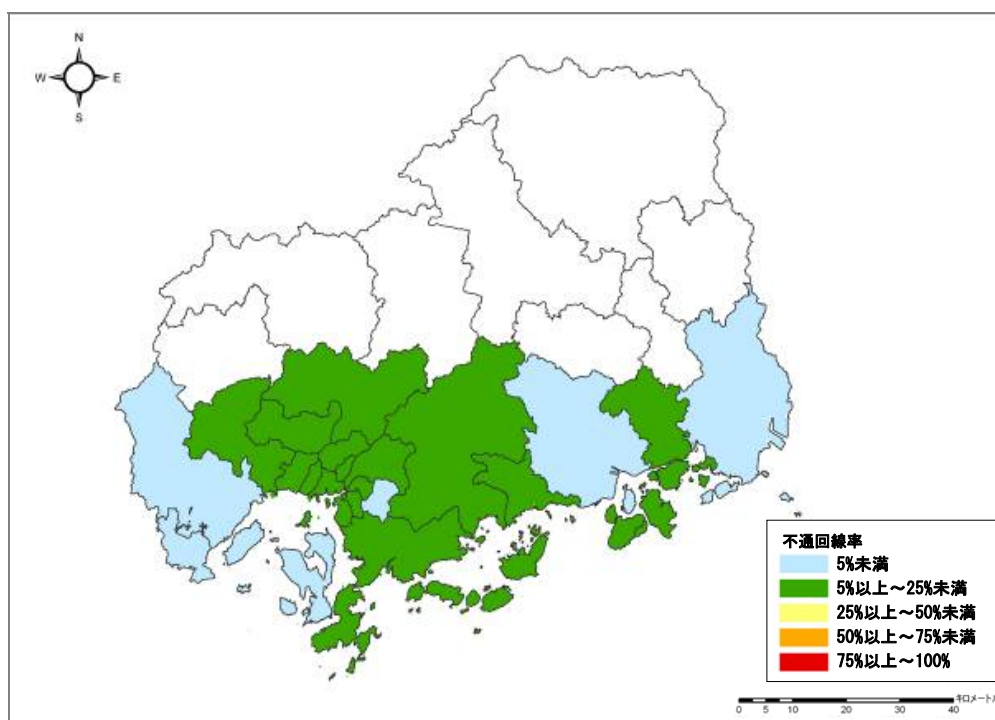
(参考) 己斐－広島西縁断層帯 (M6.9) の地震（南から破壊）

図Ⅲ.1.2-6(6) 1日後の停電率（冬18時 風速11m/s）

エ 通信

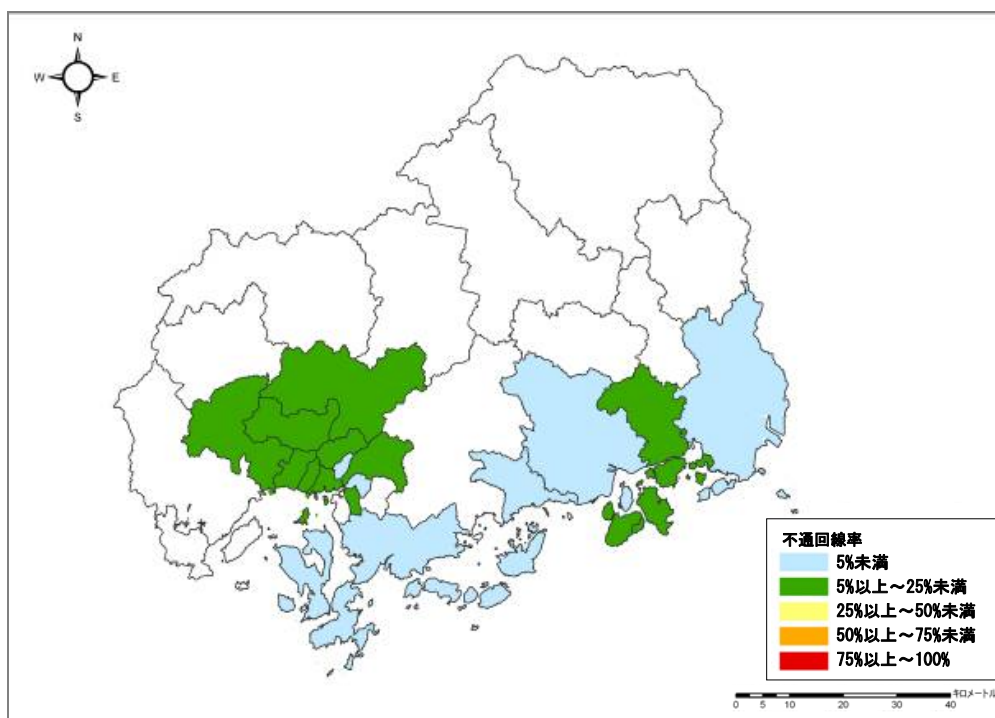


南海トラフ巨大地震（陸側ケース, ケース 1）

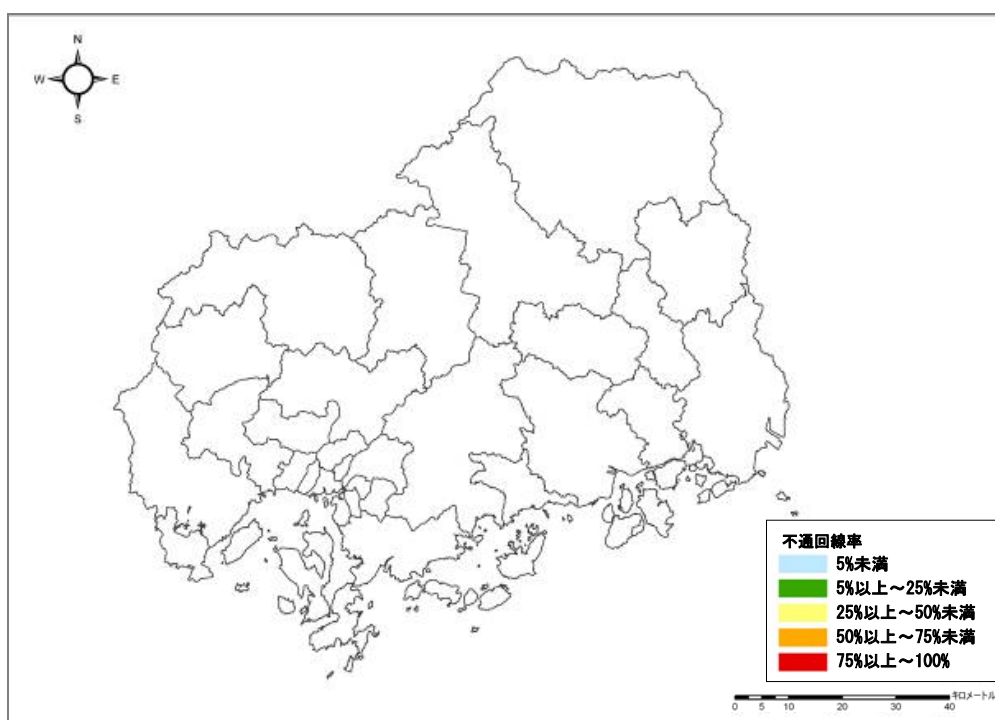


安芸灘～伊予灘～豊後水道の地震（北から破壊）

図Ⅲ.1.2-7(1) 1日後の不通回線率（冬 18時 風速 11m/s）

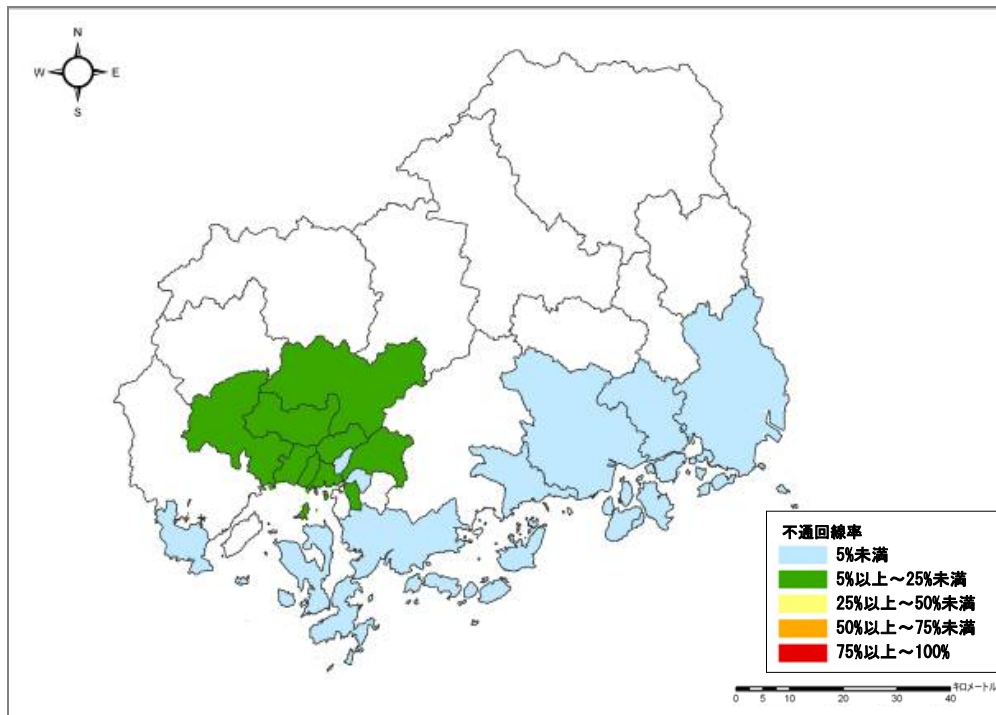


讃岐山脈南縁－石鎚山脈北縁東部の地震（西から破壊）

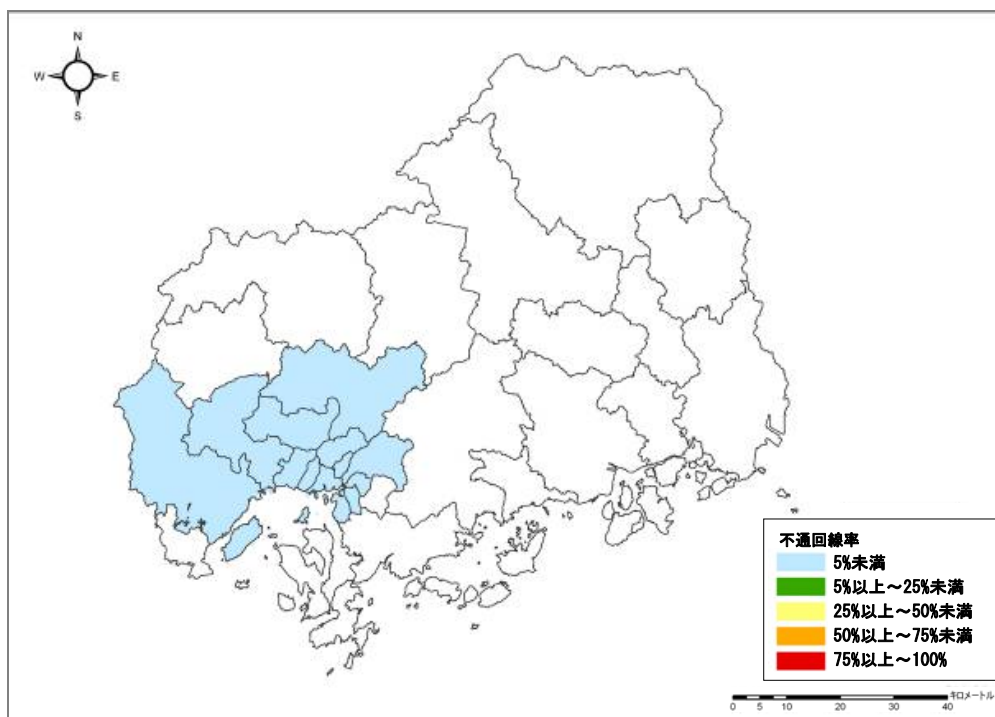


石鎚山脈北縁の地震（西から破壊）

図Ⅲ.1.2-7(2) 1日後の不通回線率（冬18時 風速11m/s）

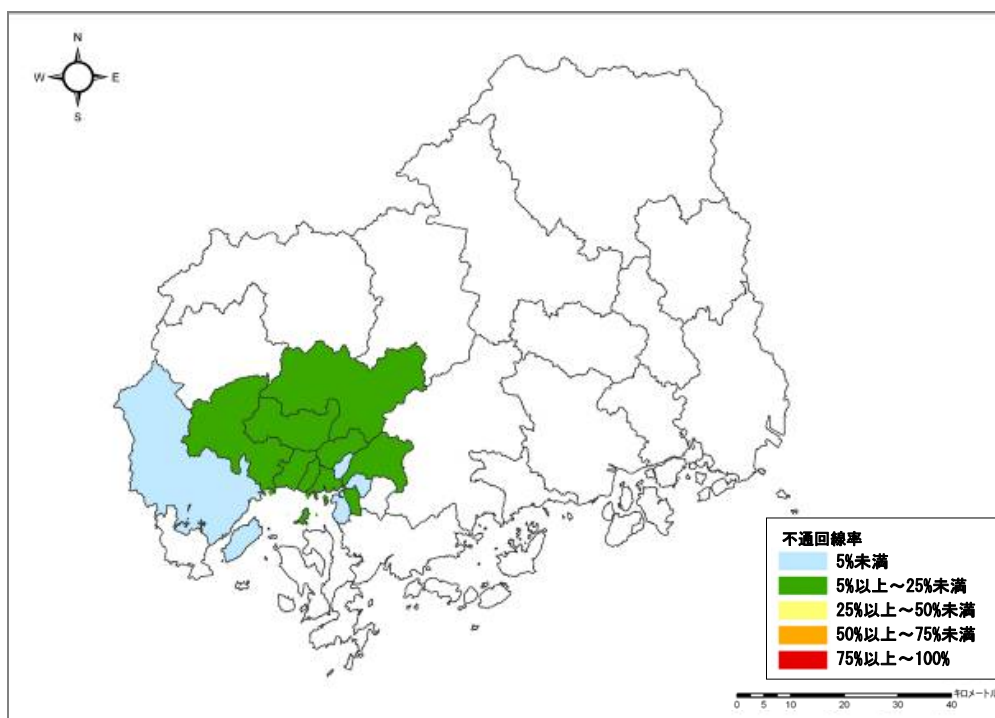


石鎚山脈北縁西部－伊予灘の地震（東から破壊）

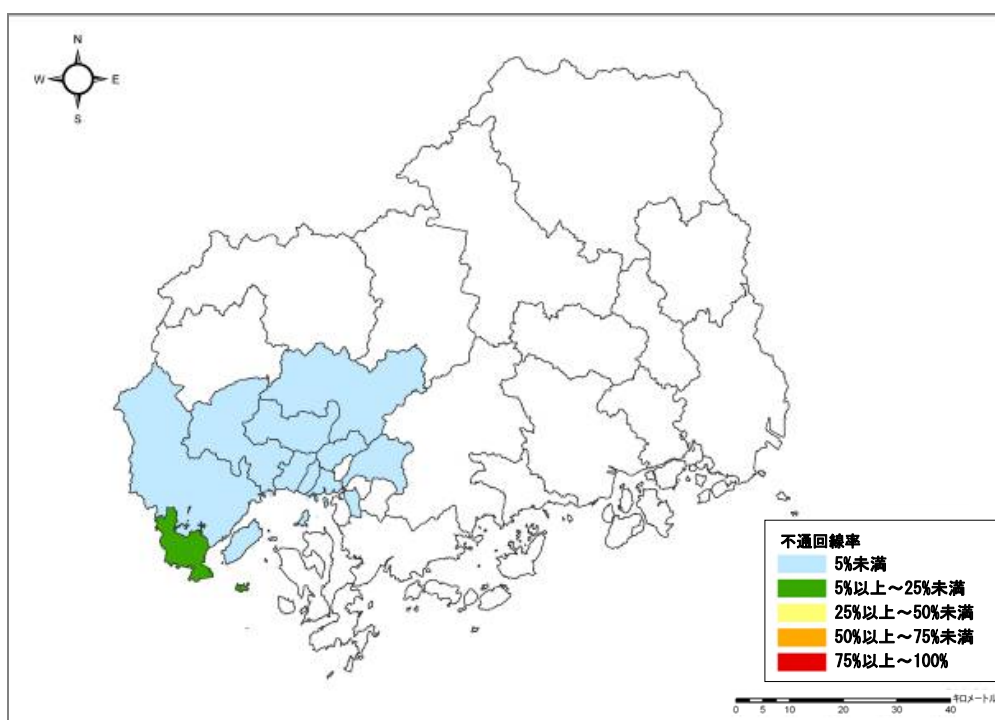


五日市断層の地震（北から破壊）

図Ⅲ.1.2-7(3) 1日後の不通回線率（冬18時 風速11m/s）

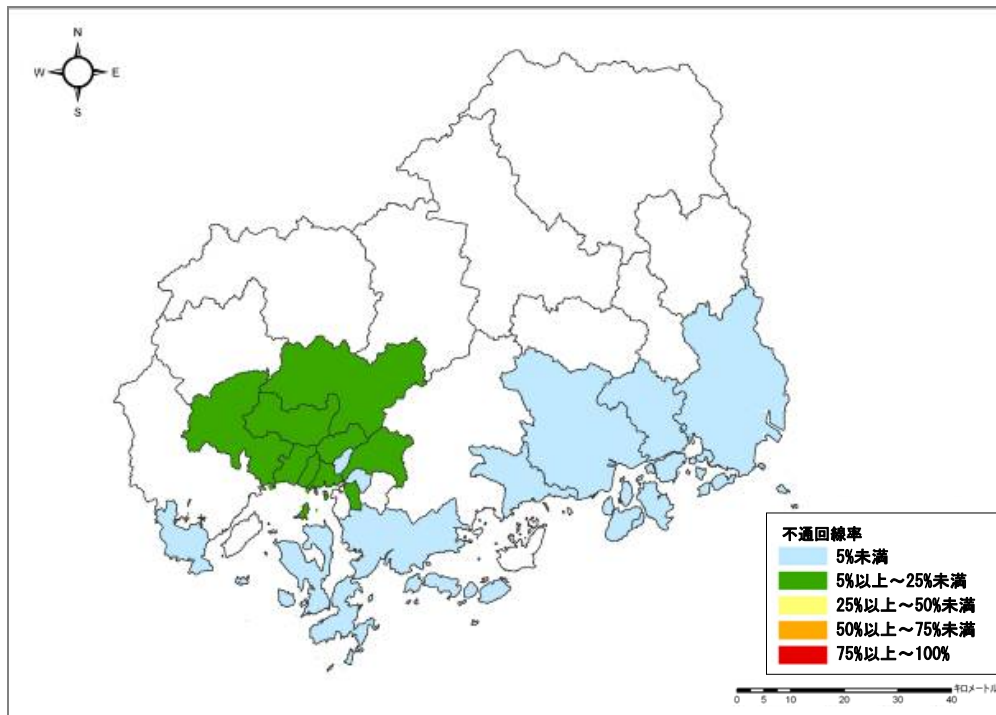


己斐-広島西縁断層帯 (M6.5) の地震 (北から破壊)

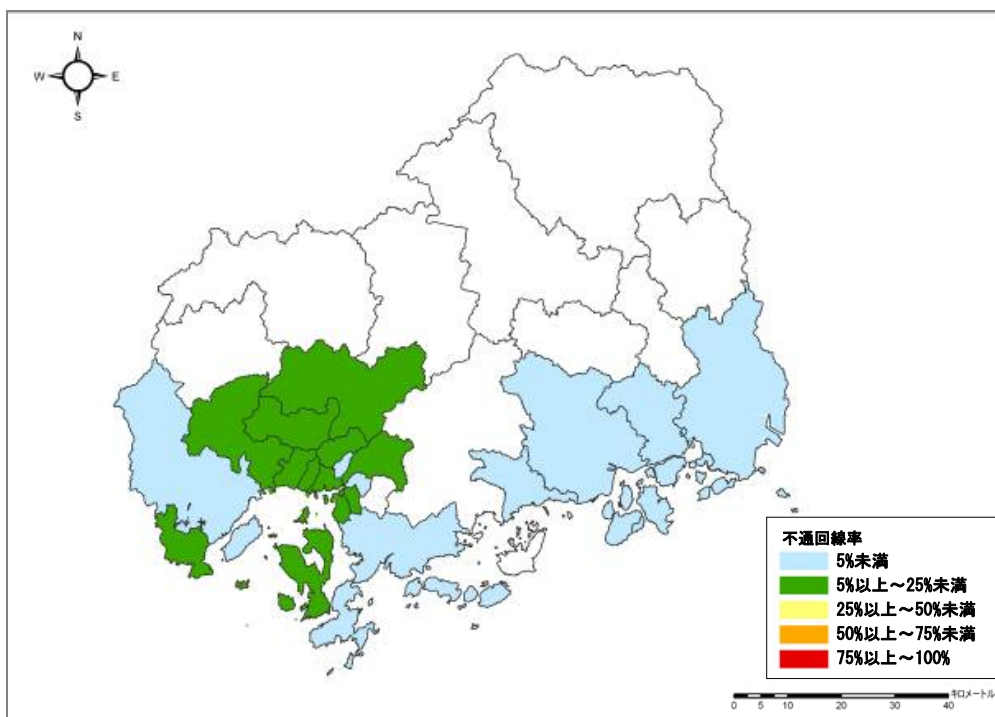


岩国断層帯の地震 (東から破壊)

図Ⅲ.1.2-7(4) 1日後の不通行線率 (冬18時 風速11m/s)

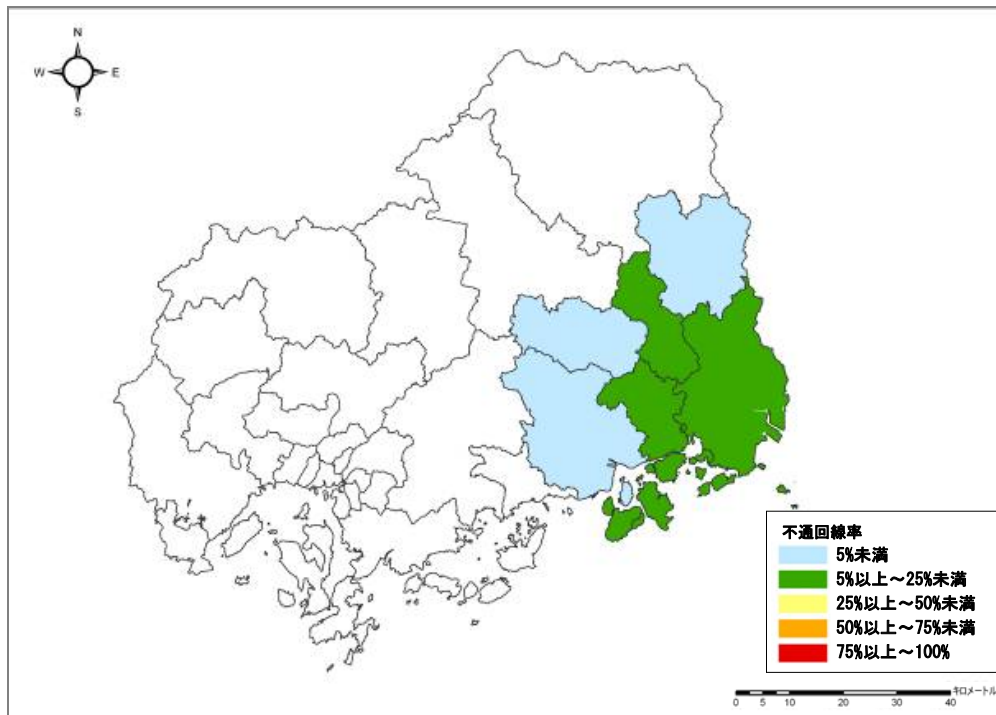


安芸灘断層群（主部）の地震（北から破壊）

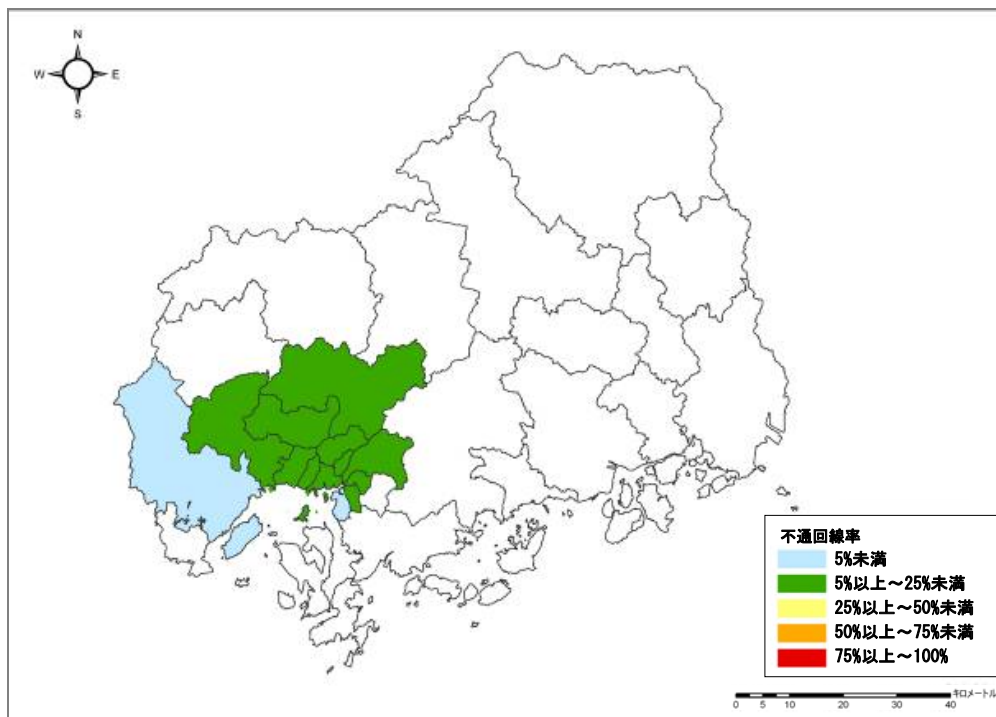


安芸灘断層群（広島-岩国沖断層帯）の地震（北から破壊）

図Ⅲ. 1. 2-7(5) 1日後の不通回線率（冬 18時 風速 11m/s）



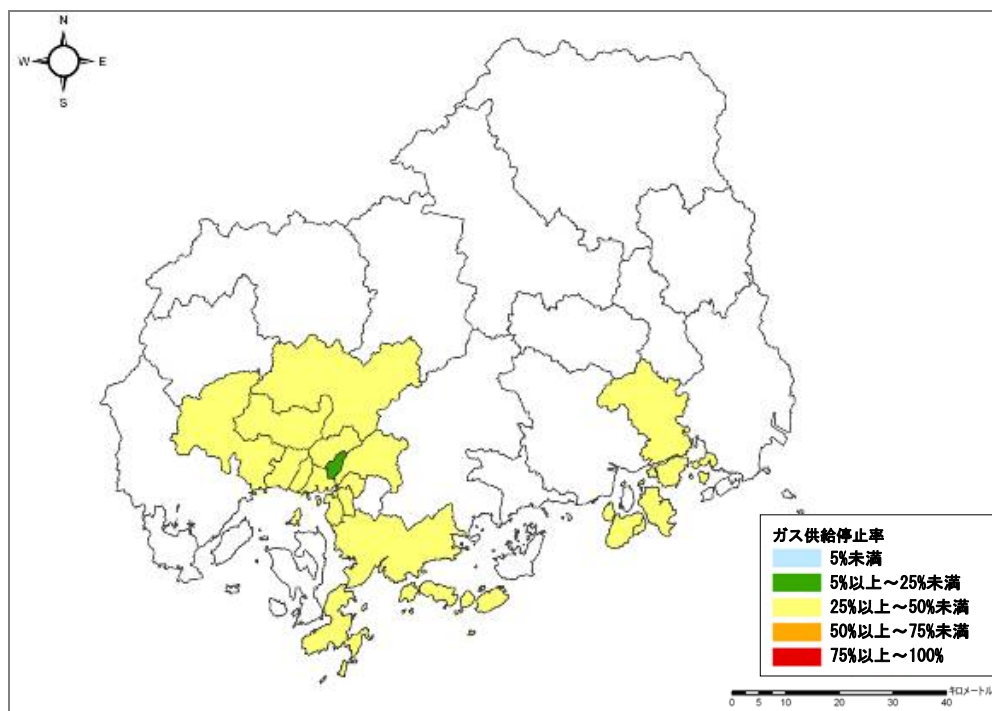
長者ヶ原断層－芳井断層の地震（西から破壊）



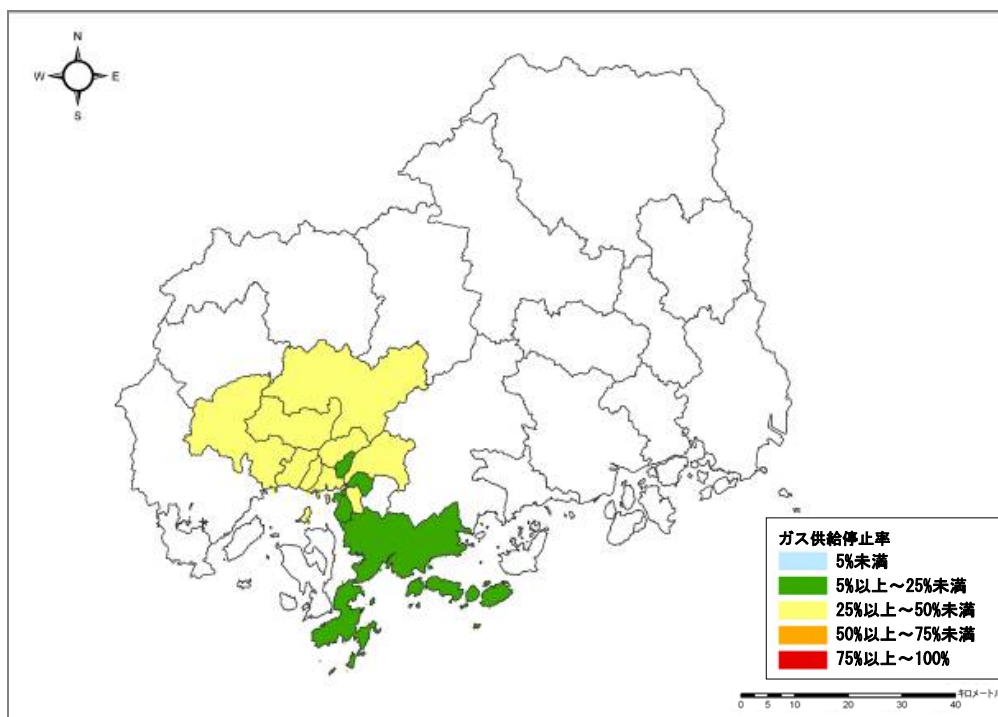
(参考) 己斐－広島西縁断層帯 (M6.9) の地震（南から破壊）

図Ⅲ.1.2-7(6) 1日後の不通回線率 (冬 18時 風速 11m/s)

オ ガス

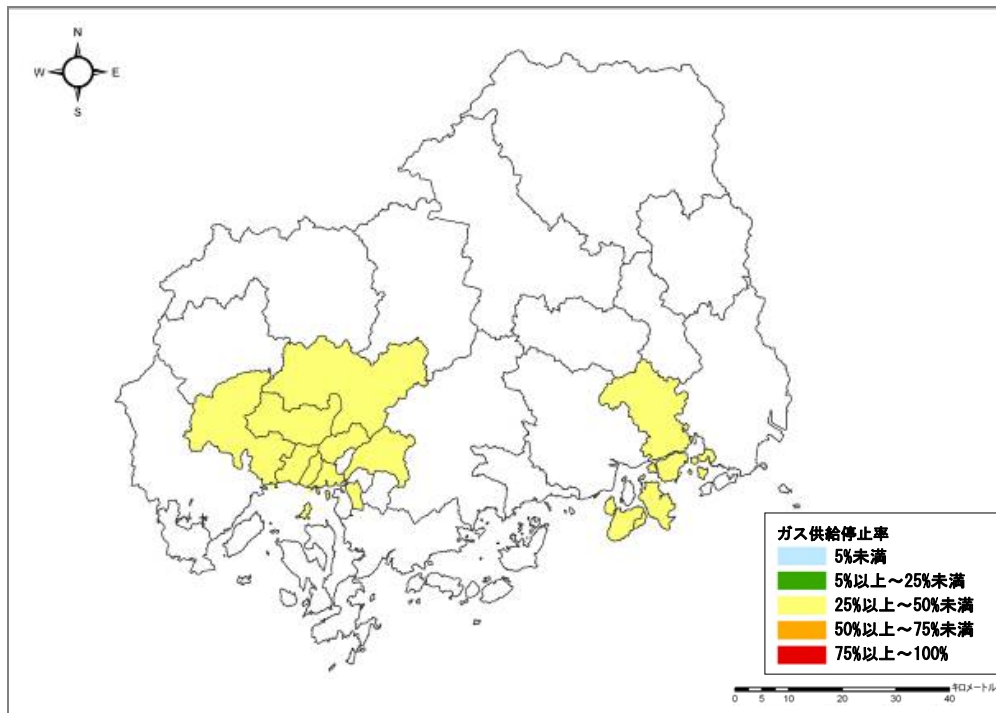


南海トラフ巨大地震（陸側ケース，ケース 1）

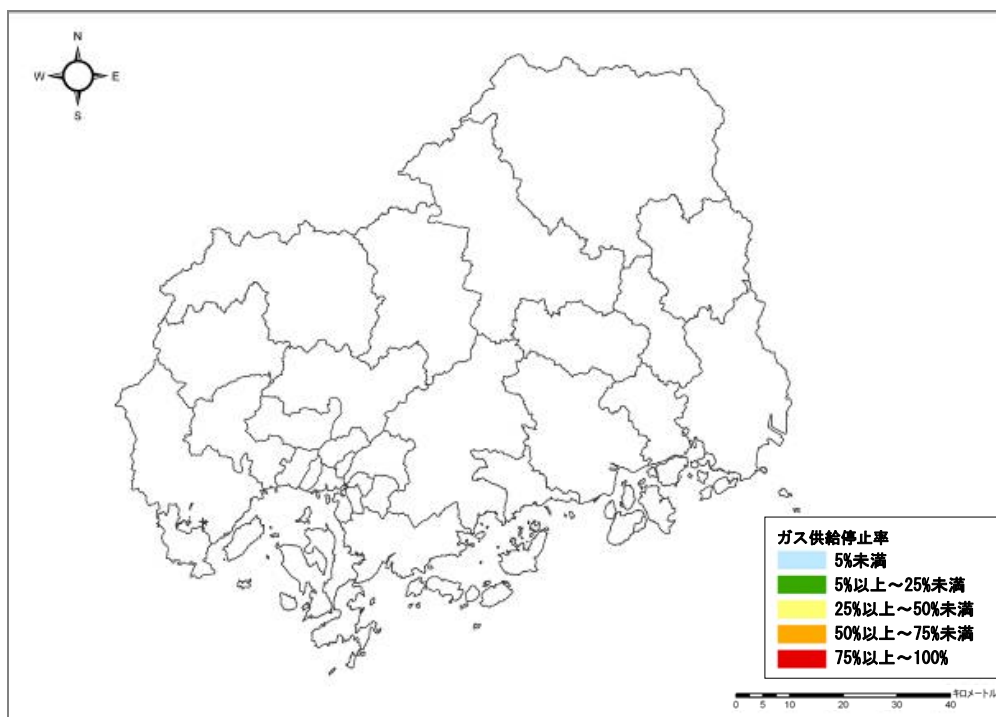


安芸灘～伊予灘～豊後水道の地震（北から破壊）

図Ⅲ.1.2-8(1) 1日後のガス供給停止率（冬 18時 風速 11m/s）

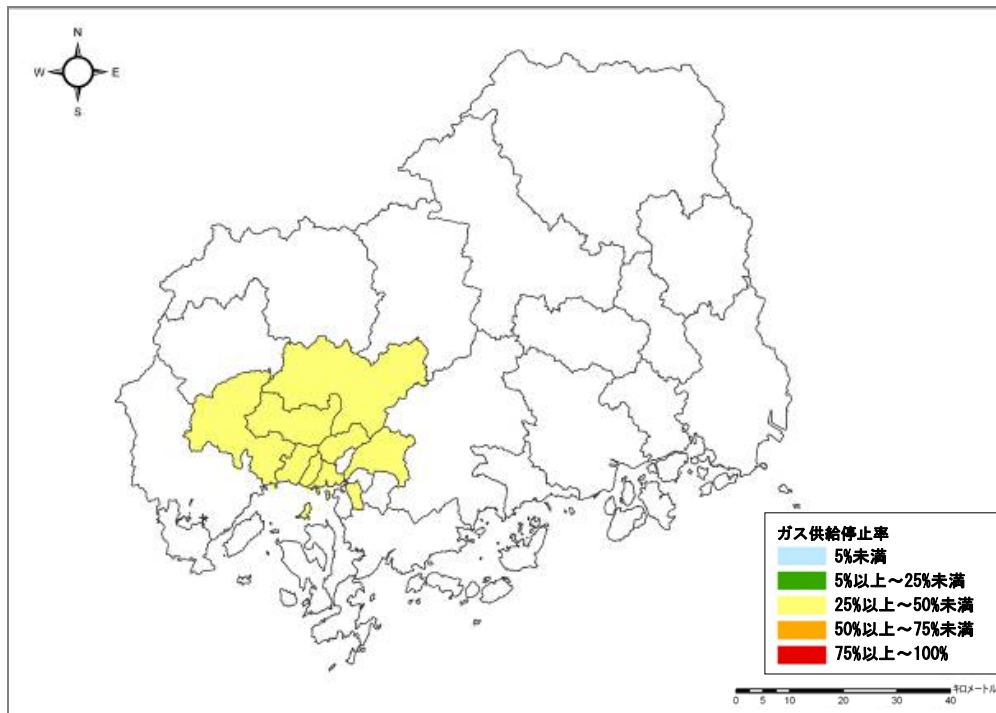


讃岐山脈南縁ー石鎚山脈北縁東部の地震（西から破壊）

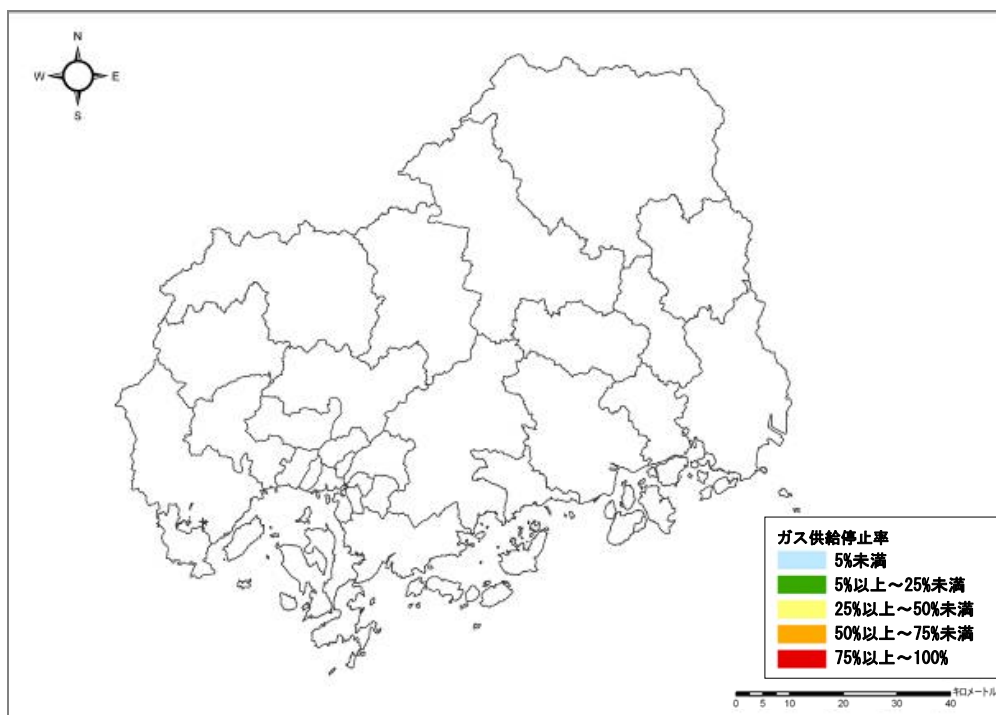


石鎚山脈北縁の地震（西から破壊）

図Ⅲ. 1. 2-8(2) 1日後のガス供給停止率（冬 18時 風速 11m/s）

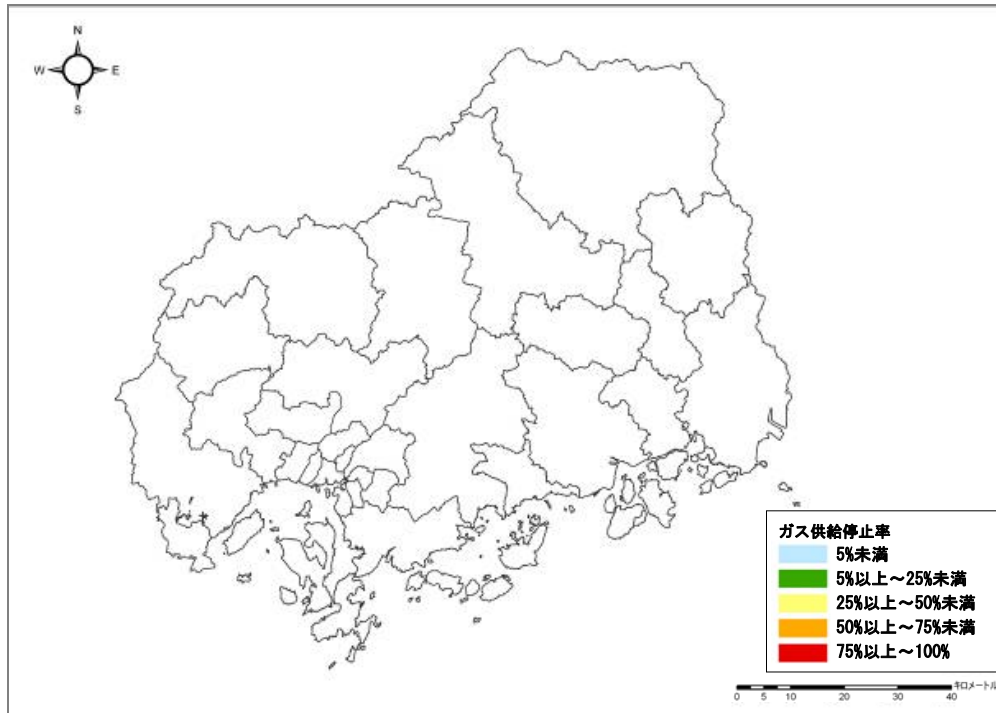


石鎚山脈北縁西部－伊予灘の地震（東から破壊）

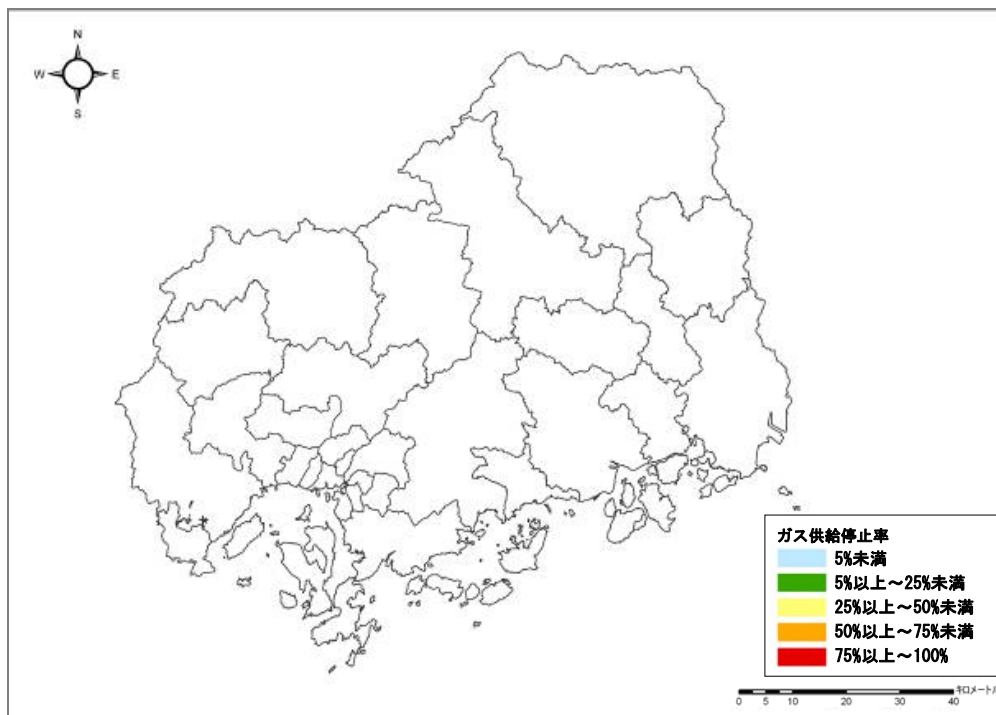


五日市断層の地震（北から破壊）

図Ⅲ.1.2-8(3) 1日後のガス供給停止率（冬18時 風速11m/s）

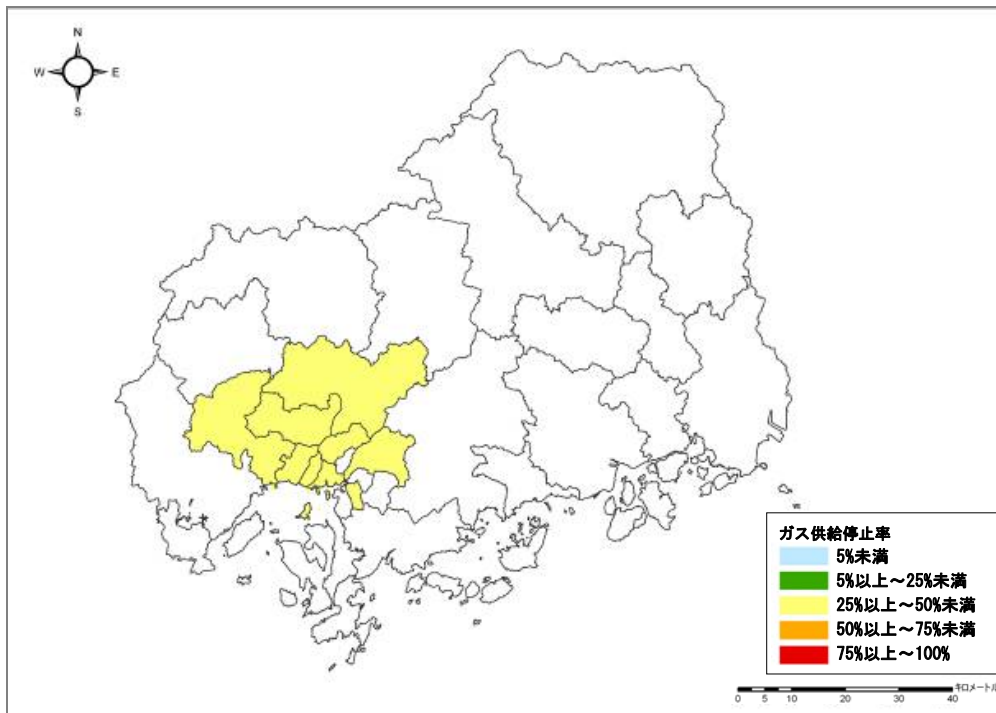


己斐ー広島西縁断層帯 (M6.5) の地震 (北から破壊)

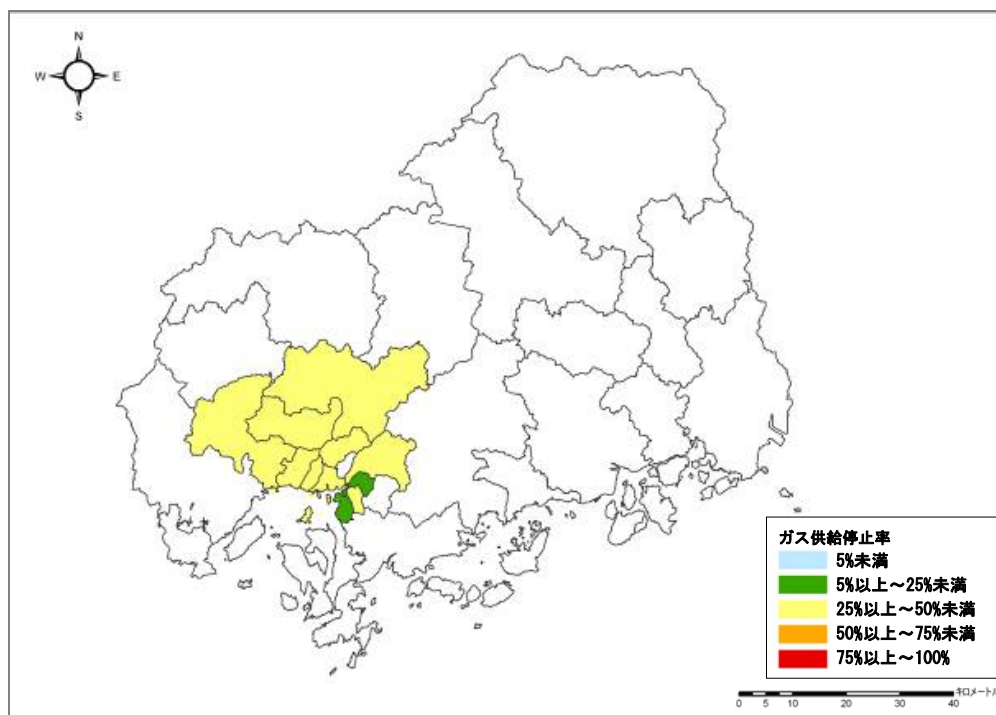


岩国断層帯の地震 (東から破壊)

図Ⅲ.1.2-8(4) 1日後のガス供給停止率 (冬18時 風速11m/s)

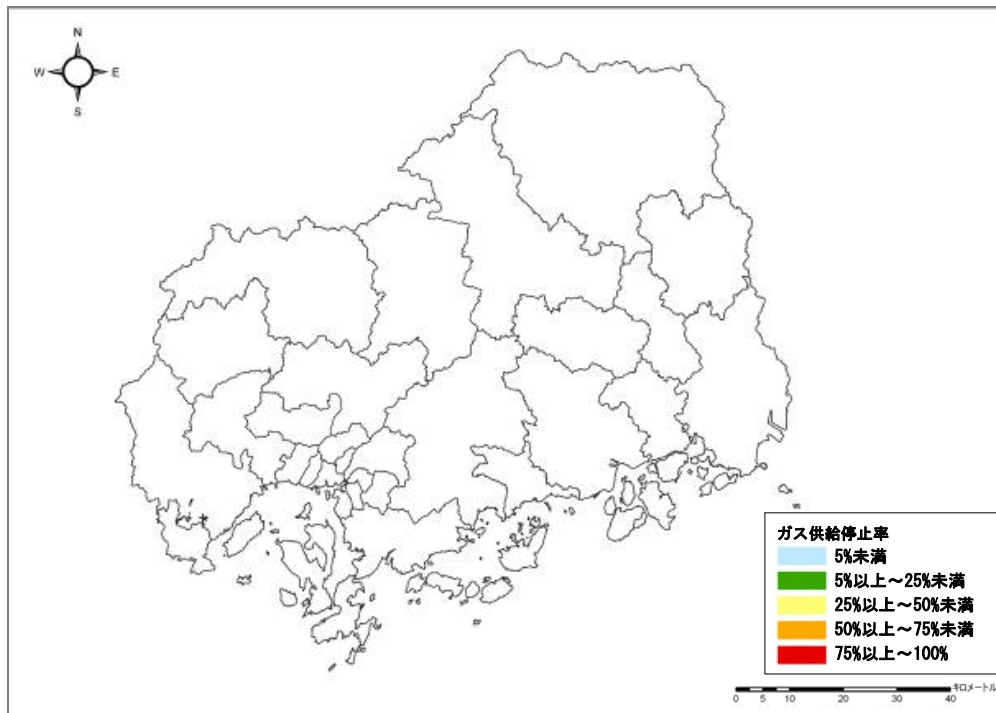


安芸灘断層群（主部）の地震（北から破壊）

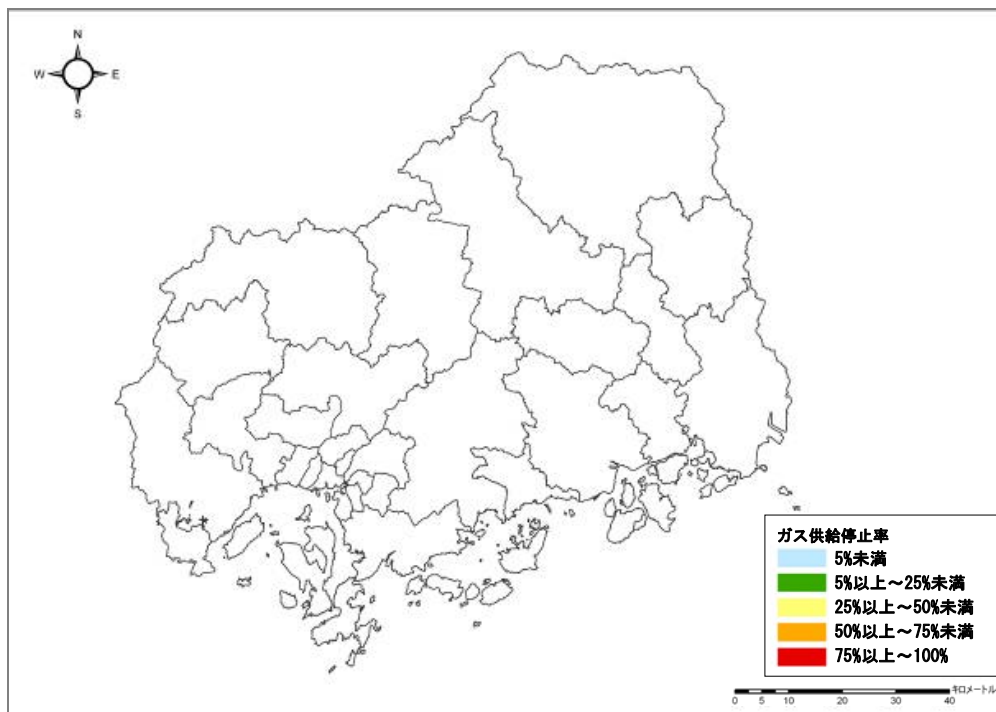


安芸灘断層群（広島－岩国沖断層帯）の地震（北から破壊）

図Ⅲ.1.2-8(5) 1日後のガス供給停止率（冬18時 風速11m/s）



長者ヶ原断層－芳井断層の地震（西から破壊）



(参考) 己斐－広島西縁断層帯 (M6.9) の地震（南から破壊）

図Ⅲ. 1. 2-8(6) 1日後のガス供給停止率（冬 18時 風速 11m/s）

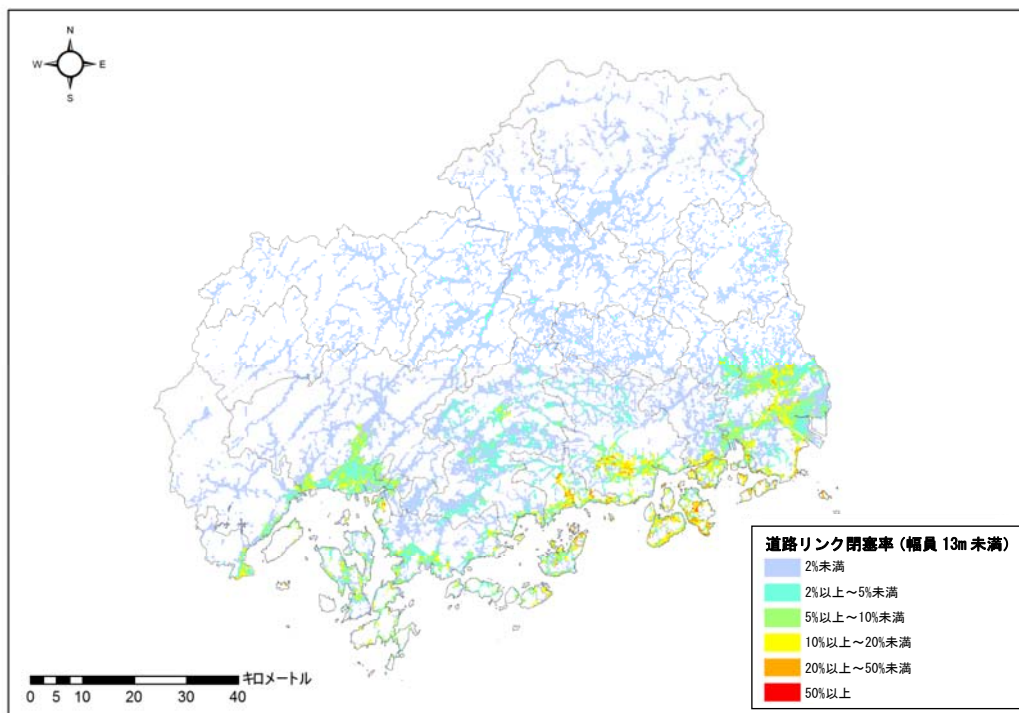
(5) その他の被害

想定地震によるその他の被害として、道路リンク閉塞率(250m メッシュ単位)、ため池危険度及び重要施設機能支障(施設単位)について示す。

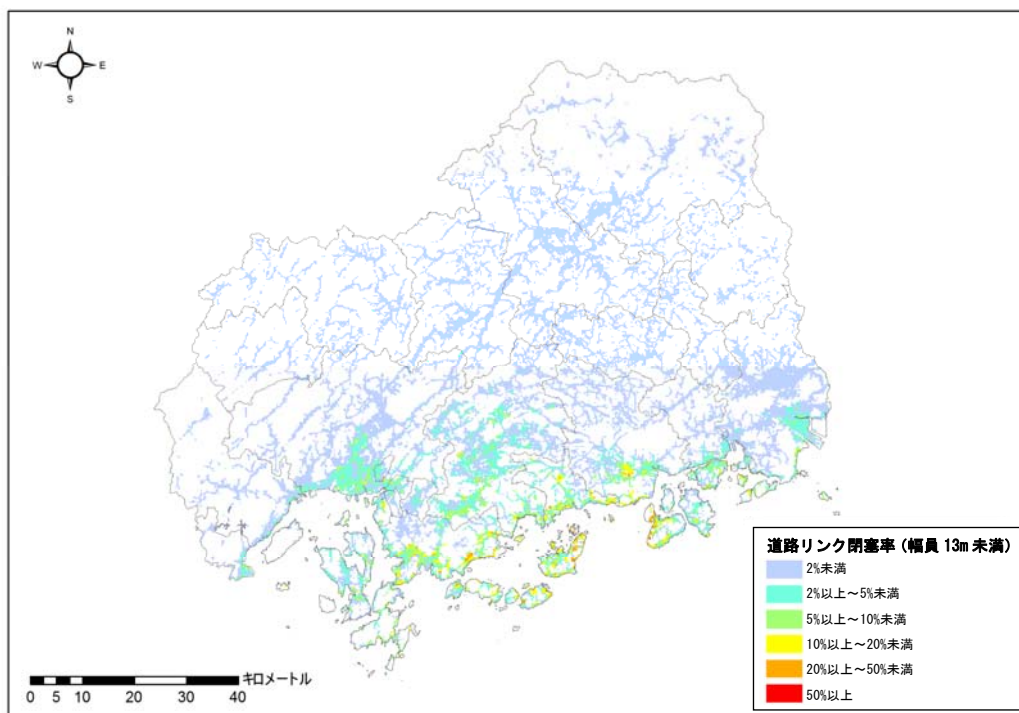
南海トラフ巨大地震については、内閣府の「南海トラフの巨大地震モデル検討会」が示した「基本ケース」、「陸側ケース」、「東側ケース」、「西側ケース」の4つの強震断層モデルと、これを補完するための「経験的手法」及びこれらの震度の最大値の「重ね合わせ」の地震動の予測を行い、そのうち「重ね合わせ」を除き、本県の人的被害に直結する建物全壊棟数が最も多い想定結果となった「陸側ケース」について被害を示す。

南海トラフ巨大地震以外の地震では、想定断層の両端に破壊開始点を設定した2ケースの地震動の予測を行い、このうち建物被害が大きくなるケースについて被害を示す。

ア 道路閉塞

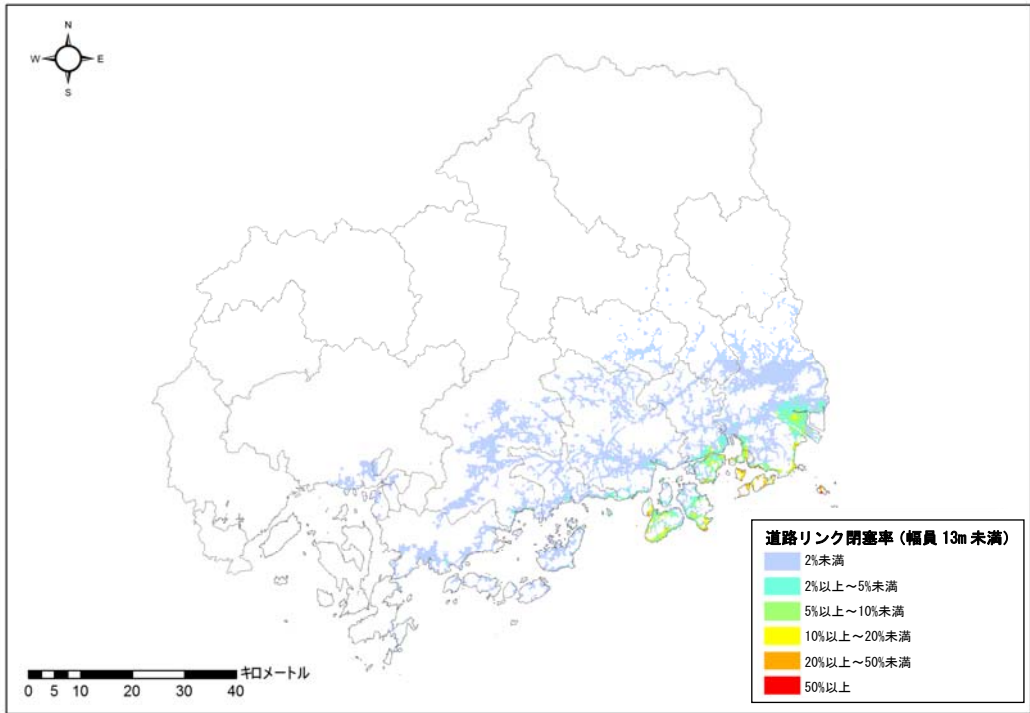


南海トラフ巨大地震(陸側ケース)

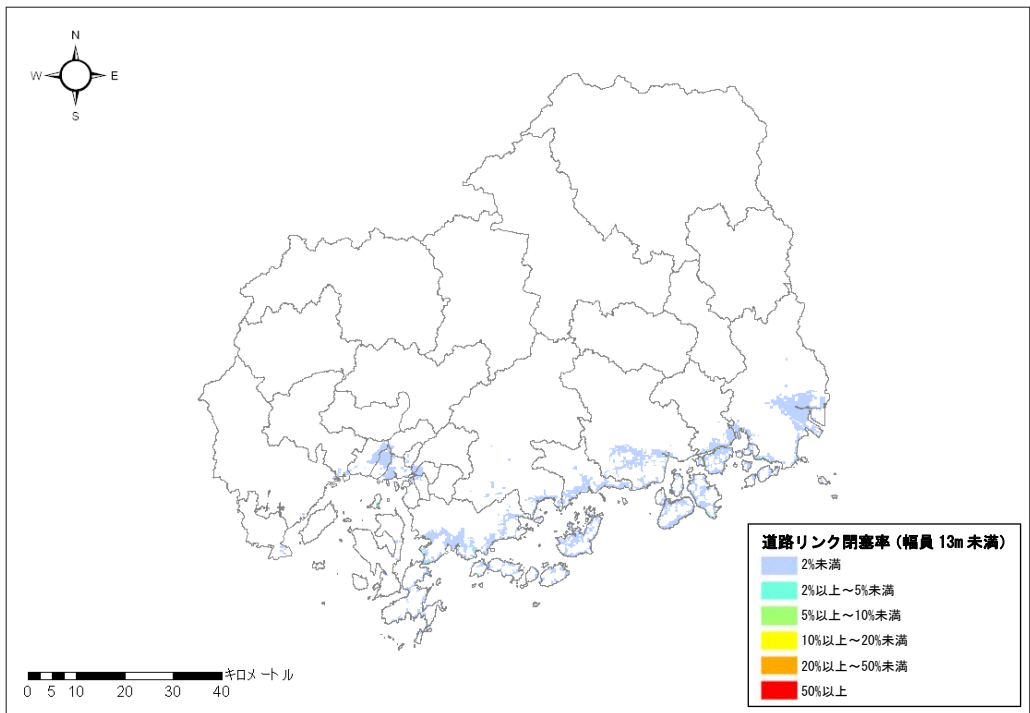


安芸灘～伊予灘～豊後水道の地震 (北から破壊)

図Ⅲ.1.2-9(1) 道路リンク閉塞率

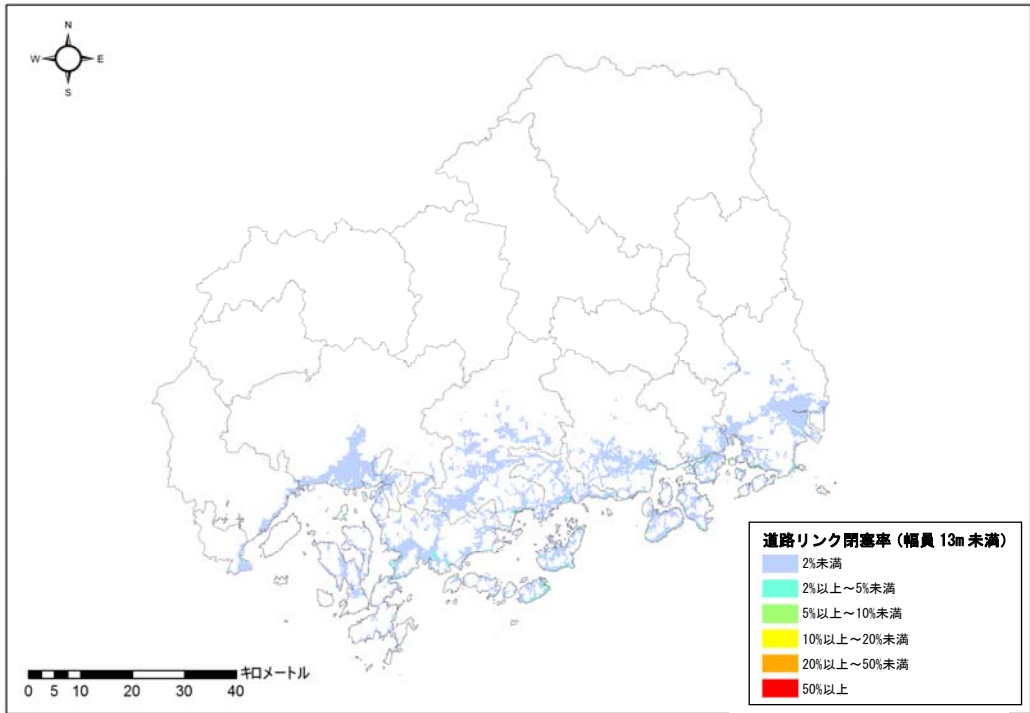


讃岐山脈南縁－石鎚山脈北縁東部の地震 (西から破壊)

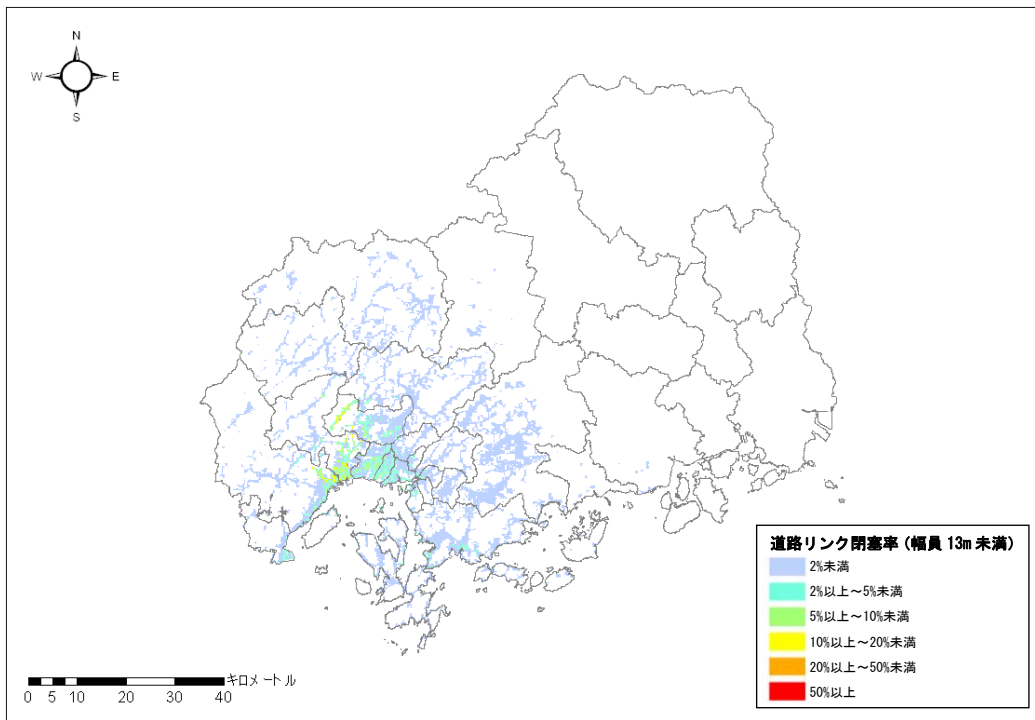


石鎚山脈北縁の地震 (西から破壊)

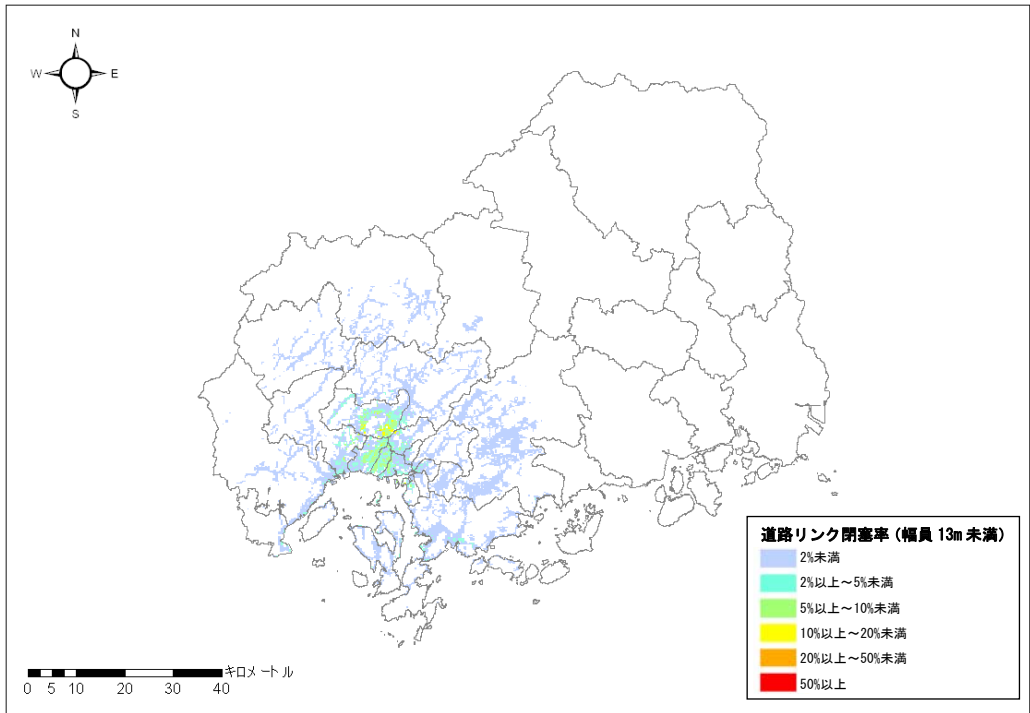
図Ⅲ. 1. 2-9(2) 道路リンク閉塞率



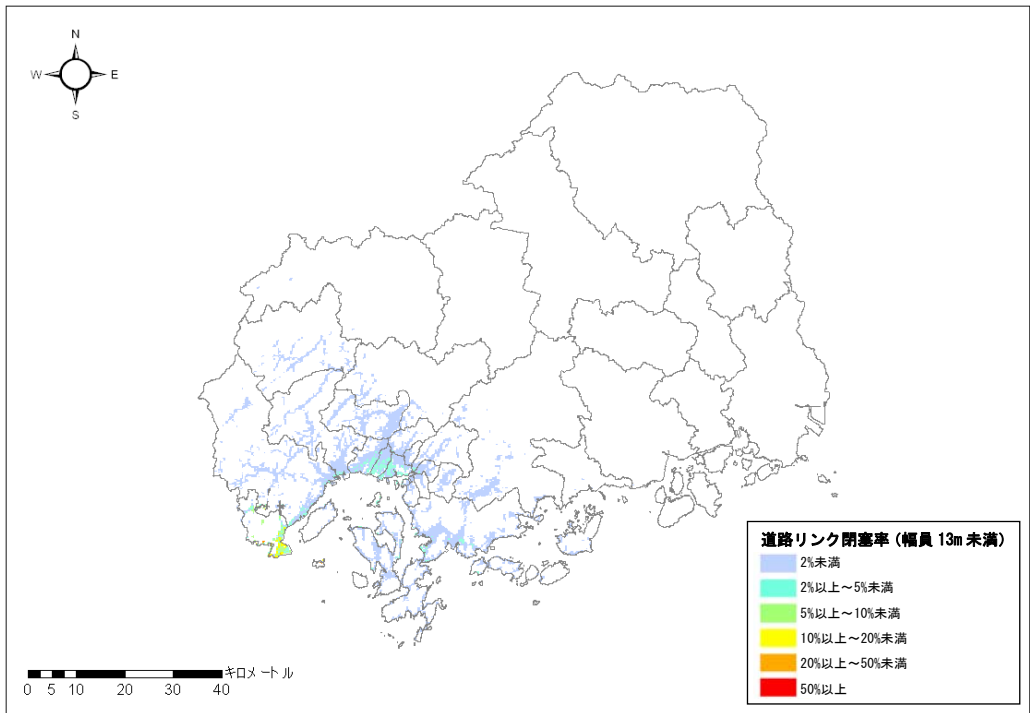
石鎚山脈北縁西部－伊予灘の地震 (東から破壊)



五日市断層の地震 (北から破壊)
 図Ⅲ.1.2-9(3) 道路リンク閉塞率

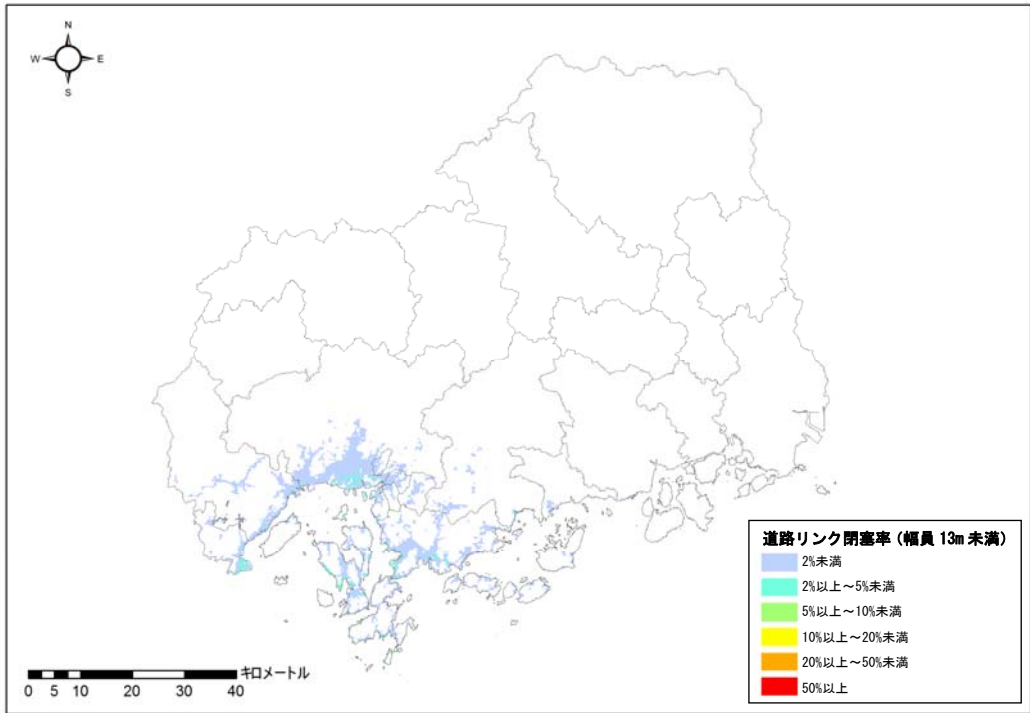


己斐ー広島西縁断層帯 (M6.5) の地震 (北から破壊)

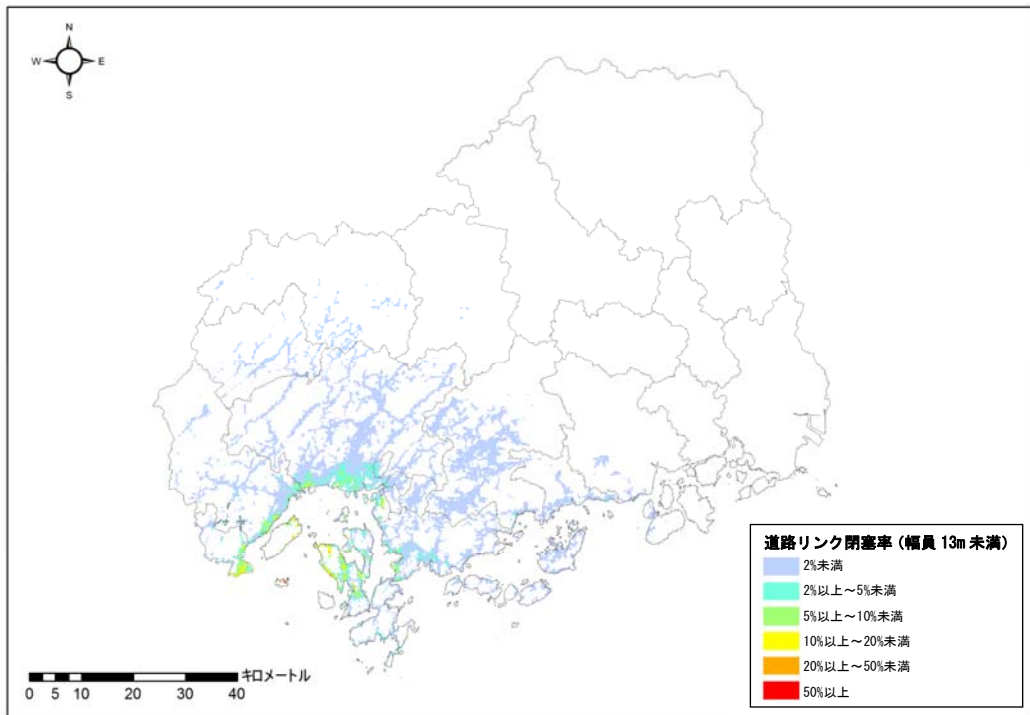


岩国断層帯の地震 (東から破壊)

図Ⅲ.1.2-9(4) 道路リンク閉塞率

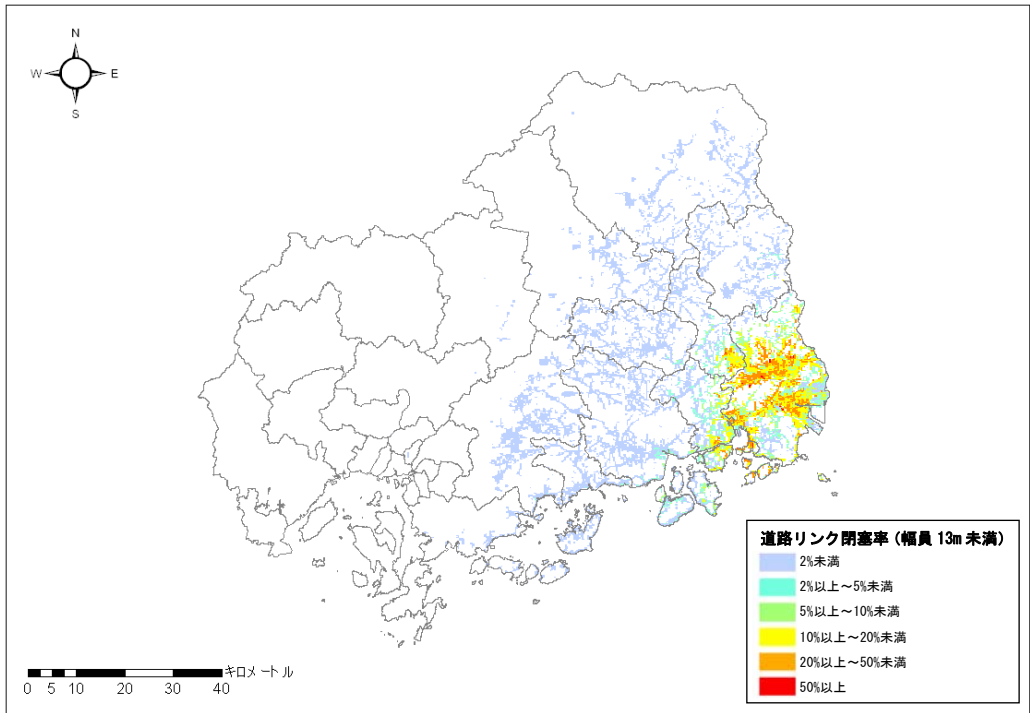


安芸灘断層群 (主部) の地震 (北から破壊)

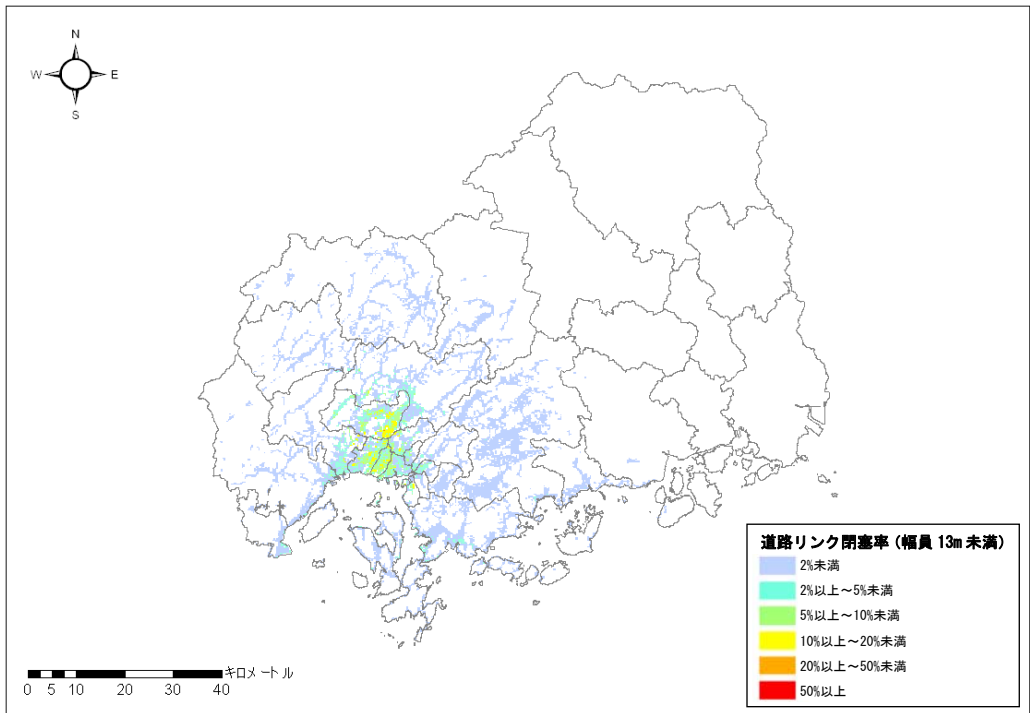


安芸灘断層群 (広島-岩国沖断層帯) の地震 (北から破壊)

図Ⅲ. 1. 2-9(5) 道路リンク閉塞率



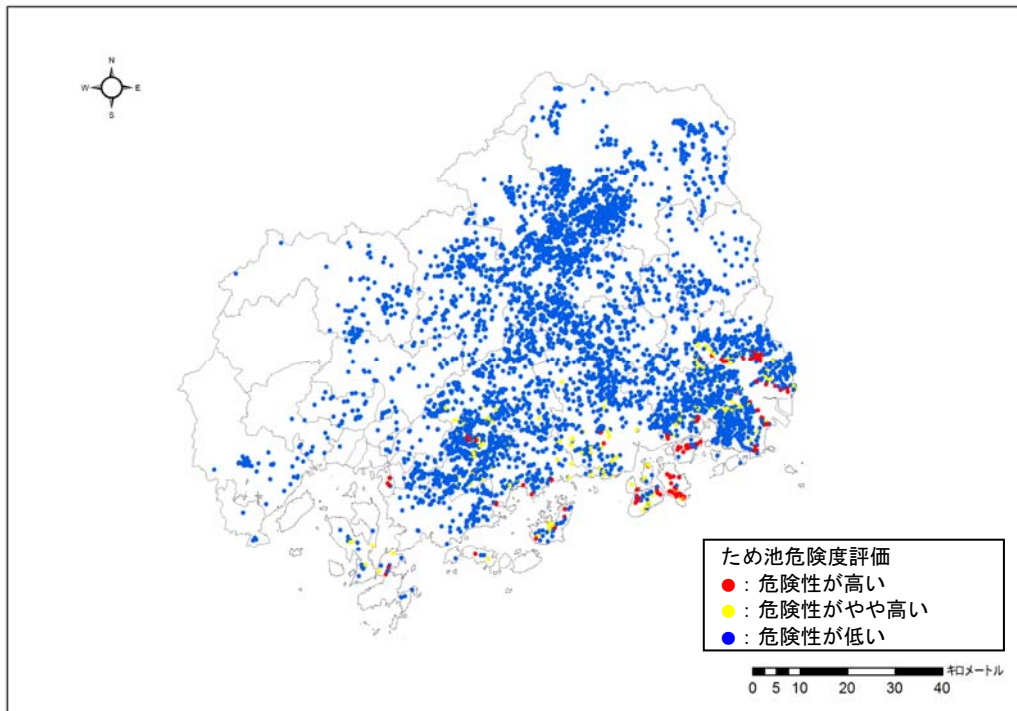
長者ヶ原断層－芳井断層の地震（西から破壊）



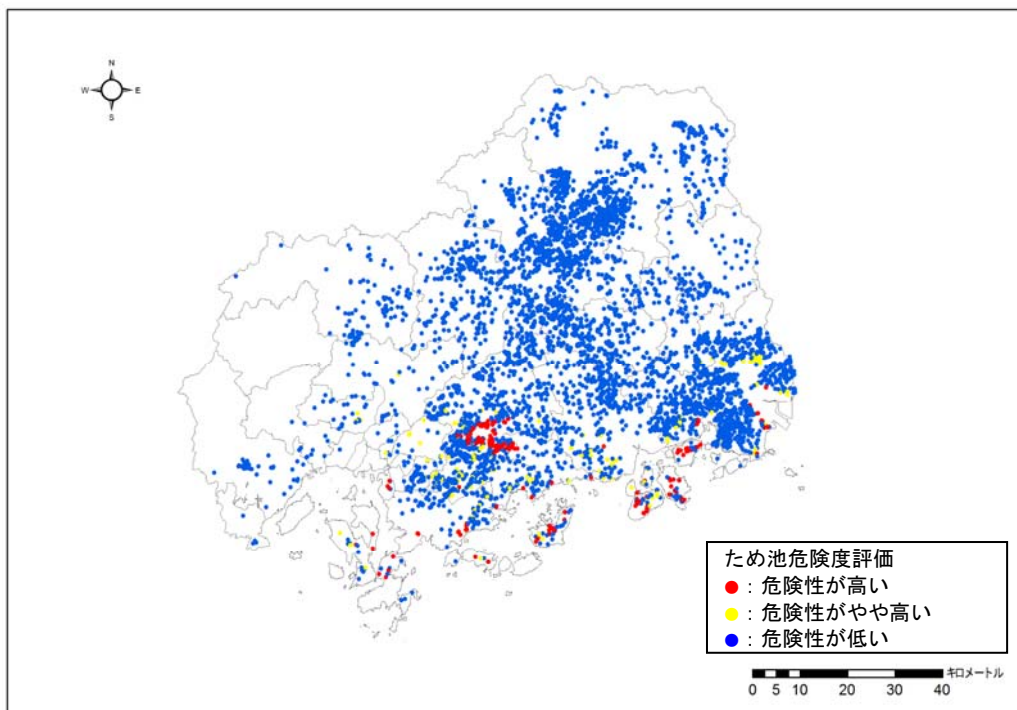
(参考) 己斐－広島西縁断層帯 (M6.9) の地震 (南から破壊)

図Ⅲ.1.2-9(6) 道路リンク閉塞率

イ ため池の決壊

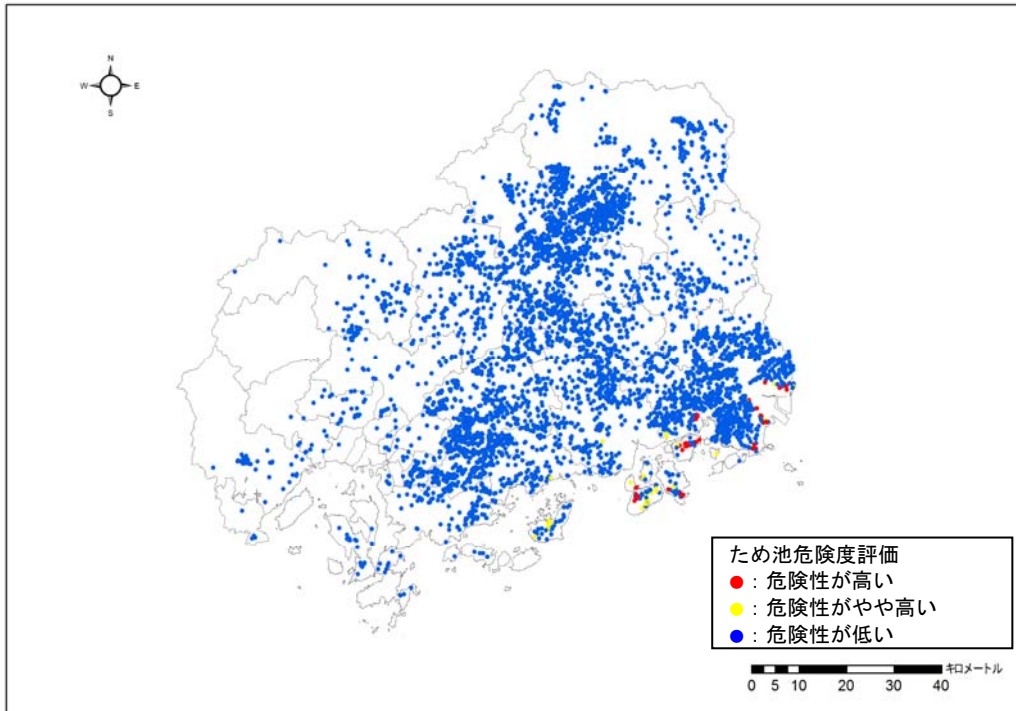


南海トラフ巨大地震（陸側ケース）

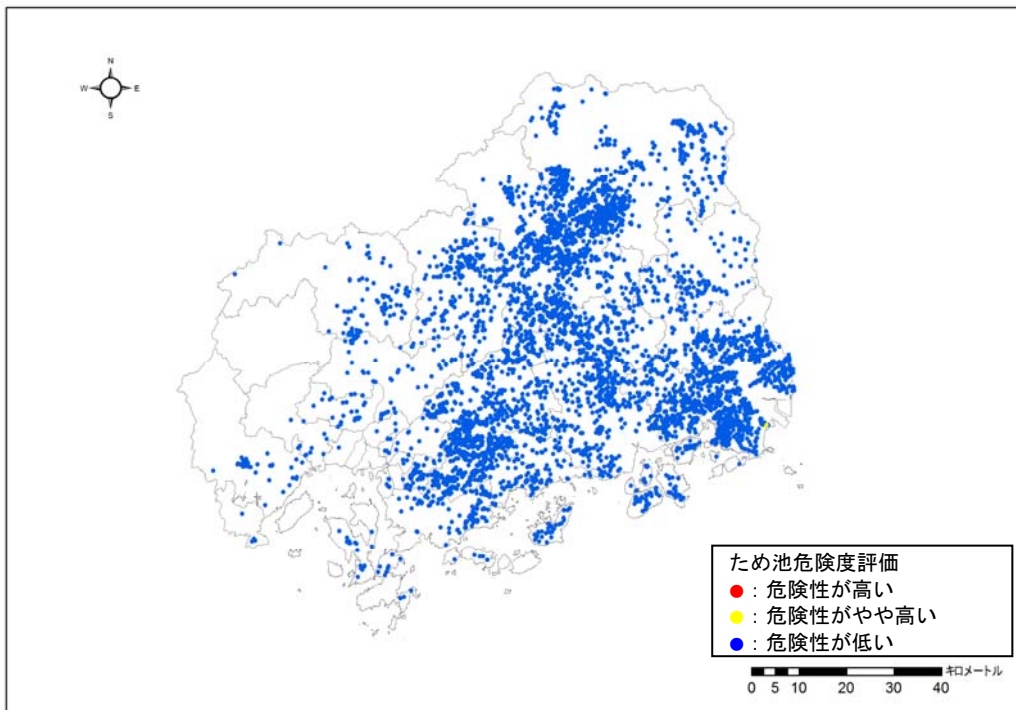


安芸灘～伊予灘～豊後水道の地震（北から破壊）

図Ⅲ.1.2-10(1) ため池の危険度ランク

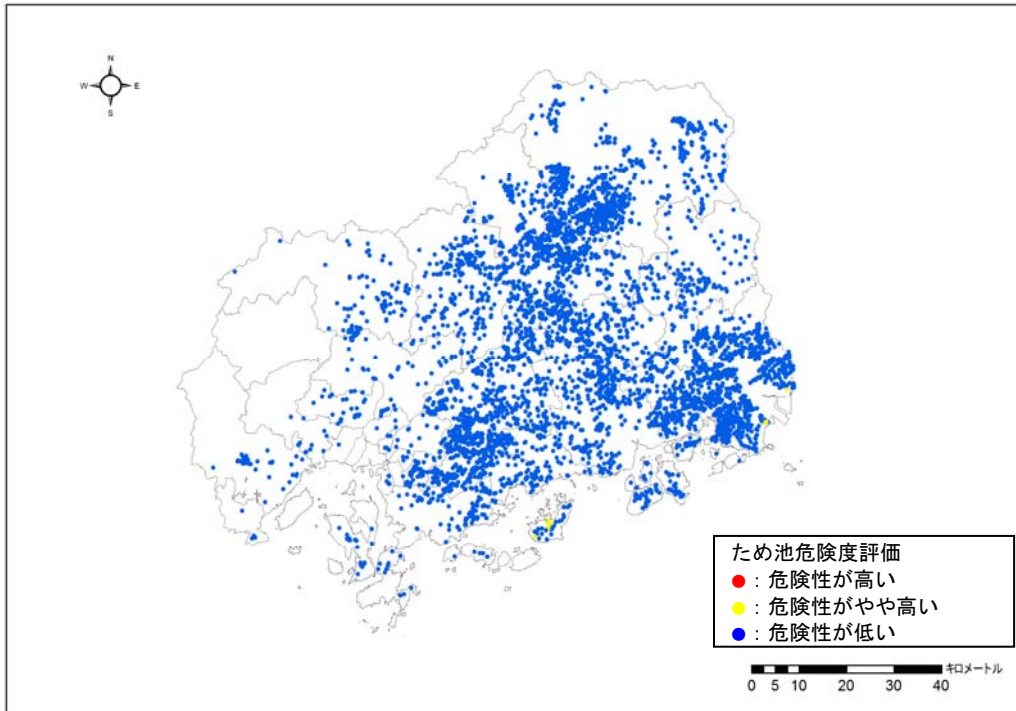


讃岐山脈南縁－石鎚山脈北縁東部の地震（西から破壊）

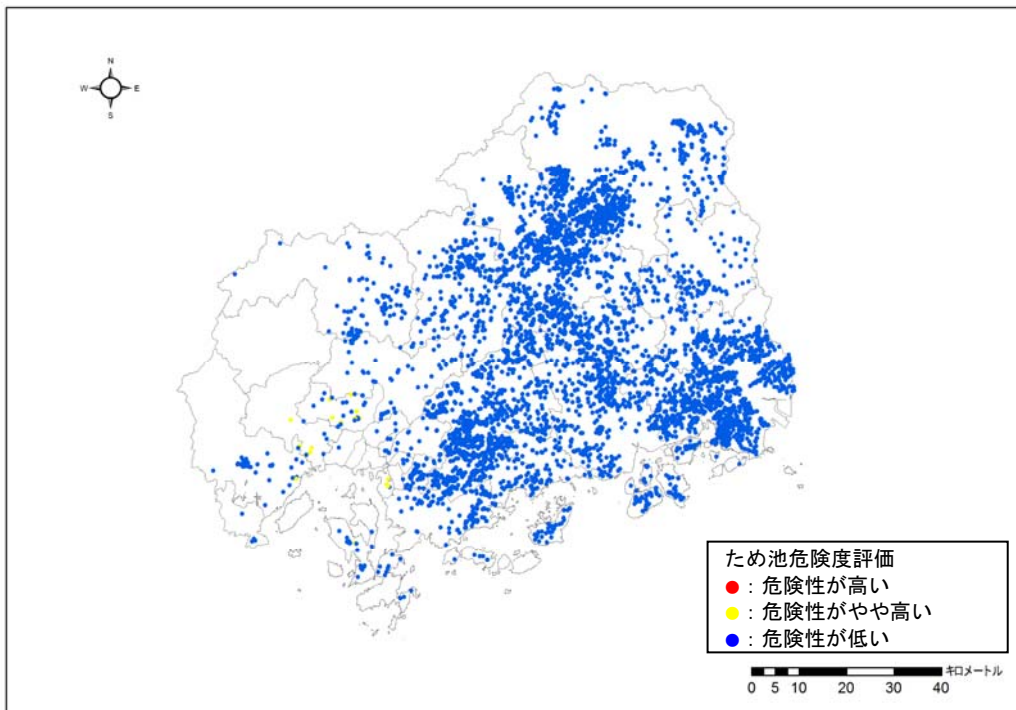


石鎚山脈北縁の地震（西から破壊）

図Ⅲ. 1. 2-10(2) たため池の危険度ランク

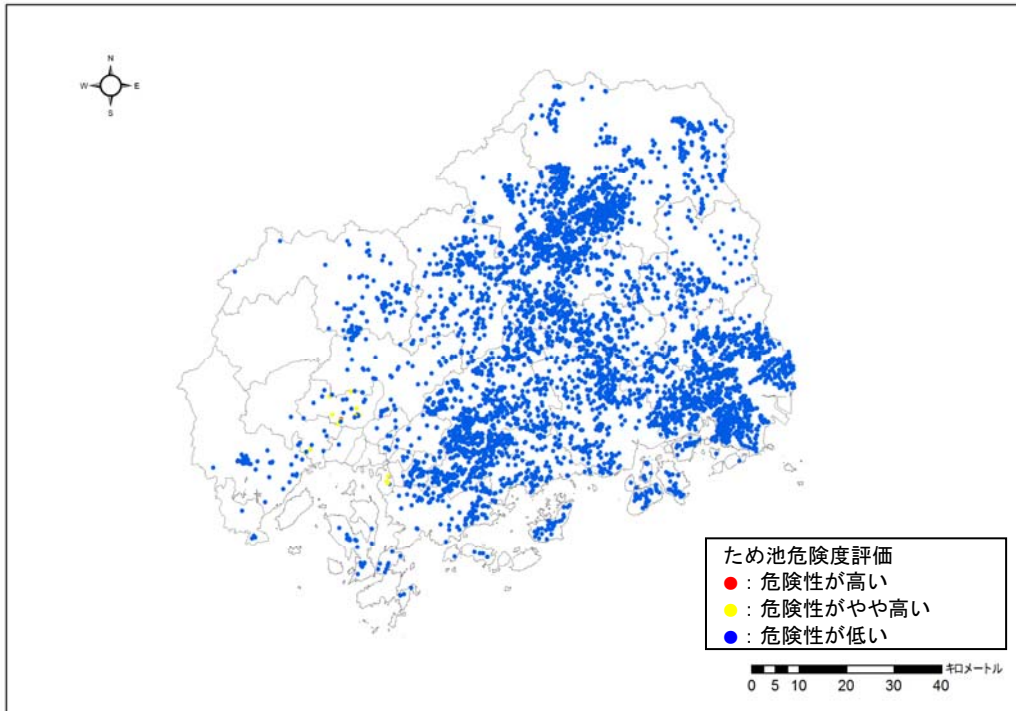


石鎚山脈北縁西部－伊予灘の地震（東から破壊）

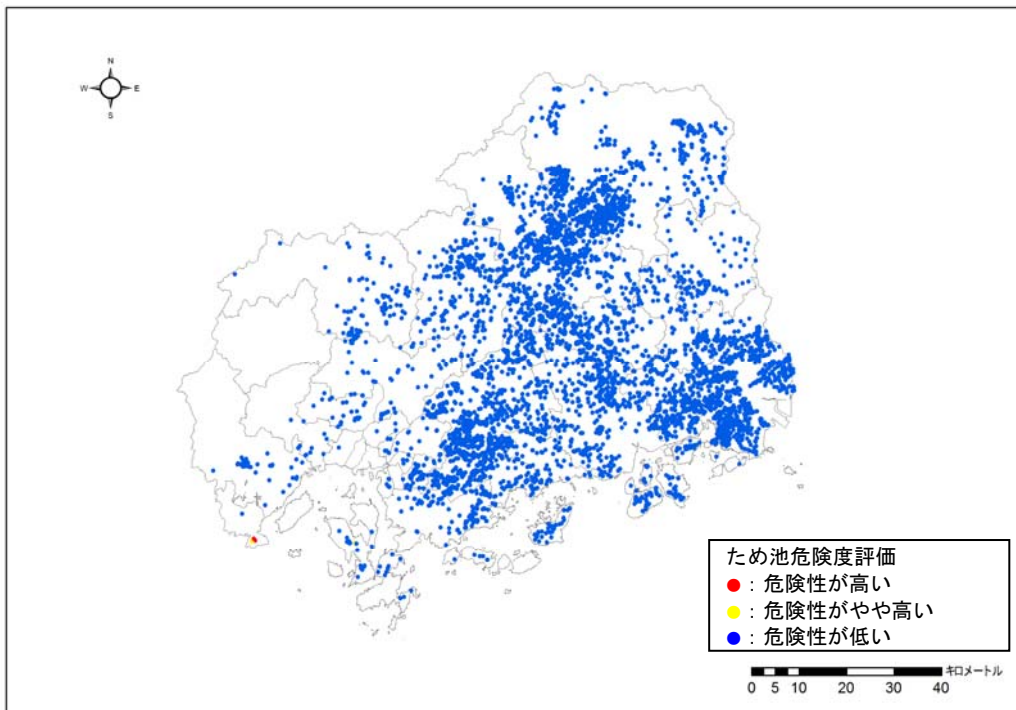


五日市断層の地震（北から破壊）

図Ⅲ.1.2-10(3) ため池の危険度ランク

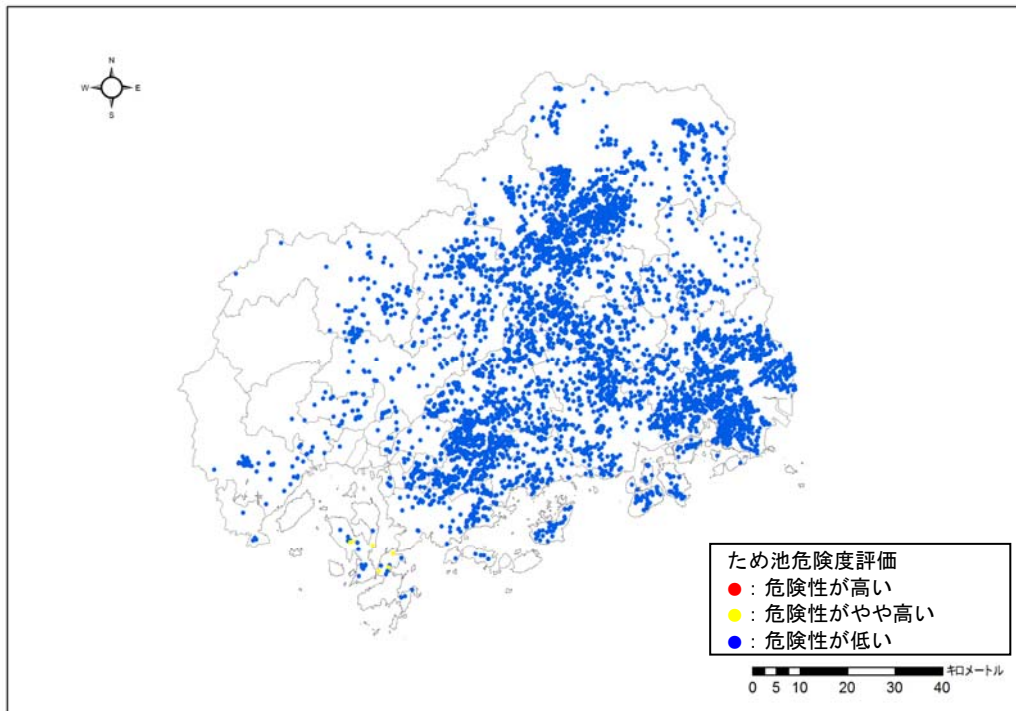


己斐－広島西縁断層帯 (M6.5) の地震 (北から破壊)

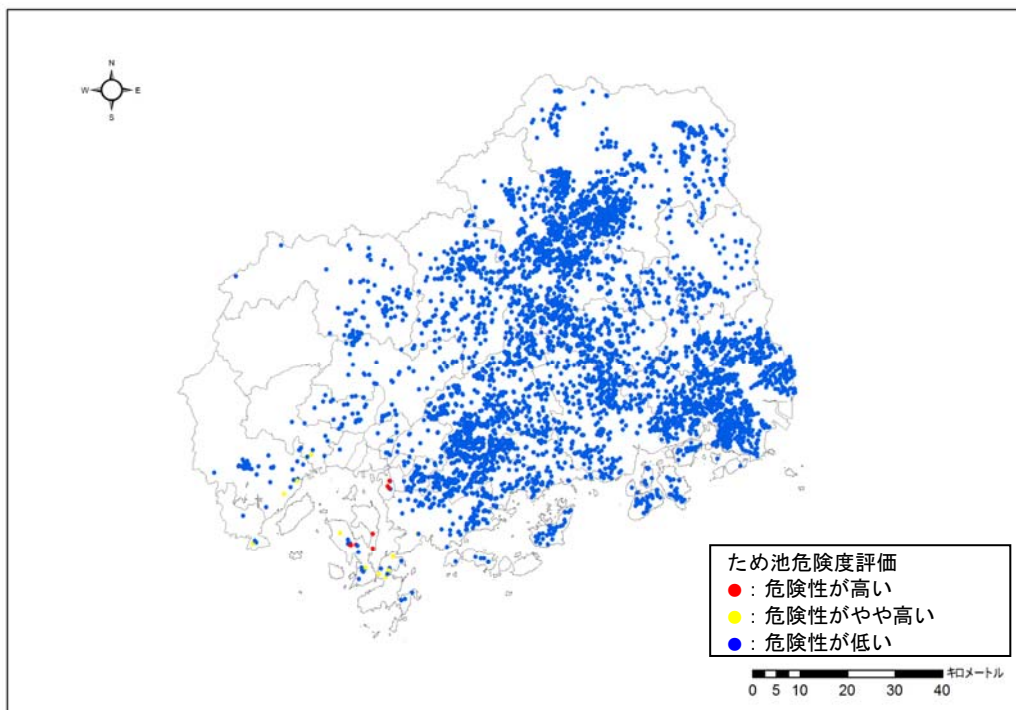


岩国断層帯の地震 (東から破壊)

図Ⅲ.1.2-10(4) ため池の危険度ランク

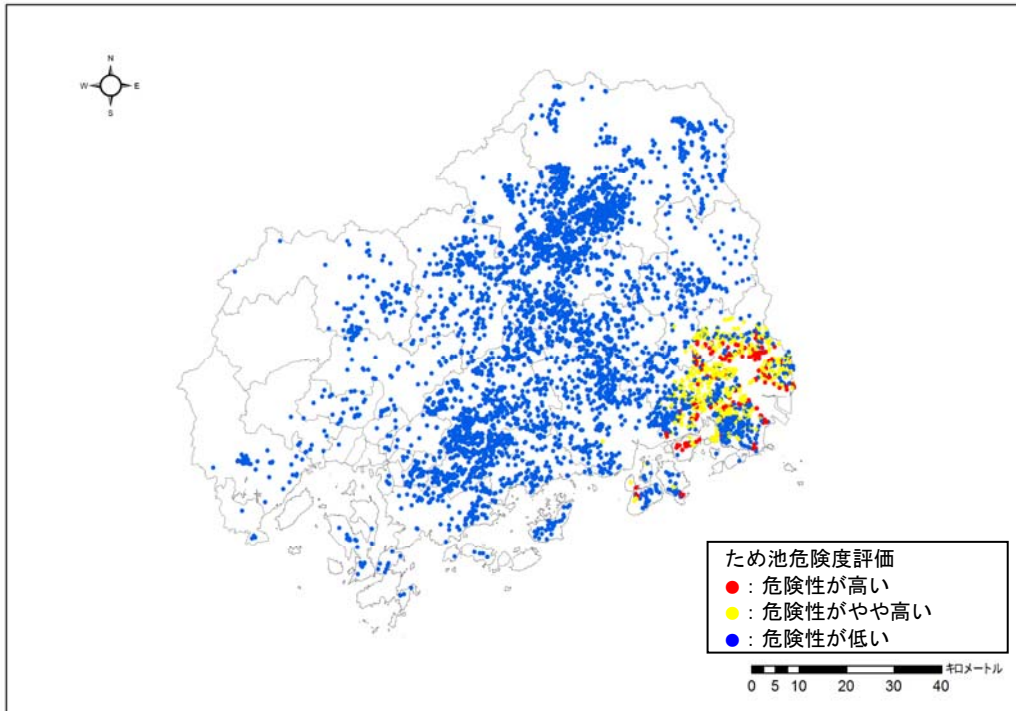


安芸灘断層群（主部）の地震（北から破壊）

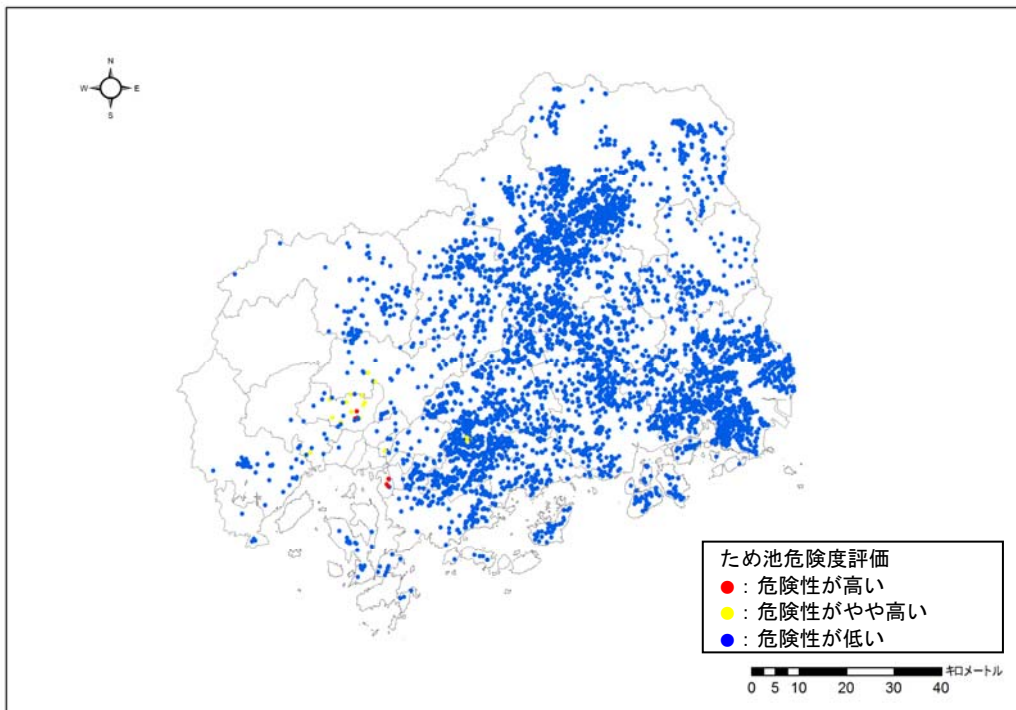


安芸灘断層群（広島湾－岩国沖断層帯）の地震（北から破壊）

図Ⅲ. 1. 2-10(5) ため池の危険度ランク



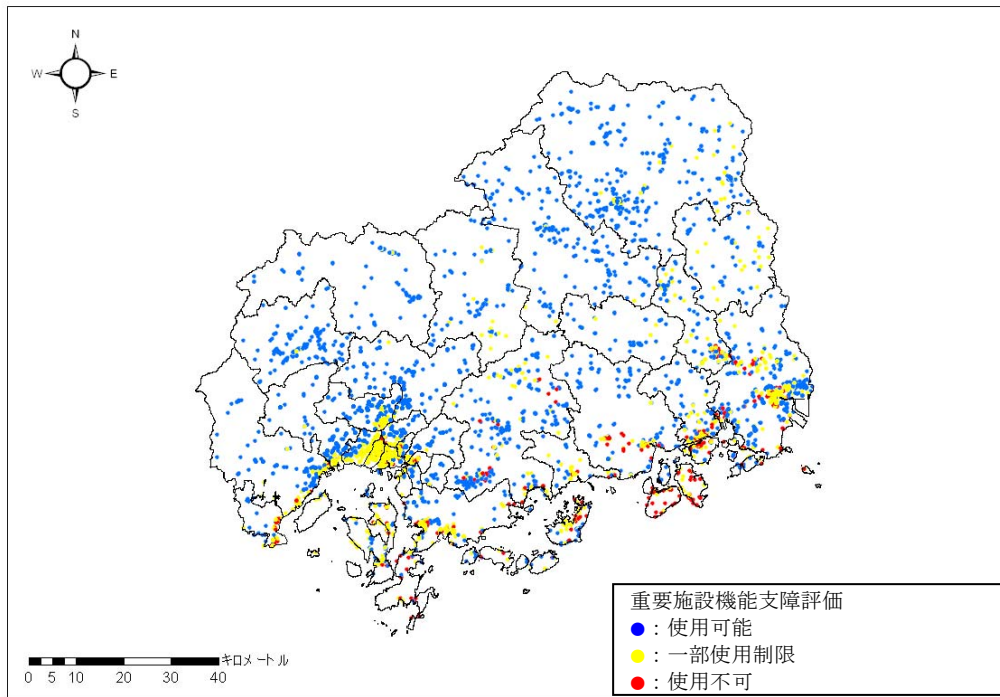
長者ヶ原断層－芳井断層の地震（西から破壊）



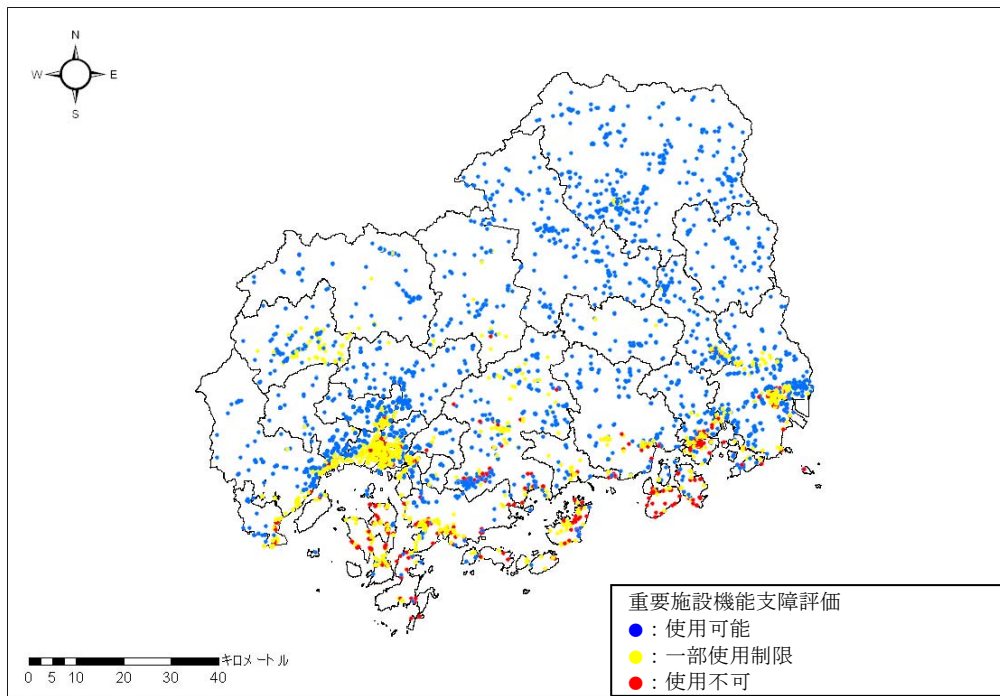
(参考) 己斐－広島西縁断層帯 (M6.9) の地震（南から破壊）

図Ⅲ.1.2-10(6) ため池の危険度ランク

ウ 重要施設機能支障

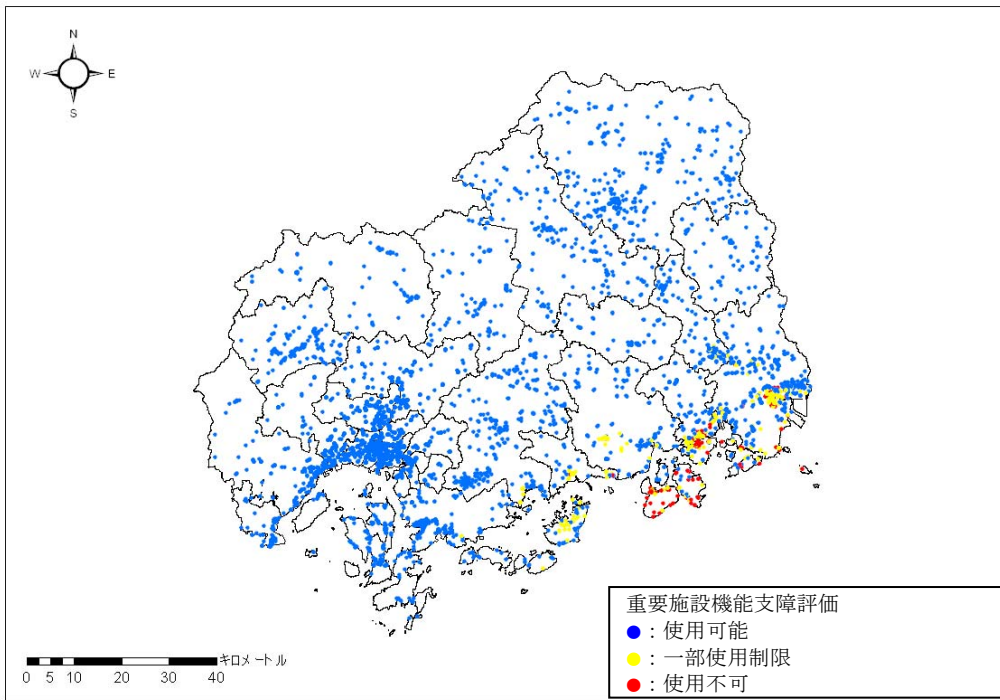


南海トラフ巨大地震（陸側ケース）

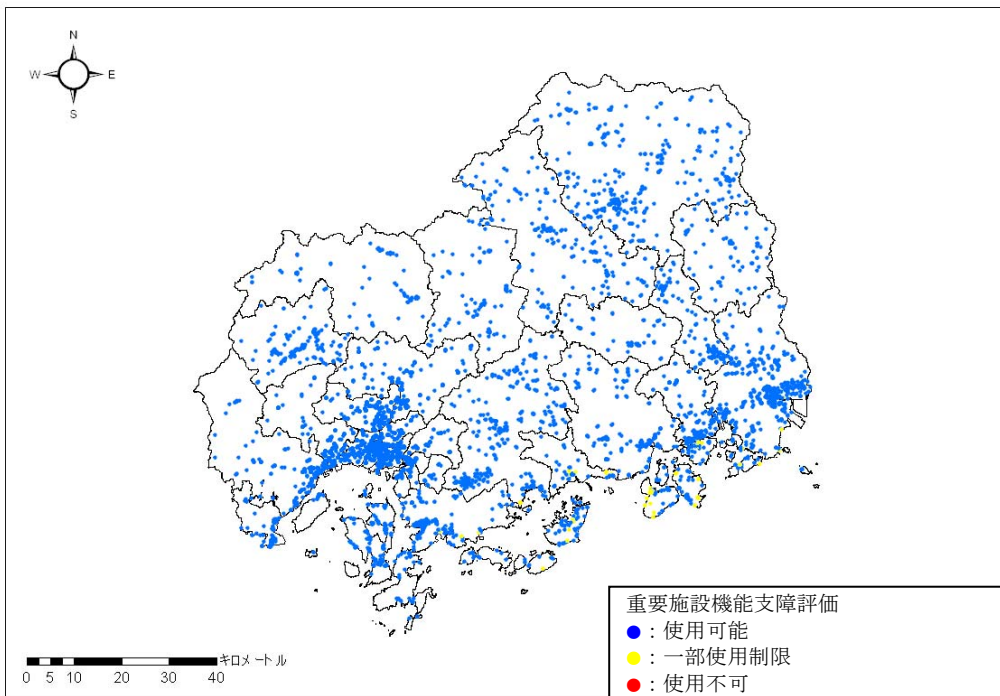


安芸灘～伊予灘～豊後水道の地震（北から破壊）

図Ⅲ. 1. 2-11(1) 重要施設の機能支障

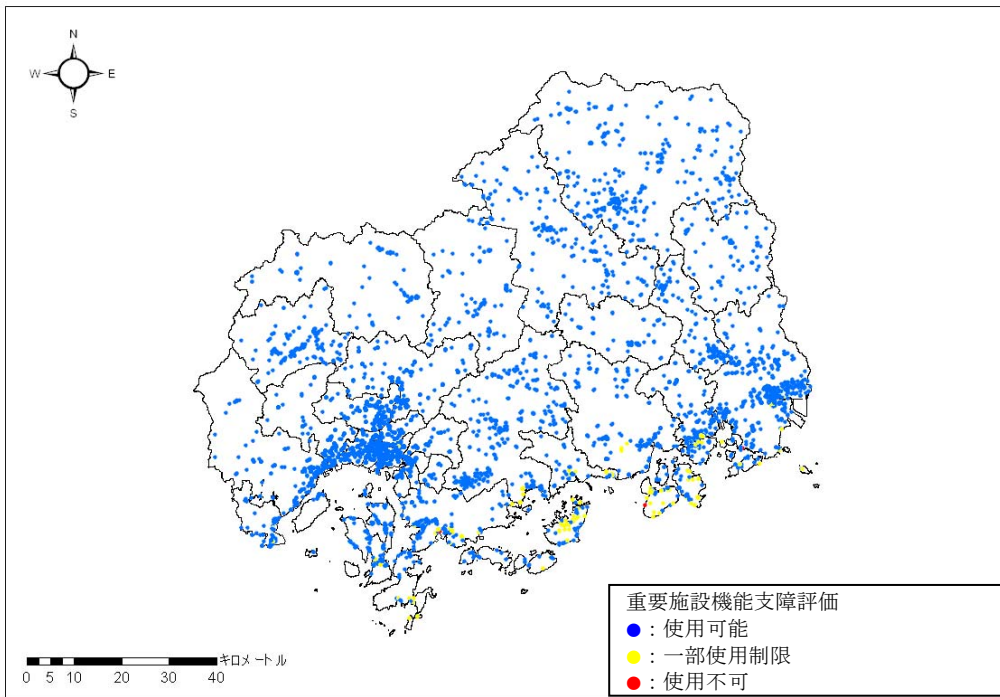


讃岐山脈南縁－石鎚山脈北縁東部の地震（西から破壊）

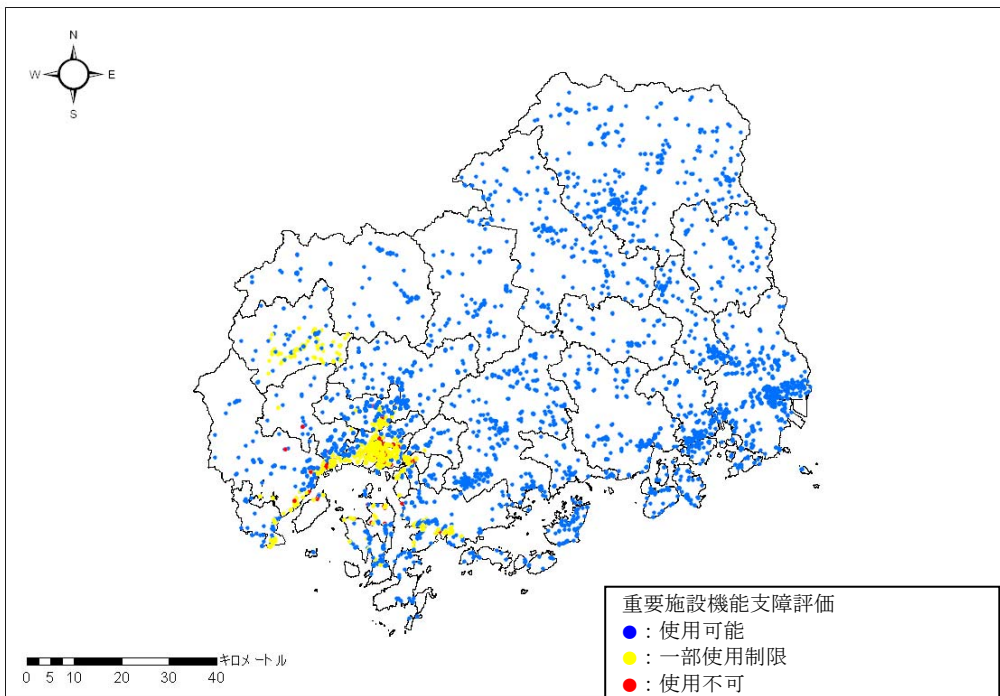


石鎚山脈北縁の地震（西から破壊）

図Ⅲ. 1. 2-11(2) 重要施設の機能支障

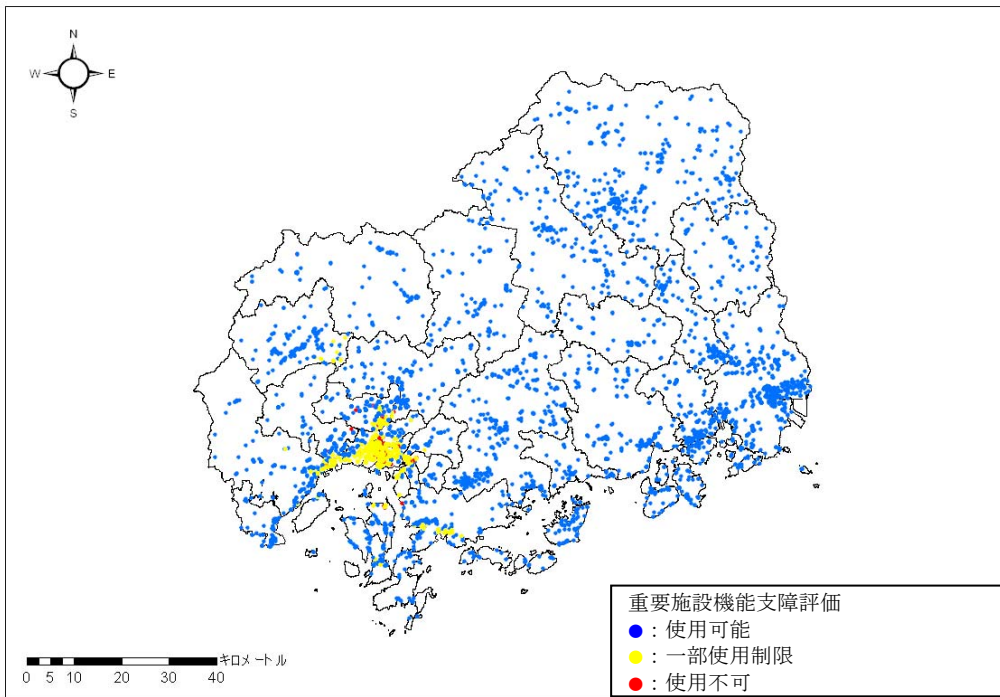


石鎚山脈北縁西部－伊予灘の地震（東から破壊）

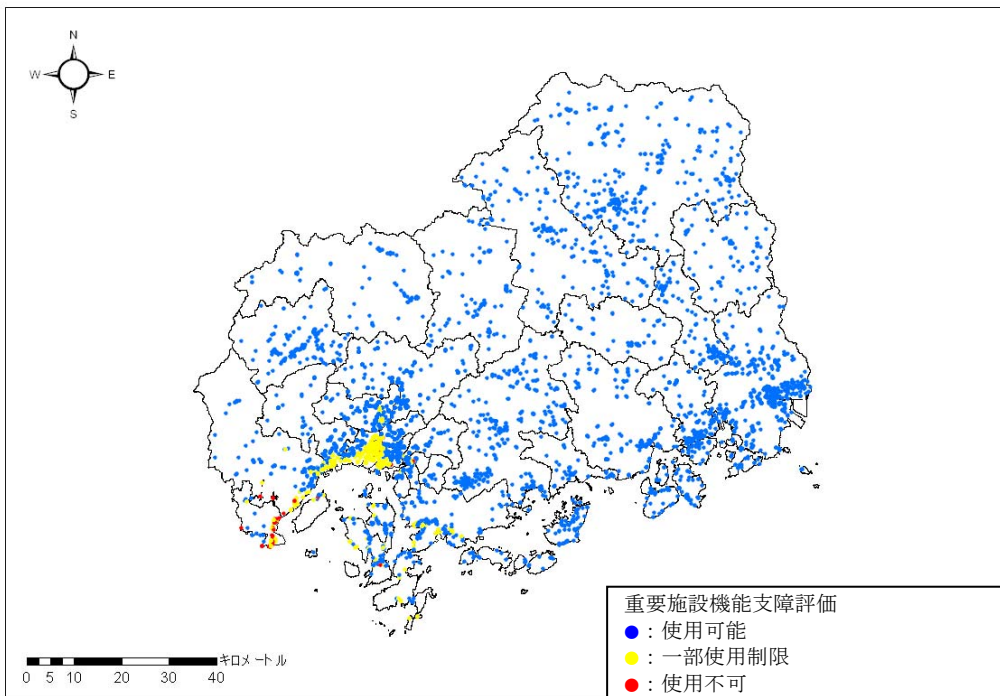


五日市断層の地震（北から破壊）

図Ⅲ.1.2-11(3) 重要施設の機能支障

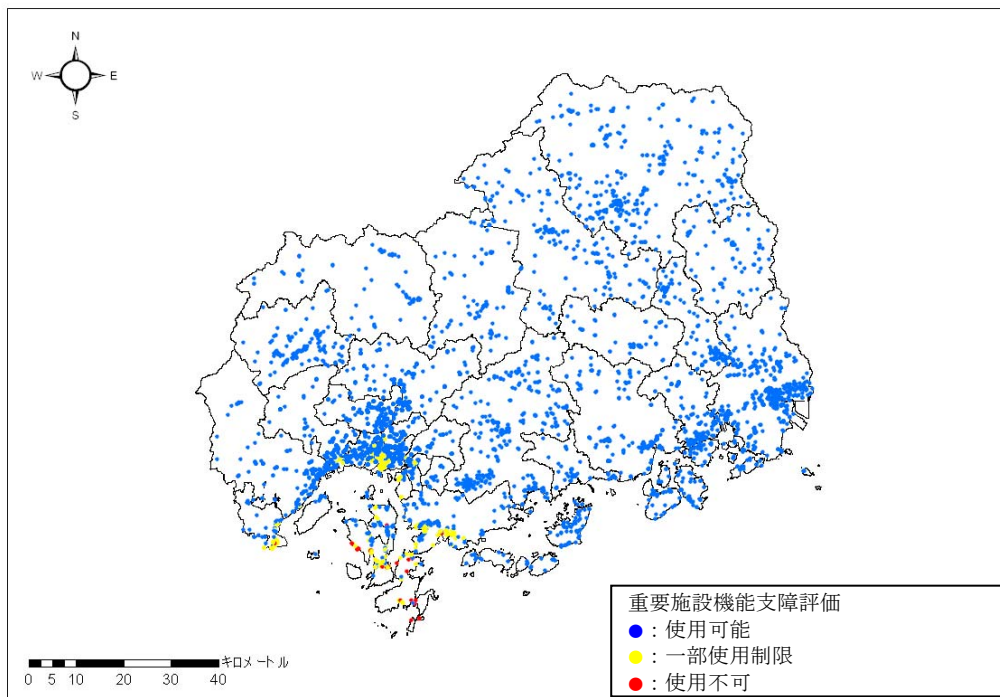


己斐－広島西縁断層帯 (M6.5) の地震 (北から破壊)

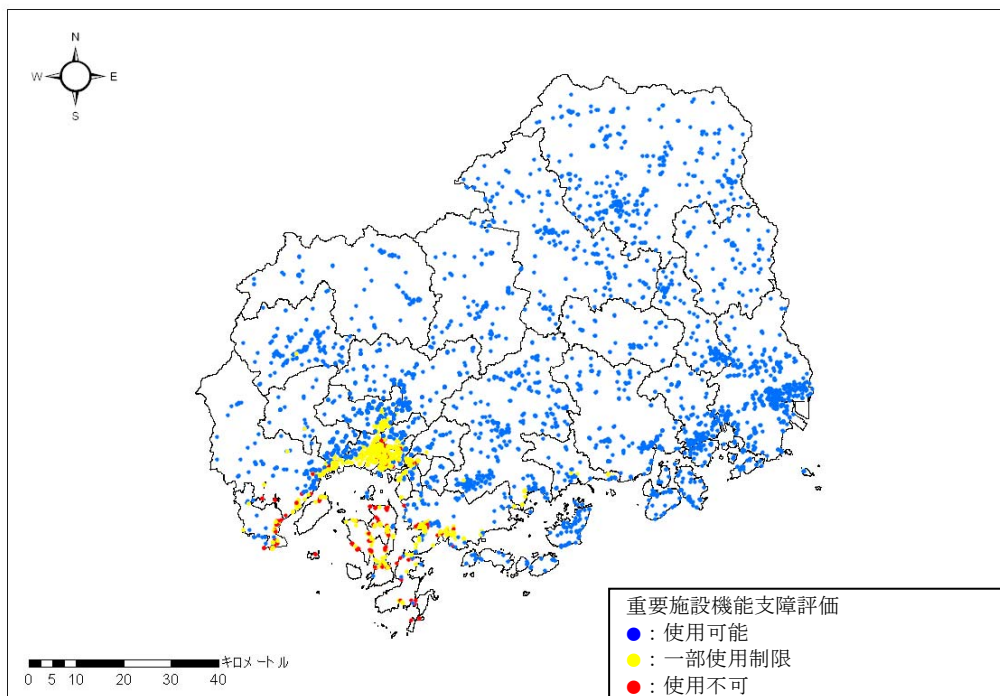


岩国断層帯の地震 (東から破壊)

図Ⅲ.1.2-11(4) 重要施設の機能支障

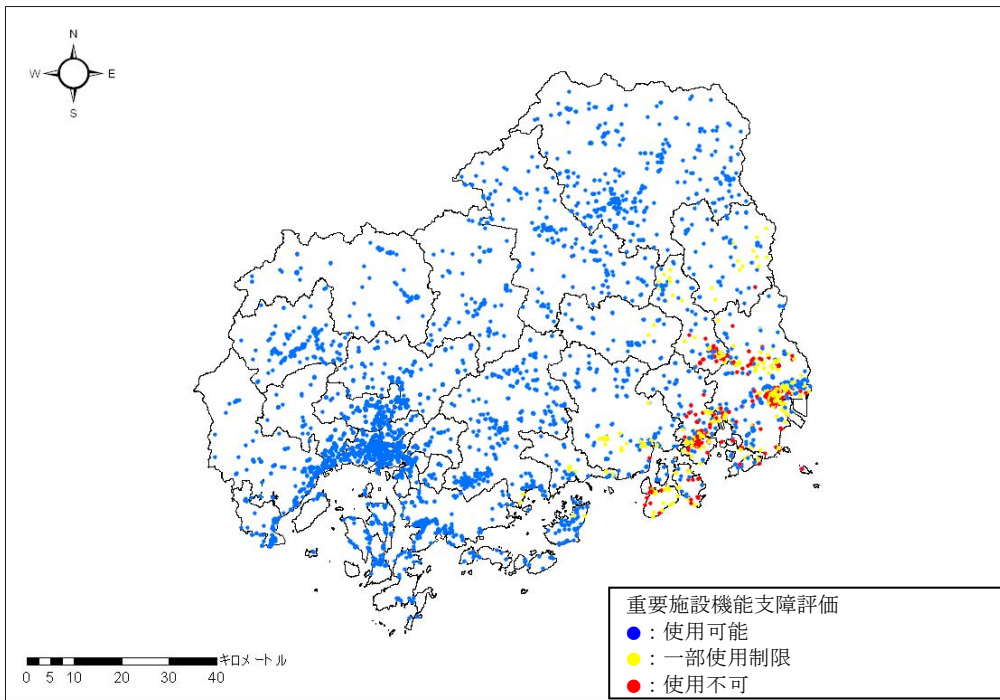


安芸灘断層群（主部）の地震（北から破壊）

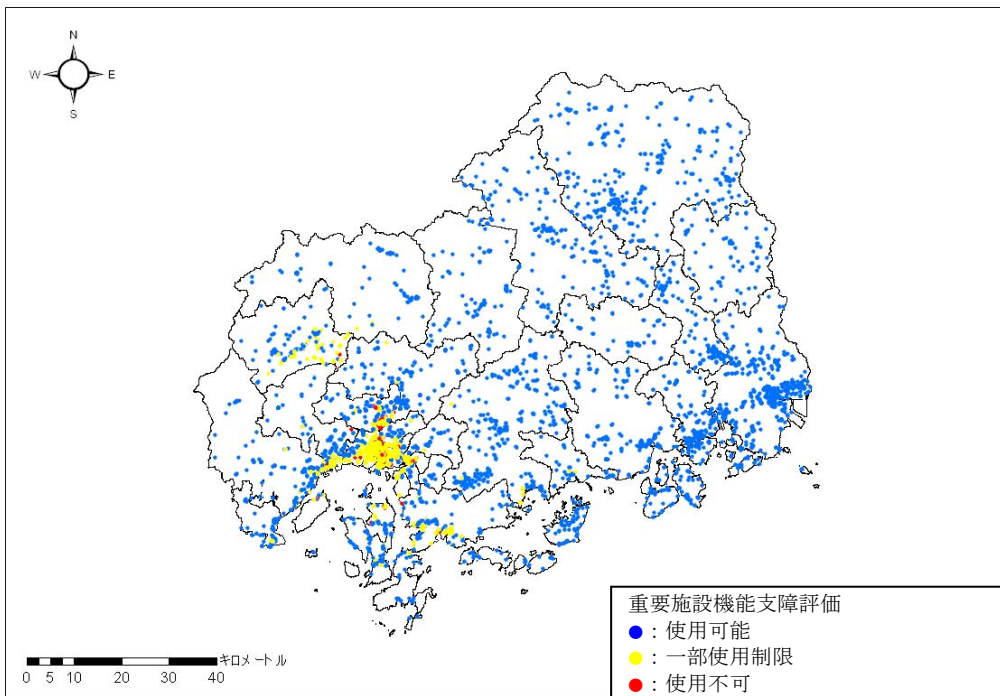


安芸灘断層群（広島湾－岩国沖断層帯）の地震（北から破壊）

図Ⅲ.1.2-11(5) 重要施設の機能支障



長者ヶ原断層－芳井断層の地震（西から破壊）



(参考) 己斐－広島西縁断層帯 (M6.9) の地震（南から破壊）

図Ⅲ.1.2-11(6) 重要施設の機能支障